

# TEOREETTISEN ASTROFYSIIKAN PERUSKURSSI

## SISÄLLYS

Johdanto: Teoreettisen astrofysiikan paikka tähtitieteessä	1
<b>1. TAIVAANKAPPALEIDEN DYNAMIKASTA JA MASSOISTA</b>	4
1    Tähtienvälisen pilven kontraktio	4
2    Kaksoistählien radat ja tähtien massanmääritys	6
.1  Kaksoistählien liikeradat	6
.2  Kaksoistählien sääteisnopeuskäyrä	8
.3  Kaksoistählien massat	14
3    Linnunradan rotaatio ja massajakautuma	21
.1  Linnunradan massamalli	21
.2  Linnunradan differentiaalirotaation kaavat	25
4    Tähtien sirottuminen ja dynaaminen jarrutus	29
.1  Tähtien sirottuminen $1/r^2$ - voimakentässä	29
.2  Tähden liikkeen dynaaminen jarrutus	32
.3  Stellaaridynamiikan perusyhtälö	35
5    Massajoukon stabiilisuus vuorovesivoiman vaikuttaessa	39
.1  Stabiilisuusehdo, kun suurimassainen kappale ja massajoukko ovat levossa toisiinsa nähdyn	39
.2  Stabiilisuusehdo, kun massajoukko liikkuu ympyräradalla	40
6    Viriaaliteoreema ja galaksijoukkojen massanmääritys	42
.1  Viriaaliteoreema	42
.2  Galaksijoukon massanmääritys	45
<b>2. TÄHTIEN ATMOSFÄÄRIT</b>	48
1    Säteilyn emissio ja absorptio	48
.1  Säteilyn perusmääritelmiä	48
a)  Säteilyn intensiteetti	48
b)  Pintakirkkaus ja säteilyn intensiteetti	51
c)  Säteilyvuon tiheys	52
d)  Säteilytiheys (energiatiheys)	56
e)  Säteilypaine	56
.2  Mustan kappaleen säteily	58
a)  Planckin säteilylaki	58
b)  Wienin siirtymälaki	62
c)  Stefan-Boltzmannin laki	62
d)  Mustan kappaleen säteilytiheys	63

.3 Säteilyn emissio- ja absorptiokerroin	64
a) Säteilyn emissiokerroin	64
b) Säteilyn absorptiokertoimet ja optinen syvyys	65
c) Säteilypaine osittain absorboivassa väliaineessa	67
d) Kirchhoffin laki	69
<b>2 Säteilynkuljetus</b>	<b>70</b>
.1 Yleistä	70
.2 Säteilynkuljetusyhtälö	73
.3 Lähdefunktio	74
a) puhtaan absorption vallitessa	74
b) puhtaan sironnan vallitessa	74
c) absorption ja sironnan vaikuttaessa	76
.4 Säteilytasapaino	77
.5 Säteilynkuljetusyhtälön määräämä intensiteettilauseke	79
a) Säteilynkuljetusyhtälön intensiteettilauseke	79
b) Suureiden $\mathfrak{T}$ , ja J, yhteys säteilynkuljetusyhtälöön	81
.6 Säteilynkuljetusyhtälön approksimatiivisista ratkaisumeretelmistä	85
a) Eddington-Barbierin menetelmä	85
b) Eddingtonin approksimaation antama likimääräinen ratkaisu harmaalle atmosfäärille	87
c) Schuster-Schwarzschildin menetelmä	93
d) Chandrasekharin menetelmä	95
<b>3 Kaasumaisen tilan fysiikkaa tähtien atmosfääreissä</b>	<b>98</b>
.1 Ideaalikaasun tilanyhtälö	98
.2 Kaasun adiabaattinen tilanyhtälö	101
.3 Kaasun paineen ja lämpötilan kineettinen tulkinta	103
.4 Maxwellin nopeusjakautuma	105
.5 Boltzmannin hiukkasjakautuma potentiaalikentässä	111
.6 Boltzmannin laki atomien virystilojen miehityksille	112
.7 Ionisaatioyhtälö (Sahan yhtälö)	116
.8 Ionisaatioyhtälön verifiointi	122
a) Aurinkopilkut	122
b) Spektriluokituksen selittäminen ionisaation ja virityksen avulla	122
c) Luminositeettiefektit	125
.9 Kaasun paineen ja elektronipaineen välinen yhteys	126
.10 Termodynäaminen tasapaino TE ja LTE	128

4	Tähtien atmosfäärimallien laskeminen	130
.1	Lämpötilajakautuman $T(\bar{\tau}_\lambda)$ -emiirinen määritys Auringon atmosfääriissä	131
.2	Auringon fotosfäärimallin laskeminen	133
a)	Riippuvuuden $T = T(\bar{\tau})$ laskeminen	133
b)	Riippuvuuden $P_g = P_g(\bar{\tau})$ laskeminen	134
c)	Riippuvuuksien $S(\bar{\tau})$ ja $P_e(\bar{\tau})$ laskeminen	137
d)	Geometrisen syvyyden $x$ ja optisen syvyyden välinen riippuvuus	138
e)	Auringon fotosfäärimallin tuloksia	138
.3	Varhaisen spektriluokan tähden atmosfäärimalli	140
5	Ekstinktioprosessit astrofysikaalisissa kohteissa	145
.1	Yhteenveto ekstinktioprosesseista	145
.2	Klassisen dipolin absorptio	147
a)	Dipolisäteily	147
b)	Dipolin säteilyteho	150
c)	Klassisen oskillaattorin absorptiokerroin	151
d)	Dipolin absorptiokertoimen $K$ ja massa-absorptio- kertoimen $k$ välinen yhteyks	155
e)	Väliaineeseen absorboitunut säteilyteho	156
.3	Säteilyn sirottuminen klassisesta oskillaattorista	158
a)	Thomsonin sironta	158
b)	Rayleighin sironta	165
c)	Valon sirottuminen pölyhiukkasista	167
.4	Kontinuumiabsorptio	171
a)	Kontinuumiabsorption päätelijät	171
b)	Vedyn bound-free absorptiokerroin	175
c)	Vedyn free-free absorptiokerroin	179
d)	Negatiivisen vetyionin kontinuumiabsorptio	183
e)	Muiden alkuaineiden kontinuumiabsorptio	186
f)	Keskimääräinen absorptiokerroin	188
.5	Sidoselektronien siirtymätodennäköisydet	192
a)	Elektronisiirtymien Einsteinin todennäköisyykskertoimet	192
b)	Einsteinin kertoimien yhteyks viiva-absorptiokerointeen	196
c)	Einsteinin kertoimien yhteyks oskillaattori- voimakkuksiin	197
d)	Säteilyvaimennuksen kvanttimekaaninen lauseke	199

1.6	Spektriviivaprofiilit	202
a)	Säteilyvaimennuksen aiheuttama viivan luonnollinen leveneminen	203
b)	Atomien lämpöliikkeen aiheuttama spektriviivan leveneminen	205
c)	Atomien törmäyksistä aiheutuva viivan leveneminen	208
d)	Yhdistetty luonnollinen, Dopplerin ja törmäys-leveneminen	209
e)	Spektriviivojen voimakkuudet ja kasvukäyrä	213
f)	Teoreettisen spektriviivaprofiilin laskeminen	216
<b>3. TÄHTIEN SISÄINEN RAKENNE</b>		222
1	Perusyhtälöt	223
.1	Tähden massajakautuma	223
.2	Hydrostaattinen tasapaino	223
.3	Energiankuljetus	224
a)	Säteilynkuljetus	224
b)	Konvektiivinen energiankuljetus	225
.4	Energiantuotto	229
a)	Energialähteet	229
b)	Tähden energiatasapaino	230
c)	Luminositeetin muutos epätasapainon vallitessa	231
d)	Tähden massa-luminositeettirelaatio	231
.5	Ratkaisun yksikäsittely	232
2	Plasman keskimääräinen absorptiokerroin	233
3	Plasman tilanyhtälö	234
.1	Yleinen tilanyhtälö	234
.2	Degeneroituneen elektronikaasun tilanyhtälö	236
a)	Paulin kieltosääntö ja elektronien Fermi-Diracinkjakautuma	236
b)	Degeneroituneen elektronikaasun paine	238
1)	Klassinen elektronikaasu ( $v \ll c$ )	238
2)	Relativistinen elektronikaasu ( $v \approx c$ )	238
4	Ydinenergian tuotto tähdissä	244
.1	Energiantuottokerroin	244
.2	Ydinreaktioiden reaktionopeudet	245
.3	Tähtien tuottoisimmat ydinreaktiot	250
.4	Neutriinojen aiheuttama energianmenetys	252
LIITE I :	Kahden kappaleen probleema	A 1
LIITE II :	Johdatus elektronien siirtymätodennäköisyyksiin kvanttimekaanisiin laskuihin	

## ESIPUHE

Tämä moniste perustuu Helsingin yliopiston tähtitieteen aineopintoihin kuuluvan teoreettisen astrofysiikan peruskurssin luentoihin. Monistetta toimittaaessani olen pääasiassa tukeutunut prof. Kalevi Mattilan luentoihin vuodelta 1981. Paikoitellen olen tehnyt myös omia lisäyksiä. Kuvia, taulukoita ja tiedon jyväsiä olen lainannut myös seuraavista lähteistä :

- M. Harwitt : Astrophysical Concepts, John Wiley. New York 1973.
- E. Novotny : Introduction to Stellar Atmospheres and Interiors.  
Oxford University Press 1973.
- L.H. Aller : Astrophysics. The Atmospheres of the Sun and Stars. Second Edition. Ronald Press, New York 1963.
- D. Mihalas : Stellar Atmospheres. Second Edition. W.H. Freeman and Company, San Francisco 1978.
- J. Andouze & S. Vauclair : An Introduction to Nuclear Astrophysics.  
D. Reidel Publishing Company, Dordrecht 1980.
- C. Pethick : Neutron Stars (NORDITA:n kesäkurssi v. 1982).
- H. Voigt : Abriss der Astronomie. 3. Auflage. Bibliographisches Institut, Mannheim 1980.
- K. Kurki-Suonio : Fysiikan cum laude luennot .

Monistenet puhtaaksi kirjoitus on tehty talkoovoimin mahdollisimman nopeasti. Konekirjoittajille Jukka Piroselle, Matti Koivistolle ja Merja Karsmalle lausunkin parhaat kiertokseni.

Joulukuussa 1984

Tarja Liljeström

# TEOREETTISEN ASTROFYSIIKAN PERUSKURSSI

## JOHDANTO:

### TEOREETTISEN ASTROFYSIIKAN PAIKKA TÄHTITIETEESSÄ

Tähtitiede voidaan karkeasti jakaa kahteen osa-alueeseen: astrofysiikkaan sekä klassiseen tähtitieteeseen, joka käsittää lähinnä positiotastronomian ja taivaanmekaniikan. Astrofysiikka tutkii nimensä mukaisesti taivaankappaleita fysiikan menetelmin. Pääasiallisesti analysoidaan taivaankappaleiden lähetämää sähkömagneettista säteilyä. Tämän lisäksi havaitaan myös avaruudesta saapuvaa kosmista säteilyä ( $e^-$ ,  $\alpha$ , ...), neutriinosäteilyä sekä toistaiseksi vielä hypoteettista gravitaatiosäteilyä. Tähtitieteen nykyisestä tutkimustyöstä varsin huomattava osa (noin 80 %) kuuluu astrofysiikan piiriin.

Teoreettinen astrofysiikka pyrkii yleisiin fysiikan teorioihin nojautuen selittämään taivaankappaleista saatuja havaintoja. Tätä varten on tunnettava

- 1) säteilyn ominaisuudet, sen syntymekanismit taivaankappaleissa, sen eteneminen ja absorptio sekä
- 2) taivaankappaleiden fysikaaliset ominaisuudet kuten dynaamiset tekijät, rakenne ja kehitys.

Jotta havainnot voitaisiin tyydyttävästi selittää, laaditaan kohteesta teoreettinen malli, joka on aina yksinkertaistettu kuva todellisesta taivaankappaleesta (esim. tähtimallit, atmosfäärimallit, tähtienvälisten pilvien mallit, galaksien massamallit). Vertaamalla mallia havaintoihin voidaan mallia täsmennää. Toisinaan vertailu myös osoittaa, että kohteesta ei vielä voida laatia luotettavaa, yksityiskohtaisempaa mallia puutteellisten havaintojen vuoksi tai koska ilmiöön vaikuttavia tekijöitä ei vielä riittävästi tunneta.

Astrofysiikka on sovellettua fysiikkaa siinä mielessä, että laboratoriokokeisiin perustuvia fysiikan lakeja sovelletaan sellaisinaan taivaankappaleisiin. Voidaan tietysti kysyä, onko tämä oikeutettua, kun tarkastellaan ajallisesti ja paikallisesti hyvinkin kaukaisia kohteita. Kokemus

on osoittanut, että näin menetellen on havainnot voitu selittää. Koska astrofysiikan kehitys on jo noin 100 vuoden ajan ollut hyvin menestyksestä, ei ole mitään syytä luopua oletuksesta, että "taivaallista" fysiikkaa ja maapäällistä fysiikkaa hallitsevat samat luonnonlait. Tuon tuostakin esiintyy tosin spekulointia siitä, että tähtitieteelliset havainnot voisivat johtaa "uuteen fysiikkaan". Tähän on viitattu mm. galaksien punasiirtymäilmioni, kvasaarien energiantuoton sekä pulsarien säteilymekanismin yhteydessä. Lähinnä voitaisiin "utta fysiikkaa" ajatella löytyvän erittäin voimakkaista gravitaatiokentistä, joita esiintyy neutronitähtien ja toistaiseksi hypoteettisten mustien aukkojen yhteydessä.

Tähtitieteen piirissä luotiin viimeksi uutta fysiikkaa Kopernikuksen, Keplerin ja Galilein toimesta, joitten havaintoihin nojautuen Newton rakensi kokonaan uuden mekaniikan järjestelmän. Planeettojen liikelakien selvittämisen myötä muotoutuivat massojen yleisen vetovoiman käsite sekä dynamiikan periaatteet. Mekaniikka hallitsi sitten fysiikkaa ja taivaanmekaniikka tähtitiedettä aina 1800-luvun puoliväliin saakka. On jotenkin paradoksaaista, että juuri taivaanmekaniikkaa ei katsota astrofysiikkaan kuuluvaksi, vaikka taivaanmekaniikka tavallaan loi pohjan koko nykyiselle fysiikalle! Tällä on lähinnä historiallinen selityksensä: taivaanmekaniikan havainnot perustuvat taivaankappaleiden koordinaattimittauksiin, astrofysiikka sen sijaan käyttää "uudenaikaisempia", etupäässä säteilyä kuvaavia havaintosuureita.

## Muutamia vuosilukuja astrofysiikan kehityksestä

- 1814 Fraunhofer keksi Aurinkon absorptiovivat
- 1823 Fraunhofer keksi tähtien absorptiovivat
- 1859 Kirchhoff ja Bunsen selittivät Fraunhoferin viivojen syynyn
- 1860 Kirchhoff muotoili säteilyreorian perusteet  
(Kirchhoffin lause)
- 1885- Pickering, Cannon et al. laativat tähtien spektriluokittelun  
(Henry Draper Catalogue)
- 1900 Planckin säteilylaki
- 1906 Karl Schwarzschild kehitti stationääristen säteilykenttien teorian, joka muodostaa tähtien teorian peruspilarin:  
energiankuljetus tapahtuu säteilyn avulla
- 1908 Hale keksi auringonpilkkujen magneettiset kentät
- 1913 Hertzsprung-Russel diagramma
- 1916-20 Eddington loi tähtien sisäisen rakenteen teorian
- 1920 Saha esitti termisen ionisaation ja virittymisen teorian, joka on tähtien spektrien fysikaalisen tulkinnan perusta.
- 1927 Zanstra kehitti planetaaristen sumujen säteilyteorian:  
UV säteily ( $\lambda < 912 \text{ \AA}$ ) ionisoii atomit
- 1930 Unsöld esitti konvektiivisen virtauksen tähtien atmosfääreissä
- 1938 Bethe ja Weizsäcker esittivät, että ydinreaktiot ovat tähtien energian lähteitä
- 1938 Strömgren esitti HII alueiden teorian
- 1950 Alfven, Herlofson, Kiepenheuer, Shklovski esittivät, että synkrotronisäteily on useiden radiolähteiden säteilyn mekanismi

# 1. TAIVAANKAPPALEIDEN DYNAMIKASTA JA MASSOISTA

Kahden kappaleen probleeman liittyvä teoria on kertauksenomaisesti esitetty liitteessä. Taivaanmekaniikan luennoilla käsitellään kahden kappaleen probleeman sovellutuksia aurinkokunnan piirissä. Tässä luvussa tarkastellaan lähinnä tähtien ja tähtijärjestelmien dynamiikkaa.

## 1.1 TÄHTIENVÄLISEN PILVEN KONTRAKTIO

Esimerkkinä yhden kappaleen probleemasta tarkastellaan oman gravitaatiovoimansa vaikutuksesta kokoon luhistuva pilven massasta, homogenista tähtienvälistä pilveä, jonka tiheys alkuperäellä  $t=0$  on  $\xi(0)$ . Olkoon alkuperäellä pilven mielivaltaisen pallonkuoren säde  $r(0)=a$  ja tämän kuoren sisäpuolelle jäävä massa  $M(a)$ . Oletetaan lisäksi, että luhistumisen edistyessä turbulentiset liikkeet eivät sekoita sisäkkäisten pallokuorien järjestystä, jolloin kuoren sisäpuolelle jäävä massa pysyy vakiona koko luhistumisen aikana. Koska pallomaisen massajakautuman  $M(a)$  gravitaatiovaikutus sen pinnalla tai ulkopuolella clevaan hiukkaseen on tunnetusti sama kuin pallon keskipisteeseen sijoitetulla  $M(a)$ -massaisella pisteellä, on  $a$ -säteisellä pallonkuorella olevan massahiukkasen likeyhtälö alkuperäellä:

$$\ddot{r} = - \frac{GM(a)}{r^2}$$

$$\frac{dv}{dt} = - GM(a) \cdot \frac{1}{r^2}$$

$$\int v dv = - GM(a) \int_0^r \frac{1}{r^2} dr$$

$$\frac{v^2}{2} = GM(a) \left( \frac{1}{r} - \frac{1}{a} \right)$$

$$\frac{v^2}{\alpha^2} = G \cdot \frac{4\pi}{3} \rho(0) \alpha^3 \cdot \frac{1}{\alpha} \left(\frac{\alpha}{r} - 1\right) \quad \left| \cdot \frac{2}{\alpha^2}$$

$$\frac{v^2}{\alpha^2} = \frac{8\pi G \rho(0)}{3} \left(\frac{\alpha}{r} - 1\right)$$

$$\frac{v}{\alpha} = (\pm) \sqrt{\frac{8\pi G \rho(0)}{3} \left(\frac{\alpha}{r} - 1\right)} \quad \left| \text{Huom. } \bar{v} \uparrow \bar{r}(0) = \bar{a}$$

Sij.  $\frac{r}{a} = \cos^2 \beta \Rightarrow r = a \cos^2 \beta$

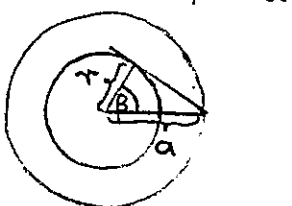
$$\Rightarrow v = \frac{dr}{dt} = a \cdot 2 \cos \beta (-\sin \beta) \frac{d\beta}{dt}$$

$$-2 \sin \beta \cos \beta \frac{d\beta}{dt} = -\sqrt{\frac{8\pi G \rho(0)}{3}} \sqrt{\frac{1}{\cos^2 \beta} - 1}$$

$$2 \sin \beta \cos \beta d\beta = dt \sqrt{\frac{8\pi G \rho(0)}{3}} \cdot \sqrt{\frac{\sin^2 \beta}{\cos^2 \beta}} \quad \left| \cdot \frac{\cos \beta}{\sin \beta} \right| S$$

$$2 \int_0^{\pi/2} \cos^2 \beta d\beta = \int_0^{t_f} dt \sqrt{\frac{8\pi G \rho(0)}{3}}$$

$$2 \int_0^{\pi/2} \frac{1}{2} (\beta + \sin \beta \cos \beta) = t_f \sqrt{\frac{8\pi G \rho(0)}{3}}$$



$$\Rightarrow t_f = \sqrt{\frac{3\pi}{32 G \rho(0)}} \quad \text{PILVEN LUHISTUMISAIKA}$$

Luhistuvan pilven "vapaan putoamisajan" lausekkeen voit lyhyemmin johtaa Keplerin III lain avulla, kunhan ensin selität itsellesi, millaista "ellipsirataa" jokainen pallonkuoren piste liikkuu (harjoitustehtävä).

Oletetaan esimerkiksi, että pilvi koostuu yksinomaan vetymolekyyleistä. Tällöin pilven tiheys on

$$S_{H_2} = n_{H_2} \times m_{H_2}, \text{ missä } n_{H_2} = \text{vetymolekyylien lukumäärä/cm}^3$$

$$\text{sijoittamalla } m_{H_2} = 2 \times 1.67 \times 10^{-27} \text{ kg}$$

$$G = 6.67 \times 10^{-11} \frac{\text{kgm}}{\text{s}^2} \text{ m}^2 \text{ kg}^{-2}$$

$$1 \text{ y} = 3.156 \times 10^7 \text{ s}$$

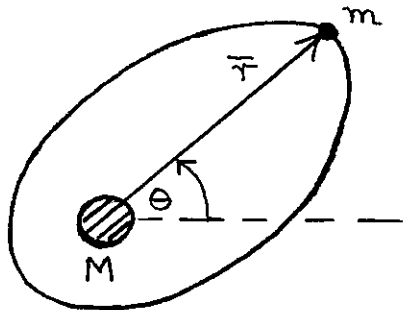
$$n_{H_2} = 3000 \text{ cm}^{-3} \quad (\text{tyypillinen arvo luhistuvassa molekyylipilvessä})$$

saadaan pilven luhistumisajaksi noin  $10^5$  vuotta.

## 1.2 KAKSOISTAHTIEN RADAT JA TÄHTIEN MASSANMÄÄRÄYS

### 1.2.1 Kaksoistahtien liikeradat

a) Kun  $m \ll M$  :

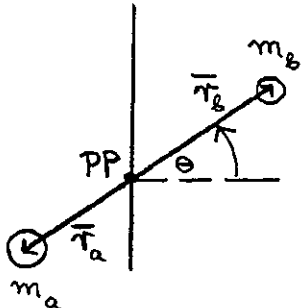


Probleema palautuu yhden kappaleen probleemaksi, jossa suurempi-massainen komponentti (massa  $M$ ) on inertiaalikoordinaatiston origona.

Pienempimassaisen komponentin liike-yhtälö:

$$\ddot{r} = - \frac{GM}{r^3} \vec{r}$$

b) Kun  $m_a \approx m_b$  :



Ratkaistava kahden kappaleen probleema, jossa inertiaalikoordinaatiston origona on systeemin painopiste.

Komponenttien a ja b liikeyhtälöt :

$$m_a \ddot{\vec{r}}_a = - \frac{G m_a m_b}{r^3} \vec{r}$$

Komponenttien välinen etäisyysvektori on

$$\vec{r} = \vec{r}_a - \vec{r}_b$$

Massapisteiden määritelmästä

$$m_a \vec{r}_a = - m_b \vec{r}_b$$

$$\Rightarrow \vec{r}_b = - \frac{m_a}{m_b} \vec{r}_a$$

joten

$$\vec{r} = \left(1 + \frac{m_a}{m_b}\right) \vec{r}_a$$

$$\ddot{\vec{r}}_a = - \frac{G m_b}{\left(1 + \frac{m_a}{m_b}\right)^3 r_a^3} \cdot \frac{m_a + m_b}{m_b} \vec{r}_a$$

$$\ddot{\vec{r}}_a = - \frac{G M}{\left(1 + \frac{m_a}{m_b}\right)^3} \frac{\vec{r}_a}{r_a^3} = - \frac{G M}{\left(\frac{M}{m_b}\right)^3} \frac{\vec{r}_a}{r_a^3}$$

$$\boxed{\ddot{\vec{r}}_a = - \frac{G}{M^2} m_b^3 \frac{\vec{r}_a}{r_a^3}}$$

missä  $M = m_a + m_b$

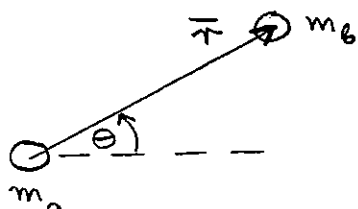
Vastaavasti saadaan toiselle komponentille :

$$\boxed{\ddot{\vec{r}}_b = - \frac{G}{M^2} m_a^3 \frac{\vec{r}_b}{r_b^3}}$$

Tarkastaeltaessa tähtien suhteellista liikettä on komponentin a kiihtyvyys komponentin b suhteeseen

$$\ddot{\vec{r}} = \ddot{\vec{r}}_a - \ddot{\vec{r}}_b = - \frac{G M}{r^3} \vec{r} \quad \left| M = \frac{M^3}{M^2} \right.$$

$$= - \frac{G}{r^3} \frac{(m_a + m_b)^3}{M^2} \vec{r}$$



$$\boxed{\ddot{\vec{r}} = - \frac{G}{M^2} (m_a + m_b)^3 \frac{\vec{r}}{r^3}}$$

Huomautettakoon, että origo on nyt kiihtyvässä liikkeessä, joten kyseessä ei ole inertiaalikoordinaatisto.

Liikeyhtälön  $\ddot{\gamma} = -\frac{GM}{r^3}\hat{r}$  ratkaisu antaa ratakäyräksi ellipsin, jonka isoakseli  $a$  saadaan Keplerin III lain avulla:

$$a^3 = \frac{GM}{4\pi^2} \cdot P^2 \quad , \text{ ts. } a \sim \sqrt[3]{\frac{GM}{4\pi^2}}$$

Kirjoittamalla lausekkeen GM paikalle edellisissä liikeyhtälöissä näkyvät vakiot  $\frac{G}{M^2} m_b^3$ ,  $\frac{G}{M^2} m_a^3$  ja  $\frac{G}{M^2} (m_a + m_b)^3$  saadaan ellipsiratojen isoakselien suhteeksi

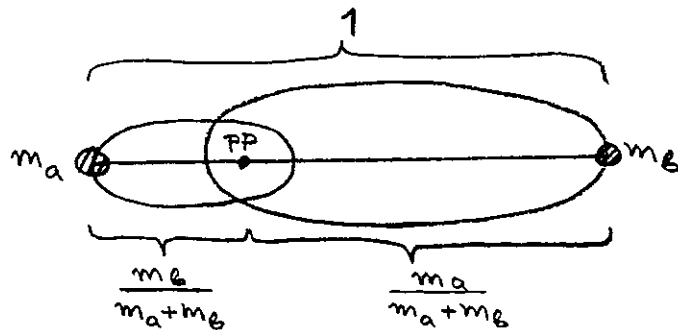
$$a_a : a_b : a_{rel} = \sqrt[3]{\frac{G}{M^2} m_b^3} : \sqrt[3]{\frac{G}{M^2} m_a^3} : \sqrt[3]{\frac{G}{M^2} (m_a + m_b)^3}$$

Nähdään, että edellä esitettyjen liikeyhtälöitten ratkaisuina saadaan kolme samanmuotoista ellipsiä, joitten koot suhtautuvat kuten

$$a_a : a_b : a_{rel} = m_b : m_a : (m_a + m_b)$$

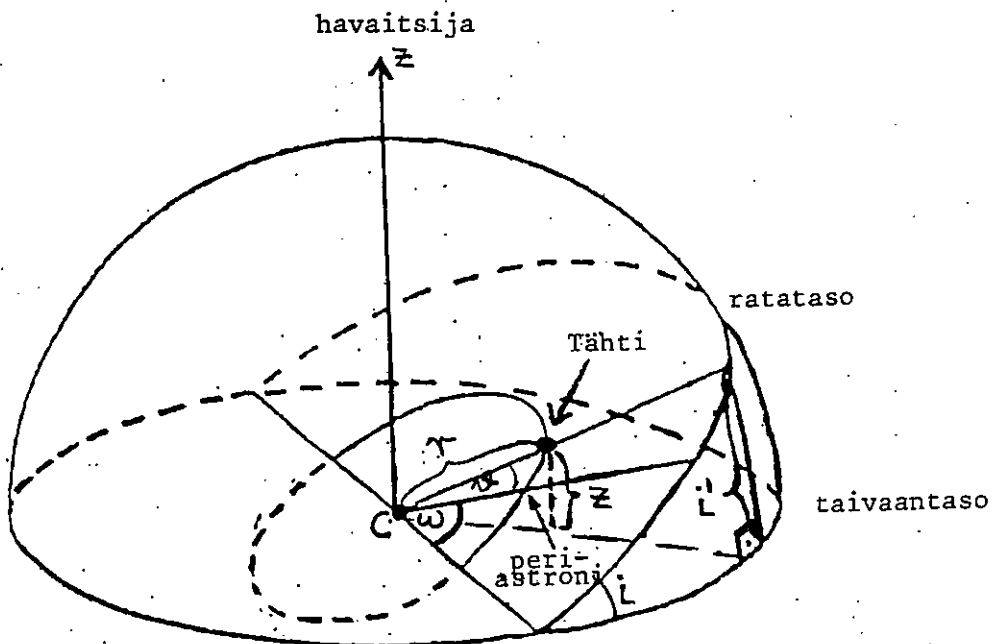
Jos tähtien etäisyydeksi valitaan  $r_a + r_b = 1$ , niin

$$r_a = \frac{m_b}{m_a + m_b} \quad \text{ja} \quad r_b = \frac{m_a}{m_a + m_b}$$



### 1.2.2 Kaksoistählien säteisnopeuskäyrä

Tarkastellaan tähden rataliikkeen projektiota taivaan tasolle, joka on kohtisuorasti havaitsemissuuntaa vasten. Kuvassa havaitseja on kaukana positivisen z-akselin suunnassa.



C = massakeskipiste

r = tähden paikkavektori

i = radan kaltevuus

i' = tähden paikkavektorin ja taivaantason välinen kulma

$\omega$  = periastronin argum. (=nousevan solmun ja periastronin välinen kulma)

$\psi$  = tähden luonnollinen anomalia

Johdetaan seuraavassa lauseke tähden säteisnopeudelle levossa olevan havaittajan suhteeseen :

$$(*) \quad v = v_0 + \frac{dz}{dt}, \text{ missä } v_0 = \text{vakiona pysyvä säteisnopeus, jolla koko systeemi liikkuu auringon suhteeseen}$$

Tähden paikkavektorin projektio z-akselille on

$$z = r \sin i'$$

$$z = r \sin i \sin(\omega + \psi)$$

Pallokolmion sinilauseen mukaan

$$\frac{\sin i}{\sin 90^\circ} = \frac{\sin i'}{\sin(\omega + \psi)} \Leftrightarrow \sin i' = \sin i \sin(\omega + \psi)$$

$$\Rightarrow \frac{dz}{dt} = \left( \frac{dr}{dt} \right) \sin i \sin(\omega + \vartheta) + \left( \frac{d\vartheta}{dt} \right) r \sin i \cos(\omega + \vartheta)$$

$$K I : r = \frac{a(1-e^2)}{1+e \cos \vartheta}$$

$$\Rightarrow \left( \frac{dr}{dt} \right) = \frac{a(1-e^2)e \sin \vartheta}{(1+e \cos \vartheta)^2} \frac{d\vartheta}{dt} = r \frac{e \sin \vartheta}{1+e \cos \vartheta} \frac{d\vartheta}{dt}$$

$$K II : r^2 \frac{d\vartheta}{dt} = h$$

$$P = \frac{h^2}{MG} \quad , \quad M = m_1 + m_2$$

$$a(1-e^2) = \frac{h^2}{MG}$$

$$\Rightarrow h^2 = MG a(1-e^2)$$

$$\Rightarrow \left( \frac{d\vartheta}{dt} \right) = \frac{h}{r^2} = \frac{\sqrt{MG a(1-e^2)}}{r^2}$$

$$\Rightarrow \frac{dz}{dt} = \left[ \sin i \sin(\omega + \vartheta) \cdot r \frac{e \sin \vartheta}{1+e \cos \vartheta} + r \sin i \cos(\omega + \vartheta) \right] \frac{\sqrt{MG a(1-e^2)}}{r^2}$$

$$= \left[ \sin i \sin(\omega + \vartheta) \frac{e \sin \vartheta}{1+e \cos \vartheta} + \sin i \cos(\omega + \vartheta) \right] \frac{\sqrt{MG a(1-e^2)}}{r} \quad | \quad r = \frac{a(1-e^2)}{1+e \cos \vartheta}$$

$$= \left[ \sin i \left( \sin(\omega + \vartheta) \frac{e \sin \vartheta}{1+e \cos \vartheta} + \cos(\omega + \vartheta) \right) \right] \frac{\sqrt{MG a(1-e^2)}}{\left[ a(1-e^2) \right]^2} \cdot (1+e \cos \vartheta)$$

$$= \sin i \sqrt{\frac{MG}{a(1-e^2)}} \left[ \underbrace{\sin(\omega + \vartheta) e \sin \vartheta}_{\cos(\omega + \vartheta) + e \cos \vartheta \cos(\omega + \vartheta)} + \underbrace{\cos(\omega + \vartheta) (1+e \cos \vartheta)}_{\cos(\omega + \vartheta) + e \cos \vartheta \cos(\omega + \vartheta)} \right]$$

$$= \sin i \sqrt{\frac{MG}{a(1-e^2)}} \left[ e \underbrace{(\cos \vartheta \cos(\omega + \vartheta) + \sin \vartheta \sin(\omega + \vartheta))}_{\cos[\vartheta - (\omega + \vartheta)]} + \cos(\omega + \vartheta) \right]$$

$$= \sin i \sqrt{\frac{MG}{a(1-e^2)}} \left[ e \cos \omega + \cos(\omega + \vartheta) \right]$$

Sijoittamalla tämä nopeuden lausekkeeseen (\*) saadaan

$$v = v_o + \sqrt{\frac{MG}{a(1-e^2)}} \sin i \left[ e \cos \omega + \cos(\omega + \vartheta) \right]$$

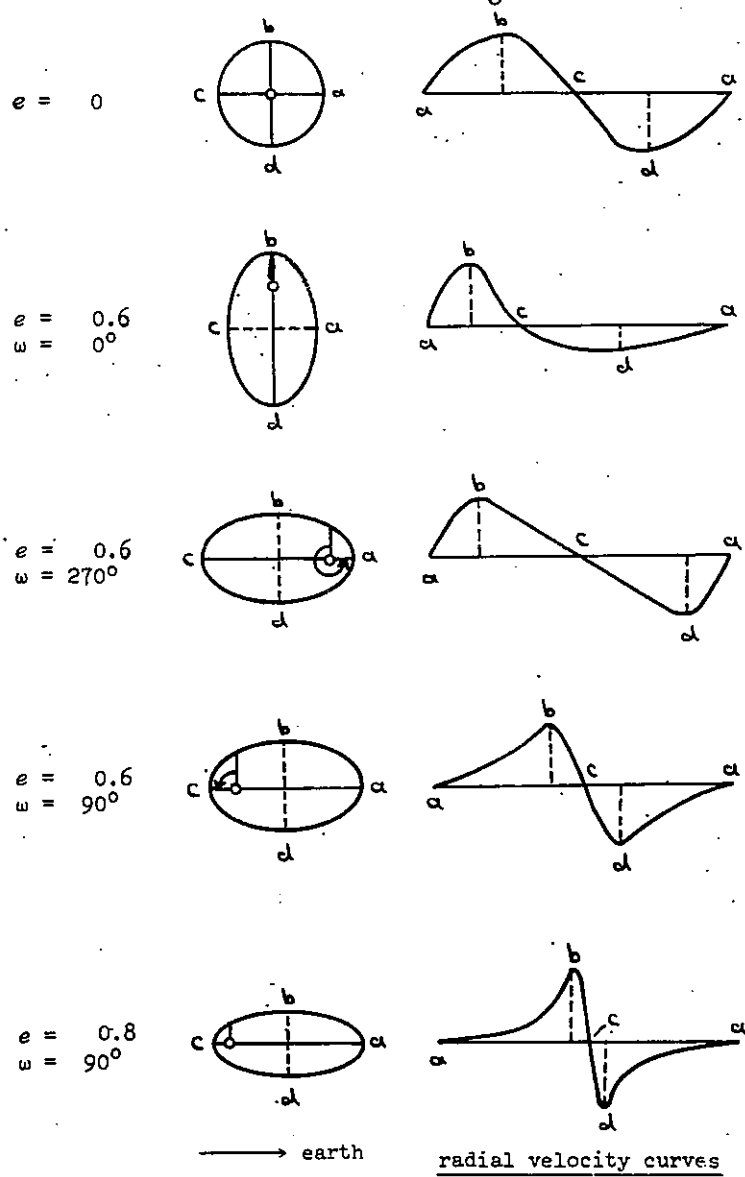
$$K III : P^2 = \frac{4\pi^2}{MG} a^3 \Rightarrow MG = \frac{4\pi^2 a^3}{P^2}$$

$$\Rightarrow \sqrt{\frac{MG}{a(1-e^2)}} = \frac{2\pi}{P} \sqrt{\frac{a^3}{a(1-e^2)}} = \frac{2\pi a}{P} \cdot \frac{1}{\sqrt{1-e^2}}$$

$$v = v_o + \frac{2\pi}{P} \frac{1}{\sqrt{1-e^2}} \sin i \left[ e \cos \omega + \cos(\omega + \vartheta) \right]$$

Tässä säteisnopeuden lausekkeessa ovat tuntemattomia suureita  $v_o$ ,  $P$ , asini,  $e$ ,  $\omega$  sekä periheliaika  $t_o$  (sisältyy luonnolliseen anomaliaan  $\vartheta_o$ ). Tuntemattomat voidaan ratkaista mittamalla kuusi säteisnopeusarvoa yhden kierroksen aikana (käytännössä mitataan usein kaksoistähden koko säteisnopeuskäyrä). Huomautettakoon, että säteisnopeuskäyrästä ei saada radan isoakselia eikä inklinatiota i erikseen vaan ainoastaan suure asini. Jos kummallekin kaksoistähden komponentille säteisnopeuskäyrä on mitattu, saadaan havainnoista  $a_1 \sin i$  ja  $a_2 \sin i$ .

Alla olevissa kuvissa 1 ja 2 on esimerkkejä kaksoistähden säteisnopeuskäyristä eri periastronin pituuksien  $\omega$  ja eksentrisyyden  $e$  arvoilla. Pintalauseen mukaiset nopeudenvaihTELUT sekä radan muoto ja asento havaitsejaan nähdyn aikaansaavat erinäköiset säteisnopeuskäyrät. Kuvassa 2 näkyvän katkoviivan kummankin puolen pinta-alat ovat yhtäsuuret, joten katkoviivan ilmoittama vakionopeus on systeemin massakeskipisteen nopeus  $v$  Auringon suhteen.



Kuva 1

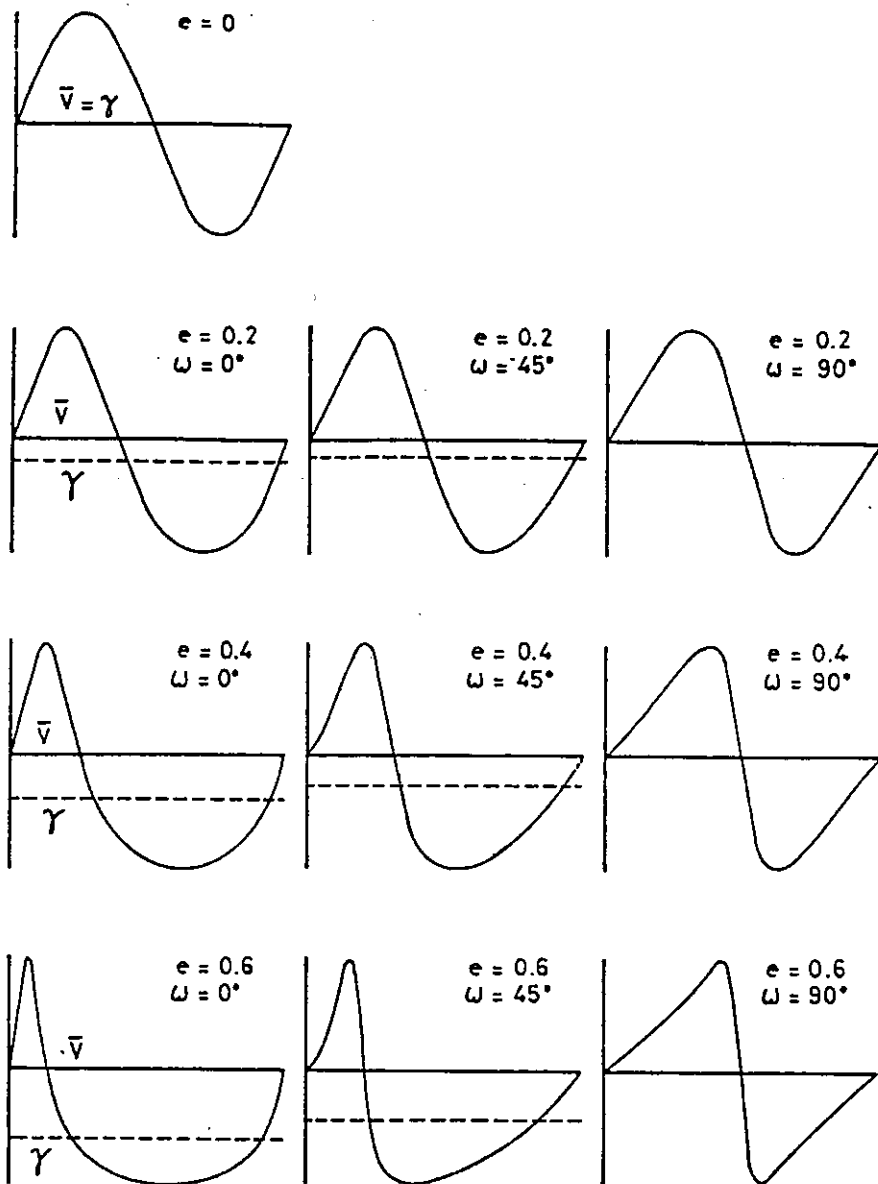


Fig. 2. The shapes of radial-velocity curves for different values of the elements  $e$  and  $\omega$ .

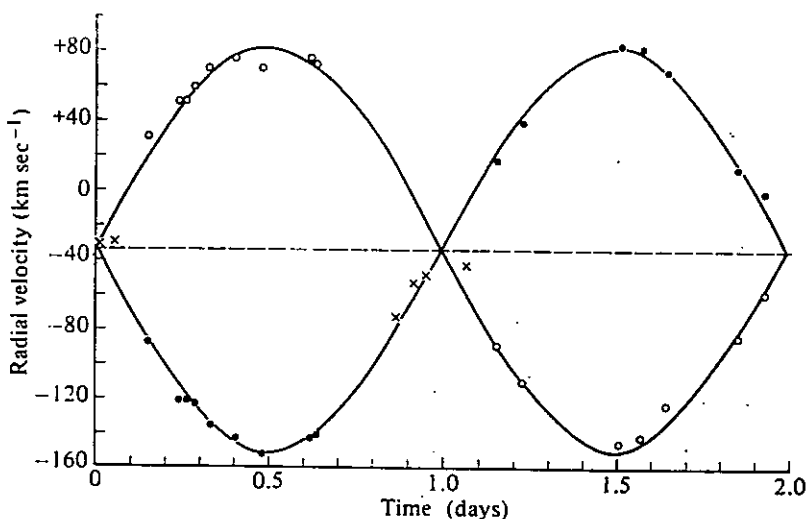


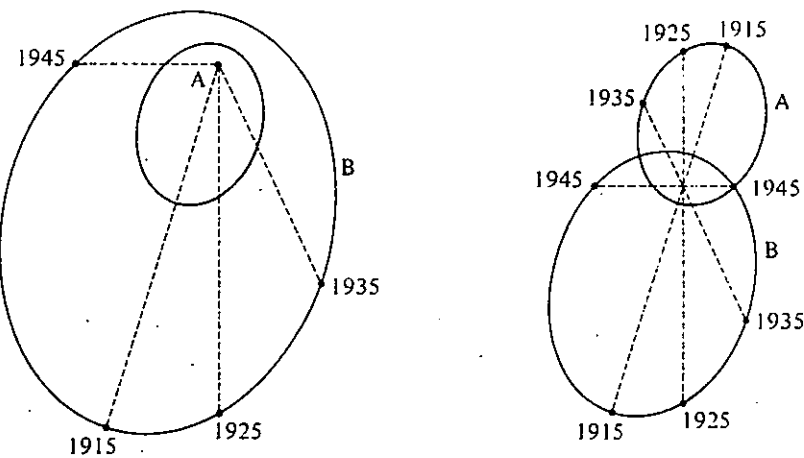
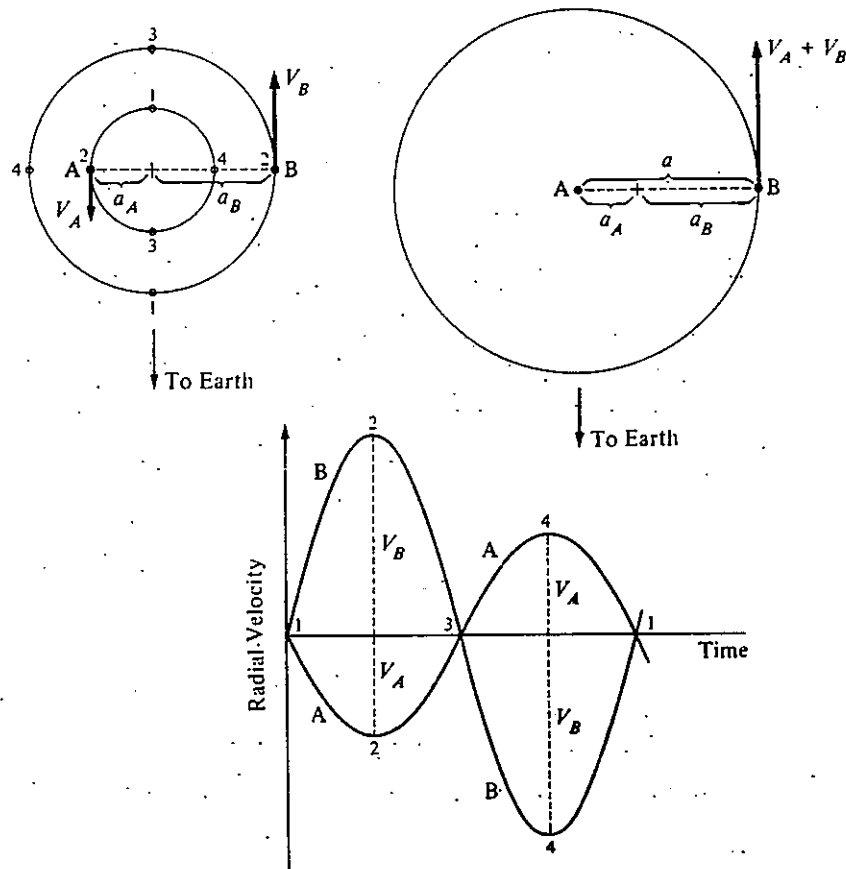
Fig. 3. The Radial Velocities of AR Lacertae. This is a spectroscopic (as well as an eclipsing) binary system, for which the spectra of both components are measurable. Black dots refer to the component designated  $H$  in the text, the white dots to component  $C$ . Crosses represent blended spectral lines of the two stars. The abscissa has the same zero point as in Fig. 1-8. [R. F. Sandford, 1951 (103).]

*Fig.* Correspondence between Positions in the Orbit and Points on the Radial Velocity Curve. The cases of a mass ratio of 2:1 for stars A and B is illustrated.

*Upper Left:* Orbits of the two components about the center of mass, marked +.

*Upper Right:* Relative orbit of star B about star A.

*Lower:* The corresponding radial velocity curves. The amplitude of curve B is twice that of A.



*Fig.* The Orbits of the Components of the Visual Binary System 99 Herculis. *Left:* Relative orbit of star B about star A (larger ellipse) and of the center of mass of the system about star A (smaller ellipse).

*Right:* Orbits of the two components about their center of mass, located at the intersection of the lines connecting the stars.

The dots are much larger than the actual stars in relation to the size of the orbit.  
[Adapted from P. van de Kamp, 1958 (32), p. 213.]

### 1.2.3 Kaksoistähtien massat

Havaintotekniikan perusteella luokitellaan kaksoistähtiä seuraavasti:

- Visuaaliset kaksoistähdet : Komponentit näkyvät (tai ovat interferometrisesti) erillään toisistaan.
- Astrometriset kaksoistähdet : Havaitaan "tähtenä, jolla näkymätön seuralainen" lähinnä näkyvä komponentin jaksollisten paikanmuutosten perusteella (liike systeemin massa-keskipisteen ympäri). Tämä ryhmä luokitellaan usein visuaalisten kaksoistähtien alaluokaksi.
- Spektroskooppiset kaksoistähdet : Kaksoistähti paljastuu spektroskoopilla menetelmillä. Säteisnopeuden jaksollinen muutos havaitaan jaksollisia siirtyminä spektriviivoissa Doppler-efektin perusteella ( $\frac{\Delta\lambda}{\lambda} = \frac{v_r}{c}$ )
- Fotometriset kaksoistähdet : Ratataso on kohtisuorasti taivaanpallon tangenttitasoa vasten, minkä johdosta tähdet vuorotellen peittävät toisensa (valominimit). Tätä ryhmää kutsutaan myös pimennysmuuttujiksi ja luokitellaan usein spektroskooppisten kaksoistähtien alaluokaksi.
- Röntgenkaksoistähdet : Systeemissä hyvin kompakteja komponentteja, jotka voivat olla erillään toisistaan (detached) tai kontaktissa keskenään (esim. Algol, W UMa), jolloin massaa siirryy komponentista toiseen.

#### 1) Visuaalisen kaksoistähden massanmääritys

$$\text{Kepler III : } P^2 = \frac{4\pi^2}{MG} a^3 , \text{ missä } M = m_1 + m_2$$

Havainnoista saadaan  $a''$  ja  $P$ .

- a) Jos toisen komponentin suhteellinen rata toisen ympäri on mitattu ( $a''$ ) ja etäisyys  $d$  tunnetaan ( $a = d \cdot a''$ ) voidaan Keplerin III lain avulla kokonaismassa  $M = m_1 + m_2$  määritettää.
  - b) Jos komponenenttien absoluuttiset radat (komponettien liike massa-keskipisteen ympäri on mitattu taustataivaan tähtien suhteeseen) on havaittu, saadaan komponenttien massojen suhde :
- $$\frac{m_1}{m_2} = \frac{a_2''}{a_1''}$$
- c) Jos sekä a) että b) ovat tiedossa, voidaan kummankin komponentin massa määritttää.

### 2) Astrometrisen kaksoistähden massanmääritys

Jos näkyvän komponentin absoluuttinen rata on mitattu, niin

$$\left. \begin{aligned} \frac{a_1}{a} &= \frac{m_2}{m_1 + m_2} \\ P^2 &= \frac{4\pi^2}{(m_1 + m_2)G} a^3 \end{aligned} \right\} \Rightarrow \frac{m_2^3}{(m_1 + m_2)^2} = \frac{4\pi^2}{G} \frac{a_1^3}{P^2}$$

### 3) Spektroskooppisen kaksoistähden massanmääritys

Ratatasoinklinaation ollessa tuntematon saadaan havainnoista vain ratanopeuden  $v$  komponentti näköäteen suunnassa :  $v_r = v \sin i$  (esim. ympyräradan tapauksessa  $v_r = (2\pi a/P) \sin i$ ). Havaitsemalla  $v_r$  sekä kiertoaika  $P$  saadaan radan isoakselin projektio ja massafunktio seuraavasti:

- a) Vain yksi komponentti näkyvissä (kun  $\Delta m > 1''$ ) ja siten vain yksi spektri käytettävässä.

Radan isoakselin puolikkaan projektio :  $a_1 \sin i$

Massafunktio: 
$$\frac{(m_2 \sin i)^3}{(m_1 + m_2)^2} = \frac{m_2 \sin^3 i}{(1 + \frac{m_1}{m_2})^2} = \frac{4\pi^2}{G} \frac{(a_1 \sin i)^3}{P^2}$$

missä  $m_1$  = havaitun komponentin massa  
(Osoitus harjoitustehtävävä)

- b) Molempien komponenttien spektrit käytettävissä, mutta vain suhteelliset viivasiirtymät (suhteellinen rata) on mitattu. Tällöin  $(a_1 + a_2) \sin i = a \sin i$  ja massafunktion lausekkeena on

$$(m_1 + m_2) \sin^3 i = \frac{4\pi^2}{G} \left( \frac{a \sin i}{P^2} \right)^3$$

- c) Molempien komponettien spektrit käytettävissä ja absoluuttiset viivasiirtymät (absoluuttiset radat) mitattu:

$$\begin{aligned} v_1(\max) \\ v_2(\max) \end{aligned} \Rightarrow \begin{aligned} a_1 \sin i \\ a_2 \sin i \end{aligned} \Rightarrow \begin{aligned} \frac{m_1}{m_2} = \frac{a_2 \sin i}{a_1 \sin i} \\ P_1 = P_2 = P \end{aligned} \xrightarrow[\text{(kts. harj. tehtävä)}]{KIII} \begin{aligned} m_1 \sin^3 i \\ m_2 \sin^3 i \end{aligned}$$

Massafunktioit eivät anna yksittäisten komponettien massoja, vaan niitten avulla saadaan ainoastaan tilastollista tietoa kaksoistähden massoista. Olettamalla, että ratojen inklinatiot ovat jakautuneet tasaisesti, voidaan  $\sin i$  - lausekkeelle antaa keskimääräinen arvo:  $\overline{\sin^3 i} = 0.59$ . Todettakoon, että koska  $\sin i \leq 1$ , saadaan edellä esitettyllä menetelmällä vain alarajoja kaksoistähden massoille.

#### 4) Pimennysmuuttujan massanmääritys

Kummankin komponentin säteisnopeuskäyrä on mitattu. Huomioimalla, että inklinatio  $i = 90^\circ$ , voidaan kohdan 3c mukaisesti määrittää massat  $m_1$  ja  $m_2$  (harjoitustehtävä). Pimennysmuuttujien avulla määritetyt massa-arvot ovat erittäin luotettavia, koska pimennysmuuttujien etäisyksiä ei tarvitse tuntea. Esimerkiksi ympyräradan tapauksessa

$$v_r(\max) = \frac{2\pi a}{P} \quad \Rightarrow \quad a = \frac{v_r(\max) \cdot P}{2\pi}$$

ts.  $a$  saadaan suoraan kilometreissä, vaikka etäisyys olisi tuntematon.

#### 5) Kertymäkiekon omaavan kaksoistähden massanmääritys

Mikäli lähekkäisissä kaksoistähdissä toinen komponentti on kompakti tähti, virtaa ainetta toisesta tähdestä tähän kompaktiin komponenttiin kertymäkiekon välityksellä. Jos tähdellä on voimakas magneettikenttä,

törmää kertymäkiekon aine suurella nopeudella tähden degeneroituneeseen materiaan synnyttäen röntgen- ja optista säteilyä, joka sirottuu kertymäkiekon vapaista elektroneista. Havaittu valo on siten polaroitunutta. Jos tähden magneettikenttä on hyvin voimakas ( $\sim 10^8$  Gauss) lähettiläät kertymäkiekon nopeat elektronit myös optista syklotronisäteilyä, jonka ympyräpolarisaatioaste voi olla jopa 20%. Koska tähden magneettikentän ja näköäteen välinen kulma muuttuu kaksoistähden rataperiodin mukana, riippuu havaittu polarisaatioaste rataperiodin vaiheesta. Sovittamalla kolmiulotteinen numeerinen malli havaittuihin intensiteetti- ja polarisaatiokäyriin voidaan kaksoistähtisysteemin geometria (mm. inklinatio) ratkaista. Näin saadun inklination sekä tähtien spektrien viivasiirtymien avulla voidaan edelleen määrittää kaksoistähtikomponenttien massat.

#### 6) Tuloksia kaksoistähtien massanmääritystäksistä

Aurinko on ainoa yksinkertainen tähti, jonka massa tunnetaan. Muitten tähtien massat perustuvat kokonaan kaksoistähtihavaintoihin. Ei ole epäilystä kuitenkaan siitä, etteivätkö yksinkertaisten tähtien massat olisi samaa suuruusluokkaa kaksoistähtikomponenttien massojen kanssa.

Tarkkoja ratamääritystäksistä on tehty noin 25:lle visuaaliselle kaksoistähdelle, joiden etäisyysdet ovat luotettavasti mitattu trigonometristen parallaksien avulla. Näihin havaintoihin perustuvat pienimassaisten tähtien massanmääritykset. (Huom. Auringon ympäristössä suhteellisen runsaasti pienimassaisia tähtiä). Suurimassaisten tähtien massa-arvot on saatu spektroskooppisten kaksoistähtien havainnoista, jolloin etäisyksiä ei tarvitse tietää. Jos kaksoistähti on samalla pimennysmuuttuja ( $i=90^\circ$ ) voidaan tähtien massat yksikäsitteisesti määrittää. Empiirinen massa-luminositeettirelaatio pääsarjan tähdille perustuu juuri visuaalisten ja spektroskooppisten kaksoistähtien massanmääritystäksien.

Tähtien sisäisen rakenteen teoria antaa stabiileille tähdille seuraavat massa-arvot:

$$0.09 M_\odot < M < 65 M_\odot$$

Luotettavat havainnot puolestaan antavat massarajoiksi

$$0.06 M_{\odot} < M < 35 M_{\odot}$$

Muutamia epävarmoja tapauksia tunnetaan, joissa tähdien massa  $M \approx 65 M_{\odot}$ .

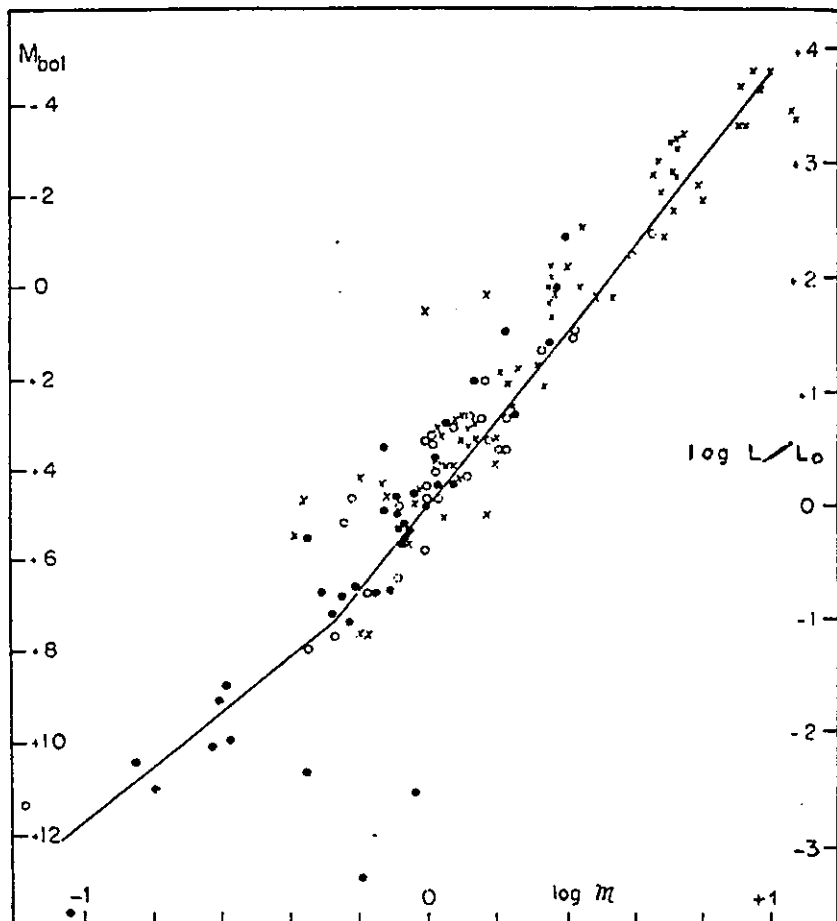


Fig. The empirical mass-luminosity relationship. The symbols distinguish results from visual components (high quality = dots; fair quality = circles) and from eclipsing components (crosses).

Seuraavat riippuvuudet kuvaavat parhaiten kuvan havaintopisteitä:

$$M_{\text{bol}} = 4.8 - 9.5 \lg M \quad \lg \left( \frac{L}{L_{\odot}} \right) = 3.8 \lg M \quad ; \quad M > 0.5 M_{\odot}$$

$$M_{\text{bol}} = 5.8 - 6.0 \lg M \quad \lg \left( \frac{L}{L_{\odot}} \right) = 2.4 \lg M - 0.4 \quad ; \quad M < 0.5 M_{\odot}$$

HUOM. Yllä olevia relaatioita voidaan käyttää vain pääsarjan tähdille.

## DOUBLE STARS

TABLE I  
Some visual binaries

Star	Vis.	Mags.	Spectrum	P(yr)	$a$	$e$	$\pi_{\text{trig}}$	$\pi_{\text{dyn}}$	Masses
ADS 61	6.5	7.3	G4V, G8V	106.83	1.432	0.450	0.045	0.053	1.3 1.5 t
ADS 490	5.6	6.3	F8V	6.94	0.20	0.73	0.058	0.039	s
ADS 520	6.3	6.4	G5V	25.0	0.670	0.22	0.070	0.065	0.9 0.9 d
$\eta$ Cas	3.5	7.2	G0V, M0V	480	11.99	0.497	0.170		0.9 0.6 t
ADS 1538	6.8	6.8	G0V	158.4	1.00	0.69	0.025	0.025	1.3 1.3 d
48 Cas	4.8	6.6	A4V	60.44	0.653	0.345	0.024	0.028	2.1 1.2 d
10 Ari	5.9	7.7	F4V	288	1.256	0.56	0.024	0.020	1.8 1.2 d
ADS 1709	6.7	7.1	F5V	144.7	0.908	0.26	0.031	0.024	1.3 1.3 d
ADS 1865	9.4	9.6	dM2	25.25	0.540	0.17	0.070	0.059	0.6 0.6 d
$\epsilon$ Cet	5.5	5.5	F5	2.67	0.114	0.28	0.059	0.044	1.3 1.3 d
+68° 278	11.6	11.6	dM2	57.7	0.67	0.65	0.054	0.050	0.4 0.4 d
ADS 2959	7.5	8.6	G5V	394.7	2.101	0.65		0.033	1.0 0.7 d
40 Eri BC	9.5	11.2	DB9, M4Vc	252.1	6.943	0.410	0.207		0.4 0.2 t
ADS 3135	7.2	8.2	dF7	91.04	0.561	0.604	0.028	0.021	1.3 1.0 d
ADS 3475	7.4	7.5	dF7	16.30	0.202	0.440	0.024	0.024	1.1 1.1 t
ADS 4153	9.5	10.0	K0	60.60	0.309	0.75		0.017	0.8 0.8 d
$\sigma$ Ori AB	4.1	5.1	O9V	170	0.247	0.07		0.002	25 10 d
I Gem	4.9	5.2	G5III	13.17	0.19	0.325	0.026	0.019	2.5 2.3 ds
ADS 5234	7.1	8.9	dG2	114.8	0.860	0.71	0.027	0.030	1.1 0.7 d
$\alpha$ CMa	-1.4	8.6	A1V, DA	50.09	7.50	0.592	0.375		2.3 0.9 t
I 65	6.9	7.1	F5	16.74	0.218	0.43	0.064	0.025	1.3 1.2 d
$\alpha$ Gem AB	1.9	2.9	A1V, A5m	420	6.295	0.33	0.070		2.1 2.1 ts
$\alpha$ CMi	0.5	12	F5IV	40.65	4.548	0.40	0.287		1.8 0.7 t
9 Pup	5.6	6.2	G0V	23.18	0.58	0.69	0.067	0.056	0.6 0.6 t
ADS 6483	7.0	7.1	dF6	57.04	0.440	0.77		0.022	1.3 1.3 d
$\zeta$ Cnc AB	5.6	5.9	F8V	59.7	0.884	0.32	0.047	0.042	1.0 0.9 t
ADS 6914	5.4	6.7	dG6	145.0	1.700	0.13	0.058	0.046	1.4 1.0 d
$\varepsilon$ Hya AB	3.8	5.0	G0IV	15.05	0.238	0.67		0.027	1.7 1.4 d
Kpr 37	4.2	6.1	F5V	21.85	0.619	0.15	0.074		0.8 0.4 t
$\kappa$ UMa	4.3	4.5	B9n	70.1	0.27	0.04	0.010	0.009	4.9 4.8 d
13 UMa	5.0	8.2	F7IV	1067	6.20	0.814	0.052	0.046	1.4 0.8 d
$\phi$ 347	7.2	7.2	G5	2.65	0.126	0.31	0.062	0.057	0.8 0.8 d
ADS 7284	7.9	8.0	dK4	34.20	0.660	0.35	0.057	0.055	0.7 0.7 t
$\phi$ 363	6.2	6.2	F2	3.20	0.124	0.51	0.051	0.043	1.2 1.2 d
$\omega$ Leo	6.0	6.7	dF8	116.85	0.875	0.56	0.028	0.026	1.6 1.3 d
$\psi$ Vel	4.1	4.6	F2IV	34.11	0.920	0.440	0.059	0.061	1.6 1.4 d
$\gamma$ Sex	5.7	6.2	A0n	75.60	0.385	0.70		0.012	2.8 2.5 d
ADS 7685	8.3	10.0	G5V	157.5	0.845	0.949		0.025	0.9 0.6 d
p Vel	4.4	5.3	F2, A3	16.30	0.340	0.73	0.033	0.034	s
ADS 7871	8.1	9.9	dF6	241.1	0.51	0.09	0.019	0.011	1.5 0.9 d
$\gamma^1$ Hya	5.8	5.9	dF4	7.40	0.140	0.285	0.033	0.025	1.7 1.6 d
$\xi$ UMa Aa-B	4.4	4.9	G0IV	59.84	2.530	0.414	0.130		1.1 0.9 ts
$\iota$ Leo	4.0	6.7	F2IV	204.5	1.960	0.55	0.047	0.039	2.1 1.0 d
Brs 5	7.6	8.6	K7V	421.6	5.760	0.68	0.085	0.099	0.6 0.5 d
ADS 8197	5.8	7.1	F6V	72.87	0.813	0.398	0.048	0.034	1.3 1.1 d
$\gamma$ Cen	2.9	2.9	A0III	84.59	0.939	0.789	0.010	0.025	3.8 3.8 d
$\gamma$ Vir	3.7	3.7	F0V, F0V	171.4	3.746	0.881	0.090	0.083	1.2 1.2 t
$\alpha$ Com	5.1	5.1	F5V	25.83	0.672	0.494	0.038	0.039	1.6 1.7 t
ADS 8862	9.0	9.7	M2V	48.85	1.465	0.225	0.119	0.115	0.5 0.3 t
I 365	6.3	6.6	F8	34.80	0.498	0.80		0.035	1.2 1.2 d

## THE COMBINED SPECTROSCOPIC-VISUAL ORBIT

TABLE II  
Some spectroscopic binaries

Star	Mag	Sp.	$P(d)$	$e$	$K_1$	$K_2$	Min. Masses or Mass Function
$\alpha$ Phe	2.3	K0	3848.8	0.34	5.8		0.07
$\pi$ And	4.4	B3, B3	143.61	0.56	47.5	117.4	26.9 10.9
$\zeta$ And	5.1	K0	17.77	0.02	26.0		0.03
$\zeta$ Phe	3.9	B6	1.67	0.03	121.4	247	6.0 3.0
$\gamma$ Phe	3.4	K5	193.79	0.00	16.0		0.08
$\delta$ Tri	4.9	G0	9.93	0.06	8.8		0.0007
$\sigma$ Per	3.8	B1	4.42	0.04	109.3	159.4	5.2 3.6
52 Per	4.7	G5, A2	1576.44	0.05	43.1		0.74
63 Tau	5.6	Am	8.42	0.10	37.6		0.05
66 Eri	5.2	B9	5.52	0.07	97.0	111.0	2.5 2.2
$\alpha$ Aur	0.0	G5, G0	104.02	0.00	26.4	27.5	2.7 2.5
$\delta$ Ori	2.2	B1	5.73	0.08	101.0	263	20.5 7.9
$\theta$ Ori B	7.8	B0	6.50	0.14	81		0.35
$\iota$ Ori	2.8	O8	29.14	0.76	115.2	195.8	15.9 9.4
136 Tau	4.6	A0	5.97	0.02	48.9	71	0.6 0.4
$\delta$ Col	3.9	G5	868.78	0.70	10.6		0.04
$\tau$ Pup	2.8	K0	1066.0	0.09	4.1		0.008
19 Lyn	5.6	B8, B8	2.26	0.08	106.4	199.1	4.3 2.3
63 Gem	5.2	F5	1.93	0.00	94.6	116.8	1.0 0.8
$\delta$ Gem	4.3	K0	19.60	0.02	34.2		0.08
$\iota$ Hya	5.6	F1	1.56	0.05	30.3		0.004
$\epsilon$ Hya C	6.9	F5	9.90	0.62	35.0		0.02
$\sigma$ Leo	3.5	F5, A3	14.50	0.00	54.1	63.1	1.3 1.1
30 UMa	5.0	A0	11.58	0.38	34.1		0.04
$\omega$ UMa	4.7	A0	15.83	0.30	22.2		0.02
$\xi$ UMa A	4.4	G0	669.1	0.56	8.3		0.8 0.3
$\xi$ UMa B	4.9	G0	3.98	0.00	5.0		0.00005
95 Leo	5.5	A2, A2	6.63	0.02	57.6	80	1.0 0.7
$\zeta$ UMa A	2.3	A2	20.54	0.54	67.6	68.8	1.7 1.6
$\alpha$ Vir	1.0	B2, B3	4.01	0.15	117.2	193.6	7.5 4.5
3 Boo	5.8	F5	36.04	0.49	54.0	65.8	2.3 1.9
$\alpha$ Dra	3.7	A0 p	51.42	0.38	46.9		0.44
12 Boo	4.8	F5, F5	9.60	0.17	68.4	72.0	1.4 1.3
$\beta$ CrB	3.7	F0 p	3834	0.41	9.2		0.24
$\psi^2$ Lup	4.5	B6	12.26	0.19	63.3	66.4	1.3 1.3
$\epsilon$ Her	3.9	A2	4.02	0.02	70.7	112	1.6 1.0
$\chi$ Dra	3.6	F8	280.33	0.45	18.0		0.12
$\delta^2$ Tel	5.3	B6	21.71	0.22	34.9		0.09
46 Dra	5.1	A0, A0	9.81	0.02	28.1	34.1	0.1 0.1
2 Sge	6.0	A3	7.39	0.05	52.8	77.6	1.0 0.7
$\theta$ Aql	3.2	B9, B9	17.12	0.61	51.0	63.7	0.8 0.6
18 Vul	5.5	A2	9.32	0.01	78.5	86.3	2.3 2.1
35 Cyg	5.2	F5	2440	0.51	9.6		0.14
$\alpha$ Pav	2.0	B3	11.75	0.01	7.2		0.0005
57 Cyg	4.8	B3, B3	2.85	0.14	117	126	2.1 2.0
77 Cyg	5.5	A0	1.73	0.03	109.7	110.3	0.9 0.9
14 Peg	5.0	A0	5.30	0.53	37.0	40.4	0.1 0.1
2 Lac	4.6	B5, B6	2.62	0.00	74.8	96	0.8 0.6
HD 214479	9.1	M1, M1	4.08	0.01	46.8	58.1	0.3 0.2
74 Peg	6.1	A0	11.23	0.04	26.7		0.02

### 1.3 LINNUNRADAN ROTAATIO JA MASSAJAKAUTUMA

#### 1.3.1 Linnunradan massamalli

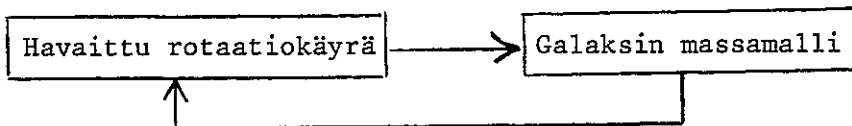
Probleema: Miten tähdet liikkuvat kaikkien muitten tähtien aikaan-saamassa gravitaatiokentässä?

Teoreettisesti probleemaa olisi käsiteltävä n-kappaleen probleemana, jossa massakappaleen  $m_i$  liikeyhtälö on

$$m_i \ddot{r}_i = - \sum_{k=1}^n G m_i m_k \frac{\dot{r}_i - \dot{r}_k}{r_{ik}^3}$$

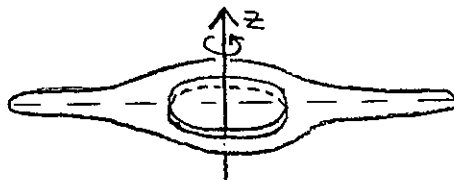
Siis periaatteessa  $3n$  kappaletta 2. kertaluvun differentiaaliyhtälöä, joitten ratkaisemiseksi joudutaan suorittamaan  $6n$  integrointia, joista vain 10 voidaan ratkaista suljetussa muodossa.

Onneksi on havaintoja Linnunradan tähtitiheyksistä sekä rotaatiokäyrää, jolloin probleemaa voidaan lähestyä seuraavasti. Havaitsemalla Linnunradan ( tai muun galaksin) rotaatiokäyrä (tähden ratanopeus galaksikeskuksen ympäri tähtien ja galaksikeskuksen välisen etäisyyden funktiona) voidaan laatia ensimmäinen karkea malli Linnunradan massajakautumalle. Vertaamalla massamallin teoreettista rotaatiokäyrää havaintoihin saadaan massamallia täsmennettyä.



Galaksin massajakautuma määrityy tähtijakauman perusteella. Linnunradassa kasvaa tähtitiheys (=tähtien lukumäärä/ $\text{pc}^3$ ) ja siten massatiheys ( $\text{g}/\text{cm}^3$ )

- 1) Linnunradan tasoa kohden
- 2) Linnunradan keskustaa kohden



Tarkastellaan seuraavassa aksialisymmetristä massamallia, jossa tähdet liikkuvat ympyräradalla galaksin tasossa ( $z=0$ ) ratanopeudella  $v = \Theta(r)$  (perinteinen merkintätapa Linnunradan dynamiikassa).

Kiertyvyyden radiaalikomponetti:

$$a_r = \ddot{r} - r\dot{\theta}^2$$

ympyräliikkeessä:  $\ddot{r} = 0$

$$a_r = -\frac{(r\dot{\theta})^2}{r} = -\frac{\Theta^2(r)}{r}$$

Toisaalta radiaalikiertyvyys voidaan lausua gravitaatiopotentiaalin  $\phi$  gradienttina:

$$a_r(r) = -\left[\frac{\partial \phi(r, z)}{\partial r}\right]_{z=0} \Rightarrow \phi(r, 0) = \int \vec{a}_r \cdot d\vec{r} \quad \left| a_r = -\frac{GM}{r^2} \right.$$

$$\phi(r, z) = -G \int_{\text{koko galaksi}} \frac{\rho(r', z') dV}{|\vec{r} - \vec{r}'|}$$

Kun massajakauma (keskimääräinen tiheys  $\rho$ ) tunnetaan tai oletetaan tunnetuksi, voidaan gravitaatiopotentiaali laskea galaksin jokaisessa pisteessä. Kytken määritetyn gravitaatiopotentiaalin  $\phi$  ja rotaatiokäyrän  $\Theta(r)$  välillä on:

$$a_r = -\frac{\partial \phi}{\partial r} = -\frac{\Theta^2(r)}{r}$$

ESIM: Määritä rotaatiokäyrän muoto, kun massamallina on homogeeninen,  $r_0$ -säteinen pallo.

a) Pallon sisäpuolella

säteen  $r$  sisäpuolelle jäävä massa:  $M(r) = \frac{4}{3}\pi r^3 \cdot \rho$

$$a_r = -G \frac{M(r)}{r^2}$$

$$-\frac{\Theta^2(r)}{r} = -G \frac{4\pi r^3 \rho}{3r^2}$$

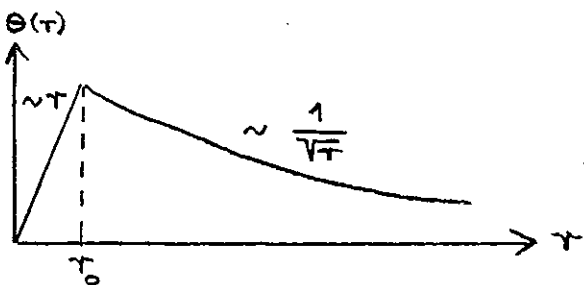
$$\Theta(r) = \sqrt[3]{\frac{4}{3}\pi \rho r^5} \sim r^2$$

b) Pallon ulkopuolella

$$a_r = -G \frac{M}{r^2}, \quad M = \frac{4}{3}\pi r_0^3 \cdot \rho$$

$$-\frac{\Theta^2(r)}{r} = -G \frac{4\pi r_0^3 \rho}{3r^2}$$

$$\Theta(r) = \sqrt{\frac{GM}{r}} \sim \frac{1}{\sqrt{r}}$$



Seuraavalla sivulla on esitetty muutamien galaksien havaittuja rotaatiokäyriä.

- Linnunradan vanhemmissa massamalleissa on käytetty
  - pallomaista massajakaumaa (pistemassa galaksin keskustassa)
  - homogenista pyörähdyssellipsoidia
  - pallomaista jakaumaa + litteä ellipsoidi

Ehkä eniten käytetty malli on Schmidtin massamalli vuodelta 1965:

epähomogeninen pyörähdyssellipsoidi+ massapiste Linnunradan keskustassa

Epähomogeninen pyörähdyssellipsoidi kuvataan samankeskisillä ellipsoidikuorilla, joilla jokaisella on oma tiheytsensä.

Massamallin avulla voidaan laskea esimerkiksi Linnunradan kokonaismassa (katso harjoi tustehtävää). Schmidtin massamalli antaa tulokseksi:

$M(\text{pyörähdyssellipsoidi})$	$= 1.75 \times 10^{11} M_{\odot}$
$M(\text{keskus})$	$= 0.07 \times 10^{11} M_{\odot}$
kokonaismassa	$= 1.82 \times 10^{11} M_{\odot}$

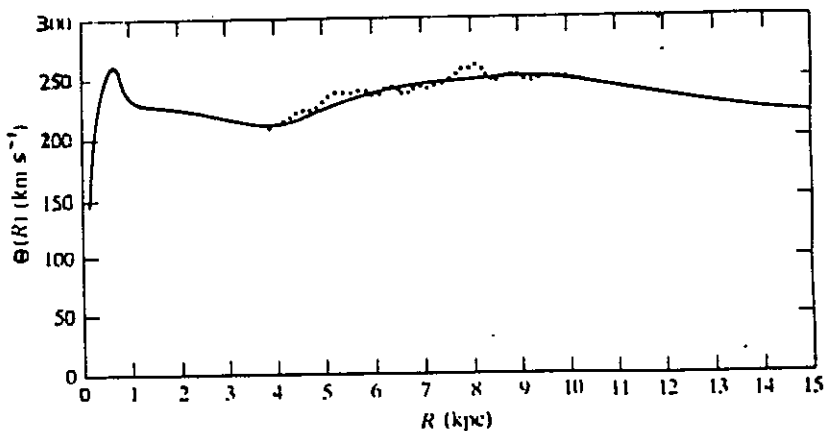


Figure 1. The rotation curve  $\Theta(R)$  for the inner parts of our Galaxy as derived from 21-cm observations by W. W. Shane and G. P. Bieger-Smith (S4). Individual data points are plotted as dots, and the smooth curve is from dynamical models. [From (B15). Reproduced with permission from the *Annual Review of Astronomy and Astrophysics*, Volume 14. Copyright © 1976, Annual Reviews, Inc.]

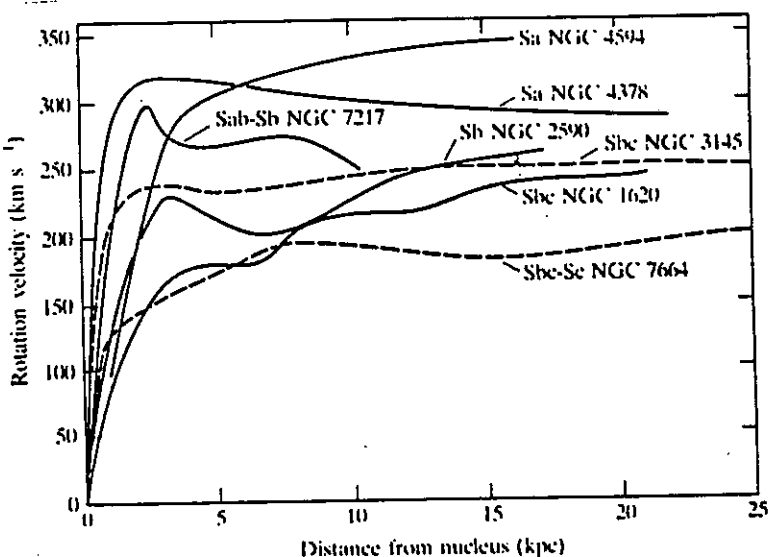


Figure 2. Rotation curves of spiral galaxies, obtained from optical measurements. [From (R8), by permission. Copyright © 1978 by the American Astronomical Society.]

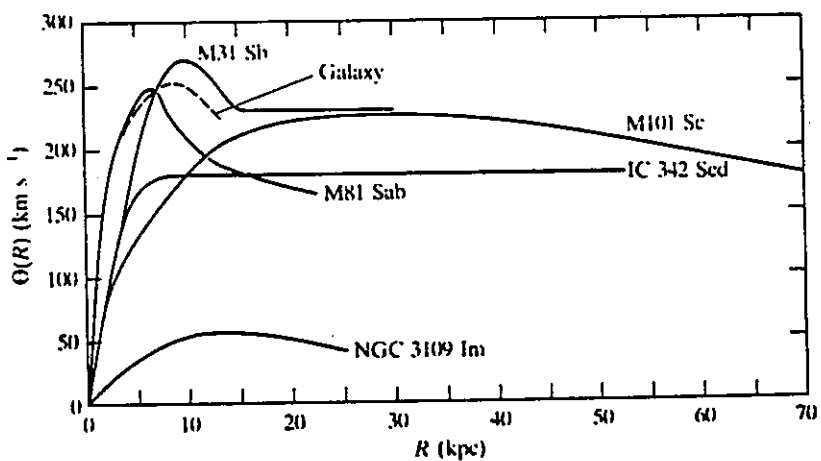


Figure 3. Rotation curves for spiral galaxies (including our Galaxy) from 21-cm line radio measurements. Notice that the rotation curves of M31 and IC 342 show no evidence for an outward decline and that we have no reliable information about our Galaxy's rotation curve beyond the solar radius. [Data from (H3, 331), (H4), (R1), and (R5).]

### 1.3.2 Linnunradan differentiaalisen rotaation kaavat

Linnunrata ei pyöri jäykän kappaleen tavoin, vaan eri etäisyksillä galaksin keskustasta olevat tähdet liikkuvat eri nopeuksilla. Ulompana olevan tähden kiertonopeus galaksin keskustan ympäri on pienempi kuin lähempänä keskustaa kiertävän tähden nopeus

$\rightarrow \rightarrow \rightarrow$	$\leftarrow \leftarrow \leftarrow$	$\nwarrow \cdot \swarrow \leftarrow \leftarrow \nwarrow$
$\rightarrow \odot \rightarrow \rightarrow$	$\cdot \odot \cdot$	$\cdot \odot \cdot \cdot \odot \cdot$
$\rightarrow \leftarrow \rightarrow \rightarrow$	$\rightarrow \rightarrow \rightarrow$	$\nearrow \cdot \searrow \downarrow \rightarrow \nearrow$

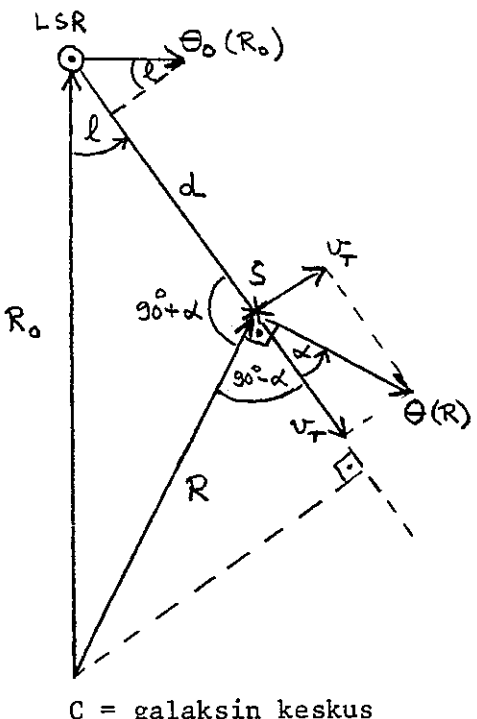
  

absoluuttinen nopeuskenttä	suhteellinen nopeuskenttä (Auringon suhteen)	radiaalinopeus- kenttä Auringon sunteen	tangentiaali- nopeuskenttä Auringon suht.
-------------------------------	--	---	---

Määritellään Auringon lähiympäristölle nopeuskoordinaatisto LSR (=local standard of rest), joka kiertää galaksin keskustaa ympyrärataa pitkin. Jos siis tähden  $v_{LSR} = 0$ , kiertää tähti galaksin keskustaa ympyräradalla.

HUOM. 1 Auringon  $v_{LSR}$  ei ole tarkalleen nolla

HUOM. 2 LSR voidaan myös määritellä Auringon lähiympäristön nuorten tähtien kinemaattisena painopisteenä.



- $S$  = tarkasteltava tähti
- $\theta_0(R_0) = v_0 =$  Auringon ratanopeus galaksin keskustan suhteen
- $R_0 =$  Auringon etäisyys galaksin keskustasta
- $R =$  tarkasteltavan tähden etäisyys galaksin keskustasta
- $\theta(R) = v_* =$  tähden ratanopeus galaksin keskustan suhteen
- $d =$  tähden etäisyys LSR:stä
- $l =$  galaktinen pituus

$C =$  galaksin keskus

Olkoon tähden S radiaalinopeus LSR:n suhteen  $v_r$

$$v_r = (v_*)_r - (v_\odot)_r$$

$$v_r = \Theta(R) \cos \alpha - \Theta_o(R_o) \sin l$$

$\cos \alpha$  lausutaan sinilauseen  
avulla kolmiosta OCS :

$$\frac{\sin(90^\circ + \alpha)}{\sin l} = \frac{\cos \alpha}{\sin l} = \frac{R_o}{R}$$

$$\Rightarrow \cos \alpha = \frac{R_o}{R} \sin l$$

$$v_r = \left[ \frac{\Theta(R) \cdot R_o}{R} - \Theta_o(R_o) \right] \sin l$$

$$v_r = R_o \left[ \frac{\Theta(R)}{R} - \frac{\Theta_o(R_o)}{R_o} \right] \sin l$$

$\frac{\Theta}{R} = \omega(R)$  = kulmanopeus galaksin  
keskustan ympäri

$$v_r = R_o [\omega(R) - \omega(R_o)] \sin l$$

Vastaavasti on tähden tangentiaalinopeus LSR:n suhteen

$$v_t = (v_*)_t - (v_\odot)_t$$

$$v_t = \Theta(R) \sin \alpha - \Theta_o \cos l$$

Edellisen sivun kuviosta saadaan  
lauseke  $\sin \alpha : 11e$  :

$$R_o \cos l = d + \underbrace{R \cos(90^\circ - \alpha)}_{\sin \alpha}$$

$$\Rightarrow \sin \alpha = \frac{R_o \cos l}{R} - \frac{d}{R}$$

$$v_t = R_o \left[ \frac{\Theta(R)}{R} - \frac{\Theta_o}{R_o} \right] \cos l - \frac{\Theta(R)}{R} d$$

$$v_t = R_o [\omega(R) - \omega(R_o)] \cos l - \omega(R) d$$

Auringon lähiympäristössä  $d \ll R_o$  ja  $|R-R_o| \ll R_o$ , joten kulmanopeuksien erotuslauseke voidaan kirjoittaa  $(R-R_o)$ :n sarjakehitelmänä, josta huomioidaan vain 1. kertaluvun termit (harjoitustehtävä). Näin saadaan Oortin kaavat, jotka kuvaavat Auringon kiertoliikettä galaksin keskustan ympäri ensimmäisessä approksimaatiossa:

$$v_r = A \cdot d \cdot \sin 2\ell$$

$$v_t = (A \cos 2\ell + B)d$$

missä Oortin vakiot A ja B on määritelty seuraavasti:

$$A = \frac{1}{2} \left[ \frac{\Theta_o}{R_o} - \left( \frac{d\Theta}{dR} \right)_{R_o} \right]$$

$$B = -\frac{1}{2} \left[ \frac{\Theta_o}{R_o} + \left( \frac{d\Theta}{dR} \right)_{R_o} \right]$$

$$\frac{\Theta_o}{R_o} = \omega(R_o) = A - B$$

$$\left( \frac{d\Theta}{dR} \right)_{R_o} = - (A + B)$$

A ja B saadaan havainnoista, joten  $R_o$  ja  $\Theta_o$  voidaan määrittää.

Nykyisin hyväksyttyt arvot:  $A = 15 \text{ (km/s)/kpc}$

$$B = -10 \text{ (km/s)/kpc}$$

$$\Theta_o = 250 \text{ km/s}$$

$$R_o = 10 \text{ kpc}$$

Oortin vakioitten perusteella on LSR:n kulmanopeus  $\omega(R_o) = 0.0053/\text{vuosi}$ , joten LSR:n kiertoajaksi saadaan  $246 \times 10^6$  vuotta. Kun Auringon ikä on noin  $4.5 \times 10^9$  vuotta, on Aurinko ehtinyt tähän saakka tehdä noin 20 kierrosta Linnunradan keskustan ympäri.

HUOM. Jos Linnunradan massamallina käytettäisiin pallomaista massa-jakautumaa (jolloin koko galaksin massa voidaan korvata keskustaan sijoitetulla massapisteellä), olisi Auringon liike Keplerin liikettä. Galaksin kokonaismassa olisi tällöin:

$$\left. \begin{aligned} \Theta_0^2(R_0) &= \frac{GM}{R_0} \\ \Theta_0 &= 250 \text{ km/s} \end{aligned} \right\} \Rightarrow M = 1.5 \times 10^{11} M_\odot$$

Havainnoista saadut Oortin vakiot A ja B osoittavat kuitenkin, että  $(1/R)$ -potentiaalin oletus ei aivan päde:

$$\begin{aligned} \frac{m\Theta^2}{R} &= \frac{GMm}{R^2} \\ \Theta^2 &= \frac{GM}{R} \quad \mid \text{differentioidaan} \\ \Rightarrow \frac{d\Theta}{dR} &= -\frac{GM}{R^2} \frac{1}{2\Theta} \quad \mid \text{sijoitetaan : } M = \frac{\Theta^2 R}{G} \\ \Rightarrow \frac{d\Theta}{dR} &= -\frac{1}{2} \frac{\Theta}{R} \\ \Rightarrow \frac{\Theta/R}{d\Theta/dR} &= -2 \\ \text{toisaalta:} & \\ \frac{A-B}{-(A+B)} &= \frac{\Theta_0/R_0}{(d\Theta/dR)_{R_0}} \end{aligned} \quad \left. \right\} \Rightarrow \left( \frac{A-B}{A+B} \right)_{\text{teor}} = 2$$

Sijoittamalla tähän havaintojen perusteella määritetyt Oortin vakiot A ja B saadaan kuitenkin

$$\left( \frac{A-B}{A+B} \right)_{\text{hav}} = 5$$

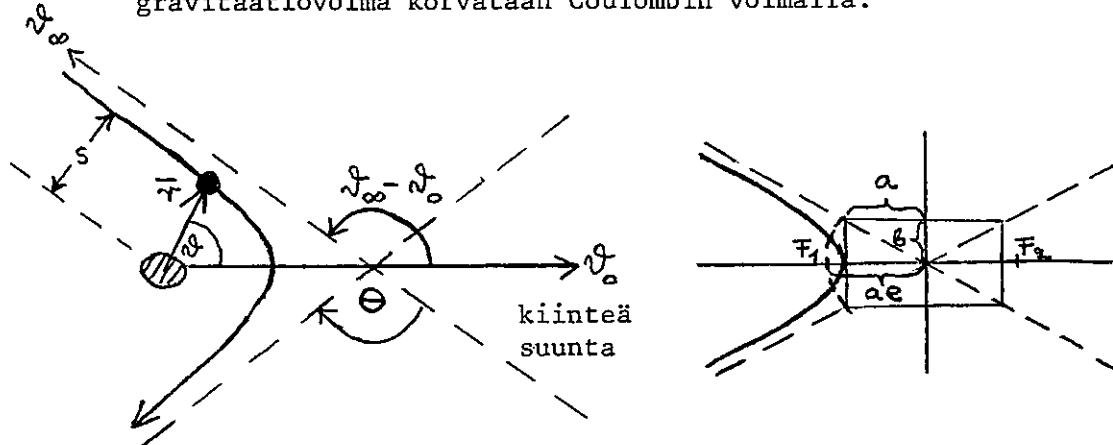
## 1.4 TÄHTIEN SIROTTUMINEN JA DYNÄAMINEN JARRUTUS

Edellisessä luvussa tarkasteltiin säännöllisten voimien vaikutusta tähtien liikkeeseen. Seuraavassa tarkastellaan epäsäännöllisten voimien aiheuttamia häiriöitä tähtien liikeradoissa (esim. tähtien "kohtaamiset") sekä palautumista tilastolliseen nopeustasapainoon.

### 1.4.1 Tähtien sirottuminen ( $1/r^2$ )-voimakentässä

Tarkastellaan tähteä, joka lähestyy suunnasta  $\vartheta_\infty$  toista tähteä. Kyseessä on kahden kappaleen problema, jossa kuvataan lähestyvän kappaleen suhteellista rataa "paikallaan" olevaan kappaleeseen nähdyn.

HUOM. Todettakoon, että tähdien sirottumisen kaavat pätevät myös Coulombin kentässä (esim. elektroni ohittaa protonin) kunhan gravitaatiovoima korvataan Coulombin voimalla.



$\Theta$  = sirontakulma

$s$  = törmäysparametri

$2a$  = hyperbelin isoakseli

$2b$  = hyperbelin pikkuakseli =  $2a\sqrt{e^2 - 1}$

Kahden kappaleen probleeman ratkaisuna saadaan kartioleikkauksen yleinen yhtälö (kts. liite s.. A7)

$$\tau = \frac{1}{\frac{MG}{h^2} + \sqrt{\frac{M^2 G^2}{h^4} + \frac{2E}{h^2}} \cos(\vartheta - \vartheta_0)} \Rightarrow \frac{1}{\tau} = \frac{MG}{h^2} + \sqrt{\frac{M^2 G^2}{h^4} + \frac{2E h^2}{h^4}} \cos(\vartheta - \vartheta_0)$$

$$\frac{1}{\tau} = \frac{MG}{h^2} \left[ 1 + \sqrt{1 + \frac{2E h^2}{M^2 G^2}} \cos(\vartheta - \vartheta_0) \right]$$

Kun  $r \rightarrow \infty$ , niin  $1/r \rightarrow 0$

$$\Rightarrow \sqrt{1 + \frac{2\varepsilon h^2}{M^2 G^2}} \cos(\vartheta_\infty - \vartheta_0) = -1$$

$$\Rightarrow -\frac{1}{\sqrt{1 + \frac{2\varepsilon h^2}{M^2 G^2}}} = \cos(\vartheta_\infty - \vartheta_0) = -\frac{a}{\sqrt{a^2 + b^2}} = -\frac{1}{e}$$

Tätä kosiniarvoa vastaa kaksi  $\vartheta_\infty$ :n arvoa: lähestyvän tähden  $\vartheta_\infty$  ja etääntyvän tähden  $\vartheta_\infty$ .

Sirontakulma  $\Theta$  saadaan viereisestä kuviosta ilmenevästä relatiosta:

$$\Theta = 2(\vartheta_\infty - \vartheta_0) - \pi$$

$$\Rightarrow \sin \frac{\Theta}{2} = \sin \left[ (\vartheta_\infty - \vartheta_0) - \frac{\pi}{2} \right] = -\cos(\vartheta_\infty - \vartheta_0)$$

$$\sin \frac{\Theta}{2} = \frac{1}{\sqrt{1 + \frac{2\varepsilon h^2}{M^2 G^2}}}$$

Kytketään pintanopeus  $h$  törmäysparametriin  $s$ :

$$\begin{cases} h = r^{\frac{3}{2}} \dot{\vartheta} = s v_0 \\ \varepsilon = \frac{v_0^2}{2} \end{cases}, v_0 = \text{tähden lähestymisnopeus suurella etäisyydellä}$$

$$\Rightarrow h^2 = s^2 v_0^2 = 2\varepsilon s^2$$

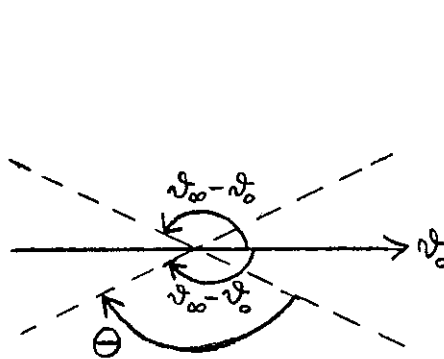
$$\Rightarrow \sin \frac{\Theta}{2} = \frac{1}{\sqrt{1 + (\frac{2\varepsilon s}{MG})^2}}$$

$$\sin \alpha = \frac{1}{\sqrt{1 + \cot^2 \alpha}}$$

$$\cot \frac{\Theta}{2} = \frac{2\varepsilon s}{M G}$$

SIRONTAKULMAN KAAVA

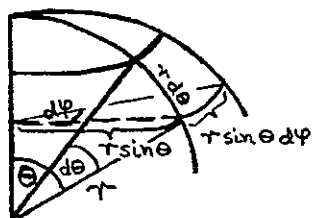
Tähden sirontakulma riippuu täten lähestyvän tähden alkuperäisestä liike-energiasta massayksikköä kohden ( $\varepsilon = \frac{1}{2} v_0^2$ ), törmäysparametrista  $s$  sekä systeemin kokonaismassasta ( $M = m_1 + m_2$ ).



Tähtitiheys määritetään sen, kuinka usein tähtien kohtaamisia tapahtuu. Oletetaan seuraavassa, että saapuvien kappaleiden massat ovat yhtäsuuret ( $\Rightarrow M = \text{vakio}$ ) ja että niillä on sama lähestymisnopeus  $v_0$  ( $\Rightarrow \text{sama } \xi$ ). Sironnan differentiaalinen vaikutusala  $\sigma(\theta)$  määritellään seuraavasti:

$$\sigma(\theta) d\Omega = \frac{\text{aikayksikössä sironneiden kappaleiden lukumäärä}/\text{cm}^2}{\text{aikayksikössä saapuvien kappaleiden lukumäärä}/\text{cm}^2}$$

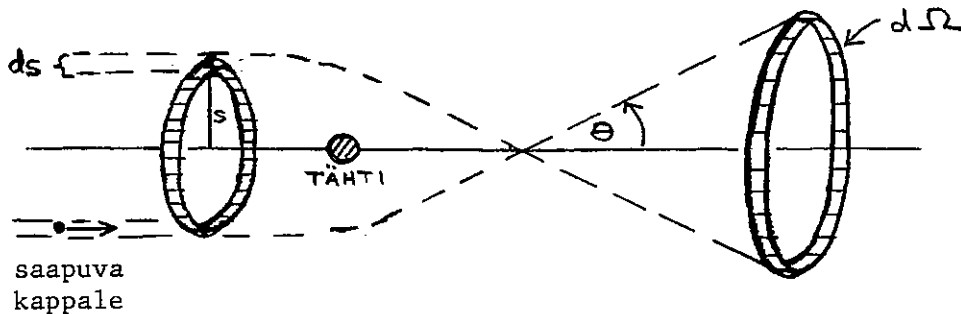
$$\text{missä avaruuskulma-alkio } d\Omega = \frac{dA}{r^2}$$



$$d\Omega = \frac{r d\theta \cdot r \sin\theta d\phi}{r^2}$$

$$d\Omega = 2\pi \sin\theta d\theta \quad (\text{integroitu } \phi :n yli)$$

Tarkasteltavaa tähteä lähestyvistä kappaleista siroavat kulmaan  $d\Omega$  ne, joitten törmäysparametrien arvot ovat välillä  $s, \dots s+ds$ .



Toisinsanoen aikayksikössä avaruuskulma-alkioon  $d\Omega$  sironneiden kappaleiden lukumäärä/ $\text{cm}^2$  on oltava sama kuin  $ds$ -paksuisen renkaan läpi menneitten kappaleitten lukumäärä.

$$\sigma(\theta) \cdot 2\pi \sin\theta d\theta = - 2\pi s ds \quad \text{minusmerkki, koska } s \text{ ja } \theta \text{ kasvavat vastakkaisiin suuntiin}$$

$$\Rightarrow \sigma(\theta) = - \frac{s \frac{ds}{d\theta}}{\sin\theta d\theta} \quad \left| \quad \cot \frac{\theta}{2} = \frac{2\xi s}{MG} \Rightarrow s = \frac{MG}{2\xi} \cot \frac{\theta}{2} \right.$$

$$\frac{ds}{d\theta} = \frac{1}{2} \frac{MG}{2\xi} \left( - \frac{1}{\sin^2 \frac{\theta}{2}} \right)$$

$$\Rightarrow \sigma(\theta) = - \frac{MG}{2\xi} \frac{\cot \frac{\theta}{2}}{\sin\theta} \left[ - \frac{1}{2} \frac{MG}{2\xi} \frac{1}{\sin^2 \frac{\theta}{2}} \right]$$

$$2 \sin \frac{\theta}{2} \cos \frac{\theta}{2}$$

$$\zeta(\theta) = \left(\frac{MG}{2\varepsilon}\right)^2 \frac{\cos^2 \frac{\theta}{2}}{2 \cdot 2 \sin \frac{\theta}{2} \cos \frac{\theta}{2} \sin^2 \frac{\theta}{2}}$$

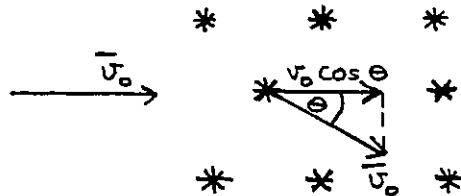
$$\zeta(\theta) = \frac{1}{4} \left(\frac{MG}{2\varepsilon}\right)^2 \frac{1}{\sin^4 \frac{\theta}{2}}$$

SIRONNAN DIFFERENTIAALINEN VAIKUTUSALA

#### 1.4.2 Tähden liikkeen dynaaminen jarrutus

Tarkastellaan seuraavassa "levossa" olevaa tähtijärjestelmää, jonka läpi kulkee tähti alkunopeudella  $v_0$ . Tämä tähti siroaa periaatteessa jokaisen levossa olevan tähden vetovoimakentässä (sirontakulma tosin erittäin pieni), jolloin sen nopeus alkuperäiseen liikesuuntaan nähdyn pienenee määrällä

$$\Delta v = v_0 - v_0 \cos \theta$$



Tähden liikettä jarruttava voima on siten

$$F = \sum \cancel{\frac{m_i \Delta v_i}{\Delta t}} ; \text{ missä } M = \frac{m_1 m_2}{m_1 + m_2} \quad (\text{pp-koordinaatistossa käytettävä redusoitua massaa})$$

$\Delta t$  = tähden i "ohitusaika"

Siirrytään jatkuvasti jakautuneeseen "tähtiväliaineeseen", jossa on n tähteä/tilavuusyksikkö. Tällöin

$n v_0$  = "törmäävien" tähtien lukumäärä aika- ja pinta-alayksikköä kohden.  
 $=$  saapuvien " " " " " "  
 Kulmaan  $\theta, \dots \theta + d\theta$  sironneiden tähtien lukumäärä/aikayksikkö on

$$N = n v_0 \cdot \zeta(\theta) d\Omega$$

| sironneiden  
tähtien  $1\text{km}/\text{cm}^2\text{s}$  =  $\zeta(\theta) d\Omega \cdot$  saapuvien tähtien  
 $1\text{km}/\text{cm}^2\text{s}$

$$N = n v_0 \cdot \zeta(\theta) 2\pi \sin \theta d\theta$$

Sironnoissa  $\Theta, \dots, \Theta + d\Theta$  menetetty liikemäärä alkuperäiseen suuntaan nähdien on ajassa  $dt$ :

$$\frac{dp(\Theta)}{dt} = \mu \Delta v \cdot N$$

$$= \mu v_0 (1 - \cos \Theta) \cdot n v_0 \zeta(\Theta) 2\pi \sin \Theta d\Theta$$

Kaikissa sironnoissa  $\Theta_{min} < \Theta < \Theta_{max}$  on menetetty liikemäärä/aika-yksikkö eli tarkasteltavaa tähteä jarruttava voima (stellar friction):

$$F = \int_{\Theta_{min}}^{\Theta_{max}} dp(\Theta) d\Theta$$

$$= 2\pi \mu v_0^2 n \int_{\Theta_{min}}^{\Theta_{max}} (1 - \cos \Theta) \zeta(\Theta) \sin \Theta d\Theta$$

$$= 2\pi \mu v_0^2 n \int_{s_{min}}^{s_{max}} (1 - \cos \Theta) s ds$$

$$= 2\pi \mu v_0^2 n \int_{s_{min}}^{s_{max}} \left(1 + \frac{1 - \tan^2 \vartheta_\infty}{1 + \tan^2 \vartheta_\infty}\right) s ds$$

$$= 2\pi \mu v_0^2 n \int_{s_{min}}^{s_{max}} \frac{2}{1 + \tan^2 \vartheta_\infty} s ds$$

$$F = 4\pi \mu v_0^2 n \int_{s_{min}}^{s_{max}} \frac{1}{\frac{2\alpha^2}{1 + \alpha^2 s^2}} \frac{(2\alpha^2) \cdot s ds}{1 + \alpha^2 s^2}$$

$$= \frac{2\pi \mu v_0^2 n}{\alpha^2} \int_{s_{min}}^{s_{max}} \ln \left(1 + \alpha^2 s^2\right)$$

$$F = \frac{2\pi \mu n M^2 G^2}{v_0^2} \ln \left(1 + \frac{v_0^4 s_{max}^2}{M^2 G^2}\right)$$

$$\zeta(\Theta) = \frac{s ds}{\sin \Theta d\Theta}$$

$$\Theta = 2(\vartheta_\infty - \vartheta_0) - \pi$$

valitaan:  $\vartheta_0 = 0^\circ$

$$\Theta = 2\vartheta_\infty - \pi$$

$$-\cos \Theta = \cos 2\vartheta_\infty = \frac{1 - \tan^2 \vartheta_\infty}{1 + \tan^2 \vartheta_\infty}$$

$$\tan \vartheta_\infty = \tan(\pi - \vartheta_\infty) = \tan \left[ \frac{\pi}{2} - (\vartheta_\infty - \frac{\pi}{2}) \right]$$

$$= \tan \left( \frac{\pi}{2} - \frac{\Theta}{2} \right) = \cot \frac{\Theta}{2}$$

$$= \frac{2\varepsilon s}{MG} = \frac{v_0^2 s}{MG}$$

$$\text{Merk.: } \alpha = \frac{v_0^2 s}{MG}$$

$$\tan \vartheta_\infty = \alpha s$$

$$\text{Sij. } s_{min} = 0$$

$$\alpha = \frac{v_0^2 s}{MG}$$

TÄHDEN LIIKETTÄ  
JARRUTTAVA VOIMA

Tämä kaava on voimassa, kun muitten tähtien nopeudet ovat pieniä. Törmäysparametrin ylärajana on käytetty tähtien keskimääräistä välimatkaa:  $s_{max} \approx n^{-1/3}$  (Chandrasekhar & Neumann osoittivat 1942 että tapaukset  $s > n^{-1/3}$  eivät merkittävästi vaikuta). Jos halutaan huomioida myös kaukaisten tähtien aiheuttamat gravitaatiofluktuaatiot, olisi  $s_{max}$ -arvoksi valittava systeemin koko.

Aikaa, jonka kuluessa tähti saavuttaa tilastollisen nopeustasapainon muitten tähtien kanssa, kutsutaan tähdens relaksaatioajaksi  $\tau$  (hidastumisaika).

$$\begin{aligned}\tau &= \frac{\Delta p}{F} = \frac{M v_0 - 0}{F} \\ &= \frac{v_0^2}{2\pi v_0 n \ln(1 + \alpha^2 s_{max}^2)}\end{aligned}$$

$$\text{sij. } \alpha = \frac{v_0^2}{MG}$$

$$\boxed{\tau = \frac{v_0^3}{2\pi M^2 G^2 n \ln(1 + \frac{v_0^4}{M^2 G^2} s_{max}^2)}}$$

TÄHDEN RELAKSAATIOAIKA

Tämän ajan kuluessa on tähti menettänyt alkuperäisen nopeutensa.

Relaksaatioajan kuluttua on  $\sum (\Delta E)^2 \approx E^2$ , missä

$\Delta E$  = tähtien kohtaamisessa tapahtuva energian vaihto

$E$  = kineettinen kokonaisenergia alkuhetkellä

ESIM. 1 Auringolle:  $v_0 = 20 \text{ km/s} = 2 \times 10^4 \text{ m/s}$

$$\alpha = (v_0^2/MG) = 3 \times 10^{-12} \text{ 1/m}$$

$$n = 3.7 \times 10^{-56} \text{ cm}^{-3} = 0.1 \text{ pc}^{-3}$$

Jos  $s_{max} = 3 \text{ pc} \approx 10^{17} \text{ m}$  (≈ tähtien välimatka), niin  $\tau \approx 8 \times 10^{19} \text{ s} \approx 10^{12} \text{ y}$ .

Jos  $s_{max} \approx 10^4 \text{ pc} \approx 3 \times 10^{20} \text{ m}$ , niin  $\tau \approx 5 \times 10^{19} \text{ s} \approx 10^{12} \text{ y}$ .

Todetaan, että  $s_{max}$ :n arvo ei merkittävästi vaikuta: tulokset poikkeavat toisistaan noin tekijällä 2. Tärkeä tulos sen sijaan on, että Auringon ympäristössä  $\tau \gg$  Linnunradan ikä ( $15 \times 10^9 \text{ y}$ ).

Auringon ympäristössä ovat tähtien kohtaamiset vaikuttaneet sangen vähän. Näin ollen tähdet kiertävät Auringon lähiympäristössä omaa häiriintymätöntä rataansa Linnunradan keskustan ympäri. Sen sijaan kohtaamiset molekyylipilvien kanssa saattavat olla merkityksellisiä.

ESIM. 2 Massiivisen molekyylipilven  $M \approx 10^6 M_\odot$   
 $n \approx (1.5 \text{ kpc})^{-3} = 10^{-59} \text{ m}^{-3}$   
 $s_{max} \approx 3000 \text{ pc} \approx 10^{20} \text{ m}$

Muut parametrit kuten edellisessä esimerkissä.

$$\Rightarrow \tau \approx 10^{10} \text{ y} \quad (\approx \text{Linnunradan ikä})$$

ESIM. 3 Tiheimmissä tähtijoukoissa ovat tähtien kohtaamiset merkityksellisiä:

$$\text{Plejadeilla } \tau \approx 2 \times 10^7 \text{ y} \quad (\text{vrt. Plejadien ikä } 6-10 \times 10^7 \text{ y})$$

ESIM. 4 Pallomaiselle tähtijoukolle

$$\tau \approx 4.5 \times 10^9 \text{ y} \quad (\text{vrt. ikä } \approx 10-20 \times 10^9 \text{ y})$$

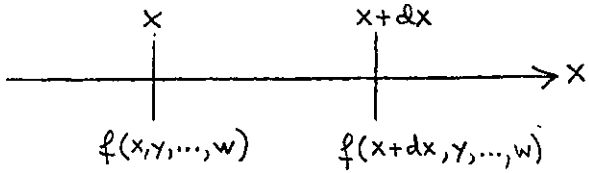
#### 1.4.3 Stellaaridynamiikan perusyhtälö

Johdetaan seuraavassa Boltzmannin yhtälö, joka pätee kaikissa satunnaississa prosesseissa kuten esimerkiksi kaasumolekyylien, kosmisten hiukkasten ja tähtien liikkeissä. Tarkastellaan tilavuusalkiossa  $dxdydz$  (lyhyemmin  $d^3x$ ) olevia hiukkasia; joitten nopeudet ovat tiellä nopeusväillä, jota kuvaa alkio  $dudvdw$  (lyhyemmin  $d^3u$ ). Oletetaan lisäksi, että tässä faasiavaruuden alkiossa  $d\gamma = d^3x d^3u$  ei synny uusia hiukkasia. Hiukkasten lukumäärä tässä faasiavaruuden alkiossa on

$$dN(t) = f(\bar{\tau}, \bar{v}, t) \cdot d\gamma$$

$$\Rightarrow f = \frac{dN(t)}{d\gamma} = \frac{dN(t)}{d^3x d^3u} = \text{hiukkasten tiheys faasiavaruudessa}$$

Katsotaan miten funktio  $f$  muuttuu ajan mukana. Tarkastellaan ensin muutosta yhden koordinaatin suhteeseen:



x-akselia vasten kohti-suorassa olevien "sivujen pinta-ala" on  $dydzdudvdw$

Ajassa  $dt$  on sisääntulevien hiukkasten lukumäärä tässä tapauksessa

$$\begin{aligned} N_x(\text{sisään}) &= \frac{dx}{dt} f(x, y, \dots, w) dy dz du dv dw dt \\ &= u f(x, y, \dots, w) dy dz du dv dw dt \end{aligned}$$

Vastaavasti on kohdassa  $x+dx$  ulos tulevien hiukkasten lukumäärä :

$$N_x(\text{ulos}) = u f(x+dx, y, \dots, w) dy dz du dv dw dt$$

Faasiavaruuden alkiossa  $d\gamma$  on siten hiukkasten lukumäärän muutos ajassa  $dt$  :

$$\begin{aligned} dN_x &= u [f(x, y, \dots, w) - f(x+dx, y, \dots, w)] dy dz du dv dw dt \\ &= u \left[ - \frac{\partial f}{\partial x} dx \right] dy dz du dv dw dt \\ &= - u \frac{\partial f}{\partial x} d\gamma dt \end{aligned}$$

Vastaava tulos saadaan myös faasiavaruuden alkion muille koordinaateille.

$$\begin{aligned} \Rightarrow dN_{\text{tot}} &= dN_x + dN_y + \dots + dN_w \\ &= - \left( u \frac{\partial f}{\partial x} + v \frac{\partial f}{\partial y} + w \frac{\partial f}{\partial z} + \dot{u} \frac{\partial f}{\partial u} + \dot{v} \frac{\partial f}{\partial v} + \dot{w} \frac{\partial f}{\partial w} \right) d\gamma dt \\ \Rightarrow \frac{dN}{d\gamma} &= f = \underbrace{- \left( \sum_{i=1}^3 \frac{\partial f}{\partial \bar{x}_i} + \sum_{i=1}^3 \frac{\partial f}{\partial \dot{x}_i} \right)}_{- \frac{\partial f}{\partial t} \text{ edellisen mukaan}} dt = \boxed{\frac{\partial f}{\partial t}} dt \end{aligned}$$

Vertaamalla tästä lauseketta funktion  $f$  kokonaisdifferentiaalilausekkeeseen

$$\frac{df}{dt} = \frac{\partial f}{\partial t} + \sum_{i=1}^3 \frac{\partial f}{\partial \bar{x}_i} \frac{d\bar{x}_i}{dt} + \sum_{i=1}^3 \frac{\partial f}{\partial \dot{x}_i} \frac{d\dot{x}_i}{dt}$$

havaitaan, että

$$\frac{df}{dt} = \frac{\partial f}{\partial t} + u \frac{\partial f}{\partial x} + v \frac{\partial f}{\partial y} + w \frac{\partial f}{\partial z} + \dot{u} \frac{\partial f}{\partial u} + \dot{v} \frac{\partial f}{\partial v} + \dot{w} \frac{\partial f}{\partial w} = 0$$

eli

$$f = \text{vakio}$$

Mikäli uusia hiukkasia ei muodostu, säilyy hiukkasten tiheys faasiavaruudessa vakiona.

HUOM. Edellä on oletettu, että tähtiin vaikuttavat voimat ovat konservatiivisia. Tällöin

$$\dot{u}_i = - \frac{\partial V}{\partial x_i}, \quad \text{jolloin yllä oleva yhtälö voidaan kirjoittaa}$$

muotoon:

$$\frac{\partial f}{\partial t} + \sum \left[ u_i \frac{\partial f}{\partial x_i} - \frac{\partial V}{\partial x_i} \frac{\partial f}{\partial u_i} \right] = 0$$

=0 stationaarisessa tapauksessa

Sirottuneet tähdet "diffundoituvat" ulos tarkasteltavasta alkiosta faasi- avaruudesta. Tällöin on edellä esitetyn yhtälön oikealle puolelle lisättävä törmäykset huomiova termi  $(\frac{\partial f}{\partial t})_{coll}$ :

$$\frac{df}{dt} = \frac{\partial f}{\partial t} + \sum_{i=1}^3 \left[ u_i \frac{\partial f}{\partial x_i} + \dot{u}_i \frac{\partial f}{\partial u_i} \right] = (\frac{\partial f}{\partial t})_{coll}$$

BOLTZMANNIN  
YHTÄLÖ

Sovellettaessa tätä yhtälöä stellaaridynamiikkaan kutsutaan sitä stellaaridynamiikan perusyhtälöksi.

Koska tähtien liike nopeuskoordinaatistossa on törmäysten tapauksessa hyvin epäsäännöllistä, voidaan törmäysterminä käyttää klassisen diffuusioteorian Fokker-Planckin yhtälöä:

$$(\frac{\partial f}{\partial t})_{coll} = - \sum \frac{\partial (a_i f)}{\partial u_i} + \frac{1}{2} \sum \frac{\partial^2 (b_i f)}{\partial u_i^2}$$

missä  $a_i = \lim_{\Delta t \rightarrow 0} \frac{[u_i(t) - u_i(t+\Delta t)]}{\Delta t}$  = dynaamisen kitkan kerroin

$$b_i = \lim_{\Delta t \rightarrow 0} \frac{[u_i(t) - u_i(t+\Delta t)]^2}{\Delta t} = \text{diffuusiokerroin}$$

ESIM. Auringon ympäristössä on tähtien relaksatioaika huomattavasti suurempi kuin Linnunradan ikä. Tällöin voidaan olettaa, että

$$\left(\frac{\partial f}{\partial t}\right)_{\text{coll}} \approx 0$$

$$\Rightarrow \frac{\partial f}{\partial t} = 0$$

$$\Rightarrow f = \text{vakio}$$

Faasiavaruuden hiukkastiheys voidaan ratkaista seuraavasti:

Oletetaan 1)  $f$  ei riipu ajasta

2) nopeusjakautuma  $\phi(u, v, w)$  ei riipu paikasta ja sen normitus on :

$$\iiint_{-\infty}^{\infty} \phi(u, v, w) du dv dw = 1$$

$$\text{Tällöin } f(x, y, z, u, v, w) = D(x, y, z) \cdot \phi(u, v, w)$$

$$\text{missä } D = \text{tähtitiheys kpl/pc}^3$$

Oletetaan seuraavassa yksinkertaisuuden vuoksi, että kaikilla tähdillä on sama massa  $m$ . Tällöin

$$S(x, y, z) = m \cdot D(x, y, z) \quad \left| \begin{array}{l} D \cdot \phi = f \quad \iiint_{-\infty}^{\infty} \dots du dv dw \\ D \iiint_{-\infty}^{\infty} \phi du dv dw = \underbrace{\iiint_{-\infty}^{\infty} f du dv dw}_{=1} \end{array} \right.$$

$$S(x, y, z) = m \iiint_{-\infty}^{\infty} f(x, y, z, u, v, w) du dv dw$$

Massajakautuma aiheuttaa potentiaalikentän  $V(x, y, z)$ , joka toteuttaa Poissonin yhtälön:

$\Delta V = \nabla^2 V = 4\pi G S$	POISSONIN YHTÄLÖ
------------------------------------	------------------

$$\Leftrightarrow V(\vec{r}, t) = -G \iiint \frac{S(\vec{r}', t)}{|\vec{r} - \vec{r}'|} dx' dy' dz' \quad \begin{array}{l} \text{kun reunaehto on:} \\ \vec{v} \rightarrow 0, \text{ kun } |\vec{r}| \rightarrow \infty \end{array}$$

Seuraavilla perusyhtälöillä pyritään ratkaisemaan  
tähtien jakauma faasiavaruudessa.

Boltzmannin yhtälö	}	$\Rightarrow f(x, y, z, u, v, w)$
Poissonin yhtälö		
$Q = m \iiint f(x, y, z, u, v, w) d^3 u$		

## 1.5 MASSAJOUKON STABIILISUUS VUOROVESIVOIMAN VAIKUTTAESSA

Gravitaation sitoman massapistesysteemin (esim. tähtijoukko) tullessa liian lähelle massiivista kappaletta  $M$ , pyrkii massajoukko hajoamaan. Samoin voi käydä kiinteälle taivaankappaleelle (esim. kuu), jos se tulee riittävän lähelle suurimassaista kappaletta (esim. planeetta).

### 1.5.1 Stabiilisuusehdo, kun suurimassainen kappale ja massajoukko ovat levossa toisiinsa nähdyn

$$m = \sum_i m_i$$

$$\text{Parven säde} = \bar{r}'$$

$$\overline{OP}_0 = \bar{r}$$

$$\overline{OP}_1 = \bar{r} - \bar{r}'$$

$$M:n aiheuttama gravitaatiokiihtyvyys pisteessä P_0 : \quad g_{P_0} = -\frac{GM}{r^2}$$

$$M:n aiheuttama gravitaatiokiihtyvyys pisteessä P_1 : \quad g_{P_1} = -\frac{GM}{(r-r')^2}$$

$$g_{P_1} - g_{P_0} = -GM \left[ \frac{1}{(r-r')^2} - \frac{1}{r^2} \right] = -GM \left[ \frac{1}{r^2(1-2\frac{r'}{r} + \frac{r'^2}{r^2})} - \frac{1}{r^2} \right]$$

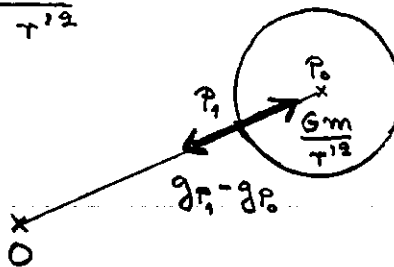
$$= -GM \left[ \frac{1}{r^2} \left( 1 + 2\frac{r'}{r} + \dots \right) - \frac{1}{r^2} \right]$$

$$g_{P_1} - g_{P_0} = -GM \cdot 2 \frac{r'}{r^3}$$

$$m:n \text{ aiheuttama gravitaatiokiihtyvyys pisteessä } P_1 = \frac{Gm}{r'^2}$$

Stabiilisuusehdo:

$$\frac{Gm}{r'^2} > |g_{P_1} - g_{P_0}| = \frac{2GMr'}{r^3}$$



$$\Rightarrow \boxed{\frac{m}{r'^3} > \frac{2M}{r^3}}$$

MASSAJOUKON  $m$  STABIILISUUSEHDO

### 1.5.2 Stabiilisuusehdo, kun massajoukko liikkuu ympyräradalla

Napakoordinaatistossa kiihtyvyys  $\ddot{r} = r\dot{\theta}^2$  Ympyräradan tapauksessa  
 $r = \text{vakio} \Rightarrow \ddot{r} = 0$

Keskeisvoiman kiihtyvyys pisteessä  $P_0$

$$: a_{P_0} = -r\dot{\theta}^2$$

Keskeisvoiman kiihtyvyys pisteessä  $P_1$

$$: a_{P_1} = -(r - r')\dot{\theta}^2$$

M:n aiheuttama gravitaatiokiihtyvyys pisteessä  $P_0$  :  $g_{P_0} = -\frac{GM}{r^2}$

M:n aiheuttama gravitaatiokiihtyvyys pisteessä  $P_1$  :  $g_{P_1} = -\frac{GM}{(r-r')^2}$

m:n aiheuttama gravitaatiokiihtyvyys pisteessä  $P_1 = \frac{Gm}{r'^2}$

Stabiilisuusehdo :

$$\frac{Gm}{r'^2} > |(g_{P_1} + a_{P_1}) - (g_{P_0} + a_{P_0})|$$

$$\frac{Gm}{r'^2} > |a_{P_1} - a_{P_0}| + \underbrace{|g_{P_1} - g_{P_0}|}_{\frac{2GMr'}{r^3}}$$

kts. kohta 1.5.1

$$\begin{aligned} |a_{P_1} - a_{P_0}| &= |-(r-r')\dot{\theta}^2 - (-r\dot{\theta}^2)| \\ &= |r'\dot{\theta}^2| = \left|r' \cdot \frac{v^2}{r} \cdot \frac{1}{r}\right| \\ &= \left|r' \cdot \frac{GM}{r^2} \cdot \frac{1}{r}\right| \end{aligned}$$

$$\frac{Gm}{r^2} > \frac{GM}{r^3} \cdot r' + \frac{2GM}{r^3} \cdot r'$$

$$\frac{m}{r^2} > \frac{3M}{r^3} r'$$

$$\Rightarrow \boxed{\frac{m}{r^3} > \frac{3M}{r^3}}$$

STABIILISUUSEHTO YMPYRÄLIIKKEESSÄ  
OLEVALLE MASSAPARVELLE m

ESIM. Ympyrärataa kiertävä tähtijoukko Linnunradan vetovoimakentässä.

Stabiilisuusehsto:

$$\frac{Gm}{r^2} > |(\alpha_{P_1} + \alpha_{P_1}) - (\alpha_{P_0} + \alpha_{P_0})|$$

$$> \underbrace{|\alpha_{P_1} - \alpha_{P_0}|}_{r^2 \dot{\theta}^2 = r^2 \frac{\Theta^2}{r^2}} + |\alpha_{P_1} - \alpha_{P_0}| = r^2 \frac{\Theta^2}{r^2} + \frac{d\alpha}{dr} \underbrace{\Delta r}_{r^2}$$

$$\left| \begin{array}{l} g(r) = - \frac{\Theta^2(r)}{r} \\ \frac{dg(r)}{dr} = - \frac{2\Theta}{r} \frac{d\Theta}{dr} + \frac{\Theta^2}{r^2} \end{array} \right.$$

$$\frac{Gm}{r^2} > r^2 \frac{\Theta^2}{r^2} - r^2 \frac{2\Theta}{r} \frac{d\Theta}{dr} + r^2 \frac{\Theta^2}{r^2}$$

$$\frac{Gm}{r^2} > 2r^2 \frac{\Theta^2}{r^2} - 2r^2 \frac{\Theta}{r} \frac{d\Theta}{dr}$$

$$\frac{Gm}{r^2} > 2r^2 \underbrace{\frac{\Theta}{r}}_{A-B} \underbrace{\left( \frac{\Theta}{r} - \frac{d\Theta}{dr} \right)}_{2A}$$

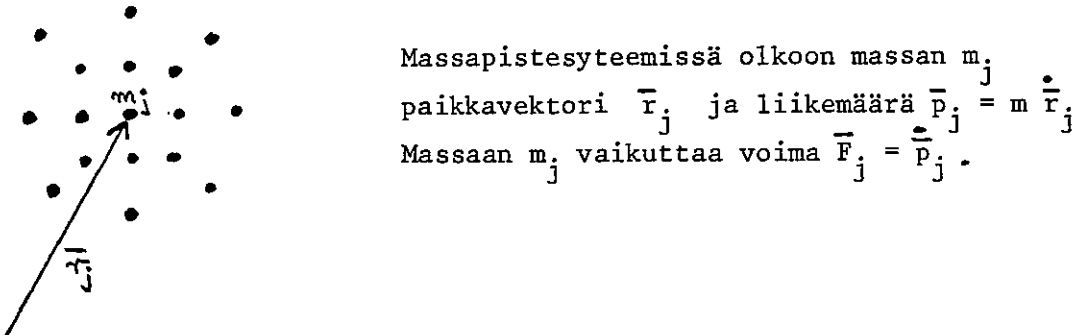
$$\boxed{\frac{Gm}{r^3} > 4A(A-B)}$$

, missä A ja B ovat Oortin vakioita

## 1.6 VIRIAALITEOREEMA JA GALAKSIJOUKKOJEN MASSANMÄÄRITYS

### 1.6.1 Viriaaliteoreema

Johdetaan seuraavassa lauseke äärellisessä tilavuudessa olevien kappaleitten liike-energian aikakeskiarvon ja potentiaalienergian välille



$$\begin{aligned} \frac{d}{dt} \sum_j \bar{p}_j \cdot \bar{r}_j &= \sum_j \dot{\bar{p}}_j \cdot \bar{r}_j + \sum_j \bar{p}_j \cdot \dot{\bar{r}}_j \\ &= \sum_j \bar{F}_j \cdot \bar{r}_j + \sum_j m \ddot{\bar{r}}_j \cdot \bar{r}_j \\ &= \sum_j \bar{F}_j \cdot \bar{r}_j + 2T, \text{ missä } T = \text{koko systeemin liike-energia} \end{aligned}$$

Ajallinen keskiarvo:

$$\frac{1}{2} \overline{\int_0^t \sum_j \bar{p}_j \cdot \bar{r}_j dt} = \left\langle 2T + \sum_j \bar{F}_j \cdot \bar{r}_j \right\rangle$$

$$\frac{1}{2} \left[ \sum_j \bar{p}_j(t) \cdot \bar{r}_j(t) - \sum_j \bar{p}_j(0) \cdot \bar{r}_j(0) \right] = 2 \langle T \rangle + \left\langle \sum_j \bar{F}_j \cdot \bar{r}_j \right\rangle$$

Oletetaan sidottu massapistesysteemi, jolloin  $r_j$  ja  $p_j$  saavat äärellisiä arvoja kaikkina aikoina.

$$\Rightarrow \lim_{t \rightarrow \infty} \frac{1}{t} \left[ \sum_j \bar{p}_j(t) \cdot \bar{r}_j(t) - \sum_j \bar{p}_j(0) \cdot \bar{r}_j(0) \right] = 0$$

$$\Rightarrow 2\langle T \rangle + \left\langle \sum \bar{F}_j \cdot \bar{r}_j \right\rangle = 0$$

$$\Rightarrow \boxed{\langle T \rangle = -\frac{1}{2} \left\langle \sum \bar{F}_j \cdot \bar{r}_j \right\rangle}$$

VIRIAALILAUSE

Jos voima on johdettavissa potentiaalista  $V_j$  (ts.  $\bar{F} = -\nabla V(r_j)$ ), saadaan

$$\langle T \rangle = -\frac{1}{2} \left\langle \sum -\nabla V(r_j) \cdot \bar{r}_j \right\rangle = \frac{1}{2} \left\langle \sum \nabla V(r_j) \cdot \bar{r}_j \right\rangle$$

Olet. keskeisvoimakenttä:  $V(r_j) = C r_j^n$

$$\nabla V(r_j) = C \frac{\partial}{\partial r_j} r_j^n \cdot \bar{r}_j^o = C n r_j^{n-1} \cdot \frac{\bar{r}_j}{r_j}$$

$$\Rightarrow \nabla V(r_j) \cdot \bar{r}_j = \sum n C r_j^n \cdot \frac{1}{r_j} \left( \frac{\bar{r}_j}{r_j} \cdot \bar{r}_j \right)$$

$$= n \sum C r_j^n$$

$$= n \sum V(r_j)$$

$$= n \underbrace{V}_{\text{koko systeemin potentiaalienergia}}$$

$$\Rightarrow \langle T \rangle = \frac{n}{2} \langle V \rangle$$

Gravitaatiopotentiaalin  $V = C \cdot (1/r)$  tapauksessa eksponentti  $n=-1$

$$\Rightarrow \boxed{\langle T \rangle = -\frac{1}{2} \langle V \rangle} \Leftrightarrow \boxed{2\langle T \rangle + \langle V \rangle = 0}$$

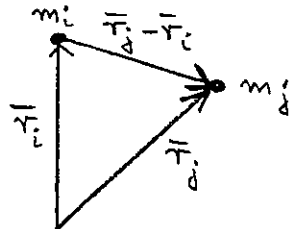
HUOM. Tämä viriaaliteoreeman muoto on saatu olettamalla, että massa-pisteet ovat ulkoisessa  $(1/r^2)$ -vetovoimakentässä (esim. pieni planeetat Aurinkon vetovoimakentässä). Todettakoon, että massojen  $m_j$  väliset vetovoimat on tässä jäätetty huomioimatta.

Oletetaan seuraavassa, että ulkoinen vetovoimakenttä puuttuu, ja tarkastellaan yksinomaan massapisteiden välisiä gravitaatiovoimia.

Tällöin

$$\sum_j \bar{F}_j \cdot \bar{r}_j = \sum_j \sum_{\substack{i \\ i \neq j}} \bar{F}_{ji} \cdot \bar{r}_j , \text{ missä } \bar{F}_{ji} = \text{tähteen } j \text{ vaikuttava tähden } i \text{ aiheuttama vetovoima}$$

$$= \sum_j \sum_{\substack{i \\ i \neq j}} \left[ -\frac{G m_i m_j}{r_{ij}^3} (\bar{r}_j - \bar{r}_i) \cdot \bar{r}_j \right]$$



Kahden massapisteen (esim  $m_k$  ja  $m_l$ ) väliset termit:

$$\begin{aligned} & -\frac{G m_k m_l}{r_{kl}^3} \left[ (\bar{r}_k - \bar{r}_l) \cdot \bar{r}_k + (\bar{r}_k - \bar{r}_l) \bar{r}_l \right] \\ & = -\frac{G m_k m_l}{r_{kl}^3} \underbrace{(\bar{r}_k - \bar{r}_l)(\bar{r}_k - \bar{r}_l)}_{|\bar{r}_k - \bar{r}_l|^2 = r_{kl}^2} \\ & = -\frac{G m_k m_l}{r_{kl}^2} \end{aligned}$$

$$\Rightarrow \sum_j \bar{F}_j \cdot \bar{r}_j = \sum_{j=1}^N \sum_{\substack{i=1 \\ i \neq j}}^N -\frac{G m_i m_j}{r_{ij}^3} (\bar{r}_j - \bar{r}_i) \cdot \bar{r}_j = \sum_{j=1}^N \sum_{\substack{i=1 \\ i \neq j}}^N -\frac{G m_i m_j}{r_{ij}^2}$$

= V

Viriaalilause:

$$\langle T \rangle = -\frac{1}{2} \langle \sum_j \bar{F}_j \cdot \bar{r}_j \rangle$$

$\boxed{\quad}$   $s_{ij}$

$$\Rightarrow \boxed{\langle T \rangle = -\frac{1}{2} \langle V \rangle}$$

Systeemin kokonaisenergia keskeisvoimakentässä:

$$\langle E \rangle = \langle T \rangle + \langle V \rangle$$

$$\langle E \rangle = \langle T \rangle - 2\langle T \rangle$$

$$\boxed{\langle E \rangle = -\langle T \rangle}$$

SYSTEEMIN SIDOSENERGIA

HUOM. Vain koossa pysyvissä systeemeissä, joissa siis  $E < 0$ , pätee viriaalilause. Mitä negatiivisempi kokonaisenergia on (ts. mitä suurempi sidosenergia), sitä paremmin pätevätkin viriaalilauseen oletukset.

### 1.6.2 Galaksijoukon massanmääritys

Oletetaan yksinkertaisuuden vuoksi, että joukon kaikilla galakseilla on sama massa, jolloin joukon kokonaismassa  $M = \sum m$ . Tällöin

$$2 \langle T \rangle = \sum_i \langle m_j v_j^2 \rangle = n \cdot m \langle \bar{v}^2 \rangle, \text{ missä } \bar{v}^2 = \frac{1}{n} \sum_i v_j^2$$

$\langle \rangle = \text{ajallinen keskiarvo}$

ja

$$\langle V \rangle = \left\langle \sum - \frac{G m_j m_i}{r_{ij}} \right\rangle$$

$$= - G m^2 \underbrace{\left\langle \frac{1}{r} \right\rangle}_{\frac{n(n-1)}{2}} \cdot \sum \text{kaikki parit n:stä kohteesta}$$

1. komponentti voidaan valita  $n:llä$   
tavalla, 2. komponentti  $(n-1):llä$   
Tällöin jokainen kohde lask. 2 kertaa  
mukaan  $\Rightarrow$  tulos jaettava kahdella.

$$\langle V \rangle = - \frac{n(n-1)}{2} G m^2 \langle \frac{1}{r} \rangle$$

$$\text{Viriaaliteoreema: } 2 \langle T \rangle + \langle V \rangle = 0$$

$$2 \langle T \rangle = - \langle V \rangle$$

$$\Rightarrow nm \langle \bar{v}^2 \rangle = \frac{n(n-1)}{2} G m^2 \langle \frac{1}{r} \rangle$$

Kun  $n \gg 1$   $n(n-1) \approx n^2$

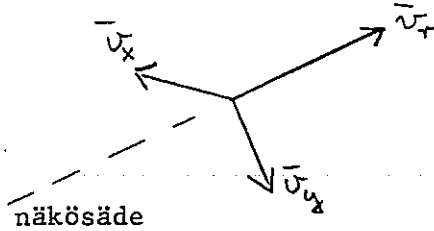
$$\Rightarrow nm \langle \bar{v}^2 \rangle = \frac{G}{2} (nm)^2 \langle \frac{1}{r} \rangle$$

$M = nm$

$M = \frac{2 \langle \bar{v}^2 \rangle}{G \langle \frac{1}{r} \rangle}$
---

Havainnoista saadaan kunkin galaksin säteisnopeus  $v_{rj}$ , jossa on mukana systeemin painopisteen säteisnopeus  $v_{r_0} = v_{r_j}$ . Galaksien säteisnopeudet joukon painopisteen suhteeseen ovat:

$$\bar{v}^2 = (v_{r_j} - v_{r_0})^2 + (v_{x_j} - v_{x_0})^2 + (v_{y_j} - v_{y_0})^2$$



Oletetaan, että nopeusjakauma on isotrooppinen, jolloin

$$\overline{(v_{r_j} - v_{r_0})^2} = \overline{(v_{x_j} - v_{x_0})^2} = \overline{(v_{y_j} - v_{y_0})^2} = \frac{1}{3} \overline{v^2}$$

Mikäli galaksijoukko on stationaarinen, pätee :

$$\langle \overline{v^2} \rangle = \overline{v^2} = 3 \overline{(v_{r_j} - v_{r_0})^2}$$

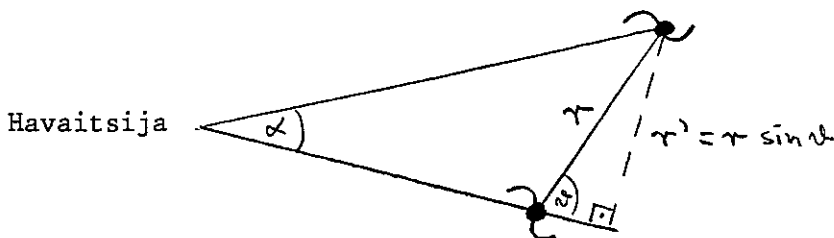
Karkeasti arvioituna on:

$$\langle \frac{1}{r} \rangle = \langle \frac{1}{r} \rangle$$

Havainnoista voidaan arvioida galaksien keskimääräinen välimatka  $r$  parhaiten mittamaalla kaikki välimatkat  $r_{ij}$

$$r = \frac{1}{N} \sum r_{ij}$$

On kuitenkin huomioitava, että valokuvauslevyltä mitatut välit  $r_{ij}$  ovat taivaalle projisoituja välimatkoja. Vain harvoin on galaksien yhdysjana kohtisuorasti näkösädettä vasten. Useinmiten todellinen välimatka on suurempi:



Kuviosta:  $r \sin \vartheta = r' =$  valokuvasta mitattu projisioitu etäisyys

$$\Rightarrow \frac{1}{r} = \frac{1}{r'}, \sin \vartheta$$

$$\left( \frac{1}{r'} \right) = \left( \frac{1}{r} \right) \overline{\sin \vartheta}$$

$$= \left( \frac{1}{r'} \right) \cdot \frac{\int_{\pi/2}^{\pi} \sin \vartheta d\vartheta}{\int_0^{\pi/2} d\vartheta} = \left( \frac{1}{r'} \right) \cdot \frac{1}{\frac{\pi}{2}}$$

$$= \frac{2}{\pi} \left( \frac{1}{r'} \right)$$

Galaksijoukon massaksi saadaan täten

$$M = \frac{2 \langle v^2 \rangle}{G \langle \frac{1}{r'} \rangle} = \frac{2 \cdot 3 \overline{(v_{r_j} - v_{r_o})^2}}{G \cdot \frac{2}{\pi} \left( \frac{1}{r'} \right)}$$

$$M = \frac{3\pi \overline{(v_{r_j} - v_{r_o})^2}}{G \left( \frac{1}{r'} \right)}$$

, missä  $r'$  = valokuvasta mitattu projisioitu etäisyys

$v_{r_o}$  = galaksijoukon painopisteen säteisnopeus

$v_{r_j}$  = galaksin j säteisnopeus

Viriaaliteoreeman mukaan laskettu galaksijoukon kokonaismassa on noin 10 kertaa suurempi kuin joukon yksittäisten galaksien massa-arvioden summa. Tätä ristiriitaista tulosta kutsutaan "missing mass"-probleemaksi.

Alla on lueteltu muutamia ratkaisuehdotuksia :

- Galaksijoukossa on näkymätöntä massaa (esim. tiiliskiven kokoisia kappaleita ei pystytä havaitsemaan).
- Mikäli neutriinon (tai jonkin muun massattoman alkeishiukkasen) lepomassa onkin nollasta poikkeava, saattaa galaksijoukkoon kuulua paikallinen neutriinotihentymä.
- Mikäli galaksijoukko hajaantuu, ei viriaaliteoreemaa voida soveltaa!

## 2. TÄHTIEN ATMOSFÄÄRIT

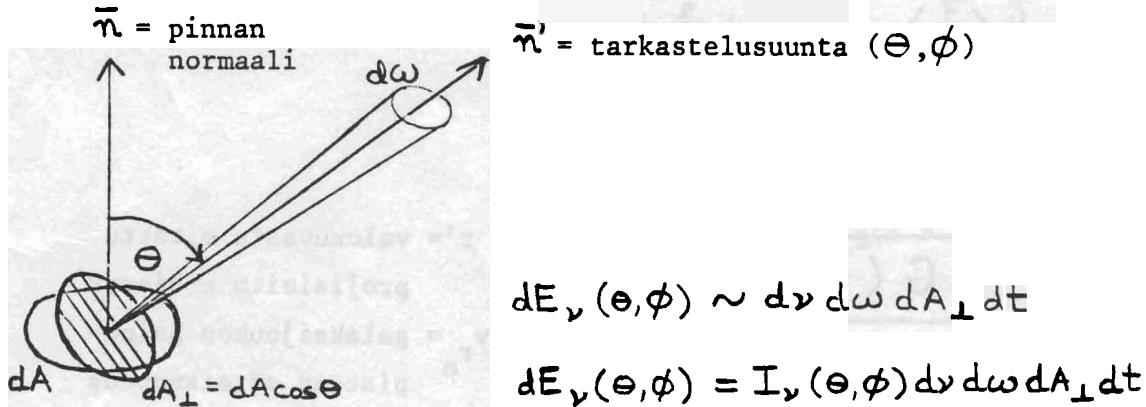
### 2.1 SÄTEILYN EMISSIO JA ABSORPTIO

Lähes kaikki taivaankappaleista saatava tieto tulee säteilyn välityksellä. Siksi astrofysiikan kannalta tärkein materian ominaisuus on, että se absorboi ja emittoi säteilyä.

#### 2.1.1 Säteilyn perusmääritelmää

##### a) Säteilyn intensiteetti $I_\nu$ (Specific Intensity)

Tarkastellaan pinta-alkion  $dA$  läpi menevää säteilyenergiaa. Pinta-alkio voi olla "tyhjässä" avaruudessa tai taivaankappaleen pinnan osa. Pinta-alkion läpäissyt säteilyenergian määrä  $dE_\nu$ , on verrannollinen säteilyn taajuuskaistaan ( $\nu, \nu + d\nu$ ), avaruuskulma-alkioon  $d\omega$ , tarkastelusuuntaa ( $\Theta, \phi$ ) vasten kohtisuorasti olevaan pinta-alkioon  $dA_{\perp}$  sekä tarkasteluaajan pituuteen  $dt$



Säteilyenergian lausekkeessa esiintyvälle verrannollisuuskertoimelle  $I_\nu$  saadaan täten seuraava määritelmä.

MAÄR. Säteilyn intensiteetti  $I_\nu$  tarkastelusuunnassa ( $\Theta, \phi$ ) on ( $\Theta, \phi$ )-keskisessä avaruuskulma-alkiossa  $d\omega$  oleva säteilyteho taajuusyksikköä ja pinta-alayksikköä ( $dA \perp$  säteilyn suunta) kohti.

$$I_\nu(\theta, \phi) = \frac{dE_\nu}{dt dA_\perp d\nu d\omega} = \frac{P_\nu}{\cos \theta dA d\nu d\omega}$$

MONOKROMAATTISEN  
SÄTEILYN INTENSITEETTI

$$[I_\nu] = \frac{\text{erg}}{\text{s} \cdot \text{cm}^2 \cdot \text{Hz} \cdot \text{sr}} ; \quad \frac{\text{W}}{\text{m}^2 \cdot \text{Hz} \cdot \text{sr}}$$

(huom. sr = steradiaani)

Säteilyn intensiteetti  $I_\nu$  riippuu tarkastelupisteen paikasta ( $x, y, z$ ) tähden atmosfäärisä sekä säteilyn suunnasta (säteilyn ei nimittäin tarvitse olla isotrooppista):

$$I_\nu = I_\nu(x, y, z, \theta, \phi)$$

Pallosymmetrisissä geometrioissa riittää argumenteiksi kulma  $\theta$  sekä tarkastelupisteen syvyys  $x$  tähden atmosfäärisä (tähden pinnalla  $x = 0$ ).

$$I_\nu = I_\nu(x, \theta)$$

Säteilyn kokonaisintensiteetti suunnassa  $\theta$  saadaan integroimalla  $I_\nu$  yli kaikkien taajuuksien:

$$I = \int_0^\infty I_\nu d\nu \quad \text{KOKON AISINTENSITEETTI}$$

HUOM. Mikäli intensiteetti  $I_\nu$  halutaan ilmoittaa aallonpituuusväliä  $d\lambda$  kohden, on differentioitava yhtälö

$$\nu = \frac{c}{\lambda} \Rightarrow d\nu = -\frac{c}{\lambda^2} d\lambda$$

sekä huomioitava, että kummassakin tapauksessa on säteilyn kokonaisintensiteetti oltava sama:

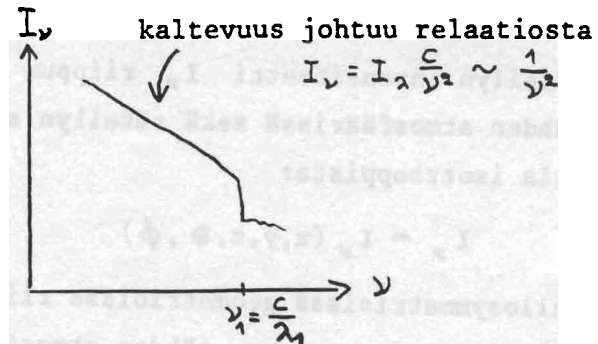
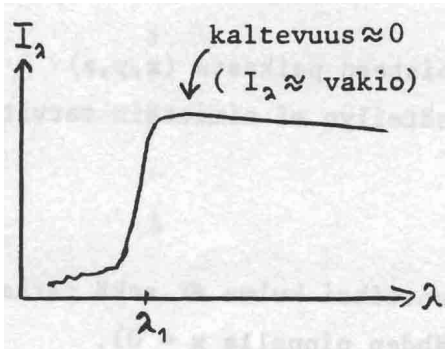
$$I = \int_0^\infty I_\nu d\nu = \int_0^\infty I_\lambda d\lambda$$

$$I_\lambda = I_\nu \left| \frac{d\nu}{d\lambda} \right|$$

$$I_\lambda = I_\nu \frac{c}{\lambda^2}$$

$$\text{Vastaavasti } I_\nu = I_\lambda \frac{c}{\nu^2}$$

Tämän johdosta saman koteen (esim. galaksin)  $I_\lambda$  - ja  $I_\nu$  - spektrit poikkeavat toisistaan:

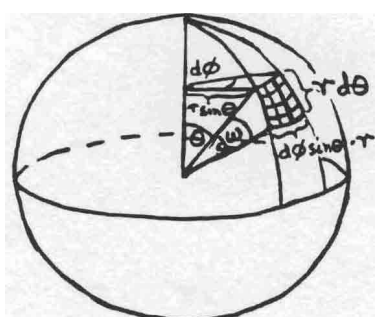


Säteilyn keskimääräinen intensiteetti  $J_\nu$  määritellään intensiteetin kesiarvona yli kaikkien suuntien:

$$J_\nu(x) = \frac{\int I_\nu(\theta, \phi) d\omega}{\int d\omega} = \frac{1}{4\pi} \int I_\nu(\theta, \phi) d\omega$$

MONOKROMAATTISEN SÄTEILYN  
KESKIMÄÄRÄINEN INTENSITEETTI

HUOM. Avaruuskulma  $\omega$  määritellään seuraavasti. Kun yksikkö-säteiseen palloon sijoitetaan kartio siten, että kartion kärki (jonka kulma =  $\omega$ ) on pallon keskipisteessä, leikkaa kartio palosta alueen, jonka pinta-ala =  $\omega$ . Jos pallon säde on mielivaltainen säde  $r$ , pätee



$$\frac{d\omega}{4\pi} = \frac{dA}{4\pi r^2} \Rightarrow d\omega = \frac{dA}{r^2}$$

$$d\omega = \frac{(r d\theta)(r \sin \theta d\phi)}{r^2}$$

$$d\omega = \sin \theta d\theta d\phi$$

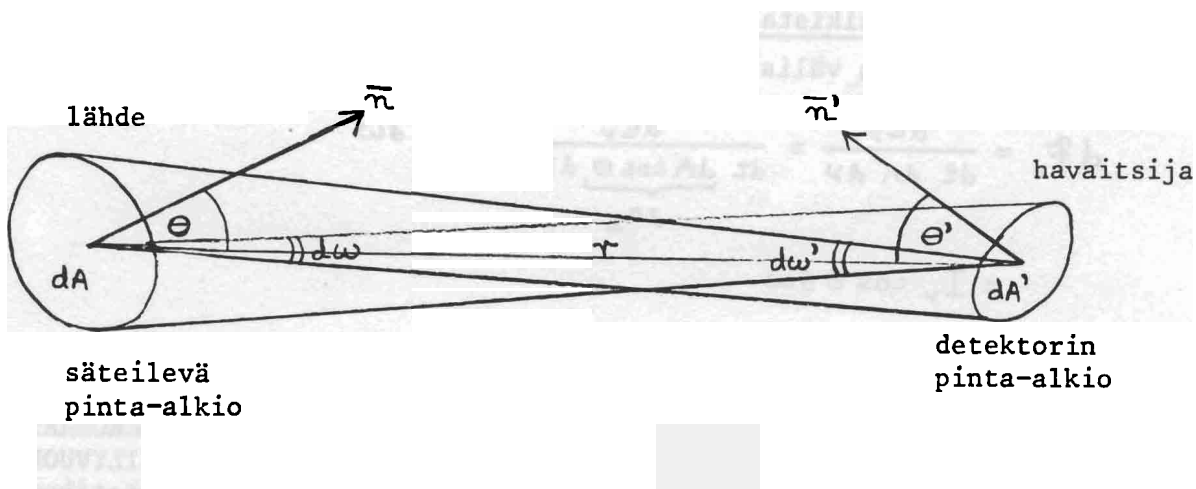
Näin ollen keskimääräinen säteilyintensiteetti voidaan kirjoittaa muotoon

$$J_\nu(x) = \frac{1}{4\pi} \iint_0^{2\pi} I_\nu(\theta) \sin \theta d\theta d\phi$$

### b) Pintakirkkaus ja säteilyn intensiteetti

Havaittaessa pintamaista kohdetta (esim. Aurinkoa, kaasusumua, galaksia, taustasäteilyä) puhutaan pintakirkkaudesta, joka mitataan yksiköissä  $\text{W m}^{-2} \text{Hz}^{-1} \text{sr}^{-1}$  (radioastronomiassa) tai  $\text{erg s}^{-1} \text{cm}^{-2} \text{\AA}^{-1} \text{sr}^{-1}$  (optisessa astronomiassa) tai  $10^m$  tähteä/ $\square^{\circ}$  ( $\equiv S_{10}$ ) (taustataivaan fotometriassa).

Kun tarkastellaan lähteen pinnasta ulos tulevaa säteilyä, puhutaan säteilyn intensiteetistä. Merkitään seuraavassa kohteen säteilemää intensiteettiä  $I(\theta, \phi)$  ja havaitsijan rekisteröimää pintakirkkautta  $I'(\theta, \phi)$ . Seuraavassa osoitetaan, että  $I = I'$



Lähteen pinta-alkion emittoima teho:  $dE_v / dt = I_\nu \cos \theta dA d\nu d\omega$

Havaitsijan rekisteröimä pintakirkkaus:

$$I'_\nu = \frac{dE_v / dt}{\cos \theta' dA' d\nu d\omega'} = \frac{I_\nu \cos \theta dA d\nu d\omega}{\cos \theta' dA' d\nu d\omega'}$$

$$d\omega = \frac{\cos \theta' dA'}{r^2}$$

$$d\omega' = \frac{\cos \theta dA}{r^2}$$

$$I'_\nu = I_\nu \frac{\cos \theta dA}{\cos \theta' dA'} \frac{\frac{\cos \theta' dA'}{r^2}}{\frac{\cos \theta dA}{r^2}}$$

$$\Rightarrow \boxed{I'_\nu = I_\nu}$$

Voidaan todeta, että havaittu pintakirkkaus on sama kuin lähteen säteilyintensiteetti sekä riippumaton havaitsijan ja lähteen välisestä etäisyydestä (niin kauan kuin absorptiota ei esiinny).

ESIM. Jos Auringon etäisyys olisi puolet nykyisestä olisi pintakirkkaus edelleen sama

$$I' = I$$

Pinta-alkion  $dA$  läpi mennyt säteilyteho sen sijaan kasvaisi nelinkertaiseksi ( $d\omega \sim \frac{1}{r^2}$ ).

c) Säteilyvuon tiheys  $\tilde{F}_\nu$  (Flux density)

Tarkastellaan kaikista suunnista pinnan  $dA$  läpi menevää säteilythoa, jonka taajuus on välissä ( $\nu$ ,  $\nu + d\nu$ ).

$$\begin{aligned} d\tilde{F}_\nu &= \frac{dE_\nu}{dt \ dA \ d\nu} = \underbrace{\frac{dE_\nu}{dt \ dA \cos \theta \ d\nu \ d\omega}}_{dA_\perp} \cos \theta \ d\omega \\ &= I_\nu \cos \theta \ d\omega \end{aligned}$$

$$\tilde{F}_\nu(x) = \int_{\Omega} I_\nu \cos \theta \ d\omega = \iint_0^{\pi/2} I_\nu \cos \theta \sin \theta \ d\theta \ d\phi$$

MONOKROMAATTISEN  
SÄTEILYVUON TIHEYS  
(pintatiheys)

$$[\tilde{F}_\nu] = \frac{\text{erg}}{\text{s} \cdot \text{cm}^{-2} \text{Hz}} \quad ; \quad \frac{\text{W}}{\text{m}^2 \text{Hz}}$$

Säteilyn kokonaisuon tiheys saadaan integroimalla yli kaikkien taajuuksien:

$$\tilde{F}(x) = \int_0^\infty \tilde{F}_\nu(x) d\nu$$

KOKONAISVUON TIHEYS

HUOM. 1 Optisessa astronomiassa kutsutaan säteilyvuon tiheyttä usein lyhyesti vain säteilyvuoksi (flux).

HUOM. 2 Radioastronomiassa merkitään muodollisesti säteilyvuon tiheyttä symbolilla  $S_\nu$  ja lähteen pintakirkkauskantama symbolilla  $b_\nu(\alpha, \delta)$ , missä  $\alpha$  = rektaskensio ja  $\delta$  = deklinatio.

Optisessa astronomiassa	Radioastronomiassa
$d\tilde{F}_v = \frac{P_v}{dA dv} = I_v \cos\theta d\omega$	$dS_v = \frac{P_v}{dA dv} = B_v(\alpha, \delta) \cdot \underbrace{d\omega}_{\cos\delta d\delta d\alpha}$ $(\cos\theta = 1)$
$\tilde{F}_{v, out} = \iint_0^{\pi/2} I_v \cos\theta \sin\theta d\theta d\phi$	$S_v = \iint B_v(\alpha, \delta) d\omega$
säteilytaho: $P = \iiint_{WA_v} I \cos\theta d\omega dA dv$	$P = \frac{1}{2} A_o \Delta v \int B_v(\alpha, \delta) \cdot f(\alpha-\alpha', \delta-\delta') d\omega$
	missä A <sub>o</sub> = antennin efektiivinen pinta-ala Δv = vastaanottimen kaistaleveys f = antennin keilakuvio, joka kuvailee miten tehokkaasti antenni vastaanottaa radiosäteilyä eri suunnissa. Normalisointi: f(θ = 0) = 1
	Tekijä $\frac{1}{2}$ johtuu siitä, että radio-teleskoopilla saadaan vain toinen polarisaatiosuunta havaittua

Yhdistettäessä antenni kohinaputkeen, antaa kohinaputki tietyn lämpötilassa T saman tehon kuin havaittu radiolähde:

$$P_{lähde} = P_{kohinaputki} = k \cdot \Delta v \cdot T, \text{ missä } k = \text{Boltzmannin vakio}$$

Kun y.o. ehto on täytetty, kutsutaan kohinaputken lämpötilaa antennilämpötilaksi T<sub>A</sub>.

$$P_{lähde} = \frac{1}{2} A_o \Delta v \int B_v(\alpha, \delta) \cdot f(\alpha-\alpha', \delta-\delta') \cos\delta d\delta d\alpha = k \cdot \Delta v \cdot T_A$$

Mittaamalla radiolähteen teho saadaan dekonvoluutiolla lähteen pintakirkkaus määritettyä.

Erotetaan seuraavassa tarkastelupinnasta ulos tuleva säteilyvuo ( $0 < \Theta < \frac{\pi}{2}$ ) pinnan sisään menevästä säteilyvuosta ( $\frac{\pi}{2} < \Theta < \pi \Rightarrow \cos \Theta < 0$ ). Tällöin on

$$\tilde{F}_{\text{out}} = \tilde{F}^+(x) = \int_0^{\pi/2} \int_0^{2\pi} I \cos \Theta \sin \Theta d\Theta d\phi$$

$$\tilde{F}_{\text{in}} = \tilde{F}^-(x) = - \int_{\pi/2}^{\pi} \int_0^{2\pi} I \cos \Theta \sin \Theta d\Theta d\phi$$

(huom. miinus-merkki, jotta saataisiin positiivinen tulos)

Nettosäteilyvuon tiheys on täten

$$\tilde{F}_v(x) = \tilde{F}_v^+(x) - \tilde{F}_v^-(x)$$

ESIM.1 Isotrooppisessa säteilykentässä intensiteetti ei riipu kulmasta:

$$I(x, \Theta, \phi) = I(x). \text{Tällöin}$$

$$\tilde{F}_{\text{out}}(x) = I(x) \int_0^{\pi/2} \int_0^{2\pi} \sin \Theta \cos \Theta d\Theta d\phi$$

$$= I(x) \cdot 2\pi \int_0^{\pi/2} \frac{1}{2} \sin 2\Theta \frac{d(2\Theta)}{2} = I(x) \cdot \frac{\pi}{2} \int_0^{\pi/2} -\cos 2\Theta$$

$$\tilde{F}_{\text{out}}(x) = \pi \cdot I(x)$$

HUOM. Isotrooppisessa säteilykentässä on kokonaisvuon tiheys  $\tilde{F} = 0$  :

$$\tilde{F}_{\text{in}} = \tilde{F}_{\text{out}} \Rightarrow \tilde{F}(x) = \tilde{F}_{\text{out}}(x) - \tilde{F}_{\text{in}}(x) = 0$$

Kun oletetaan, että tähdien ulkopuolella ei ole säteilylähteitä, on tähden pinnalla  $\tilde{F}_{\text{in}} = 0 \Rightarrow \tilde{F}(\text{pinnalla}) = \tilde{F}_{\text{out}}$ . Tällöin

$$\frac{\tilde{F}_v}{\pi} = \frac{\int_0^{\pi/2} \int_0^{2\pi} I_v \cos \Theta \sin \Theta d\Theta d\phi}{\int_0^{\pi/2} \int_0^{2\pi} \cos \Theta \sin \Theta d\Theta d\phi} = \bar{I}_{\text{out}}$$

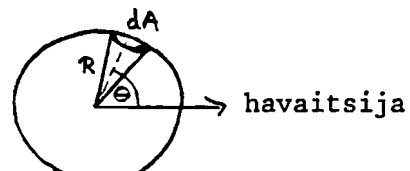
Toisaalta on tähtikiekon yli havaittu keskimääräinen intensiteetti

$$\bar{I}_{\text{out}} = \frac{\int I_v dA}{A}$$

, missä  $dA = R^2 d\omega$

$$dA_\perp = \cos \Theta dA$$

$$= \frac{\int_0^{\pi/2} \int_0^{2\pi} I_v \cos \Theta \cdot R^2 \sin \Theta d\Theta d\phi}{\pi R^2}$$

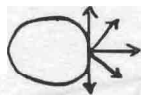


$$\bar{I}_{\text{out}} = \frac{\tilde{F}_{\text{out}}}{\pi} = \frac{\tilde{F}_v}{\pi}$$

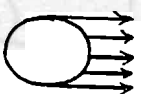
Koska molemmat tarkastelut antoivat saman lopputuloksen, voidaan tulos tulkita seuraavasti : tähden pinnalla esittää

$$J_\nu = \bar{I}_\nu = \frac{\mathcal{F}_\nu}{\pi} \quad \text{keskimääräistä säteilyn intensiteettiä}$$

a) yhdestä pisteestä kaikkiin suuntiin



b) kaikista pisteistä yhteen suuntaan



ESIM. 2 Aurinkon kokonaisuon tiheys Maan ilmakehän ulkopuolella (ns. aurinkovakio) on  $1.39 \times 10^6 \text{ erg s}^{-1} \text{cm}^{-2}$ . Määritä Aurinkon säteilyintensiteetti sekä kokonaisuon tiheys Aurinkon pinnalla, kun oletetaan, että säteilyn intensiteetti on suunnasta riippumaton.

$$\mathcal{F}_\odot = 1.39 \times 10^3 \text{ W/m}^2$$

$$\omega'_\odot = \frac{\pi R^2}{r^2} = \pi \underbrace{[\text{trigon. parallaksi}]}_{{}^{16^\circ} \text{ Auringolle}}^2 = 6.8 \times 10^{-5} \text{ sr}$$

$$\text{Havaittu pintakirkkaus } I' = \frac{\mathcal{F}_\odot}{\omega'_\odot}$$

$$I' = 1.998 \times 10^7 \text{ W/m}^2 \text{sr}$$

Säteilyn kokonaisintensiteetti Aurinkon pinnalla on siten

$$I = I' \approx 2.0 \times 10^7 \text{ W/m}^2 \text{sr}$$

Kokonaisuon tiheys Aurinkon pinnalla:

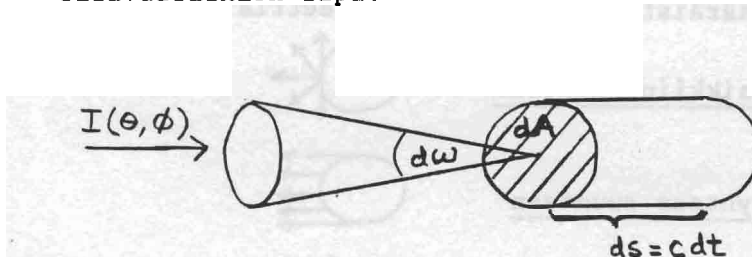
$$\mathcal{F}_\odot = \pi \cdot I$$

$$\mathcal{F}_\odot = 6.28 \times 10^7 \text{ W/m}^2 = 62.8 \text{ MW/m}^2$$

Auringon energian tuotto on siten melko tehokasta :  $10 \text{ m}^2$  alue Aurinkon pinnalla säteilee 628 MW (vrt. Loviisan ydinvoimalat I ja II tuottavat kumpikin noin 300 MW).

d) Säteilytiheys u (Radiation Density or Energy Density)

Säteilytiheys  $u$  on se säteilyenergian määrä tilavuusyksikköä kohti, joka mielivaltaisena hetkenä kulkee avaruudessa tarkastelupisteen tilavuusalkion läpi.



$$du = \frac{\text{säteilyenergia}}{\text{tilavuusalkio}}$$

$$du = \frac{dE}{dV} = \frac{P \cdot dt}{dA \cdot ds}, \text{ missä teho} \quad P = I \underbrace{\cos \theta}_{=1} dA d\omega$$

$$du(\theta, \phi) = \frac{I(\theta, \phi) \cdot dA d\omega dt}{dA \cdot c dt} = \frac{1}{c} I(\theta, \phi) d\omega$$

$$u = \int du$$

$$u = \frac{1}{c} \int_{\Omega} I(\theta, \phi) d\omega$$

SÄTEILYTIHEYS  
(avaruustiheys)

$$[u] = \frac{\text{erg}}{\text{cm}^3} \text{ tai } \frac{\text{J}}{\text{m}^3}$$

e) Säteilypaine  $P_R$  (Radiation pressure)

$$\text{paine} = \frac{\text{pintaan vasten kohtisuora voima}}{\text{pinta-ala}}$$

$$dP_R = \frac{dp_z/dt}{dA} = \frac{dp \cos \theta}{dt dA}$$

$$\text{missä fotonin liikemäärä } p = \frac{h\nu}{c} = \frac{E}{c}$$

$$dp = \frac{dE}{c} = \frac{I \cos \theta d\omega dA dt}{c}$$

$$dP_R = \frac{1}{c} I \cos^2 \theta d\omega$$

$$P_R = \frac{1}{c} \int_{\Omega} I \cos^2 \theta d\omega$$

SÄTEILYPAINTE

Mikäli tarkastelukohteessa säteily absorboituu ja emittoituu sata-prosenttisesti (ts. kyseessä on ns. musta kappale), on kohteessa vallitseva paine  $\underline{P} = \underline{P}_R$ .

ESIM. 1. Määritä säteilypaine täysin mustalle pinnalle, kun säteily tulee kohtisuorasti pintaa vasten.

$$\underline{P}_R = \frac{1}{c} \int I \cos^2 \theta d\omega \quad \left| \begin{array}{l} \theta = 0^\circ \\ \cos \theta = 1 \end{array} \right.$$

$$\underline{P}_R = \frac{1}{c} \int_{\Omega} I d\omega$$

$$\underline{\underline{P}_R = u}}$$

ESIM. 2. Määritä säteilypaine täysin heijastavalle pinnalle isotrooppisessa säteilykentässä ( $I(\theta, \phi) = I$ )

$$\begin{aligned} \underline{P}_R &= \frac{I}{c} \iint_0^{2\pi} \cos^2 \theta \underbrace{\sin \theta d\theta d\phi}_{d\omega} \\ &= \frac{2\pi I}{c} \int_0^{\pi} -\frac{1}{3} \cos^3 \theta = \frac{2\pi}{3c} I [-(-1)^3 + 1] \\ &= \frac{4\pi}{3c} I \end{aligned}$$

Verrattaessa tätä säteilytiheyteen  $u = \frac{4\pi}{c} I$  havaitaan, että

$$\underline{\underline{P}_R = \frac{u}{3}} \quad \text{}$$

Määritellään lopuksi vielä pari funktioita, joita tullaan käyttämään säteilynkuljetusluvussa (Eddingtonin käytämat merkinnät)

$$H_\nu(x) = \frac{\int I_\nu(\theta) \cos \theta d\omega}{\int d\omega} = \frac{1}{4\pi} \tilde{F}_\nu$$

$$K_\nu(x) = \frac{\int I_\nu(\theta) \cos^2 \theta d\omega}{\int d\omega} = \frac{c}{4\pi} \tilde{P}_R$$

Näitten hieman keinotekoisten suureitten avulla saadaan säteilyintensiiteille "matemaattisesti kauniita"  $\cos \theta$  -momentteja:

$$J_\nu = \frac{1}{4\pi} \int I_\nu(\theta) d\omega$$

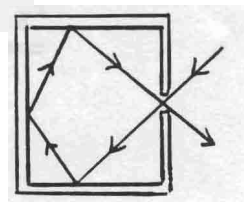
$$H_\nu = \frac{1}{4\pi} \int I_\nu(\theta) \cdot \cos \theta d\omega = \frac{1}{4\pi} \tilde{F}_\nu$$

$$K_\nu = \frac{1}{4\pi} \int I_\nu(\theta) \cdot \cos^2 \theta d\omega = \frac{c}{4\pi} \tilde{P}_R$$

### 2.1.2. Mustan kappaleen säteily

Musta kappale määritellään kappaleeksi, joka absorboi (ja vastaavasti myös emittoi) kaiken siihen osuvan säteilyn.

Esimerkiksi säteily, joka tulee ulos pienen aukon omaavasta mustasta laatikosta vastaa melko hyvin mustan kappaleen säteilyä.



#### a) Planckin säteilylaki

Max Planck havaitti v. 1900, että mustan kappaleen säteilyintensiteetti riippuu yksinomaan säteilyn taajuudesta ja lämpötilasta ( $T=T_{bb}$ ) :

$$I_\nu = B_\nu(T) = \frac{2h\nu^3}{c^2} \frac{1}{e^{h\nu/kT} - 1}$$

PLANCKIN LAKI (v. 1900)  
(mustan kpl:een säteily-intensiteetti)

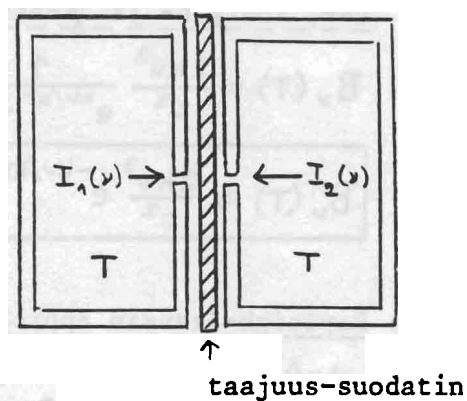
Planckin vakio  $h = 6.626 \cdot 10^{-27}$  erg·s =  $6.626 \cdot 10^{-34}$  Js  
Boltzmannin vakio  $k = 1.380 \cdot 10^{-16}$  erg/K =  $1.380 \cdot 10^{-23}$  J/K

$$[B_\nu] = \frac{\text{erg} \cdot \text{s} \cdot \text{s}^2}{\text{s}^3 \cdot \text{cm}^2} \cdot \frac{1}{\text{s} \cdot \frac{1}{\text{s}} \cdot \text{sr}} = \frac{\text{erg}}{\text{s} \cdot \text{cm}^2 \cdot \text{Hz} \cdot \text{sr}} \quad \text{tai} \quad \frac{\text{W}}{\text{m}^2 \cdot \text{Hz} \cdot \text{sr}}$$

HUOM. 1. Kaiken säteilyn absorboivan ja emittoivan kappaleen säteily-intensiteetiä merkitään omalla symbolilla  $B_\nu$  (B kuten brightness tai black body), jotta se heti erottuisi ei-termistä säteilyintensiteettilausekkeista.

2. Mustan kappaleen säteily ei riipu kappaleen materiaalista.

Jos esimerkiksi kahden eri materiaalista tehdyn mustan kappaleen väliin pannaan suodatin, joka läpäisee vain taajuuden  $\nu$  sekä oletetaan, että kappaleiden säteilyintensiteetit ovat erisuuret, mutta lämpötila sama, niin



$I_1(\nu) > I_2(\nu) \Rightarrow$  energia siirtyisi kappaleesta 1 kappaleeseen 2 vaikka kappaleilla on sama lämpötila  
 $\Rightarrow$  ristiriita termodynamiikan II pääsäännön kanssa

Ts. musta kappale säteilee samassa lämpötilassa aina samalla intensiteetillä riippumatta kappaleen koostumuksesta.

Johdetaan seuraavassa Planckin laki aallonpituisyksiköissä.

Kokonaisintensiteetti oltava sama kummassakin tapauksessa:

$$I = \int_0^{\infty} B_{\nu} d\nu = \int_0^{\infty} B_{\lambda} d\lambda$$

$$\Rightarrow B_{\nu}(T) |d\nu| = B_{\lambda}(T) |d\lambda|$$

$$B_{\lambda}(T) = B_{\nu}(T) \left| \frac{d\nu}{d\lambda} \right|$$

$$\left| \nu = \frac{c}{\lambda} \Rightarrow \left| \frac{d\nu}{d\lambda} \right| = \frac{c}{\lambda^2} \right.$$

$$B_{\lambda}(T) = \frac{2h\nu^3}{c^2} \frac{1}{e^{h\nu/kT} - 1} \cdot \frac{c}{\lambda^2} = \frac{2hc^3}{c^2 \lambda^3} \cdot \frac{c}{\lambda^2} \cdot \frac{1}{e^{hc/2kT} - 1}$$

$$B_{\lambda}(T) = \frac{2hc^2}{\lambda^5} \frac{1}{e^{hc/2kT} - 1}$$

HUOM.  $B_{\lambda} \neq B_{\nu}$

Tarkasteltaessa mustan kappaleen lähetämää suurtaajuista tai hyvin pienitaajuista säteilyä voidaan Planckin lakia approksimoida seuraavasti.

1) Wienin approksimaatio, kun  $h\nu/kT \gg 1$

UV-, röntgen- ja  $\gamma$ -säteilyn tapauksessa

$$B_{\nu}(T) = \frac{2h\nu^3}{c^2} \frac{1}{e^{h\nu/kT} - 1}$$

$$B_{\nu}(T) \approx \frac{2h\nu^3}{c^2} e^{-h\nu/kT}$$

2) Rayleigh-Jeansin approksimaatio, kun  $h\nu/kT \ll 1$

$$e^{-h\nu/kT} - 1 \approx (1 + \frac{h\nu}{kT} + \dots) - 1 = \frac{h\nu}{kT}, \text{ joten}$$

$$B_{\nu}(T) \approx \frac{2h\nu^3}{c^2} \cdot \frac{kT}{h\nu} = \frac{2\nu^2 kT}{c^2}$$

$$B_{\nu}(T) \approx \frac{2kT}{\lambda^2}$$

Tämä approksimaatio pätee käytännöllisesti katsoen koko radioalueella.

Esim. arvoilla  $\lambda = 1 \text{ m}$  ja  $T = 1 \text{ K}$  on virhe vasta noin 1 %.

HUOM. Koska radioalueella säteilyn intensiteetti on verrannollinen lämpötilaan, käytetään radioastronomiassa yleensä lämpötilaa säteilyn intensiteetin mittana. Rayleigh-Jeans approksimaatio määrittelee ns. kirkkauslämpötilan  $T_b$  (brightness temperature):

$$T_{b,\nu} = \frac{\lambda^2}{2k} I_\nu$$

KIRKKAUSLÄMPÖTILA

$$\text{Mustalle kappaleelle } I_\nu = B_\nu = \frac{q k T}{\lambda^2}$$

$$T_{b,\nu} = \frac{\lambda^2}{2k} \cdot \frac{q k T}{\lambda^2} = T = \text{mustan kpl:een lämpötila}$$

Myös silloin, kun kyseessä ei ole terminen, mustan kappaleen säteily, käytetään kirkkauslämpötilaan intensiteetin muodollisena mittana. Tällöin  $T_b$  vastaa sitä lämpötilaa, mikä mustalla kappaleella pitäisi olla, jotta sen säteilyn intensiteetti kyseisellä taajuudella olisi sama kuin havaittu, ei-termisen kohteen intensiteetti.

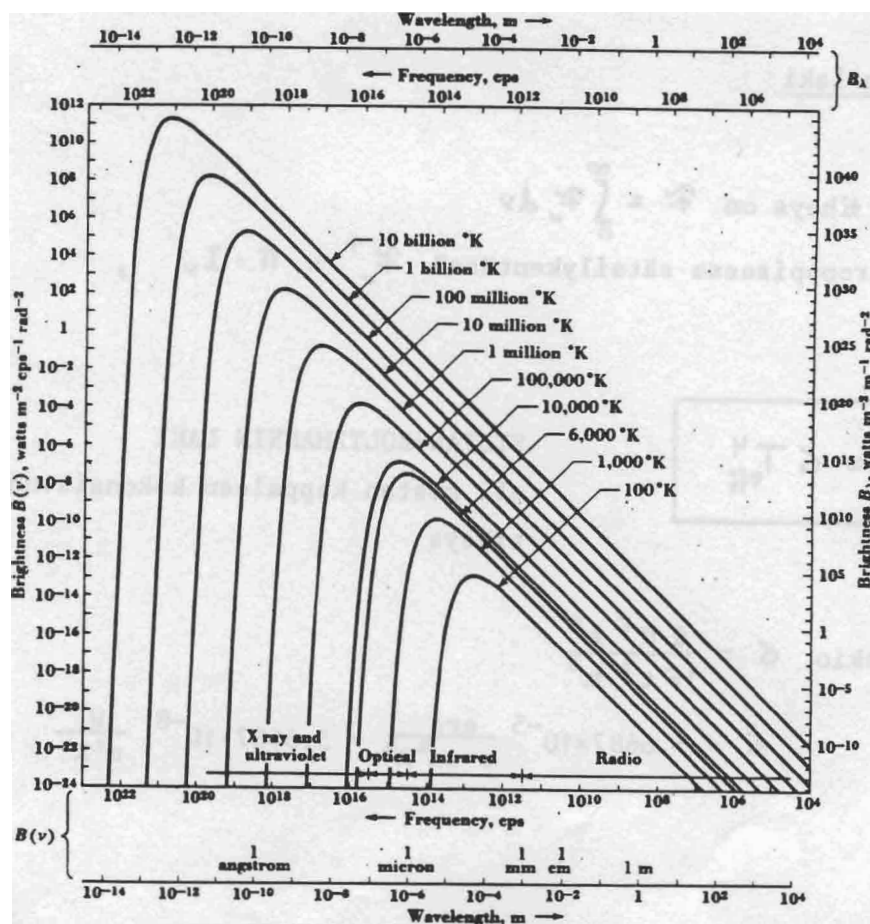


Fig. Planck-law radiation curves to logarithmic scales with brightness expressed as a function of frequency  $B(\nu)$  (left and bottom scales) and as a function of wavelength  $B_\lambda$  (right and top scales). Wavelength increases to the right.

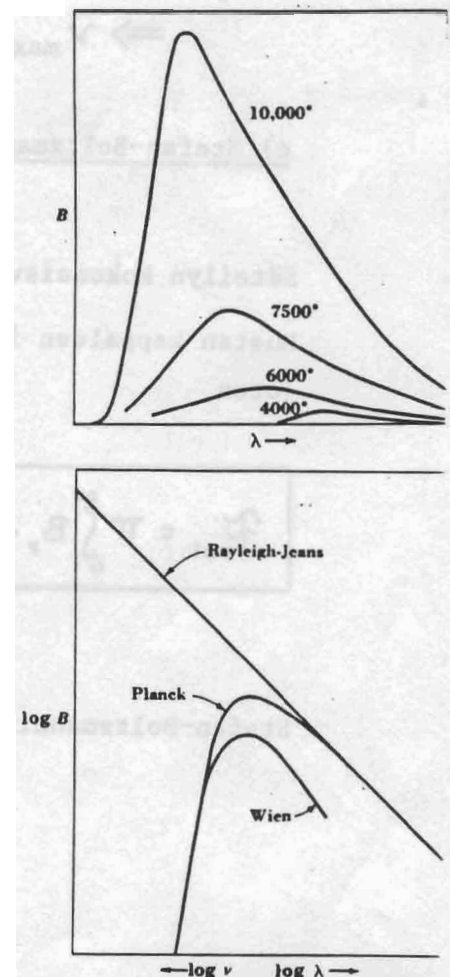


Fig. The Rayleigh-Jeans-radiation law curve coincides with the Planck-radiation-law curve at long wavelengths, while the Wien-radiation-law curve coincides with the Planck curve at short wavelengths.

b) Wienin siirtymälaki

Wien havaitsi, että mustan kappaleen säteilyintensiteetin maksimi siirtyy lämpötilan kasvaessa kohti pienempiä aallonpituuksia siten, että

$$\lambda_{\max} \cdot T = \text{vakio} = 0.289782 \text{ cm} \cdot \text{K}$$

WIENIN SIIRTYMÄLAKI

missä  $\lambda_{\max}$  = Planckin funktion ( $B_{\lambda}$ ) maksimikohdan aallonpituus

ESIM. 3K-taustasäteilyn  $\lambda_{\max} = \frac{0.29 \text{ cm} \cdot \text{K}}{3 \text{ K}} \approx 1 \text{ mm}$

HUOM.  $\lambda_{\max}$  on nimenomaan  $B_{\lambda}$ -funktion maksimikohta:  $\frac{dB_{\lambda}(T)}{d\lambda} = 0$

$$\nu_{\max} \neq \frac{c}{\lambda_{\max}} \quad \text{koska } B_{\nu} \neq B_{\lambda}$$

$$\nu_{\max} \text{ saadaan maksimoimalla funktio } B_{\nu} = \frac{c}{\nu^2} \cdot B_{\lambda}$$
$$\Rightarrow \nu_{\max} = 5.8787 \cdot T \frac{\text{Hz}}{\text{K}}$$

c) Stefan-Boltzmannin laki

Säteilyn kokonaisvuon tiheys on  $\hat{\tau} = \int_0^{\infty} \hat{\tau}_{\nu} d\nu$

Mustan kappaleen isotrooppisessa säteilykentässä  $\hat{\tau}_{\nu}^+ = \Pi \cdot I_{\nu}$ ,  
joten

$$\hat{\tau}_{\text{out}} = \Pi \int_0^{\infty} B_{\nu} d\nu = \sigma T_{\text{eff}}^4$$

STEFAN-BOLTZMANNIN LAKI  
eli mustan kappaleen kokonaisvuon  
tiheys

Stefan-Boltzmannin vakio  $\sigma = \frac{2\pi^5 k^4}{15 c^2 h^3}$

$$\sigma = 5.6687 \times 10^{-5} \frac{\text{erg}}{\text{s} \cdot \text{cm}^2 \text{K}^4} = 5.6687 \times 10^{-8} \frac{\text{W}}{\text{m}^2 \text{K}^4}$$

Kokonaisuon tiheys on siten verrannollinen lämpötilan 4. potenssiin. Stefan-Boltzmannin lain avulla määriteltyä lämpötilaa kutsutaan efektiiviseksi lämpötilaksi  $T_{\text{eff}}$ :

$$\tilde{\tau}_{\text{out}} = \sigma T_{\text{eff}}^4 \Rightarrow T_{\text{eff}} = \sqrt[4]{\frac{\tilde{\tau}_{\text{out}}}{\sigma}}$$

HARJ.TEHT. Johda Planckin laista lähtien Stefan-Boltzmannin laki sekä Wienin siirtymälaki.

d) Mustan kappaleen säteilytiheys

Isotrooppisessa säteilykentässä on säteilyn energiatihesys

$$u_{\nu} = \frac{1}{c} \int_{\Omega} I_{\nu} d\omega = \frac{I_{\nu}}{c} \int_{\Omega} d\omega = \frac{4\pi}{c} I_{\nu}$$

Mustan kappaleen monokromaattinen energiatihesys on siten

$$u_{\nu} = \frac{4\pi}{c} \cdot B_{\nu}(T) = \frac{8\pi h \nu^3}{c^3} \frac{1}{e^{h\nu/kT} - 1}$$

MONOKROMAATTISEN SÄTEILYN ENERGIATIHESYS

$$[u_{\nu}] = \frac{\text{erg}}{\text{cm}^3 \cdot \text{Hz}} ; \frac{\text{J}}{\text{m}^3 \cdot \text{Hz}}$$

Integroitaessa yli kaikkien taajuksien sekä huomioimalla Stefan-Boltzmannin laki saadaan

$$u = \int_0^{\infty} u_{\nu} d\nu = \frac{4\pi}{c} \int_0^{\infty} B_{\nu}(T) d\nu = \frac{4}{c} \cdot \sigma T^4$$

$$u(T) = a T_{\text{eff}}^4$$

MUSTAN KAPPALEEN SÄTEILYTIHESYS

$$\text{vakio } a = \frac{4\sigma}{c} = 7.5634 \cdot 10^{-15} \frac{\text{erg}}{\text{cm}^3 \cdot \text{K}^4} = 7.5634 \cdot 10^{-16} \frac{\text{J}}{\text{m}^3 \cdot \text{K}^4}$$

ESIM. Määritä säteilypaine Aurinkon atmosfääriissä ( $T = 5700 \text{ K}$ ), kun oletetaan, että Aurinko on isotrooppisen säteilykentän omaava musta kappale.

$$P_R = \frac{u}{3} = \frac{1}{3} a T^4$$

$$P_R = \frac{1}{3} \times 7.5634 \times 10^{-15} \times 5700^7 \frac{\text{erg}}{\text{cm}^3} = 2.65 \frac{\text{dyn} \cdot \text{cm}}{\text{cm}^2}$$

$$P_R = 2.65 \frac{\text{dyn}}{\text{cm}^2}$$



Auringon atmosfääriissä on kaasunpaine  $P_{\text{gas}} \approx 80000 \frac{\text{dyn}}{\text{cm}^2}$ , joten säteilypaineella ei merkitystä Auringon atmosfääriissä. (Sen sijaan Auringon keskustassa, jossa  $T \approx 15 \cdot 10^6 \text{ K}$  on  $P_R = 1.18 \cdot 10^{14} \text{ dyn cm}^{-2}$ )

ESIM. Säteilypaine ylijätiläisen atmosfääriissä, jossa  $T = 10000 \text{ K}$ .

$$P_R = \frac{1}{3} a T^4 = 25 \text{ dyn cm}^{-2}$$

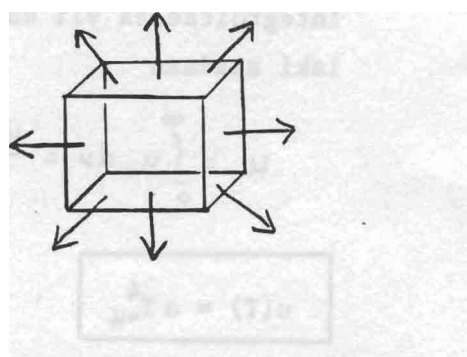
Koska kaasunpaine  $P_{\text{gas}} \approx 100 \text{ dyn cm}^{-2}$  on säteilypaine huomioitava ylijätiläisten atmosfääreissä.



### 2.1.3 Säteilyn emissio- ja absorptiokerroin

#### a) Säteilyn emissiokerroin

Tähden tilavuusalkion  $dV$  avaruuskulmaan  $d\omega$  säteilemä energia taajuusväliissä ( $\nu, \nu + d\nu$ ) on verrannollinen alkion massaan  $dm = \xi dV$ .



$$dE_\nu \sim dm \cdot dt \cdot d\nu \cdot d\omega = \xi dV dt d\nu d\omega$$

Tarkasteltaessa tilavuusalkion kaikkiin suuntiin säteilemää energiamäärää on integroitava yli kaikkien suuntien ( $\oint d\omega = 4\pi$ ), jolloin

$$dE_\nu = \int_\nu \cdot \xi dV dt d\nu \cdot 4\pi$$

Tämä määrittelee verrannollisuuskertoimen  $\dot{j}_\nu$ , jota kutsutaan emissiokertoimeksi

$$\dot{j}_\nu = \frac{1}{4\pi} \frac{dE_\nu}{dt d\nu dm}$$

EMISSIONKERROIN  
(massayksikköä kohti)

$$[\dot{j}_\nu] = \frac{\text{erg}}{\text{s Hz g}} = \frac{\text{erg}}{\text{g}} ; \frac{\text{J}}{\text{g}}$$

HUOM. Keskimääräinen intensiteetti:  $J_\nu = \frac{1}{4\pi} \oint I_\nu d\omega$

$$\begin{aligned} \Rightarrow dJ_\nu &= \frac{1}{4\pi} I_\nu d\omega = \frac{1}{4\pi} \frac{dE_\nu}{dt d\nu dA_1 d\omega} \\ &= \frac{1}{4\pi} \frac{dE_\nu}{dt d\nu \underbrace{dA_1 dx s}_{dm}} \cdot (s dx) \\ dJ_\nu &= \dot{j}_\nu s dx \end{aligned}$$

### b) Säteilyn absorptiokertoimet ja optinen syvys

Käytetään seuraavia merkintöjä:

$$\alpha_\nu = \text{yhden atomin absorptiokerroin}$$

$$[\alpha_\nu] = \text{cm}^2$$

$$\text{HUOM. Atomin ns. efektiivinen pinta-ala (vaikutusala)} = \int_0^\infty \alpha_\nu d\nu = \frac{\pi e^2}{m_e c}$$

(kts. luku 2.5.2.e)

$$\kappa_\nu = \text{tilavuusabsorptiokerroin}$$

$$\kappa_\nu = N \alpha_\nu, \text{ missä } N = \text{taajuudella } \nu \text{ absorboivien hiukkasten lukumäärä kuutiosenttimetrissä}$$

$$[\kappa] = \frac{\text{cm}^2}{\text{cm}^3} = \frac{1}{\text{cm}}$$

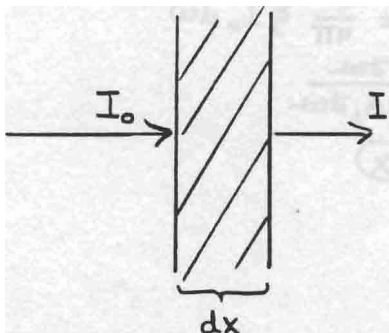
$\kappa_\nu$  riippuu materiaan kemiallisesta koostumuksesta, säteilyn taajuudesta, paineesta ja lämpötilasta.

$k_\nu$  = massa-absorptiokerroin

$k_\nu = \frac{K_\nu}{\rho}$ , missä  $\rho$  = absorboivan väliaineen tiheys

$$[k_\nu] = \frac{1}{\text{cm}} : \frac{\text{g}}{\text{cm}^3} = \frac{\text{cm}^2}{\text{g}}$$

$k_\nu$  kuvaa siten säteilyn absorptiovaikutusta väliaineen yhtä grammia kohti.



Absorption johdosta pienenee intensiteetti säteilyn kulkiessa väliaineen läpi:

$$dI_\nu = - k_\nu dx I_\nu \quad \Rightarrow \quad K_\nu = - \frac{dI_\nu / I_\nu}{dx}$$

Tilavuusabsorptiokerroin ilmoittaa täten intensiteetin suhteellisen vähenemisen matkalla  $dx$ .

Käytettäessä massa-absorptiokerrointa  $k_\nu$  on

$$dI_\nu = - \rho k_\nu dx I_\nu$$

$$\frac{dI_\nu}{I_\nu} = - \rho k_\nu dx \quad | \int$$

$$\ln \frac{I_\nu}{I_{0\nu}} = - \int_0^x \rho(x') k_\nu(x') dx'$$

$$I_\nu(x) = I_{0\nu} e^{- \int_0^x \rho(x') k_\nu(x') dx'}$$

Määritellään väliaineen optinen syvyys :

$$\tau_\nu(x) = \int_0^x \rho(x') k_\nu(x') dx'$$

Tiheyden ja massa-absorptiokertoimen ollessa vakioita on  $\tau_\nu(x) = \rho k_\nu x$

$$\Rightarrow I_\nu(x) = I_{0\nu} e^{-\tau_\nu(x)}$$

ESIM. Kun  $\gamma_v = 1 \Rightarrow I_v = \frac{1}{e} I_{ov}$  ts. intensiteetti pienentynyt osaan  $\frac{1}{e} = 0.37$

Optinen syvyys kuvaa väliaineen "läpinäkyvyyttä". Mitä suurempi  $\gamma$ , sitä suurempi ekstinktio (ts. absorptio ja sironta) kyseisessä väliaineessa eli sitä huonompi "läpinäkyvyys".

c) Säteilypaine osittain absorboivassa väliaineessa

Säteilypaineen aiheuttaman mekaanisen voiman suuruus riippuu siitä, kuinka suuri osa säteilystä absorboituu tarkastelukohteeseen.

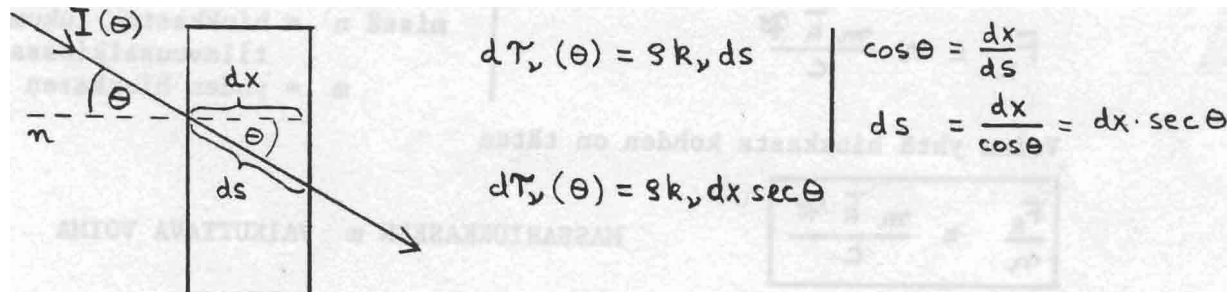
Jos kaikki säteily absorboituu tarkastelukohteeseen, on paine P yhtäsuuri kuin mustan kappaleen säteilypaine (kts. luku 2.1.1.e) :

$$P = P_R = \frac{1}{c} \int_n I(\theta, \phi) \cos^2 \theta d\omega$$

Mutta, jos tarkasteltavaan massa-alkioon absorboituu vain osa säteilystä, on tietystä suunnasta  $\Theta$  tulevan säteilyn synnyttämä paine

$$dP_v(\Theta) = \frac{1}{c} I_v(\theta, \phi) \cos^2 \theta d\omega dv d\gamma_v, \quad , \text{ missä optinen syvyys } d\gamma_v \text{ kuvailee absorption osuutta}$$

Tasapaksulle levymäiselle massa-alkiolle on optinen syvyys



Levymäisessä väliainekerroksessa on suunnasta  $\Theta$  tulevan säteilyn synnyttämä paine siten

$$dP_\nu(\theta) = \frac{s k_\nu dx}{c} I_\nu(\theta, \phi) \cos \theta d\omega d\nu$$

Huomioimalla kaikista suunnista saapuvaa säteilyä saadaan

$$dP_\nu = \frac{s k_\nu dx d\nu}{c} \underbrace{\int_{\Omega} I_\nu(\theta, \phi) \cos \theta d\omega}_{\bar{F}_\nu} = \frac{s dx}{c} k_\nu \bar{F}_\nu d\nu$$

Integroimalla yli säteilyn kaikkien taajuksien saadaan

$$dP = \frac{s dx}{c} \int_0^\infty k_\nu \bar{F}_\nu d\nu \quad \left| \bar{k} = \frac{\int k_\nu \bar{F}_\nu d\nu}{\int \bar{F}_\nu d\nu} \right. = \text{keskimääräinen absorptiokerroin}$$

$$dP = \frac{s \bar{k} dx}{c} \bar{F}$$

SÄTEILYPAINE OSITTAIN ABSORBOIVASSA VÄLIAINEKERROKSESSA

Tarkastelukohteeseen vaikuttava mekaaninen voima on siten

$$F_R = P \cdot A = \frac{s \bar{k} A \Delta x}{c} \bar{F}$$

$$V = A \cdot \Delta x$$

$$\xi = \frac{n m}{V}$$

$$F_R = n \frac{m \bar{k} \bar{F}}{c}$$

missä  $n$  = hiukkasten lukumäärä tilavuusalkiossa  $V$   
 $m$  = yhden hiukkasen massa

Voima yhtä hiukkasta kohden on täten

$$\frac{F_R}{n} = \frac{m \bar{k} \bar{F}}{c}$$

MASSAHIUKKASEEN  $m$  VAIKUTTAVA VOIMA

Säteilypaineen ansiosta saa massahiukkanen  $m$  kiihtyvyden

$$a_R = \frac{F_R}{nm}$$

$$a_R = \frac{\bar{k} \cdot \bar{F}}{c}$$

SÄTEILYPAINEESTA JOHTUVA HIUKKASEN KIIHTYVYYS

ESIM. A0-luokan tähdet atmosfäärisissä on

$$T = 10\ 000 \text{ K}$$

$$\bar{k} = 27$$

$$\bar{\sigma} = \sigma T^4 = 5.67 \cdot 10^{11} \frac{\text{erg}}{\text{s} \cdot \text{cm}^2} = 5.67 \cdot 10^8 \frac{\text{W}}{\text{m}^2}$$

Säteilypaineen gradientti on tällöin

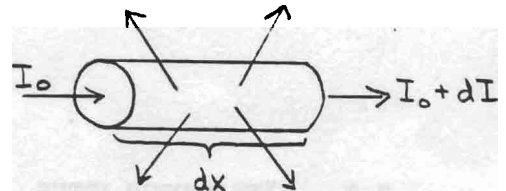
$$\frac{dP}{dx} = \frac{\frac{g \cdot \bar{k} \cdot \bar{\sigma} T^4}{c}}{c} = \frac{g \bar{k} \bar{\sigma} T^4}{c^2} = 2 \cdot 10^4 \times g \frac{\text{dyn}}{\text{cm}^3} = 2 \cdot 10^5 \times g \frac{\text{N}}{\text{m}^3}$$

ja hiukkasen saama kiihtyvyys

$$a_R = \frac{\bar{k} \cdot \bar{\sigma} T}{c} = 510 \frac{\text{cm}}{\text{s}^2} = 5.1 \frac{\text{m}}{\text{s}^2} \quad (\text{vrt. havaittuun aurinkotuulen efektiin } a \approx 1 \frac{\text{m}}{\text{s}^2})$$

#### d) Kirchhoffin laki

Säteilyintensiteetin nettomuutos tähdet atmosfäärisissä syvyydessä  $x$  olevassa tilavuusalkiossa on



$$dI_\nu = \underbrace{\text{emittoitunut keskimäär. intensiteetti}}_{dJ_\nu} - \underbrace{\text{absorboitunut intensiteetti}}_{k_\nu dx I_\nu} \quad (\text{kts. b-kohtaa})$$

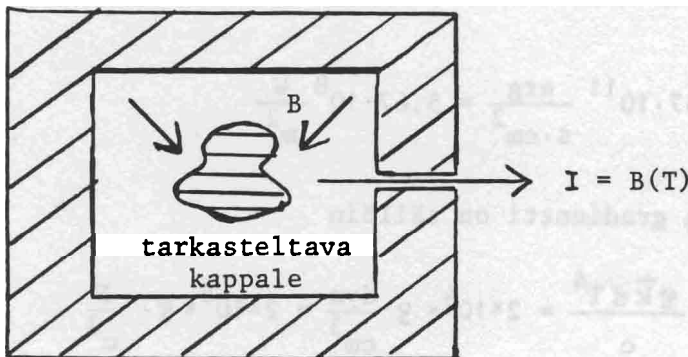
$$dJ_\nu = \frac{1}{4\pi} I_\nu d\omega$$

$$= g j_\nu dx \quad (\text{kts. a-kohtaa})$$

$$dI_\nu = g j_\nu dx - g k_\nu dx \cdot I_\nu$$

Mikäli koteen emittoima säteily riippuu vain lämpötilasta on

$I_\nu = B_\nu(T)$  = Planckin funktio. Tällöin intensiteetin nettomuutos  $dI_\nu = 0$ . Jos esimerkiksi tarkasteltava tilavuusalkio pantaisiin mustan kappaleen sisälle, olisi saapuvan säteilyn intensiteetti  $I_\nu = B_\nu(T)$ . Ko. tilavuusalkio asettuisi silloin myös lämpötilaan  $T$  ja sen emittoima säteily olisi myöskin mustan kappaleen säteilyä.



$$dI_\nu = 0$$

$$\Rightarrow \epsilon j_\nu dx - \epsilon k_\nu dx \cdot I_\nu = 0$$

$$\Rightarrow \frac{\dot{j}_\nu}{k_\nu} = B_\nu(T)$$

KIRCHHOFFIN LAKI (v. 1860)  
(pätee, kun emissio riippuu  
vain lämpötilasta)

## 2.2 SÄTEILYNKULJETUS

### 2.2.1 Yleistä

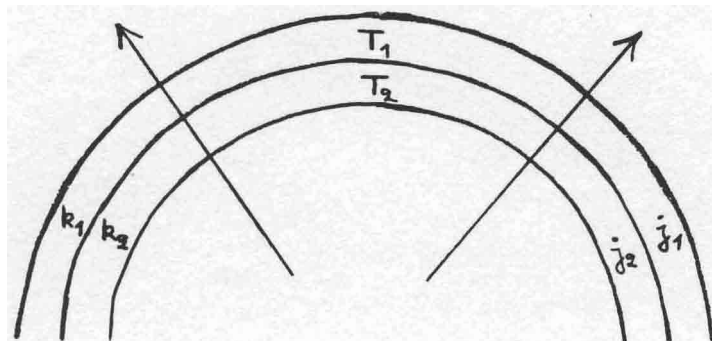
Fotonien liikkumisessa väliaineessa tapahtuu törmäyksiä väliaineatomien kanssa. Näissä vuorovaikutusprosesseissa foton voi vastaanottaa energiota sekä jälleen luovuttaa sen väliaineelle takaisin myöhempää törmäyksissä. Energian kuljetus säteilyn avulla perustuu siihen, että tähden kuumemmassa osassa emittoituneet fotonit absorboituvat kylmämmässä osassa siirtäen näin energiota ulospäin. Esimerkiksi Aurinkon keskustassa syntynyt energiapulssi tarvitsee keskimäärin noin  $10^6$  vuotta, ennen kuin se fotonien ja kaasuatojen satunnaisten törmäysprosessien välityksellä kulkeutuu Aurinkon pinnalle.

Vuonna 1906 Karl Schwarzschild osoitti, että Auringon fotosfääriissä energia siirtyy säteilyn avulla. Hänen stationääristen säteilykenttien teoriansa kuuluu tähtien teorian peruspilareihin.

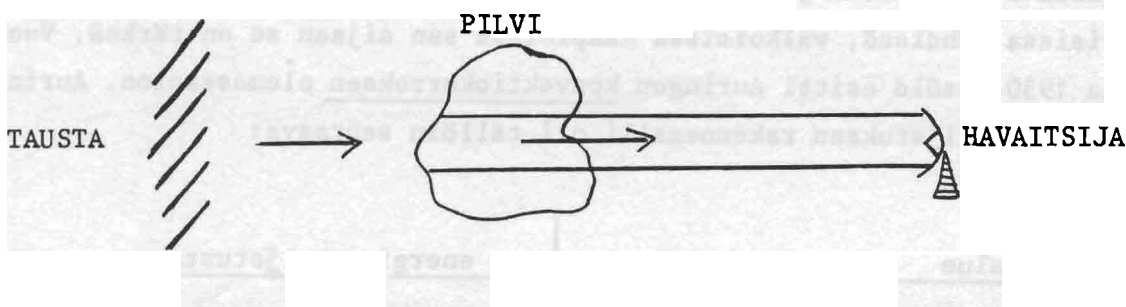
Energia voi siirtyä paitsi säteilyn avulla myös konvektiolla (massavirtausten avulla) sekä johtumalla. Lämmön johtuminen on merkityksetön tavallisissa tähdissä, valkoisissa kääpiöissä sen sijaan se on tärkeä. Vuonna 1930 Unsöld esitti Auringon konvektiokerroksen olemassaolon. Auringon energiankuljetuksen rakennemalli oli tällöin seuraava:

alue	energian kuljetustapa
$r < 0.76 R_\odot$	säteilykuljetus
$0.76 R_\odot < r < 0.9995 R_\odot$	konvektio
$r > 0.9995 R_\odot$	säteilykuljetus

Auringon havaittu säteily on peräisin Auringon eri pintakerroksista. Se, mitenkä syvältä säteily on peräisin, riippuu ylempien kerrostien absorptiominaisuksista – eri kerroksilla on nimitään erilainen lämpötila, emisio- ja absorptiokerroin.



Toisentyyppinen säteilynkuljetusprobleema esiintyy tähtienvälisessä pilvessä, jossa on huomioitava pilven oma emissio sekä pilven takaa tulevan säteilyn heikentyminen. Lisäksi osa pilvessä syntyneestä säteilystä ehtii absorboitua pilveen ennen kuin se saapuu havaitsjalle.



Säteilynkuljetuksen probleema voidaan lyhimmässä muodossa formuloida seuraavasti:

$$\left( \frac{dN}{dt} \right)_{\text{kulj.}} = \left( \frac{dN}{dt} \right)_{\text{törm.}}$$

, missä  $N$  = fotonien lukumäärä faasiavaruuden alkiossa ( $d^3 r d^3 k$ )

$$\frac{\partial N}{\partial t} + \frac{\partial}{\partial r} \frac{\partial N}{\partial r} + \frac{\partial}{\partial k} \frac{\partial N}{\partial k} = \left( \frac{dN}{dt} \right)_{\text{törm.}}$$

$$\bar{k} = \text{aaltoluku} = \frac{2\pi}{\lambda} \quad (\bar{p} = \hbar \bar{k})$$

Säteilynkuljetusprobleeman yleinen ratkaisu johtaa "hankaliin" differentiaali-integraaliyhtälöihin. Sopivilla fysikaalisilla approksimaatioilla ratkeaa probleema matemaattisesti yksinkertaisellakin tavalla. Käytänössä nämä likimääräiset ratkaisumenetelmät ovat osoittautuneet optimaalisiksi tarkkuuden suhteen tähtitieteiden tietyissä tarkastelukohteissa. Astrofysiikan peruskurssilla tutustutaan vain säteilynkuljetusyhtälön approksimatiivisiin ratkaisumenetelmiin.



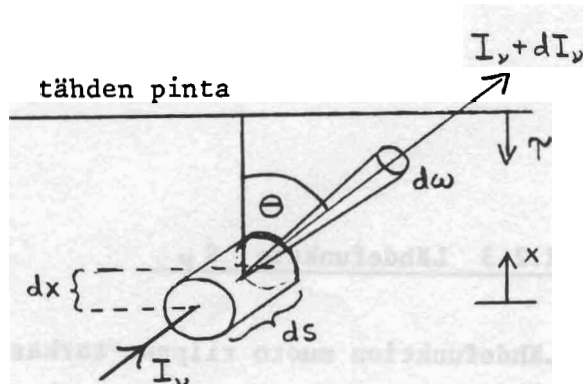
### 2.2.2 Säteilyn kuljetusyhtälö

Tarkastellaan tähden atmosfääriissä syvyydessä  $x$  olevaan sylinderimaiseen tilavuusalkioon ( $dV = dA \cdot ds$ ) saapuvaa säteilyä sekä tästä tilavuusalkiosta avaruuskulmaan  $d\omega$  emittoituvaa säteilyä, jonka taajuus on välissä ( $\nu, \nu + d\nu$ ).

Merkitään

$I_\nu$  = tilavuusalkioon saapuvan säteilyn intensiteetti

$I_\nu + dI_\nu$  = alkiosta emittoituvan säteilyn intensiteetti



$$\boxed{\text{tilavuusalkiosta poistuva energia}} = \boxed{\text{tilavuusalkioon saapuva energia}} - \boxed{\text{tilavuusalk. absorb. energ.}} + \boxed{\text{tilav. alkion emitt. energ.}}$$

$$(I_\nu + dI_\nu) dA d\omega d\nu dt = I_\nu dA d\omega d\nu dt - k_\nu s \cdot ds I_\nu dA d\omega d\nu dt + j_\nu s \cdot \underbrace{dV}_{dA ds} d\omega d\nu dt$$

$$\Rightarrow \frac{dI_\nu}{ds} = j_\nu s - k_\nu s I_\nu$$

$$\Rightarrow \frac{dI_\nu}{k_\nu s ds} = \frac{j_\nu}{k_\nu} - I_\nu$$

$$ds = \frac{dx}{\cos \theta}$$

$$d\tau_\nu = -k_\nu s dx \quad (d\tau \uparrow \downarrow dx)$$

merkitään :

$$\frac{j_\nu}{k_\nu} = S_\nu = \text{lähdefunktio} \\ (\text{source function})$$

$$\Rightarrow \cos \theta \frac{dI_\nu}{d\tau_\nu} = -S_\nu + I_\nu$$

$$\cos \theta \frac{dI_\nu(\tau_\nu, \theta, \nu)}{d\tau_\nu} = I_\nu(\tau_\nu, \theta, \nu) - S_\nu(\tau_\nu, \nu)$$

SÄTEILYNKULJETUS-YHTÄLÖ

### 2.2.3 Lähdefunktio $S_\nu$

Lähdefunktio muoto riippuu tarkastelupisteessä vallitsevista fysi-kaalisista olosuhteista. Seuraavassa erääitä tärkeitä rajatapauksia.

- a) Oletetaan puhdas absorptio ja paikallinen termodynäaminen tasapaino (LTE = local thermodynamic equilibrium, kts. luku 2.3.10)

Riippumatta saapuvasta säteilystä ja absorptiotavasta emittoituu säteily aina ympäristönsä vastaan vapaassa lämpötilassa Planckin funktion mukaisesti. Tällöin pätee Kirchhoffin laki:

$$S_\nu = \frac{j_\nu}{k_\nu} = B_\nu = \frac{2h\nu^3}{c^2} \frac{1}{e^{h\nu/kT} - 1}$$

$$S_\nu = B_\nu$$

PLANCKIN FUNKTIO

- b) Oletetaan pelkkä sironta tai monokromaattinen säteilytasapaino

Koherentissa sironnassa emittoituu jokainen kvantti välittömästi samalla taajuudella, jolla se absorboituu. Sironta riippuu siten saapuvasta säteilystä.

Lähdefunktio on tällöin = saapuvan säteilyn keskimääräinen intensiteetti (keskiarvo otettu yli kaikkien suuntien)

Isotrooppisessa sironnassa:  $S_\nu = \frac{\int I_\nu d\omega}{\int d\omega}$ , missä  $I_\nu$  = saapuvan säteilyn intensiteetti

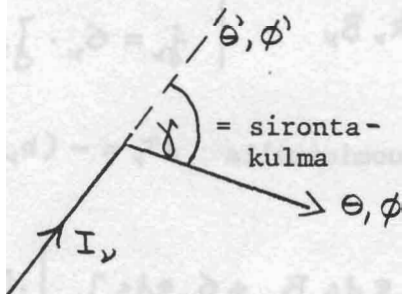
$$S_\nu = \frac{1}{4\pi} \int I_\nu d\omega$$

$$S_\nu = J_\nu$$

keskimääräinen monokromaattinan intensiteetti

Anisotrooppisessa sironnassa:

$$S_\nu = \frac{1}{4\pi} \int p(\cos\chi) \cdot I_\nu d\omega$$



missä vaihefunktio  $p(\cos\chi)$  on todennäköisyys, jolla säteily emittoituu suuntaan  $\chi$ .

$$\text{Normeeraus: } \frac{1}{4\pi} \int p(\cos\chi) d\omega = 1$$

Esim.

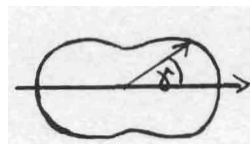
$$\text{Isotrooppisessa sironnassa } p(\cos\chi) = 1$$

$$\text{Rayleigh-sironnassa } p(\cos\chi) = \frac{3}{4}(1 + \cos^2\chi)$$

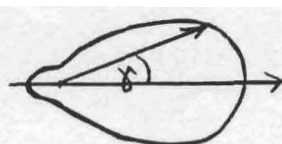
HUOM. 1 Kun tämä lähdefunktio sijoitetaan säteilynkuljetusyhtälöön, saadaan integraali-differentiaaliyhtälö (ns. Milnen integraaliyhtälö)

HUOM. 2 Kun atmosfääriissä tapahtuu yksinomaan sirontaa käytetään absorptiokerroimen  $k_\nu$ , asemasta sirontakerrointa  $\sigma_\nu$ , jolloin  $d\tau_\nu = -\sigma_\nu \cdot g \cdot dx$ . Elektronisironnassa  $\sigma_\nu = \sigma$ .

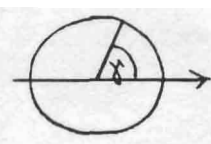
HUOM. 3 Sironta tärkeä planeettojen atmosfääreissä sekä tähtien välisessä pölyssä. Tähtien atmosfääreissä on sironta elektroneista huomioitava vain kuumimmissa tähdissä sekä tietyissä ylijäättiläisissä.



Rayleighin sironta  
( $\text{koko} \ll \lambda$ )



Mien sironta  
( $\text{koko} \approx \lambda$ )



isotrooppinen  
sironta :  $p(\cos\chi) = 1$

KUVA : Vaihefunktion  $p(\cos\chi)$  muoto erityyppisissä sironnoissa.

c) Oletetaan, että atmosfäärisä tapahtuu sekä absorptiota että sirontaa

Tällöin

$$dI_{\nu} = - \underbrace{(k_{\nu} + \epsilon_{\nu}) s ds}_{\text{ekstinktio-kerroin}} I_{\nu} + \underbrace{j_{\nu} s ds}_{\text{terminen emissio + sironnasta aiheutuva emissio}}$$

$$\frac{d\nu}{k_{\nu}} = B_{\nu}$$

$$j_{\nu} = k_{\nu} B_{\nu}$$

$$S_{\nu} = \frac{j_{\nu}}{\epsilon_{\nu}} = \frac{1}{4\pi} \int p(\cos\theta) \cdot I_{\nu} d\omega$$

$$\tilde{j}_{\nu} = \epsilon_{\nu} \cdot j_{\nu}$$

Olettamalla isotrooppinen sironta ja huomioimalla  $dT_{\nu} = - (k_{\nu} + \epsilon_{\nu}) s dx$  saadaan

$$dI_{\nu} = - (k_{\nu} + \epsilon_{\nu}) s ds I_{\nu} + k_{\nu} s ds B_{\nu} + \epsilon_{\nu} s ds \tilde{j}_{\nu} \quad \left| : \begin{matrix} \left[ -(k_{\nu} + \epsilon_{\nu}) s ds \right] \\ \frac{dx}{\cos\theta} \end{matrix} \right.$$

$$\cos\theta \frac{dI_{\nu}}{dT_{\nu}} = I_{\nu} - \underbrace{\left( \frac{k_{\nu}}{k_{\nu} + \epsilon_{\nu}} \cdot B_{\nu} + \frac{\epsilon_{\nu}}{k_{\nu} + \epsilon_{\nu}} \cdot \tilde{j}_{\nu} \right)}_{S_{\nu}}$$

Merkitsemällä  $\tilde{\omega}_o = \frac{\epsilon_{\nu}}{k_{\nu} + \epsilon_{\nu}}$  = sirontakerroin / ekstinktiokerroin = 'single scattering albedo'

jolloin  $1 - \tilde{\omega}_o$  ilmoittaa todellisen absorption osuuden,

saadaan säteilyn kuljetusyhtälön lähdefunktion lausekkeksi :

$$S_\nu = \frac{k_\nu}{k_\nu + \sigma_\nu} B_\nu + \frac{\sigma_\nu}{k_\nu + \sigma_\nu} J_\nu$$

$$S_\nu = (1 - \tilde{\omega}_o) B_\nu + \tilde{\omega}_o J_\nu$$

#### 2.2.4 Säteilytasapaino

Mikäli energiankuljetus tähdessä tapahtuu yksinomaan säteilyn avulla (ts. konvektiota ei esiinny), vallitsee säteilytasapaino. Energiaperiaatteen mukaisesti on tähessä tällöin säteilyn kokonaistehon pysytävä vakiona, ts. säteilyn kokonaisintensiteetin nettomuutoksen on oltava = 0 tarkasteltavassa tilavuusalkiossa, jossa itsessään ei ole teta syntyvän ydinenergiaa. Säteilynkuljetusyhtälö ilmoittaa säteilyintensiteetin nettomuutoksen  $ds$ -pituisessa sylinterimäisessä tilavuusalkiossa:

$$dI_\nu = J_\nu S ds - k_\nu S ds I_\nu$$

Integroimalla yli kaikkien suuntien ja taajuuksien saadaan säteilyn kokonaisintensiteetin muutos  $dI_{tot}$ . Säteilytasapainossa on siis  $dI_{tot} = 0$

$$0 = ds \cdot S \int_0^\infty J_\nu \frac{d\omega}{4\pi} d\nu - ds \cdot S \int_0^\infty k_\nu I_\nu \frac{d\omega}{4\pi} d\nu \quad | : S ds$$

$$\Rightarrow \int_0^\infty k_\nu \frac{J_\nu}{k_\nu} d\nu = \int_0^\infty k_\nu J_\nu d\nu$$

$$\int_0^\infty k_\nu S_\nu d\nu = \int_0^\infty k_\nu J_\nu d\nu$$

Harmaassa atmosfääriissä :  $\int_0^\infty S_\nu d\nu = \int_0^\infty J_\nu d\nu \Leftrightarrow S = J$

( $k_\nu = k$ )

HUOM. 1 Kun säteilysuureesta jätetään alaindeksi  $\nu$  pois, tarkoittaa se, että ko. säteilysuure on integroitu yli kaikkien taa-juuksien.

HUOM. 2 Tiettyllä taajuudella  $\nu$  ei yleensä päde:  $ds \cdot j_{\nu} s = ds k_{\nu} s \int I_{\nu} \frac{d\omega}{4\pi}$   
Tällöin nimittäin ei olisi säteilygradienttia tilavuusalkion päiden välissä, ja mitään säteilyn kuljetusta ei tapahtuisi.

Säteilytasapainon seurauksena pysyy tasomaisessa atmosfärissä säteilyn kokonaisuon tiheys  $\tilde{\tau}$  vakiona. (Pallogeometrisissa tilanteissa  $L_r = 4\pi r^2$ .  $\tilde{\tau}$  = vakio, olettaen, että pallokuorressa ei ole säteilylähteitä).

$$\cos \theta \frac{dI_{\nu}}{dx} = j_{\nu} s - k_{\nu} s I_{\nu}$$

$$\left| \int_0^{\infty} \dots d\nu \right| d\tilde{\tau}_{\nu} = \cos \theta dI_{\nu}$$

$$\int_0^{\infty} \frac{d\tilde{\tau}_{\nu}}{dx} d\nu = s \underbrace{\int_0^{\infty} j_{\nu} d\nu}_{=0} - s \underbrace{\int_0^{\infty} k_{\nu} I_{\nu} d\nu}_{=0}$$

$$\Rightarrow \frac{d\tilde{\tau}}{dx} = 0 \quad \text{säteilytasapainossa}$$

$$\Rightarrow \boxed{\tilde{\tau}} = \text{vakio} \Leftrightarrow \boxed{\tilde{\tau}_{\text{out}} - \tilde{\tau}_{\text{in}}} = \text{vakio}$$

HUOM. Kun  $\tilde{\tau}$  = vakio, niin säteilykenttä käy sitä isotrooppisemmaksi, mitä syvemmälle tähden atmosfääriin mennään.

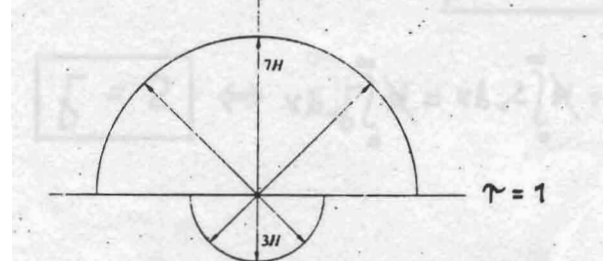
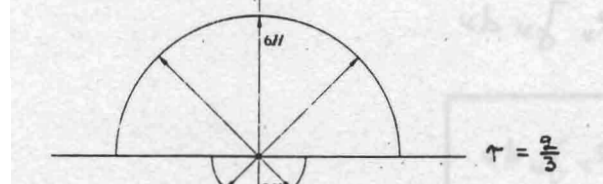
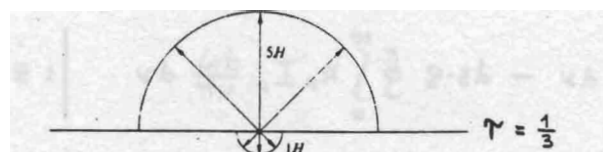
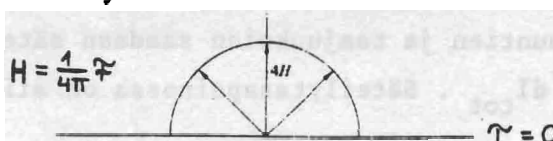


Fig. The intensities  $I_1$  and  $I_2$  increase with depth while maintaining a constant difference  $4H$ .

### 2.2.5 Säteilynkuljetusyhtälön määräämä intensiteettilauseke

#### a) Säteilynkuljetusyhtälön intensiteettilauseke

Säteilynkuljetusyhtälö kirjoitetaan yleensä differentiaaliyhtälön muotoon, mutta se voidaan esittää myös integraalina.

$$\begin{aligned} \cos \theta \frac{dI_\nu}{d\tau_\nu} &= I_\nu - S_\nu && \text{Merkitään } y_\delta = \frac{\tau_\nu}{\cos \theta} \\ \frac{dI_\nu}{dy_\delta} - I_\nu &= -S_\nu && \cdot e^{-y_\delta} \\ \underbrace{\frac{e^{-y_\delta} dI_\nu}{dy_\delta}}_{\frac{d(I_\nu e^{-y_\delta})}{dy_\delta}} - I_\nu e^{-y_\delta} &= -S_\nu e^{-y_\delta} \\ \Rightarrow I_\nu e^{-\frac{\tau_\nu}{\cos \theta}} &= - \int_{\infty}^{\tau_\nu} S_\nu e^{-\frac{\tau'_\nu}{\cos \theta}} \frac{d\tau'_\nu}{\cos \theta} && : e^{-\frac{\tau_\nu}{\cos \theta}} \\ \Rightarrow I_\nu(\tau_\nu, \theta) &= \int_{\tau_\nu}^{\infty} S_\nu(\tau'_\nu) \cdot e^{-\frac{\tau'_\nu - \tau_\nu}{\cos \theta}} \cdot \frac{d\tau'_\nu}{\cos \theta} && \frac{1}{\cos \theta} = \sec \theta \\ \Rightarrow I_\nu(\tau_\nu, \theta) &= \int_{\tau_\nu}^{\infty} S_\nu(\tau'_\nu) \cdot e^{-(\tau'_\nu - \tau_\nu)\sec \theta} \sec \theta d\tau'_\nu \end{aligned}$$

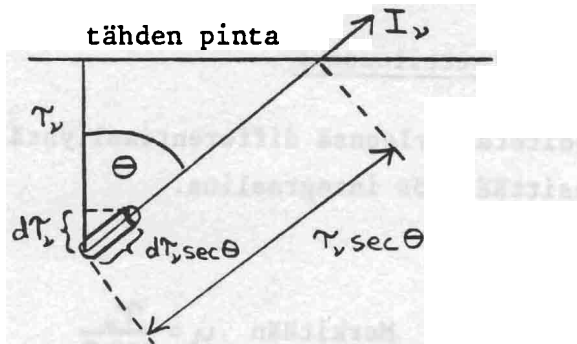
SÄTEILYNKULJETUSYHTÄLÖN INTENSITEETTILAUSEKE

Tarkasteltaessa tilannetta tähden pinnalla, jossa  $\tau_\nu = 0$ , saadaan säteilyintensiteetin lausekkeeksi :

$$I_\nu(0, \theta) = \int_0^{\infty} S_\nu(\tau'_\nu) e^{-\tau'_\nu \sec \theta} \sec \theta d\tau'_\nu$$

INTENSITEETTI TÄHDEN PINNALLA

Äskeinen yhtälö voidaan 'johtaa' myös suoraan oheisen kuvan avulla



Optisessa syvyydessä  $\tau_v$  olevan  $d\tau_v$  paksuisen tilavuusalkion emissio on

$$S_v(\tau_v) \cdot d\tau_v \sec \theta$$

optinen matka-alkio suunnassa  $\theta$

Tämä emissio heikentyy tekijällä  $e^{-\tau_v \sec \theta}$  säteilyn kulkiessa kohti tähden pintaa. Integrointi yli koko kuljetun matkan antaa edellä esitetyn yhtälön  $I_v(0, \theta)$

#### Erikoistapauksia :

- 1) Näkösäde  $\perp$  kohteenv pinta ( $\theta = 0$ )

$$\Rightarrow I_v(0, 0) = \int_0^\infty S_v(\tau'_v) e^{-\tau'_v} d\tau'_v$$

- 2) Lähdefunktio  $S_v$  ei riipu optisesta syvyydestä  $\tau_v$

$$\Rightarrow I_v(0, 0) = S_v \int_0^\infty e^{-\tau'_v} d\tau'_v$$

$$I_v(0, 0) = S_v (1 - e^{-\tau_v})$$

Kun  $\tau_v \gg 1$  :  $I_v(0, 0) \approx S_v$

Kun  $\tau_v \ll 1$  :  $I_v(0, 0) \approx S_v [1 - (1 - \tau_v + \dots)]$

$$I_v(0, 0) \approx S_v \cdot \tau_v$$

HUOM. Kun  $\tau_v \rightarrow 0$ , niin myös  $I_v \rightarrow 0$

Tätten esimerkiksi koronan korkea lämpötila

ei juuri lainkaan lisää säteilyn intensiteettiä.

Edellisellä sivulla esitetyn säteilykuljetusyhtälön intensiteettilausekkeen avulla voidaan selvittää lähdefunktion riippuvuus optisesta syvyydestä sekä kytkeä se havaitun  $I_v(0, \theta)$  intensiteetin  $\theta$ -riippuvuuteen (kts. luku 2.2.6.b : Aurinkon reunatumppumisilmö) sekä emissio- ja absorptiokertoimien väliseen yhteyteen.

b) Suureitten  $\tau_\nu$  ja  $\gamma_\nu$  yhteys säteilynkuljetusyhtälöön

Säteilynkuljetusyhtälön mukaisesti on intensiteetti tähden pinnalla

$$I_\nu(0, \theta) = \int_0^\infty S_\nu(\tau_\nu') e^{-\tau_\nu' \sec \theta} \sec \theta d\tau_\nu'$$

Kun tämä sijoitetaan pinnasta ulos tulevan säteilyvuon tiheyden lausekkeeseen, saadaan

$$\tilde{F}_{\nu, \text{out}}(0) = \int_{\omega} I_\nu(0, \theta) \cos \theta d\omega = \int_0^{\pi/2} \int_0^{2\pi} \int_0^\infty S_\nu(\tau_\nu') e^{-\frac{\tau_\nu'}{\cos \theta}} \cdot \frac{1}{\cos \theta} \cdot \cos \theta \cdot \sin \theta d\theta d\phi d\tau_\nu'$$

huom. avaruuskulma integroidaan yli puolipallon ( $0 \leq \theta \leq \frac{\pi}{2}$ )

$$\tilde{F}_{\nu, \text{out}}(0) = 2\pi \int_0^\infty S_\nu(\tau_\nu') d\tau_\nu' \int_0^{\pi/2} e^{-\frac{\tau_\nu'}{\cos \theta}} \sin \theta d\theta$$

Merkitään

$$y = \frac{1}{\cos \theta}$$

$$\Rightarrow dy = \frac{\sin \theta}{\cos^2 \theta} d\theta$$

$$\Rightarrow \sin \theta d\theta = \frac{dy}{y^2}$$

vrt. integraali-eksponenttifunktioon:

$$E_n(x) = \int_1^\infty \frac{e^{-xy}}{y^n} dy$$

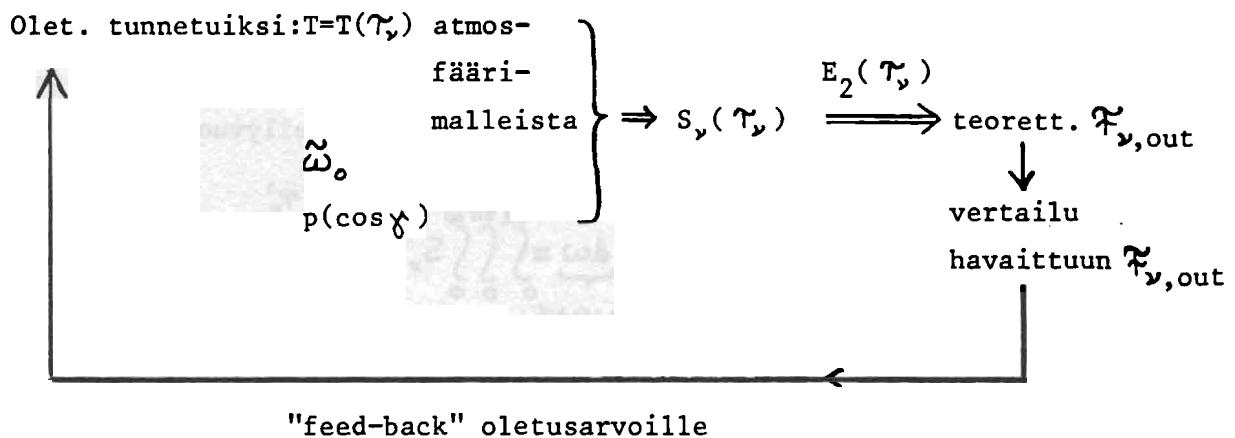
$$\tilde{F}_{\nu, \text{out}}(0) = 2\pi \int_0^\infty S_\nu(\tau_\nu') \cdot E_n(\tau_\nu') d\tau_\nu'$$

SÄTEILYNKULJETUSYHTÄLÖN

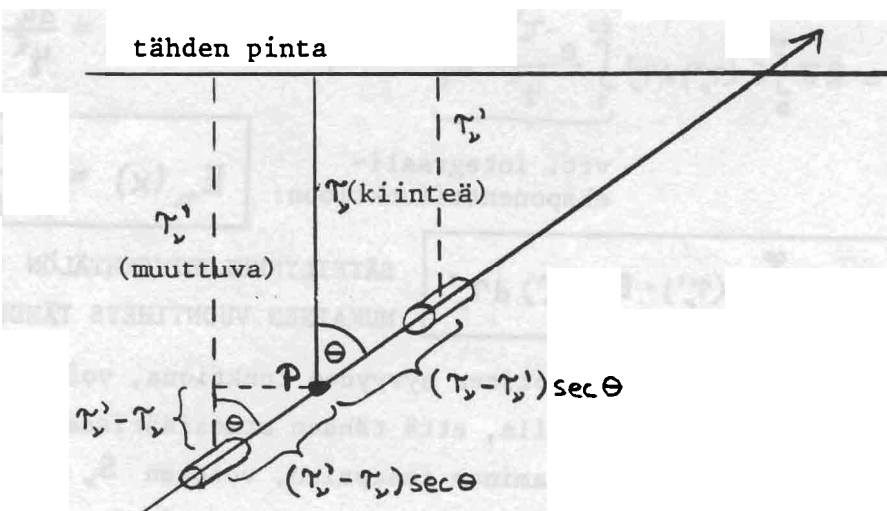
MUKAINEN VUONTIHEYS TÄHDEN PINNALLA

Kun lähdefunktio  $S_\nu$  tunnetaan optisen syvyyden funktiona, voidaan integrointi suorittaa. Olettamalla, että tähden atmosfääriissä vallitsee paikallinen termodynaminen tasapaino, voidaan  $S_\nu(\tau_\nu')$  korvata Planckin funktiolla  $B_\nu(T)$ . Jotta yo. integrointi voitaisiin suorittaa, on tällöin tunnettava  $T = T(\tau_\nu')$ . Mikäli myös sirontaprosessit on huomioitava, on lämpötilariippuvuuden  $T(\tau_\nu')$  lisäksi tunnettava sironta- ja ekstinktiokeroimien suhde  $\tilde{\omega}_\nu = \frac{\epsilon_\nu}{k_\nu + \epsilon_\nu}$ , sekä vaihefunktio  $p(\cos \gamma_\nu)$ .

Ratkaisutien idea esitetty seuraavassa kaaviokuvalla ja siihen palataan vielä luvussa 2.4 (tähtien atmosfäärimallien laskeminen).



Tohdetaan seuraavassa lauseke keskimääräiselle säteilyintensi-teetille tähden atmosfärissä optisella syvyydellä  $\tau_\nu$ .



Alemmista kerroksista ylöspäin eteneväin säteilyn intensiteetti tarkastelupisteessä P on :

$$I_\nu^+ (\tau_\nu, \theta) = \int_{\tau_\nu}^{\infty} S_\nu(\tau'_\nu) e^{-(\tau'_\nu - \tau_\nu) \sec \theta} \sec \theta d\tau'_\nu \quad (\text{huom. } \tau'_\nu > \tau_\nu)$$

Ylempistä kerroksista alaspäin etenevän säteilyn intensiteetti tarkastelupisteessä P on

$$I_{\nu}^{-}(\tau_{\nu}, \theta) = - \int_0^{\tau_{\nu}} S_{\nu}(\tau_{\nu}') e^{-(\tau_{\nu} - \tau_{\nu}') \sec \theta} \sec \theta d\tau' \quad (\text{huom. } \tau_{\nu}' < \tau_{\nu})$$

jotta saataisiin posit. lauseke ( $\cos \theta < 0$ )

Keskimääräinen intensiteetti :

$$\bar{J}_{\nu}(\tau_{\nu}) = \frac{1}{4\pi} \oint I_{\nu}(\theta, \tau_{\nu}) \frac{d\omega}{\sin \theta d\theta d\phi} = \frac{I_{\nu}^{+} + I_{\nu}^{-}}{2}$$

$$\bar{J}_{\nu}(\tau_{\nu}) = \frac{2\pi}{4\pi} \int_0^{\pi/2} I_{\nu}^{+} \sin \theta d\theta + \frac{2\pi}{4\pi} \int_{\pi/2}^{\pi} I_{\nu}^{-} \sin \theta d\theta$$

ylöspäin suuntautuva

alaspäin suuntautuva

säteily: integroitava

säteily: integroitava

ylemmän puolipallon yli

alemman puolipallon yli

Sijoittamalla tähän säteilynkuljetusyhtälön mukaiset lausekkeet

$I_{\nu}^{+}$  ja  $I_{\nu}^{-}$  saadaan

$$\bar{J}_{\nu}(\tau_{\nu}) = \frac{1}{2} \int_{\tau_{\nu}}^{\infty} S_{\nu}(\tau_{\nu}') d\tau' \int_0^{\pi/2} e^{-\frac{\tau_{\nu}' - \tau_{\nu}}{\cos \theta}} \frac{\sin \theta}{\cos \theta} d\theta - \frac{1}{2} \int_0^{\tau_{\nu}} S_{\nu}(\tau_{\nu}') d\tau' \int_{\pi/2}^{\pi} e^{-\frac{\tau_{\nu} - \tau_{\nu}'}{\cos \theta}} \frac{\sin \theta}{\cos \theta} d\theta$$

Merkitään 1. termissä  $y = \frac{1}{\cos \theta} \Rightarrow dy = -\frac{(-\sin \theta)}{\cos^2 \theta} d\theta \Rightarrow \sin \theta d\theta = -\frac{dy}{y^2}$

2. termissä  $y = -\frac{1}{\cos \theta} \Rightarrow dy = -\frac{\sin \theta}{\cos^2 \theta} d\theta \Rightarrow \sin \theta d\theta = -\frac{dy}{y^2}$

integraaliexponentifkt:n argumentin  
oltava positiivinen

$$\bar{J}_{\nu}(\tau_{\nu}) = \frac{1}{2} \int_{\tau_{\nu}}^{\infty} S_{\nu}(\tau_{\nu}') d\tau' \underbrace{\int_1^{\infty} \frac{e^{-(\tau_{\nu}' - \tau_{\nu})y}}{y^2} dy}_{E_1(\tau_{\nu}' - \tau_{\nu})} - \frac{1}{2} \int_0^{\tau_{\nu}} S_{\nu}(\tau_{\nu}') d\tau' \int_{\infty}^1 \frac{e^{-(\tau_{\nu} - \tau_{\nu}')(-y)}}{y^2} (-dy)$$

Jotta viimeinen integraali olisi integraaliekspotentifunktio  $E_1$  muotoinen, on integroimisrajat vahdettava keskenään

$$\tilde{J}_v(\tau_v) = \frac{1}{2} \int_{\tau_v}^{\infty} S_v(\tau'_v) d\tau'_v \int_1^{\infty} \frac{e^{-(\tau'_v - \tau_v)y}}{y} dy + \frac{1}{2} \int_0^{\tau_v} S_v(\tau'_v) d\tau'_v \int_1^{\infty} \frac{e^{-(\tau'_v - \tau_v)y}}{y} dy$$

$$\boxed{\tilde{J}_v(\tau_v) = \frac{1}{2} \int_0^{\infty} S_v(\tau'_v) \cdot E_1(\tau'_v - \tau_v) d\tau'_v}$$

SÄTEILYNKULJETUSYHTÄLÖN  
MUKAINEN KESKIM. INTENSITEETTI

Integrointia varten on jälleen tunnettava lähdefunktio  $S(\tau')$ .

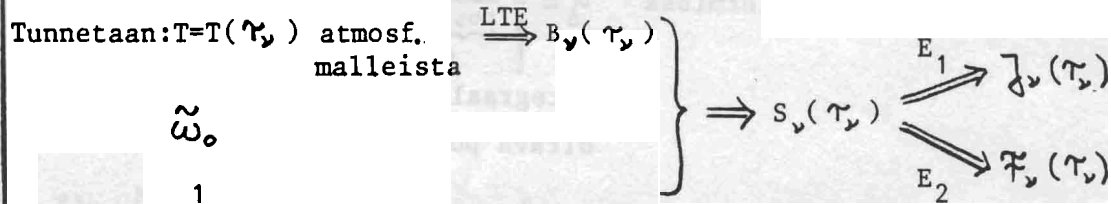
Kun termodynamiassa tasapainossa olevassa atmosfääriissä säteily sekä absorboituu että sirottuu, on lähdefunktio

$$S_v(\tau'_v) = \frac{k_v}{k_v + \epsilon_v} B_v(\tau'_v) + \frac{\epsilon_v}{k_v + \epsilon_v} \tilde{J}_v(\tau'_v)$$

$$= (1 - \tilde{\omega}_o) B_v(\tau'_v) + \tilde{\omega}_o \tilde{J}_v(\tau'_v)$$

$$\underline{S_v(\tau'_v)} = (1 - \tilde{\omega}_o) B_v(\tau'_v) + \frac{\tilde{\omega}_o}{2} \int_0^{\infty} S_v(\tau'_v) \cdot E_1(\tau'_v - \tau_v) d\tau'_v$$

Tämä integraaliyhälö voidaan ratkaista, kun  $\tilde{\omega}_o$ ,  $E_1$  ja  $B_v(\tau'_v)$  (eli  $T = T(\tau'_v)$ ) tunnetaan.



HARJ.TEHT. Osoita, että tähden atmosfääriissä (optinen syvyys  $\tau_v$ ) säteilyvuon tiheys on

$$\tilde{\chi}_v(\tau_v) = 2\pi \int_{\tau_v}^{\infty} S_v(\tau'_v) \cdot E_2(\tau'_v - \tau_v) d\tau'_v - 2\pi \int_0^{\tau_v} S_v(\tau'_v) \cdot E_2(\tau_v - \tau'_v) d\tau'_v$$

## 2.2.6 Säteilynkuljetusyhtälön approksimatiivisista ratkaisumenetelmistä

### a) Eddington-Barbierin menetelmä

Säteilynkuljetusyhtälön määräämä intensiteetti tähdellä pinnalla ( $\gamma_\nu = 0$ ) on

$$I_\nu(0, \theta) = \int_0^\infty S_\nu(\gamma') e^{-\frac{\gamma'}{\cos \theta}} \cdot \frac{1}{\cos \theta} d\gamma'$$

Integrointi voidaan suorittaa, kun lähdefunktio  $S_\nu(\gamma')$  tunnetaan.

Nykyään lähdefunktio johdetaan nemeerisin menetelmin. Aikaisemmin se esitettiin analyyttisten funktioitten sarjakehitelmänä. Esimerkkinä Eddington-Barbierin menetelmä, jossa  $S_\nu(\gamma')$  kehitetään Taylorin sarjaksi tietyn optisen syvyyden  $\gamma_\nu^*$  ympäristössä :

$$S_\nu(\gamma') = S_\nu(\gamma_\nu^*) + (\gamma' - \gamma_\nu^*) \frac{dS_\nu}{d\gamma'}(\gamma_\nu^*) + \frac{\gamma' - \gamma_\nu^*}{2} \cdot \frac{d^2S_\nu}{d\gamma'^2}(\gamma_\nu^*) + \dots$$

Sijoittamalla tämä säteilynkuljetusyhtälöön sekä integroimalla termeittäin saadaan

$$I_\nu(0, \theta) = S_\nu(\gamma_\nu^*) + (\cos \theta - \gamma_\nu^*) \frac{dS_\nu}{d\gamma'}(\gamma_\nu^*) + \frac{\cos^2 \theta + (\cos \theta - \gamma_\nu^*)}{2} \frac{d^2S_\nu}{d\gamma'^2}(\gamma_\nu^*) + \dots$$

Kun  $\gamma_\nu^* = \cos \theta \Rightarrow \begin{cases} 2. \text{ termi} = 0 \\ 3. \text{ termi minimissään} \end{cases}$

Näin ollen arvolla  $\gamma_\nu^* = \cos \theta$  saadaan hyvä likiarvo säteilyintensiiteille tähdellä pinnalla:

$$I_\nu(0, \theta) \approx S_\nu(\gamma_\nu = \cos \theta)$$

Tämä on yksinkertaisin yhteys, joka selittää Aurinkon reunantummuusilmiön (Aurinkon kiekon keskipisteessä  $\theta = 0^\circ \Rightarrow \cos \theta = 1$  ja reunalla  $\theta = 90^\circ \Rightarrow \cos \theta = 0$ ) sekä lähdefunktion riippuvuuden atmosfäärin syvyydestä.

Tähden pinnalla on säteilyvuo yksikköpinnan läpi

$$\tilde{F}_\nu(0) = 2\pi \int_0^\infty S_\nu(\tau_\nu') \cdot E_\nu(\tau_\nu') d\tau_\nu'$$

Esittämällä  $S_\nu(\tau_\nu)$  Taylorin sarjakehitelmänä sekä integroimalla termeittäin saadaan

$$\tilde{F}_\nu(0) = \pi \left[ S_\nu(\tau_\nu^*) + \left(\frac{2}{3} - \tau_\nu^*\right) \frac{dS_\nu}{d\tau_\nu}(\tau_\nu^*) + \dots \right]$$

Hyvä likiarvo tälle lausekkeelle saadaan arvolla  $\tau_\nu^* = 2/3$

$$\tilde{F}_\nu(0) \approx \pi S_\nu(\tau_\nu = \frac{2}{3})$$

Ts. tähden pinnalla vallitsevan säteilyvuon tiheyden avulla voidaan arvioida lähdefunktion suuruus optisella syvyydellä  $\tau = 2/3$ .

Yhdistämällä molemmat tulokset saadaan

$$\left. \begin{array}{l} I_\nu(0, \theta) = S_\nu(\tau_\nu = \cos \theta) \\ \tilde{F}_\nu(0) = \pi S_\nu(\tau_\nu = \frac{2}{3}) \end{array} \right\} \Rightarrow \boxed{\tilde{F}_\nu(0) = \pi I_\nu(0, \cos \theta = \frac{2}{3})}$$

HUOM. 1 Eddington-Barbierin relaatiot pätevät tarkasti, kun lähefunktio on lineaarinen ( $S_\nu = a + b\tau_\nu$ ) ja pysyy vakiona fotonien vapaan matkan aikana.

HUOM. 2 Eddington-Barbierin relaatiot pätevät likimääräisesti (virhe < 10%) lähdefunktioille, joiden muoto on

$$S_\nu(\tau_\nu) = a + b\tau_\nu + L e^{-\beta\tau_\nu}$$

missä  $a, b, \beta$  ja  $L$  ovat vakioita.

Tämäntyyppinen lähdefunktio vastaa tilannetta reaalisessa tähtiatmosfärissä.

b) Eddingtonin approksimaation antama likimääräinen ratkaisu harmaalle atmosfääritteille

Eddingtonin approksimaatiolla saadaan moniin tähtitieteen säteilyn-kuljetusprobleemoihin käyttökelpoinen likimääräinen ratkaisu.

Eddington määritteli seuraavat säteilyintensiteetin  $\cos\Theta$ -momentit:

$$\bar{J} = \frac{1}{4\pi} \oint I d\omega \quad (\text{keskimääräinen kokonaisintensiteetti})$$

$$H = \frac{1}{4\pi} \oint I \cos\Theta d\omega \quad (H = \frac{1}{4\pi} \oint P, \text{ missä } P = \text{yksikkö-pinnan läpi kulkeva nettovuo ulospäin})$$

$$K = \frac{1}{4\pi} \oint I \cos^2\Theta d\omega \quad (K = \frac{C}{4\pi} P_R, \text{ missä } P_R = \text{säteilypaine})$$

Isotrooppisessa säteilykentässä  $I = I_0$  (ts. suunnasta riippumaton),  
joten

$$\left. \begin{aligned} \bar{J} &= \frac{1}{4\pi} \int_0^{\pi} \int_0^{2\pi} I_0 \sin\theta d\theta d\phi = \frac{I_0}{2} \int_0^{\pi} \sin\theta d\theta = I_0 \\ K &= \frac{1}{4\pi} \int_0^{\pi} \int_0^{2\pi} I_0 \cos^2\Theta \sin\theta d\theta d\phi = \frac{I_0}{2} \underbrace{\int_0^{\pi} \cos^2\Theta \sin\theta d\Theta}_{\frac{4\pi}{3}} = \frac{I_0}{3} \end{aligned} \right\} \Rightarrow K = \frac{1}{3} \bar{J}$$

Tämä relaatio ei päde ainoastaan tähden syvemmissä atmosfäärikentrokissa (jossa varsinaisen isotrooppisen säteilykenttä), vaan monessa muussakin tilanteessa kuten esimerkiksi

- jos  $\begin{cases} I(\theta) = I_0, & \text{kun } 0 \leq \theta \leq \frac{\pi}{2} \\ I(\theta) = 0, & \text{kun } \frac{\pi}{2} \leq \theta \leq \pi \end{cases}$  tyyppillinen reunaehto pinnalla

- jos  $\begin{cases} I(\theta) = I^+, & \text{kun } 0 \leq \theta \leq \frac{\pi}{2} \\ I(\theta) = I^-, & \text{kun } \frac{\pi}{2} \leq \theta \leq \pi \end{cases}$

$\frac{\uparrow}{I^+}$  ulostuleva säteily  
 $\frac{\downarrow}{I^-}$  sisään menevä säteily

Näitten huomioitten perusteella Eddington teki seuraavan yksinkertaistavan approksimaation:

Kaikkialla atmosfärissä pätee:  $K = \frac{1}{3} J$

EDDINGTONIN  
APPROKSIMAATIO

Seuraavassa näytetään, että Eddingtonin approksimaatio mahdollistaa pienien anisotrooppisuuden säteilykentässä.

Olet.  $I(\gamma, \theta) = \underbrace{I_0(\gamma)}_{\text{isotrooppinen osa}} + \underbrace{I_1 \cos \theta}_{\text{epäisotrooppinen osa}}$

isotrooppinen  
osa                    epäisotrooppinen  
                            osa

Tällöin  $J = \frac{1}{4\pi} \oint I d\omega = \frac{1}{2} \left[ \int_0^\pi I_0 \sin \theta d\theta + \int_0^\pi I_1 \cos \theta \sin \theta d\theta \right] = I_0$

$$H = \frac{1}{4\pi} \oint I \cos \theta d\omega = \frac{1}{2} \left[ \underbrace{\int_0^\pi I_0 \cos \theta \sin \theta d\theta}_{=0} + \underbrace{\int_0^\pi I_1 \cos^2 \theta \sin \theta d\theta}_{=\frac{2}{3} I_1} \right] = \frac{I}{3}$$

säteilytasapainossa  $\mathcal{F} = \text{vakio}$

$$\Rightarrow \underline{\underline{I_1}} = 3H = \frac{3}{4\pi} \mathcal{F} = \text{vakio säteilytasapainossa}$$

$$K = \frac{1}{4\pi} \oint I \cos^2 \theta d\omega = \frac{1}{2} \left[ \int_0^\pi I_0 \cos^2 \theta \sin \theta d\theta + \int_0^\pi I_1 \cos^3 \theta d\theta \right] = \frac{I_0}{3} \quad \begin{matrix} \leftarrow \\ \text{sij.} \end{matrix}$$

$$\Rightarrow K = \frac{1}{3} J \quad \text{myös, kun } I(\gamma, \theta) = I_0(\gamma) + I_1 \cos \theta$$

Ratkoessaan säteilynkuljetusyhtälöä teki Eddington seuraavat fysi-kaaliset oletukset :

- lähes isotrooppinen säteilykenttä ( $\Leftrightarrow$  Eddingtonin approksimaatio voimassa )
  - säteilytasapaino ( $\Rightarrow \int k_v S_v dv = \int k_v J_v dv$ )
  - ns. harmaa atmosfääri eli absorptiokerroin ja optinen syvyys eivät riipu taajuudesta ( $k_v = k$  ja  $\tau_v = \tau$ ). Tämä oletus yksinkertaistaa yhtälön matemaattista käsitteilyä ratkaisevasti .
- $$\Rightarrow k \int S_v dv = k \int J_v dv \Leftrightarrow S = J$$

Sijoittamalla ratkaisuyrite  $I(\tau, \theta) = I_o(\tau) + I_1 \cos \theta$  taajuuden yli integroituun säteilynkuljetusyhtälöön saadaan

$$\cos \theta \frac{dI(\tau, \theta)}{d\tau} = I(\tau, \theta) - J(\tau) \quad \left| \text{sij. } I = I_o(\tau) + I_1 \cos \theta \right.$$

$$\begin{aligned} \cos \theta \underbrace{\frac{dI_o(\tau)}{d\tau} + \cos^2 \theta \frac{dI_1}{d\tau}}_{=0} &= I_o + I_1 \cos \theta - \left[ I_o \underbrace{\int \frac{d\omega}{4\pi}}_{=1} + I_1 \underbrace{\int \cos \theta \frac{d\omega}{4\pi}}_{=0} \right] \\ &= 0, \text{ koska } I_1 = \frac{3\pi}{4\pi} = \text{vakio säteilytasapainossa} \end{aligned} \quad \left| : \cos \theta \right. \quad (\text{kts. edellinen sivu})$$

$$\Rightarrow \frac{dI_o(\tau)}{d\tau} = I_1 = \frac{3\pi}{4\pi}$$

$$\Rightarrow I_o(\tau) = \frac{3\pi}{4\pi} \tau + C$$

Integroimisvakio C saadaan reunaehdosta :

$$\begin{aligned} \text{Tähden pinnalla } &\left\{ \begin{array}{l} \tilde{J}_{in} = \tilde{J}^- = 0 \text{ ja } \tilde{J} = \pi(I^+ - I^-) \\ \tilde{J}(0) = \frac{I^+ + I^-}{2} = \frac{I^+}{2} = 0 \end{array} \right. \\ &\Rightarrow C = I_o(0) = \tilde{J}(0) = \frac{\pi}{2\pi} \end{aligned}$$

$$\Rightarrow I_o(\tau) = \frac{3\pi}{4\pi} \tau + \frac{\pi}{2\pi}$$

Sijoittamalla  $I_o(\tau)$  sekä  $I_1$  ratkaisuun  $I = I_o + I_1 \cos \theta$  saadaan

$$I(\tau, \theta) = \frac{3\pi}{4\pi} \cdot \tau + \frac{\pi}{2\pi} + \frac{3\pi}{4\pi} \cos \theta$$

$$I(\tau, \theta) = \frac{\pi}{2\pi} \left( 1 + \frac{3}{2} \tau + \frac{3}{2} \cos \theta \right)$$

SÄTEILYNKULJETUSYHTÄLÖN  
RATKAISU EDDINGTONIN  
2. APPROKSIMAATIOSSA

Eddingtonin 1. approksimaatiossa tarkastellaan täysin isotrooppista säteilykenttää (kts. Eddingtonin alkuperäistä ratkaisun johtoa Novotnyn kirjassa luvussa 4.2).

Saadusta ratkaisusta voidaan tehdä seuraavat päätelmät:

1) Kun  $\gamma \gg 1$  dominoi isotrooppinen osa  $I(\gamma) = \frac{\pi}{2\pi} \left(1 + \frac{3}{2}\gamma\right)$

Kun  $\gamma \ll 1$  voimistuu anisotrooppinen osa  $I(\theta) = \frac{3\pi}{4\pi} \cos\theta$

2) Kun  $\gamma = 0$ , on intensiteetti tähden pinnalla  $I(0, \theta) = \frac{\pi}{2\pi} \left(1 + \frac{3}{2} \cos\theta\right)$

Jos lisäksi  $\cos\theta = \frac{1}{3}$   $\Rightarrow I(0, \cos\theta = \frac{1}{3}) = \frac{\pi}{\pi}$

$$\Leftrightarrow F(0) = \pi \cdot I(0, \cos\theta = \frac{1}{3})$$

Saatiin siis sama relaatio kuin Eddington-Barbier-menetelmässä.

Verrataessa keskenään

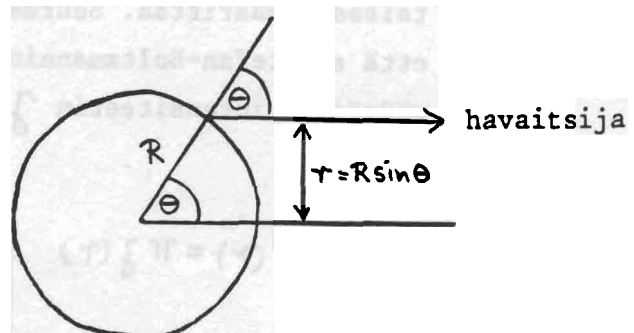
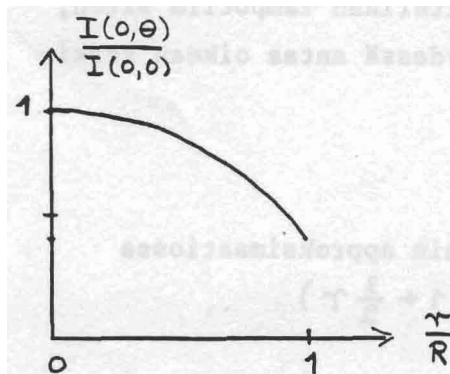
$$\left. \begin{aligned} I(0, \theta) &= \frac{\pi}{2\pi} \left(1 + \frac{3}{2} \cos\theta\right) \\ J(\gamma) &= I_0(\gamma) = \frac{\pi}{2\pi} \left(1 + \frac{3}{2}\gamma\right) \end{aligned} \right\} \Rightarrow I(0, \theta) = J(\cos\theta) \quad \gamma_\theta = \cos\theta$$

Havaittaessa Aurinkon kiekon keskikohtaa "nähdään" optiselle syvyydelle  $\gamma = \cos 0^\circ = 1$ . Siirryttääessä kiekon reunoihin pään pienenee havaittu intensiteetti sekä lähdefunktion optinen syvyys  $\cos\theta$ -riippuvuuden mukaisesti.

### 3) Auringon reunantummuminen

$$\frac{I(0,\theta)}{I(0,0)} = \frac{1 + \frac{3}{2} \cos \theta}{1 + \frac{3}{2}} = \frac{\frac{5}{2}}{5} (1 + \frac{3}{2} \cos \theta)$$

Esim.  $\frac{I(0, 90^\circ)}{I(0,0)} = \frac{\frac{5}{2}}{5} = 0.40$



Eddingtonin approksimaatiolla saadaan hyvä yhteensovivuus havaintojen kanssa laajalla aallonpituualueella, joten Eddingtonin tekemät fysiikaaliset oletukset pätevät melko hyvin Auringon atmosfärissä.

Pimennysmuuttujien valokäyristä on havaittu reunantummumisilmiötä myös muissa tähdissä.

TABLE  
LIMB DARKENING IN THE SUN

$\cos \theta$	Eddington Approximation	Exact Solution (Chandrasekhar)	Münch (Blanketing Effect)	Observed Intensity
1.00	1.000	1.000	1.000	1.000
0.90	0.940	0.939	0.946	0.944
0.80	0.880	0.878	0.892	0.898
0.70	0.820	0.810	0.838	0.842
0.60	0.760	0.755	0.781	0.788
0.50	0.700	0.692	0.725	0.730
0.40	0.640	0.629	0.666	0.670
0.30	0.580	0.565	0.615	0.602
0.20	0.520	0.499	0.541	0.522
0.10	0.460	0.429	0.467	0.450
0.00	0.400	0.344	0.363	

4) Lämpötilan riippuvuus optisesta syvyydestä

$$\text{Isotrooppisessa säteilykentässä } \int = \frac{1}{4\pi} \oint I d\omega = I \quad \left. \right\} \Rightarrow \pi \int = \sigma T^4$$

LTE:n vallitessa on tähden pinnalla  $\bar{\tau} = \bar{\tau}^+ = \pi I = \sigma T^4$

Anisotrooppisessa säteilykentässä ei lämpötilaa voida yksikäsittäisesti määrittää. Seuraavassa määritellään lämpötila siten, että se Stefan-Boltzmannin lain yhteydessä antaa oikean keskimäääräisen intensiteetin  $\int$ .

$$\sigma T^4(\gamma) = \pi \int(\gamma) \quad \left| \begin{array}{l} \text{Eddingtonin approksimaatiossa} \\ \int = \frac{\bar{\tau}}{2\pi} \left(1 + \frac{3}{2}\gamma\right) \end{array} \right.$$

$$\sigma T^4(\gamma) = \frac{\bar{\tau}}{2} \left(1 + \frac{3}{2}\gamma\right)$$

$$\Rightarrow \sigma T^4(0) = \frac{\bar{\tau}}{2}$$

Toisaalta:

$$\sigma T_{\text{eff}}^4 = \bar{\tau} \quad \left. \right\} \Rightarrow \sigma T^4(0) = \frac{\sigma T_{\text{eff}}^4}{2}$$

$$T_{\text{eff}} = \sqrt[4]{2} \cdot T(0)$$

$$T_{\text{eff}} \approx 1.19 \cdot T(0)$$

Vertaamalla tätä Chandrasekharin tarkan mallin antamaan efektiviseen lämpötilaan  $T_{\text{eff}} = \left[ \frac{4}{(3)^{1/3}} \right]^{1/4} = 1.233 \cdot T(0)$  havaitaan, että Eddingtonin approksimaatio antaa melko tarkkoja tuloksia Aurinkon atmosfääriissä.

Todettakoon vielä eräs mielenkiintoinen yhteyts:

$$\sigma T^4(\gamma) = \frac{\bar{\tau}}{2} \left(1 + \frac{3}{2}\gamma\right)$$

$$\bar{\tau} = \sigma T_{\text{eff}}^4 \quad \left. \right\} \Rightarrow T^4(\gamma) = \frac{T_{\text{eff}}^4}{2} \left(1 + \frac{3}{2}\gamma\right)$$

Kun  $\gamma = 2/3$ , niin

$$T(\gamma = \frac{2}{3}) = T_{\text{eff}}$$

eli sama kuin Eddington-Barbierin relaatio:  $S_v(\gamma = \frac{1}{3}) = \bar{\tau}(0)$   
 Tämän perusteella kutsutaan arvoa  $\gamma = 2/3$  efektiiviseksi optiseksi syvyydeksi.

c) Schuster-Schwarzschildin menetelmä (two-stream menetelmä)

Fysikaaliset oletukset:

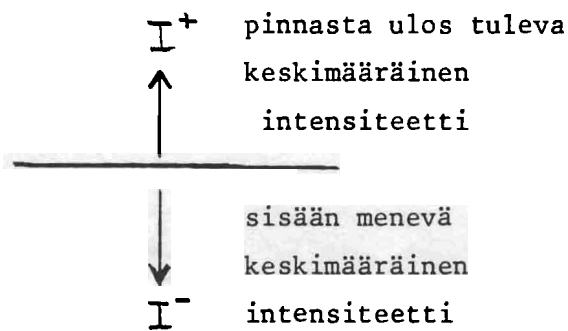
- säteilytasapaino }  $\Rightarrow S = \gamma$  sekä  $\varphi = \text{vakio}$ )
- harmaa atmosfääri }

Integroimalla säteilynkuljetusyhtälö yli kaikkien taajuuksien saadaan

$$\cos \theta \frac{dI(\gamma, \theta)}{d\gamma} = I(\gamma, \theta) - \underbrace{\gamma(\gamma)}_{\frac{1}{4\pi} \oint I(\gamma, \theta) d\omega}$$

Tämä integraali-differentiaaliyhtälö voidaan muokata tavalliseksi differentiaaliyhtälöpariksi jakamalla intensiteetti kahteen komponettiin :

$$\left\{ \begin{array}{l} I^+(\gamma) = \int_0^{\pi/2} I(\gamma, \theta) \sin \theta d\theta \\ I^-(\gamma) = \int_{\pi/2}^{\pi} I(\gamma, \theta) \sin \theta d\theta \end{array} \right.$$



$$\text{Tällöin } \gamma = \frac{1}{4\pi} \iint_0^{2\pi} I \sin \theta d\theta d\phi = \frac{2\pi}{4\pi} \int_0^{\pi} I \sin \theta d\theta = \frac{1}{2} (I^+ + I^-)$$

Säteilynkuljetusyhtälö voidaan sitten esittää seuraavasti:

$$\frac{d}{d\gamma} (I \cos \theta) = I(\gamma, \theta) - \frac{1}{2} (I^+ + I^-) \quad \left| \begin{array}{l} 1) \int_0^{\pi/2} \dots \sin \theta d\theta \\ 2) \int_{\pi/2}^{\pi} \dots \sin \theta d\theta \end{array} \right. *$$

$$\Rightarrow \left\{ \begin{array}{l} \frac{1}{2} \frac{dI^+}{d\gamma} = I^+(\gamma) - \frac{1}{2} (I^+ + I^-) \\ - \frac{1}{2} \frac{dI^-}{d\gamma} = I^-(\gamma) - \frac{1}{2} (I^+ + I^-) \end{array} \right. \quad (1) \quad (2)$$

\* ) Huom.: Vasen puoli :  $\frac{d}{d\gamma} \int_0^{\pi/2} \cos \theta \cdot I \sin \theta d\theta = \underbrace{\cos \theta}_{\frac{1}{2}} \frac{dI^+}{d\gamma}$

Tämän mukaan keskimääräinen ulos tuleva säteilyintensiteetti havaitaan suunnassa  $\cos \theta = 1/2 \Leftrightarrow \theta = 60^\circ$ .

$$(1) + (2) \Rightarrow \frac{dI^+ - dI^-}{d\gamma} = 0$$

$$\Rightarrow \frac{dF}{d\gamma} = 0$$

$$\begin{aligned}\tilde{F} &= \int I \cos \theta d\omega \\ &= 2\pi \left[ I^+ \underbrace{\int_0^{\pi/2} \cos \theta \sin \theta d\theta}_{= \frac{1}{2}} + I^- \underbrace{\int_{\pi/2}^{\pi} \cos \theta \sin \theta d\theta}_{= -\frac{1}{2}} \right] \\ \tilde{F} &= \pi (I^+ - I^-) = \pi F \\ F &\text{ (muodollinen merkintä)}\end{aligned}$$

$$\Rightarrow F = \text{vakio}$$

aivan kuten säteilytasapaino edellyttää

$$(1) - (2) \Rightarrow \frac{1}{2} \frac{dI^+ + dI^-}{d\gamma} = \underbrace{I^+ - I^-}_F$$

Reunaehdo:

$$\begin{aligned}dI^+ + dI^- &= 2F d\gamma & | \int \\ \Rightarrow \begin{cases} I^+ + I^- = 2F \gamma + C \\ I^-(0) = 0 \end{cases} & \left. \begin{array}{l} \Rightarrow I^+ = C \\ F = I^+ - \underbrace{I^-}_{=0} \end{array} \right\} \Rightarrow C = F\end{aligned}$$

$$\text{Säteilytasapainossa } S = \int = \frac{I^+ + I^-}{2} = \frac{2F\gamma + F}{2} = \frac{F}{2}(1 + 2\gamma) \quad \left| F = \frac{\tilde{F}}{\pi} \right.$$

$$S = \frac{\tilde{F}}{2\pi} (1 + 2\gamma)$$

Sijoittamalla tämä lähdefunktio säteilykuljetusyhtälön määritämään intensiteettilausekkeeseen saadaan

$$\begin{aligned}I(0, \theta) &= \int_0^\infty S(\gamma) e^{-\gamma \sec \theta} \sec \theta d\gamma \\ &= \frac{\tilde{F}}{2\pi} (1 + 2\gamma)\end{aligned}$$

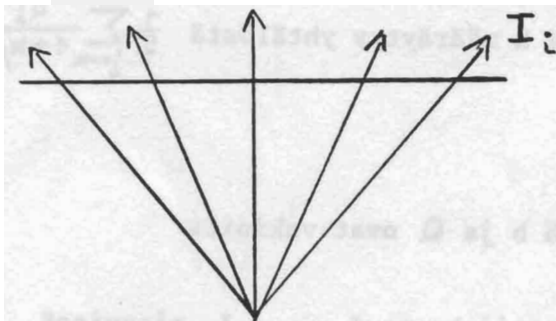
$$I(\sigma, \theta) = \frac{2}{2\pi} (1 + 2\cos\theta)$$

SÄTEILYNKULJETUSYHTÄLÖN RATKAISU  
SCHUSTER-SCHWARZSCHILDIN  
APPROKSIMAATIOSSA (v. 1905)

Tämä ratkaisu poikkeaa Eddingtonin ratkaisusta vain viimeisessä termissä:  $2\cos\theta$  on Eddingtonilla  $(3/2)\cos\theta$ .

#### d) Chandrasekharin menetelmä

Chandrasekharin "method of discrete ordinates" on Schuster-Schwarzchildin menetelmän yleistys: intensiteetti jaetaan osiin ( $i$  kappaletta) ja näitä intensiteettiosia  $I_i$  tarkastellaan suunnissa  $\Theta_i$ .



Fysikaaliset oletukset:

$$\begin{aligned} & - \text{harmaa atmosfääri} \\ & - \text{säteilytasapaino} \end{aligned} \Rightarrow S = \int_{-1}^1 I(\cos\theta) \frac{\sin\theta d\theta}{d(\cos\theta)}$$

Säteilynkuljetusyhtälönä on integraali-differentiaaliyhtälö :

$$\mu \frac{dI}{dr} = I - \frac{1}{2} \int_{-1}^1 I(r, \mu) d\mu, \text{ missä } \mu = \cos\theta$$

Suurimman vaikeuden yhtälön ratkaisemisessa tuottaa kulman yli otettu integraali. Likimääräisesti se voidaan esittää Gaussian summana :

$$\int_{-1}^1 I(r, \mu) d\mu \approx \sum_{j=-n}^n a_j I(r, \mu_j)$$

Gaussian numerisen integrointimenetelmän tarkkuus riippuu sekä kertaluvusta  $n$  että tarkasteluvälin jakopisteiden valinasta. Tasa-välisen jaon sijasta valitaan jakopisteet siten, että ne ovat Legendren polynomin  $P_{2n}(\cos \Theta)$  nollakohtia.

Säteilyn kuljetusyhtälöksi saadaan täten lineaarinen differentiaali-yhtälöryhmä, jonka kertaluku on  $2n$

$$\mu_i \frac{dI_i}{dr} = I_i - \frac{1}{2} \sum_{j=-n}^n a_j I_j \quad (i = \pm 1, \pm 2, \dots, \pm n)$$

(Huom. Kun tarkastellaan pinnan sisään menevää säteilyä, on  $i < 0$ )  
Näillä differentiaaliyhtälöillä on erikoisratkaisut

$$I_i = \frac{1}{1 + k \mu_i} e^{-kr}$$

$$, \text{ missä } k \text{ määritty yhtälöstä } \frac{1}{2} \sum_{j=-n}^n \frac{a_j}{1 + k \mu_j} = 1$$

sekä yksityisratkaisu

$$I_i = b(Q + r + \mu_i)$$

, missä  $b$  ja  $Q$  ovat vakioita

Ratkaisuna saadaan siis intensiteettijakauma  $I_{-n}, \dots, I_n$  tietyissä suunnissa  $\Theta_{-n}, \dots, \Theta_n$ .

Tarkempi esitys edellä hahmotetulle menetelmälle löytyy esim. kijoista:

S. Chandrasekhar: Radiative Transfer, Oxford 1950

V.V. Sobolev :A Treatise of Radiative Transfer. Van Nostrand Company 1963 (luku 2.3)

D. Mihalas: Stellar Atmospheres. Freeman and Freeman 1970 (luku 2.3)

HUOM. 1 Chandrasekharin menetelmä antaa harmaalle atmosfääriille sekä likimäärisen ratkaisun (sarjan summausindeksi  $n$  äärellinen) että tarkan ratkaisun ( $n \rightarrow \infty$ ).

HUOM. 2 1. kertaluvun approksimaatiossa ( $n=1$ ):  $a_1 = a_{-1} = 1$

$$M_1 = -M_{-1} = \frac{1}{\sqrt{3}}$$

jolloin säteilynkuljetusyhtälö

$$\begin{cases} \frac{1}{\sqrt{3}} \frac{dI_1}{d\tau} = I_1 - \frac{1}{2}(I_1 + I_{-1}) \\ -\frac{1}{\sqrt{3}} \frac{dI_{-1}}{d\tau} = I_{-1} - \frac{1}{2}(I_1 + I_{-1}) \end{cases}$$

vastaa Schuster-Schwarzchildin säteilynkuljetusyhtälöä sillä erolla, että Chandrasekharilla on  $\cos\Theta = 1/2$  tilalla  $\cos\Theta = 1/\sqrt{3}$ .

## 2.3 KAASUMAISEN TILAN FYSIIKKAA TÄHTIEN ATMOSFÄÄREISSÄ

Tähtitieteellisissä kohteissa on kaasumainen tila vallitseva aineen olomuoto: tähdet ovat kaasupalloja, planeettojen atmosfäärit ovat kaasua, tähtienvälisestä aineesta 99% on kaasua.

### 2.3.1 Ideaalikaasun tilanyhtälö

Ideaalikaasun tilanyhtälö on voimassa tähdissä paitsi mahdollisesti degeneroituneissa keskusosissa (degeneroituneen kaasun painetta käsitellään luvussa 3).

$$PV = NRT$$

IDEAALIKAASUN TILANYHTÄLÖ

missä  $N$  = moolien lukumäärä

$$R = \text{yleinen kaasuvakio} = 8.314 \times 10^7 \text{ erg/K mol} = 8.314 \text{ J/K mol}$$

Yhdelle kaasumoolille:

$$PV = RT$$

| :  $N_0$  ( $N_0 = 6.025 \times 10^{23}$  = Avogadron luku  
=hiukkasten lukumäärä/mooli)

$$P \frac{V}{N_0} = \frac{R}{N_0} T$$

|  $\frac{R}{N_0} = k = 1.380 \times 10^{-16} \text{ erg/K} = 1.380 \times 10^{-23} \text{ J/K}$   
= Boltzmannin vakio

$$P = \frac{N_0}{V} kT$$

| merkitään  $\frac{N_0}{V} = n = 1 \text{ moolin molekyylien lukumäärä/cm}^3$

$$P = n kT$$

TILANYHTÄLÖ YHDELLE KAASUMOOLILLE

Paineen riippuvuus lämpötilasta ja tiheydestä:

$$PV = NRT$$

$$PV = \frac{M}{m} RT$$

$$P = \frac{M}{V} \cdot \frac{1}{m} RT$$

= N m = 1 moolin massa

m = molekyylin massa

$$S = \frac{M}{V}$$

$$P = \frac{SRT}{m}$$

$$\frac{R}{m} = \frac{N_0 k}{N_0 m} = \frac{k}{m}$$

$$P = \frac{S k T}{m}$$

, missä m = molekyylin massa

Kaasuseoksen tapauksessa on

$$P = \sum P_i = kT \sum N_i$$

missä  $P_i$  = komponentin i aiheuttama osapaine.

Merkitään  $\bar{A} = \frac{\sum N_i A_i}{\sum N_i}$  = seoksen keskimääräinen hiukkas paino atomimassayksiköissä

ESIM. Vetykaasun keskimääräinen hiukkas paino eri lämpötiloissa:

T		$\bar{A}$
3000 K	$H_2$	2
3000 K	$H + H$	1
10000 K	$p^+ + p^- + e^- + e^-$	0.5

Eri hiukkaslajien  $N_i$  summan määrittämiseksi merkitään:

X = vedyn massaosuuus ( $0 < X \leq 1$ )

Y = heliumin massaosuuus

Z = "metallien" massaosuuus (metalleiksi kutsutaan alkuaineita, joiden A  $\geq 5$ )

$\frac{A}{2} \approx$  protonien lukumäärä metalliatomissa = elektronien lukumäärä

Ionisoituneessa tilassa ovat eri hiukkaslajien hiukkaslukumäärät seuraavat:

	ionien luku-määrä/cm <sup>3</sup>	elektronien lukumäärä/cm <sup>3</sup>	$\sum N_i$
vety	$\frac{X \cdot S}{m_H} = \frac{n m_H \cdot M \cdot 1}{M \cdot V m_H \cdot V} = \frac{n}{V}$	$\frac{X \cdot S}{m_H}$	$2 \frac{X \cdot S}{m_H}$
helium	$\frac{Y \cdot S}{m_{He}} = \frac{Y \cdot S}{4 m_H}$	$2 \frac{Y \cdot S}{m_{He}} = \frac{Y \cdot S}{2 m_H}$	$\frac{3}{4} \frac{Y \cdot S}{m_H}$
"metallit"	$\frac{Z \cdot S}{\bar{A} \cdot m_H}$	$\frac{\bar{A}}{2} \frac{Z \cdot S}{\bar{A} \cdot m_H} = \frac{Z \cdot S}{2 m_H}$	$1 + \frac{Z \cdot S}{2 m_H} \approx \frac{1}{2} \frac{Z \cdot S}{m_H}$

$$\Rightarrow N = \sum N_i = \frac{S}{m_H} (2X + \frac{3}{4}Y + \frac{1}{2}Z)$$

$$\Rightarrow P = NkT = \frac{S k T}{m_H} (2X + \frac{3}{4}Y + \frac{1}{2}Z)$$

TILANYHTÄLÖ TÄYSIN  
IONISOITUNEELLE  
KAASUSEOKSELLE

HUOM. Kokonaispaine on kaasunpaineen ja säteilypaineen summa:

$$P_{tot} = P_g + P_r$$

### 2.3.2 Kaasun adiabaattinen tilanyhtälö

#### a) Systeemin ominaislämpö

Energian säilymislain lämpöopillinen muoto on

$$dU = dQ + dW$$

$$\Leftrightarrow dQ = dU - dW$$

$$dQ = dU + PdV$$

, missä  $dQ$  = systeemiin tuotu lämpöenergia

$dW$  = systeemiin tehty työ =  $-PdV$  ( $dW = PdV$ ,

kun kaasu itse suorittaa työn)

$dU$  = sisäisen energian muutos

Merkintä  $\dot{d}$  ilmoittaa, että kysymyksessä ei ole kokonaisdifferentiaali (ts. vain alku- ja lopputilasta riippuva fkt.), vaan prosessista riippuva suure.

Systeemin ominaislämpö:

$$C_v = \frac{\dot{d}Q}{dT}$$

$$\text{Kun } V = \text{vakio} : C_v = \left[ \frac{\dot{d}Q}{dT} \right]_V = \frac{dU}{dT}$$

$$\begin{aligned} U &= n \cdot \frac{3}{2} RT = \frac{3}{2} NRT \\ \frac{dU}{dT} &= C_v = \frac{3}{2} NR \end{aligned}$$

$$\text{Kun } P = \text{vakio} : C_p = \left[ \frac{\dot{d}Q}{dT} \right]_P = \frac{dU}{dT} + \frac{d}{dT}(PdV)$$

$$\begin{aligned} PV &= NRT \\ PdV + V \underbrace{dP}_{=0} &= N R dT \\ PdV &= N R T \end{aligned}$$

$$C_p = \underbrace{\frac{dU}{dT}}_{C_v} + NR$$

$$C_p - C_v = NR$$

, missä  $N$  = moolien lukumäärä

#### b) Adiabaattinen tilanyhtälö

Adiabaatisessa muutoksessa  $dQ = 0$ , jolloin

$$\begin{array}{l|l}
 dU + PdV = 0 & 1 \text{ moolille: } P = \frac{RT}{V} \\
 C_v dT + RT \frac{dV}{V} = 0 & R = C_p - C_v \quad | : T \\
 C_v \frac{dT}{T} = -(C_p - C_v) \frac{dV}{V} & : C_v \quad | S \\
 \ln T = -(\gamma - 1) \ln V + \text{const} & \left. \begin{array}{l} \gamma = \frac{C_p}{C_v} = \begin{cases} 5/3 \text{ neutraalille 1-atomiselle} \\ \text{kaasulle tai täysin ionisoituneelle kaasulle} \\ 7/5 \text{ kaksiamoniselle kaasulle} \end{cases} \\ \gamma = \frac{P}{V} \end{array} \right\} \Rightarrow \left. \begin{array}{l} PV^\gamma = \text{const} \\ V^\gamma = \left(\frac{RT}{P}\right)^\gamma \end{array} \right\} \Rightarrow P^{1-\gamma} T^\gamma = \text{const}
 \end{array}$$

Näistä kaasun adiabaattisen tilanyhtälön eri esitysmuodoista käytetään jatkossa eniten yhtälöä

$$PV^\gamma = \text{vakio}$$

KAASUN ADIABAATTINEN TILANYHTÄLÖ

ESIM. Määritä  $\gamma$ , kun paine on sähkömagneettisen säteilyn aiheuttama.

$$dQ = dU + PdV$$

$U = \text{säteilyn energia}$

$$U = uV, \text{ missä } u = \text{säteilytiheys} = \alpha T^4 = \text{säteilyenergia/cm}^3$$

$$U = \alpha T^4 V$$

$$dU = 4\alpha T^3 V dT + \alpha T^4 dV$$

$$P = \frac{u}{3} = \frac{1}{3} \alpha T^4$$

$$dQ = 4\alpha T^3 V dT + \underbrace{\alpha T^4 dV + \frac{1}{3} \alpha T^4 dV}_{\frac{4}{3} \alpha T^4 dV = 4PdV} = 0 \quad \text{adiabaattisessa muutoksessa}$$

$$\textcircled{3} \cdot \frac{4}{3} \alpha T^3 V dT + 4PdV = 0$$

$$P = \frac{1}{3} \alpha T^4$$

$$dP = \frac{4}{3} \alpha T^3 dT$$

$$3VdP + 4PdV = 0$$

$$3 \frac{dP}{P} = -4 \frac{dV}{V}$$

$$P \sim V^{-4/3}$$

$$PV^{4/3} = \text{const}$$

$$\text{joten } \underline{\underline{\gamma = \frac{4}{3}}}$$

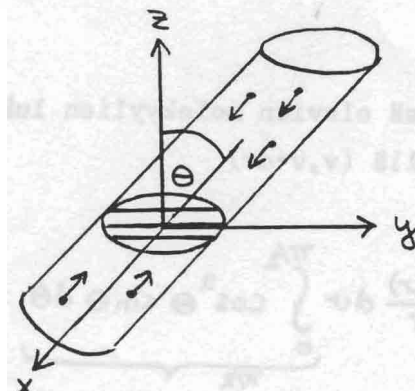
Interstellaarisessa avaruudessa  $4/3 < \gamma < 5/3$  riipuen siitä, määärääkö säteily vai kaasu paineen.

Adiabaattista tilanyhtälöä on käytettävä tarkasteltaessa mm. tähtien konvektiota (massavirtausta) tai interstellaarisen pilven kuumenemista, kun se äkillisesti kutistuu esim. supernovaräjähdyksen synnyttämän iskurintaman johdosta.

### 2.3.3 Kaasun paineen ja lämpötilan kineettinen tulkinta

Paine voidaan selittää kineettisen kaausteorian pohjalta. Kaasun-paine ilmoittaa molekyylien liikemäärän muutoksen aikayksikössä hiukkasten liikkuessa yksikköpinta-alan läpi, joka on kohtisuorasti molekyylien liikesuuntaan nähdessä:

$$P_z = \frac{d(p_z/dt)}{dA}, \text{ missä } p_z \perp dA$$



Merkitään

$$n(\theta, \phi, v) = \text{niitten molekyylien lukumäärä/cm}^3 \text{sr, joilla nopeus} \\ \text{välissä } (v, v+dv) = \frac{\text{lkm}}{dV \cdot d\omega \cdot dv}$$

$v \cos \theta$  = tarkasteltavaa pinta-alkiota vasten kohtisuora nopeuskomponentti

$dV = dA \cdot dt \cdot v \cos \theta =$  tilavuusalkio, jossa ovat kaikki ne molekyylit, jotka aikayksikössä "iskeytyvät" kohtisuoraan pintaan  $dA$

$\iiint_{v\sqrt{\omega}} n(\theta, \phi, v) dv dV d\omega =$  yksikköpinta-alaan kohtisuoraan "iskeytyvien" hiukkasten lukumäärä aikayksikössä

$$= \iiint n(\theta, \phi, v) \cdot v \cdot \cos \theta \underbrace{\sin \theta d\theta}_{d\omega} d\phi dv \frac{dA \cdot dt}{1 \text{ cm}^2 \cdot 1 \text{ s}}$$

Tällöin paine pinta-alkiota vasten on

$$P_z = \text{hiukkasten } 1 \text{ km/s} \times [m \vec{v} \cos \theta - (-m \vec{v} \cos \theta)]$$

$$P_z = \int_0^\infty \int_0^{\frac{\pi}{2}} \int_0^{2\pi} (2m v \cos \theta) \cdot n(\theta, \phi, v) \cdot v \cos \theta \sin \theta d\phi d\theta dv$$

Jos molekyylien nopeusjakautuma on isotrooppinen, on

$$n(\theta, \phi, v) = \frac{1}{4\pi} n(v) dv$$

missä  $n(v) =$  kuutiosenttimetrissä olevien molekyylien lukumäärä, joilla nopeus välillä  $(v, v+dv)$

$$\Rightarrow P = 2\pi \cdot 2m \int_0^\infty v^2 \frac{n(v)}{4\pi} dv \int_0^{\pi/2} \cos^2 \theta \sin \theta d\theta$$

$$\underbrace{-\frac{1}{3} \cos^3 \theta}_{\pi/2} = \frac{1}{3}$$

$$P = \frac{1}{3} m \int_0^\infty v^2 \cdot n(v) dv$$

Keskiarvon määritelmän mukaan

$$\bar{v}^2 = \frac{\int_0^\infty v^2 \cdot n(v) dv}{\int_0^\infty n(v) dv}$$

$$\Rightarrow \int_0^\infty v^2 \cdot n(v) dv = \bar{v}^2 \int_0^\infty n(v) dv$$

$$\Rightarrow P = \frac{1}{3} N m \bar{v}^2$$

, missä  $N =$  molekyylien  $1 \text{ km/cm}^3$

Yhdistämällä

$$\left. \begin{array}{l} P = N kT \\ P = \frac{1}{3} N m \bar{v}^2 \end{array} \right\} \Rightarrow \frac{1}{3} m \bar{v}^2 = kT \quad \left| \cdot \frac{3}{2} \right.$$

$$\frac{1}{2} m \bar{v}^2 = \frac{3}{2} kT$$

YHDEN MOLEKYYLIN  
KESKIMÄÄRÄINEN  
LIIKE-ENERGIA

#### 2.3.4 Maxwellin nopeusjakautuma

Oletetaan seuraavassa, että hiukkasten faasitiheys  $F(x,y,z,u,v,w,t)$  ei riipu paikasta  $(x,y,z)$ , ajasta eikä nopeuden suunnasta  $(\bar{u},\bar{v},\bar{w})$ . Tällöin voidaan faasitiheys hajottaa ajasta ja paikasta riippuvaan funktioon  $f_1(x,y,z,t)$  sekä nopeudesta riippuvaan funktioon  $f_2(v^2)$ .

$$F(r,t,v^2) = f_1(x,y,z,t) \cdot f_2(u^2 + v^2 + w^2)$$

Jos lisäksi oletetaan, että nopeuskomponentit  $u,v,w$  ovat toisistaan riippumattomia, voidaan hiukkasten nopeusjakautuma esittää muodossa

$$f(u^2 + v^2 + w^2) = g(u^2) \cdot g(v^2) \cdot g(w^2)$$

Tämän funktionaalitähän ratkaisut ovat muotoa

$$g(u^2) = A e^{-\lambda u^2}$$

$$g(v^2) = A e^{-\lambda v^2}$$

$$g(w^2) = A e^{-\lambda w^2}$$

Vakiot  $A$  ja  $\lambda$  sekä edelläolevan ratkaisun muoto saadaan seuraavalla typistetyllä tarkastelulla. Yksinkertaisuuden vuoksi tarkastellaan edelläolevan funktionaaliyhtälön kaksidimesionaalista muotoa:

$$H(x+y) = G(x) \cdot G(y) \quad \left| \frac{d}{dx} \right.$$

$$\frac{dH(x+y)}{d(x+y)} \underbrace{\frac{\partial(x+y)}{\partial x}}_{=1} = \frac{dG(x)}{dx} \cdot G(y)$$

eli

$$H'(x+y) = G'(x) \cdot G(y) \quad \left| : H(x+y) \right.$$

$$\frac{H'(x+y)}{H(x+y)} = \frac{G'(x)}{G(x)}$$

Vastaavasti saadaan y:n suhteen derivoimalla

$$\frac{H'(x+y)}{H(x+y)} = \frac{G'(y)}{G(y)}$$

$$\left. \begin{array}{l} \\ \end{array} \right\} \Rightarrow \frac{G'(x)}{G(x)} = \frac{G'(y)}{G(y)}$$

Koska saadussa yhtälössä vasen puoli riippuu vain  $x$ :stä ja oikea puoli vain  $y$ :stä, on yhtälön molempien puolien oltava vakio, jota merkitään  $-\lambda$ :lla.

$$\Rightarrow \frac{dG(x)}{G(x)} = -\lambda dx \Rightarrow G(x) = A e^{-\lambda x}$$

vastaavasti :  $G(y) = A e^{-\lambda y}$

$$\Rightarrow H(x+y) = A^2 \cdot e^{-\lambda(x+y)}$$

Soveltamalla tätä tulosta nopeusjakautumaan saadaan

$$f(v_x^2 + v_y^2 + v_z^2) = A^3 e^{-\lambda(v_x^2 + v_y^2 + v_z^2)} \quad (3\text{-dimensionaalinen muoto})$$

$$f(v_x^2) = A e^{-\lambda v_x^2} \quad (1\text{-dimensionaalinen muoto})$$

Vakio A määritetään nopeusjakautuman normitusehdosta

$$\iiint_{-\infty}^{\infty} f \, dv_x \, dv_y \, dv_z = 1$$

$$A^3 \underbrace{\int_{-\infty}^{\infty} e^{-\frac{v_x^2}{\lambda}} dv_x}_{\sqrt{\frac{\pi}{\lambda}}} \underbrace{\int_{-\infty}^{\infty} e^{-\frac{v_y^2}{\lambda}} dv_y}_{\sqrt{\frac{\pi}{\lambda}}} \underbrace{\int_{-\infty}^{\infty} e^{-\frac{v_z^2}{\lambda}} dv_z}_{\sqrt{\frac{\pi}{\lambda}}} = 1$$

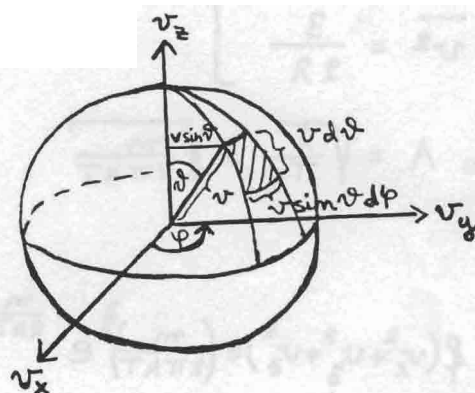
$$\Rightarrow A^3 = \left(\frac{\lambda}{\pi}\right)^{\frac{3}{2}}$$

$$\Rightarrow A = \sqrt[3]{\frac{\lambda}{\pi}}$$

Vakio  $\lambda$  saadaan rms-nopeuden (rms: "root mean square"  $\sqrt{\bar{v^2}}$ ) määritelmästä :

$$\bar{v^2} = \frac{\iiint_{-\infty}^{\infty} v^2 f \, dv_x \, dv_y \, dv_z}{\iiint_{-\infty}^{\infty} f \, dv_x \, dv_y \, dv_z}$$

$$= 1$$



$$= \iiint_{-\infty}^{\infty} v^2 \cdot f \cdot \underbrace{dv_x \, dv_y \, dv_z}_{v^2 \sin\theta \, d\theta \, d\phi \, d\psi} \quad \text{pallokoordinaatistossa}$$

$$= \iiint_{-\infty}^{\infty} v^4 \cdot f \cdot \sin\theta \, d\theta \, d\phi \, d\psi \, dv$$

$$\boxed{f = \left(\frac{\lambda}{\pi}\right)^{\frac{3}{2}} \cdot e^{-\lambda v^2}}$$

$$\boxed{\iint_0^{2\pi} \sin\theta \, d\phi \, d\theta = \oint d\omega = 4\pi}$$

$$\overline{v^2} = \left(\frac{\lambda}{\pi}\right)^{\frac{3}{2}} \cdot 4\pi \int_0^\infty v^4 e^{-\lambda v^2} dv$$

$$= \left(\frac{\lambda}{\pi}\right)^{\frac{3}{2}} \cdot 4\pi \cdot \frac{1}{2} \lambda^{-\frac{5}{2}} \cdot \frac{3}{4} \sqrt{\pi}$$

$$\overline{v^2} = \frac{3}{2} \lambda$$

$$\int_0^\infty x^k e^{-\lambda x^2} dx = \frac{1}{2} \lambda^{-\frac{k+1}{2}} \cdot T\left(\frac{k+1}{2}\right)$$

$$(k=4) \\ = \frac{1}{2} \lambda^{-\frac{5}{2}} \cdot \underbrace{T\left(\frac{5}{2}\right)}_{\frac{3\sqrt{\pi}}{4}}$$

$$\text{Huom. } T\left(\frac{3}{2}\right) = T\left(\frac{1}{2} + 1\right) = \frac{1}{2} T\left(\frac{1}{2}\right) = \frac{1}{2} \sqrt{\pi}$$

$$T\left(\frac{5}{2}\right) = T\left(\frac{3}{2} + 1\right) = \frac{3}{2} T\left(\frac{3}{2}\right) = \frac{3}{2} \cdot \frac{\sqrt{\pi}}{2}$$

Toisaalta

$$\frac{1}{2} m \overline{v^2} = \frac{3}{2} kT$$

$$\Rightarrow \overline{v^2} = \frac{3kT}{m} \\ \overline{v^2} = \frac{3}{2\lambda} \quad \left. \right\} \Rightarrow \boxed{\lambda = \frac{m}{2kT}}$$

$$\text{Täten } A = \sqrt{\frac{\lambda}{\pi}} = \sqrt{\frac{m}{2\pi kT}}$$

$$\Rightarrow f(v_x^2 + v_y^2 + v_z^2) = \left(\frac{m}{2\pi kT}\right)^{\frac{3}{2}} e^{-\frac{m}{2kT}(v_x^2 + v_y^2 + v_z^2)} \quad \text{3-ulott. jakaumafunktio}$$

$$f(v_x^2) = \sqrt{\frac{m}{2\pi kT}} e^{-\frac{m}{2kT} v_x^2} \quad \text{1-ulott. jakaumafunktio}$$

Merkitään  $dN(v) = N(v) \cdot dv$  = nopeusväliässä  $(v, v+dv)$  olevien molekylien lukumäärä/cm<sup>3</sup>

Huomioimalla nopeuden yleinen jakaumafunktio  $f$  saadaan

$$dN(v) = N f(v) dv$$

$$\boxed{dN(v_x) = N \sqrt{\frac{m}{2\pi kT}} e^{-\frac{m}{2kT} v_x^2} dv_x}$$

MAXWELLIN NOPEUSJAKAUTUMA  
(1-ulotteinen tapaus)

missä  $m$  = hiukkasen massa

$N$  = hiukkasten lukumäärä tilavuusyksikössä

$$\text{normitusehto: } \int_{-\infty}^{\infty} f \, dv_x = 1 \iff \int_{-\infty}^{\infty} \frac{dN(v_x)}{N} \, dv_x = 1$$

Kolmiulotteinen tapaus:

a) suorakulmaisessa koordinaatistossa

$$dN(v_x, v_y, v_z) = N \left( \frac{m}{2\pi kT} \right)^{\frac{3}{2}} e^{-\frac{m}{2kT}(v_x^2 + v_y^2 + v_z^2)} dv_x dv_y dv_z$$

MAXWELLIN  
NOPEUSJAKAUMA  
(suorakulmaisessa koordinaatistossa)

b) pallokoordinaatistossa

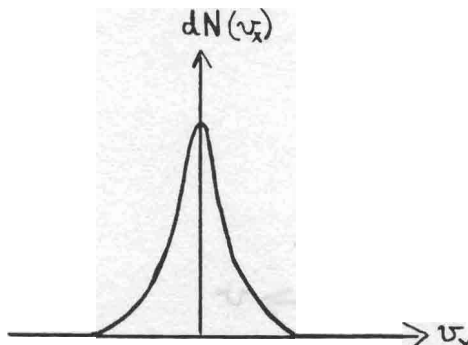
$$\text{Koska } dv_x dv_y dv_z = v^2 dv \sin\vartheta d\vartheta d\varphi, \text{ on}$$

$$dN(v) = N(v) dv = N \cdot f(v) dv$$

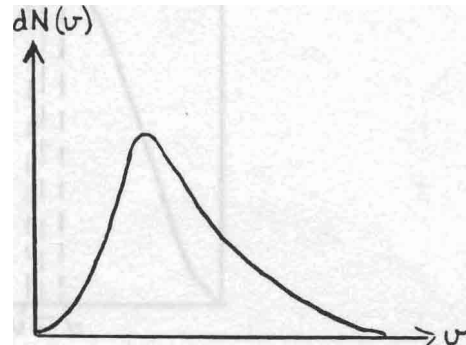
$$= N \left( \frac{m}{2\pi kT} \right)^{\frac{3}{2}} e^{-\frac{m}{2kT} v^2} \cdot v^2 dv \underbrace{\int_0^{2\pi} \int_{-\pi/2}^{\pi/2} \sin\vartheta d\vartheta d\varphi}_{4\pi}$$

$$dN(v) = 4\pi v^2 \cdot N \left( \frac{m}{2\pi kT} \right)^{\frac{3}{2}} e^{-\frac{m}{2kT} v^2} dv$$

MAXWELLIN NOPEUS-JAKAUTUMA (pallokoordinaatistossa)



1- ulotteinen nopeusjakautuma  
esittää Gaussian käyrää



3- ulotteinen nopeusjakautuma

HUOM. Maxwellin nopeusjakautuman maksimikohta  $\left[ \frac{d}{dv} \left( \frac{N(v)}{N} \right) = 0 \right]$  määrittää hiukkasten todennäköisimmän nopeuden  $\alpha$ . (osoitus harjoitustehtävänä).

Todennäköisin nopeus

$$\alpha = \sqrt{\frac{2kT}{m}}$$

Keskinopeus

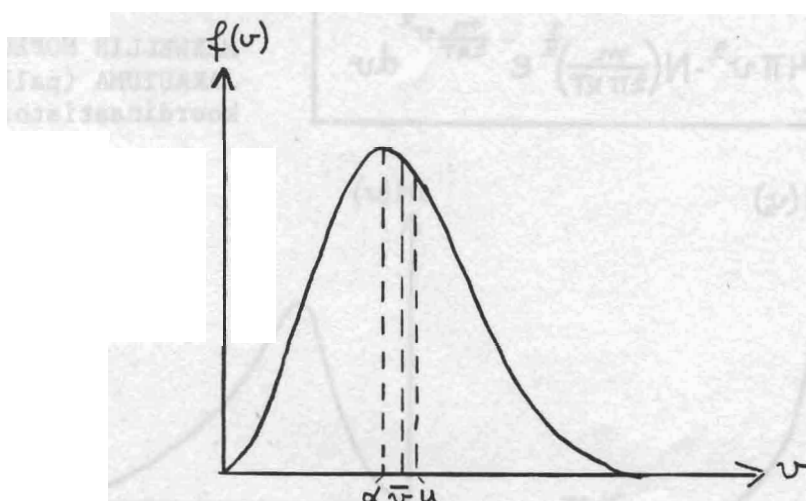
$$\bar{v} = \frac{\int v f(v) dv}{\int f(v) dv}$$

$$\bar{v} = \frac{2\alpha}{\sqrt{\pi}} = 1.13 \alpha$$

rms-nopeus

$$u = \sqrt{\bar{v}^2} = \sqrt{\frac{\int v^2 f(v) dv}{\int f(v) dv}} = \sqrt{\frac{\int v^2 f(v) dv}{1}}^{1/2}$$

$$u = \sqrt{\frac{3kT}{m}} = \sqrt{\frac{3}{2}} \alpha = 1.25 \alpha$$



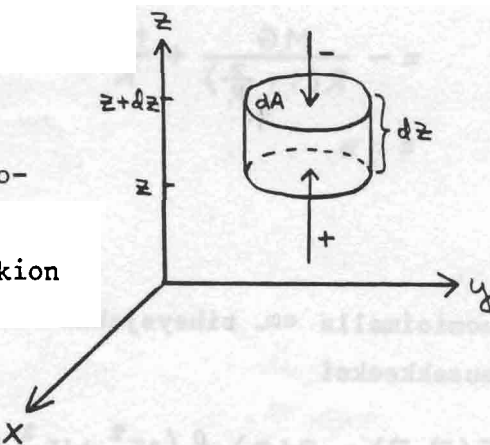
### 2.3.5 Boltzmannin hiukkasjakautuma potentiaalikentässä

Tarkastellaan seuraavassa potentiaalikentässä  $V(z)$  olevaa kaasua, jonka tiheys pienenee korkeuden  $z$  kasvaessa.

Merkitään

$$F_1(z) = -dM \frac{dV(z)}{dz} = \text{alkiota alasäin vetävä gravaatiovoima, missä } dM = \rho dAdz = \text{tilavuusalkion massa}$$

$$F_1(z) = -\rho dAdz \frac{dV(z)}{dz}$$



Paineen synnyttämä voima tilavuusalkion alapintaan  $= P(z)dA = \frac{\rho(z)kT}{m} dA$  missä  $m$  = hiukkasen massa.

Paineen synnyttämä voima tilavuusalkion yläpintaan  $= P(z+dz)dA = \frac{\rho(z+dz)kT}{m} dA$

Paineen aiheuttama nettovoima ylöspäin on siten

$$F_2(z) = \frac{[\rho(z) - \rho(z+dz)]kT}{m} dA = -\frac{d\rho(z)}{dz} \frac{kT dAdz}{m}$$

Tasapainon vallitessa  $\vec{F}_1 + \vec{F}_2 = 0$

$$\Rightarrow \frac{d\rho(z)}{dz} \frac{kT dAdz}{m} = -\rho(z) dAdz \frac{dV(z)}{dz}$$

$$\Rightarrow \frac{d\rho(z)}{\rho(z)} = -\frac{m}{kT} dV$$

$$\Rightarrow \boxed{\rho(z) = \rho_0 e^{-\frac{m \cdot \Delta V(z)}{kT}}}$$

TIHEYSJAKAUTUMA  
POTENTIAALIKENTÄSSÄ  $V(z)$

Tarkasteltiessa esim. planeetan atmosfääriä, jossa atmosfäärin korkeus  $z$  on hyvin pieni verrattuna planeetan säteeseen  $R$ , on

$$\Delta V = V(R+z) - V(R) = -\frac{MG}{R+z} - \left(-\frac{MG}{R}\right)$$

$$= -\frac{MG}{R(1+\frac{z}{R})} + \frac{MG}{R} = -\frac{MG}{R} \left(1 - \frac{z}{R} + \dots\right) + \frac{MG}{R} = \frac{MG}{R^2} z$$

$$= g z$$

Huomioimalla em. tiheysjakautuma saadaan kaasun faasitiheyden lausekkeeksi

$$F(\vec{r}, \vec{v}) = \varrho(z) f(v_x^2 + v_y^2 + v_z^2) \quad | \text{ Siij. } \varrho \text{ ja } f$$

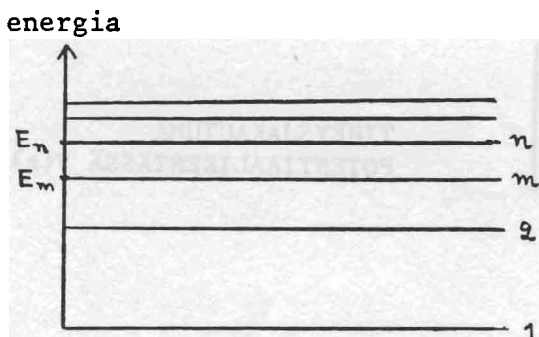
$$= \varrho_0 \left(\frac{m}{2\pi kT}\right)^{\frac{3}{2}} e^{-\left(\frac{mv^2}{2kT} + \frac{m\Delta V(z)}{kT}\right)}$$

$$F(\vec{r}, \vec{v}) = \varrho_0 \left(\frac{m}{2\pi kT}\right)^{\frac{3}{2}} e^{-\frac{E}{kT}}$$

HIUKKASTEN PAIKKA- JA NOPEUSJAKAUTUMA

### 2.3.6 Boltzmannin laki atomien viritystilojen miehityksille

Sidoselektronien lukumäärä atomin eri viritystiloissa riippuu atomin potentiaalkentästä sekä lämpötilasta.



Viritystilojen n ja m miehitysluvuille johti Boltzmann yhtälön

$$\frac{N_n}{N_m} = \frac{g_n}{g_m} e^{-(E_n - E_m)/kT}$$

BOLTZMANNIN LAKI

missä

$$\left. \begin{array}{l} N_n = \text{viritystilassa } n \text{ olevien atomien lukumäärä} \\ N_m = \text{viritystilassa } m \text{ olevien atomien lukumäärä} \end{array} \right\} \text{nes. määritysluvut}$$

$g$  = tietyn energiatilan statistinen paino. Esim. vedylle  $g_n = 2n^2$

Merkitsemällä  $\chi_n = E_n - E_1 = \text{tilan } n \text{ viritysenergia saadaan}$

$$\frac{N_n}{N_1} = \frac{g_n}{g_1} e^{-\chi_n/kT}$$

$$\Rightarrow N_n = \frac{N_1}{g_1} g_n e^{-\chi_n/kT}$$

$$\left| \begin{array}{l} N = N_1 + N_2 + \dots + N_n + \dots \\ = \text{atomien kokonaislukumäärä} \end{array} \right.$$

$$\Rightarrow N = \frac{N_1}{g_1} \underbrace{\sum g_n e^{-\chi_n/kT}}$$

partitiofunktio  $u(T)$

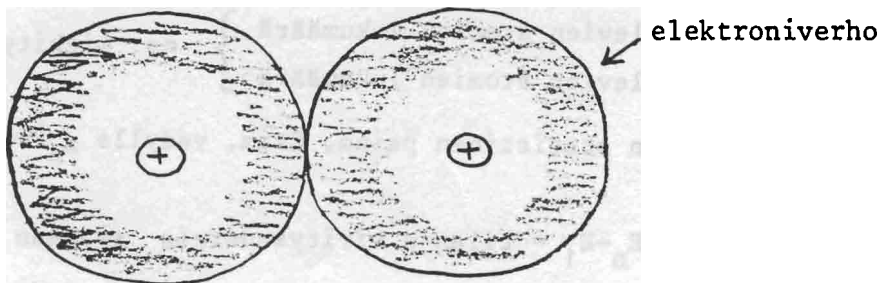
$$N = \frac{N_1}{g_1} \cdot u(T) \Rightarrow \frac{N_1}{N} = \frac{g_1}{u(T)}$$

$$\Rightarrow \frac{N_n}{N} = \frac{N_n}{N_1} \cdot \frac{N_1}{N} = \frac{g_n}{g_1} e^{-\chi_n/kT} \cdot \frac{g_1}{u(T)}$$

$$\boxed{\frac{N_n}{N} = \frac{g_n}{u(T)} e^{-\chi_n/kT}}$$

missä  $N = \text{atomien kokonaislukumäärä}$

HUOM. Partitiofunktiota laskettaessa on summa katkaistava tietystä kohdasta - viimeistään silloin, kun pääkvanttilukua  $n$  vastaavat Bohrin säteet ovat ytimien välimatkojen suuruuslukokkaa ja sähköinen repulsio voimistuu. Tämän vuoksi partitiofunktion arvo riippuu kaasun tiheydestä.



ESIM. Vetyatomille saadaan 10000K lämpötilassa seuraavat miehitysluvut

$$g_n = 2n^2$$

$$\chi_m = h R_H \left( \frac{1}{1^2} - \frac{1}{m^2} \right), \text{ missä Rydbergin vakio on Hz-yksiköissä :}$$

$$R_H = 3.29 \times 10^{15} \text{ Hz}$$

Huom. normaalisti Rydbergin vakio ilmoitetaan pituusyksikköä kohti :

$$h\nu = hc \frac{1}{\lambda} = hc R_M \left( \frac{1}{n^2} - \frac{1}{m^2} \right), \text{ missä } R_M = \frac{R_\infty}{1 + \frac{me}{M}}$$

$$\text{Vedylle } R_H = 109667.6 \frac{1}{cm} = R_\infty$$

$$u(T) = \sum_{n=1}^{\infty} 2n^2 e^{-hR_H [Hz] (1 - \frac{1}{n^2}) / kT}$$

$$u(10000K) \approx 2 \quad (\text{vedylle})$$

Kun T = 10000K :

$n$	$2n^2$	$1 - \frac{1}{n^2}$	$e^{-\chi_n/kT}$	$\frac{N_n}{N} = \frac{2n^2}{u(10000K)} e^{-\chi_n/kT}$
1	2	0	2	$\sim 1$
2	8	0.75	$5.78 \times 10^{-5}$	$2.3 \times 10^{-5}$
3	18	0.889	$1.45 \times 10^{-5}$	$7.2 \times 10^{-6}$

Todetaan, että 10000 K lämpötilassa suurin osa vetyatomeista on perustilassa (kts. alla olevaa taulukkoa).

Table Relative Populations of Levels in Hydrogen  
( $P_e = 10$  dyne cm $^{-2}$ ).

$T$	$\frac{N_{I,2}}{N_{I,1}}$	$\frac{N_{I,3}}{N_{I,1}}$
4,000°K	$5.62 \times 10^{-13}$	$5.25 \times 10^{-15}$
6,000	$1.08 \times 10^{-8}$	$6.28 \times 10^{-10}$
8,000	$1.50 \times 10^{-6}$	$2.17 \times 10^{-7}$
10,000	$2.89 \times 10^{-5}$	$7.25 \times 10^{-6}$
12,000	$2.08 \times 10^{-4}$	$7.52 \times 10^{-5}$
14,000	$8.51 \times 10^{-4}$	$4.00 \times 10^{-4}$
16,000	$2.45 \times 10^{-3}$	$1.40 \times 10^{-3}$
18,000	$5.57 \times 10^{-3}$	$3.71 \times 10^{-3}$
20,000	$1.08 \times 10^{-2}$	$8.08 \times 10^{-3}$

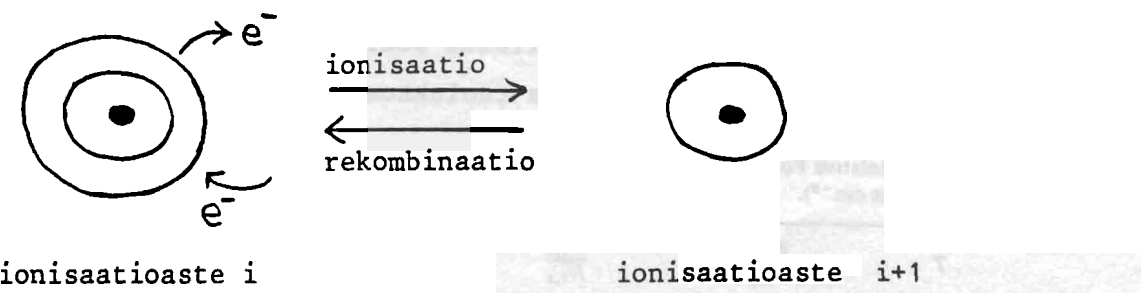
Table Logarithms of Partition Functions.\* [From T. L. Swihart, 1968 (6), pp. 274-275, based on unpublished calculations of A. N. Cox.]

The following ions have partition functions which are nearly independent of temperature and electron pressure as long as the abundance of the ion is not negligibly small:

ION	$\log u_i$	ION	$\log u_i$	ION	$\log u_i$
H I	0.30	O II	0.60	Mg III	0.00
He I	0.00	O III	0.95	Al II	0.00
He II	0.30	Ne I	0.00	Al III	0.30
Li II	0.00	Ne II	0.78	Si II	0.78
Li III	0.30	Ne III	0.95	Si III	0.00
C II	0.78	Na II	0.00	K II	0.00
C III	0.00	Na III	0.78	K III	0.78
N II	0.96	Mg II	0.30	Ca III	0.00
N III	0.78				

### 2.3.7 Ionisaatioyhtälö (Sahan yhtälö)

Megh Nad Saha johti 1920 statistisen fysiikan menetelman tähtien atmosfäärin virityksen ja ionisaation teorian. Ionisaatioteorian perusideana on, että tasapainotilassa ionisaatioiden lukumäärä sekunnissa on yhtäsuuri kuin rekombinaatioiden lukumäärä sekunnissa.



Yksinkertaisuuden vuoksi tarkastellaan vain vierekkäisiä ionis.asteita  $i$  ja  $i+1$ .  
Ionisaatioiden lukumäärä/s:  $\frac{dN(i \rightarrow i+1)}{dt} = N_i \cdot f_1(T, \chi_{ion})$

Rekombinaatioiden lukumäärä/s :  $\frac{dN(i+1 \rightarrow i)}{dt} = N_{i+1} \cdot N_e \cdot f_2(T, \chi_{ion})$

Tasapainotilassa:

$$\frac{dN(i \rightarrow i+1)}{dt} = \frac{dN(i+1 \rightarrow i)}{dt}$$

$$\Rightarrow \frac{N_{i+1} \cdot N_e}{N_i} = \frac{f_1}{f_2} = g(T, \chi_{ion})$$

Saha sai  $g$ -funktion lausekkeeksi

$$\frac{N_{i+1} \cdot N_e}{N_i} = \frac{(2\pi m k T)^{3/2}}{h^3} \cdot \frac{g u_{i+1}(T)}{u_i(T)} e^{-\frac{\chi_i}{kT}}$$

SAHAN YHTÄLÖ

missä  $N_e$  = elektronitiheys  $\left[ \text{cm}^{-3} \right]$   
 $m$  = elektronin massa

$\chi_i$  = ionisaatioenergia asteelta  $i$  asteelle  $i+1$

$$u_i(T) = \sum g_{i,n} e^{-(\chi_{i,n} - \chi_{i,1})/kT}$$

Huom. Ensimmäinen alaindeksi ilmoittaa ionisaatioasteen ja jälkimmäinen alaindeksi viritystilan. Partitiofunktion  $u_{i+1}$  edessä oleva luku 2 on vapaitten elektronien statistinen paino.

Sahan yhtälössä käytetään usein elektronipainetta  $P_e$  elektronitiheyden asemesta:

$$P_e = N_e kT \Rightarrow N_e = \frac{P_e}{kT}$$

$$\Rightarrow \frac{N_{i+1} P_e}{N_i} = \frac{(2\pi m)^{3/2}}{h^3} \cdot (kT)^{5/2} \cdot \frac{2 u_{i+1}(T)}{u_i(T)} e^{-\chi_i/kT}$$

Mikäli e-kantainen potenssi halutaan muuttaa 10-kantaiseksi, on

$$e^{-\chi_i/kT} = 10^{-\frac{k}{R} \cdot \frac{\chi_i}{T}} = 10^{-\frac{5040}{T} \cdot \chi_i [\text{eV}]}$$

Sijoittamalla vakioitten lukuarvot, saadaan Sahan yhtälö muotoon

$$\frac{N_{i+1} \cdot P_e}{N_i} = 0.331 \cdot T^{5/2} \cdot \frac{2 u_{i+1}(T)}{u_i(T)} \cdot 10^{-\frac{5040}{T} \chi_i [\text{eV}]}$$

$$\lg \frac{N_{i+1} \cdot P_e}{N_i} = -0.48 + \frac{5}{2} \lg T + \lg \frac{2 u_{i+1}(T)}{u_i(T)} - \frac{5040}{T} \chi_i [\text{eV}]$$

HUOM. Elektronipaineen yksikkönä käytettävä  $\text{dyn/cm}^2$

Astrofysiikassa käytetään seuraavia merkintöjä:

	neutraali atomi	1. kerran ionisoitunut	2 kertaa ionisoitunut	r kertaa ionisoitunut
Vapaita elektroneja atomia kohden	O	1	2	$\tau$
Ionisaatioenergia	$\chi_0$	$\chi_1$	$\chi_2$	$\chi_\tau$
Ionin merkintää (esimerkkinä Rauta Fe)	Fe I	Fe II	Fe III	Fe $^{(\tau+1)}$
Kaikkien atomien lkm. ko. ionisaatioasteella	$N_0$	$N_1$	$N_2$	$N_\tau$
Perustilassa olevien ionien lukumäärä	$N_{0,1}$	$N_{1,1}$	$N_{2,1}$	$N_{\tau,1}$
Viritystilassa s olevien ionien lkm.	$N_{0,s}$	$N_{1,s}$	$N_{2,s}$	$N_{\tau,s}$

Alkuaineitten partitiofunktiot eri lämpötiloissa ja elektronipaineessa  
esitetty alla olevassa taulukossa. Seuraavalla sivulla ovat alkuaineitten  
ionisaatiopotentialit.

The following table gives  $\log \mu_i$  for other ions as a function of temperature and electron pressure:

ION	$\log P_e$	TEMPERATURE (°K)			ION	$\log P_e$	TEMPERATURE (°K)		
		5,040	7,200	10,080			5,040	7,200	10,080
Li I	0	0.33	0.75	1.68	Si I	0	0.97	1.00	1.21
	2	0.32	0.44	0.91		2	0.96	0.99	1.06
	4	0.32	0.37	0.51		4	0.96	0.98	1.04
Cl I	0	0.96	0.98	1.01	K I	0	0.43	1.16	2.02
	2	0.95	0.98	1.01		2	0.35	0.62	1.19
	4	0.95	0.98	0.99		4	0.33	0.45	0.69
N I	0	0.60	0.62	0.66	Ca I	0	0.08	0.46	1.36
	2	0.60	0.62	0.66		2	0.07	0.30	0.79
	4	0.60	0.62	0.66		4	0.04	0.27	0.62
O I	0	0.95	0.95	0.97	Ca II	0	0.34	0.43	0.57
	2	0.95	0.96	0.97		2	0.33	0.42	0.56
	4	0.95	0.96	0.97		4	0.31	0.38	0.52
Na I	0	0.32	0.68	1.53	Fe I	0	1.47	1.85	2.83
	2	0.31	0.41	0.81		2	1.47	1.78	2.36
	4	0.30	0.36	0.51		4	1.47	1.74	2.26
Mg I	0	0.00	0.02	0.30	Fe II	0	1.38	1.55	1.79
	2	0.00	0.00	0.09		2	1.38	1.54	1.79
	4	0.00	0.00	0.06		4	1.38	1.52	1.75
Al I	0	0.78	0.84	1.33	Fe III	0	1.40	1.42	1.49
	2	0.78	0.79	0.91		2	1.40	1.42	1.49
	4	0.78	0.73	0.82		4	1.40	1.42	1.49

\* The electron pressure is expressed in dyne cm<sup>-2</sup>.

Note in proof. A. N. Cox (1972) finds additive corrections as large as 2.3 for some entries.

Table Ionization Potentials.\* [C. E. Moore, 1970 (234).]

AT. NO.	ELEMENT	IONIZATION POTENTIAL (ELECTRON VOLTS)										IONIZATION POTENTIAL (ELECTRON VOLTS)										
		I	II	III	IV	V	VI	VII	VIII	IX	X	XI	XII	XIII	XIV	XV	XVI	XVII	XVIII	XIX	XX	
1	H	13.598																				
2	He	24.587	54.416																			
3	Li	5.392	75.638	122.451																		
4	Be	9.322	18.211	153.893	217.713																	
5	B	8.298	25.154	37.930	259.368	340.217																
6	C	11.260	24.383	47.887	64.492	392.077	489.981															
7	N	14.534	29.601	47.448	77.472	97.888	552.057	667.029														
8	O	13.618	35.116	54.934	77.412	113.896	138.116	739.315	871.387													
9	F	17.422	34.970	62.707	87.138	114.240	157.161	185.182	953.886	1,103.089												
10	Ne	21.564	40.962	63.45	97.11	126.21	157.93	207.27	239.09	1,195.797	1,362.164											
11	Na	5.139	47.286	71.64	98.91	138.39	172.15	208.47	264.18	299.87	1,465.091											
12	Mg	7.646	15.035	80.143	109.24	141.26	186.50	224.94	265.90	327.95	367.53	1,648.659										
13	Al	5.986	18.828	28.447	119.99	153.71	190.47	241.43	284.59	330.21	398.57	1,761.802	1,962.613									
14	Si	8.151	16.345	33.493	45.141	166.77	205.05	246.52	303.17	351.10	401.43	442.07	2,065.983	2,304.080								
15	P	10.486	19.725	30.18	51.37	65.023	220.43	263.22	309.41	371.73	424.50	476.06	523.90	2,437.676	2,673.108							
16	S	10.360	23.33	34.83	47.30	72.68	88.049	280.93	328.23	379.10	447.09	479.57	560.41	611.85	2,816.943	3,069.762						
17	Cl	12.967	23.81	39.61	53.46	67.8	97.03	114.193	148.28	400.05	455.62	504.78	564.65	651.63	707.14	3,223.836	3,494.099					
18	Ar	15.759	27.629	40.74	59.81	75.02	91.007	124.319	143.456	422.44	478.68	529.26	591.97	656.69	749.74	809.39	3,658.425	3,946.193				
19	K	4.341	31.623	45.72	60.91	82.66	100.0	117.56	175.814	503.44	538.93	618.24	686.09	755.73	854.75	918	4,120.778	4,426.114				
20	Ca	6.113	11.871	50.908	67.10	84.41	108.78	127.7	147.24	188.54	211.270	264.13	629.09	714.02	787.13	861.77	968	1,034	4,610.955	4,933.931		
21	Sc	6.54	12.80	24.76	73.47	91.66	111.1	138.0	158.7	190.02	225.32	591.25	656.39	726.03	816.61	895.12	974.02					
22	Ti	6.82	13.58	27.491	43.266	99.22	119.36	140.8	168.5	193.2	215.91	249.832	685.89	755.47	829.79	926.00						
23	V	6.74	14.65	29.310	46.707	63.23	128.12	150.17	173.7	205.8	230.5	265.23	291.497	787.33	861.33	940.36						
24	Cr	6.766	16.50	30.96	49.1	69.3	90.56	161.1	184.7	209.3	244.4	255.04	336.267	895.58	974.02							
25	Mn	7.435	15.640	33.667	51.2	72.4	93	119.27	196.46	221.8	240.3	270.8	298.0	355	384.30	1,010.64						
26	Fe	7.870	16.18	30.651	54.8	75.0	99	125	151.06	235.04	262.1	286.0	314.4	343.6	404	435.3	1,133.21					
27	Co	7.86	17.06	33.50	51.3	79.5	102	129	157	186.13	276	290.4	330.8	361.0	392.2	457	489.5	1,266.1				
28	Ni	7.635	18.168	35.17	54.9	75.5	108	133	162	193	224.5	305	336	379	411	444	512	546.8	1,403.0			
29	Cu	7.726	20.292	36.83	55.2	79.9	103	139	166	199	232	321.2	352	384	430	464	499	571	607.2	1,547		
30	Zn	9.394	17.964	39.722	59.4	82.6	108	134	174	203	238	266	368.8	401	435	484	520	557	633	671	1,698	
31	Ga	5.999	20.51	30.71	64							274	310.8	419.7	454	490	542	579	619	695	738	
32	Ge	7.899	15.934	34.22	45.71	93.5																
	As	9.81	18.633	28.351	50.13	62.63	127.6															
	Se	9.752	21.19	30.820	42.944	68.3	81.70	155.4														
33	Br	11.814	21.8	36	47.3	59.7	88.6	103.0	192.8													
34	Kr	13.999	24.359	36.95	52.5	64.7	78.5	110.0	126		230.9											
35	Rb	4.177	27.24	40	52.6	71.0	84.4	99.2	136	150	277.1											
36	Sr	5.695	11.030	43.6	57	71.6	90.8	106	122.3	162	177											
37	Y	6.38	12.24	20.52	62.8	77.0	93.0	116	129	146.2	191	324.1										
38	Zr	6.84	13.13	22.99	34.34	81.5						306	374.0									
39	Nb	6.88	14.32	25.04	38.3	50.55	102.6	125														
40	Mo	7.099	16.15	27.16	46.4	61.2	68	126.8	153													
41	Tc	7.28	15.26	29.54																		
42	Ru	7.37	16.76	28.47																		
43	Rh	7.46	18.08	31.06																		
44	Pd	8.34	19.43	32.93																		
45	Ag	7.576	21.49	34.83																		
46	Cd	8.993	16.908	37.48																		
47	In	5.786	18.869	28.03	54																	
48	Sn	7.344	14.632	30.502	40.734	72.28																
49	Sb	8.641	16.53	25.3	44.2	56	108															
50	Te	9.009	18.6	27.96	37.41	58.75	70.7	137														
51	I	10.451	19.131	33																		
52	Xe	12.130	21.21	32.1																		
53	Cs	3.894	23.11																			
54	Ba	5.212	10.004																			
55	La	5.577	11.06	19.175																		

Table (continued)

AT. NO.	ELEMENT	IONIZATION POTENTIAL (ELECTRON VOLTS)									
		I	II	III	IV	V	VI	VII	VIII	IX	X
58	Ce	5.47	10.85	20.20	36.72						
59	Pr	5.42	10.55	21.62	38.95	57.45					
60	Nd	5.49	10.72								
61	Pm	5.55	10.90								
62	Sm	5.63	11.07								
63	Eu	5.67	11.25								
64	Gd	6.14	12.1								
65	Tb	5.85	11.52								
66	Dy	5.93	11.67								
67	Ho	6.02	11.80								
68	Er	6.10	11.93								
69	Tm	6.18	12.05	23.71							
70	Yb	6.254	12.								

ESIM. 1 Kuinka suuri osa Ca - atomeista on ionisoitunut Siriksen atmosfäärisä, kun  $T = 10000 \text{ K}$  ja  $P_e = 300 \text{ dyn/cm}^2$ ? (Vertailun vuoksi todettakoon, että  $1 \text{ bar} = 10^6 \text{ dyn/cm}^2$ )

$$\text{Ca I : } \chi_o = 6.11 \text{ eV}$$

$$u_o(10000\text{K}) = 4.7$$

$$\text{Ca II: } u_1(10000\text{K}) = 3.55$$

Sahan yhtälö :

$$\frac{N_1 \cdot P_e}{N_o} = 0.331 \times T^{5/2} \times \frac{2 u_1}{u_o} \times 10^{-\frac{5040}{T} \chi_o [\text{eV}]}$$

$$\frac{N_1}{N_o} = \frac{1}{300} \times 0.331 \times 10^{4 \cdot \frac{5}{2}} \times 1.51 \times 10^{-0.504 \times 6.11}$$

$$\underline{\underline{\frac{N_1}{N_o} = 1.4 \times 10^4}}$$

Todetaan, että lähes kaikki Ca - atomit ovat kerran ionisoituneet (Ca II).

ESIM. 2 Kuinka suuri on kahdesti ionisoituneen kalsiumin osuus Siriksen atmosfäärisä (jatkoa edelliseen tehtävään). Määritä myös ionien suhteelliset osuudet.

$$\text{Ca II : } \chi_1 = 11.87 \text{ eV}$$

$$\text{Ca III : } u_2 = 1.0$$

$$\frac{N_2 \cdot P_e}{N_1} = 0.331 \times 10^{4 \cdot \frac{5}{2}} \times 0.56 \times 10^{-0.504 \times 11.87} = 1930$$

$$\Rightarrow \underline{\underline{\frac{N_2}{N_1} = \frac{1930}{300} = 6.4}}$$

$$\text{Jakauma : Ca I : } N_o = \frac{N_1}{1.4 \times 10^4} \approx 10^{-4} N_1$$

$$\text{Ca II : } N_1$$

$$\text{Ca III : } N_2 = 6.4 N_1$$

$$\text{Ca IV : erittäin vähän}$$

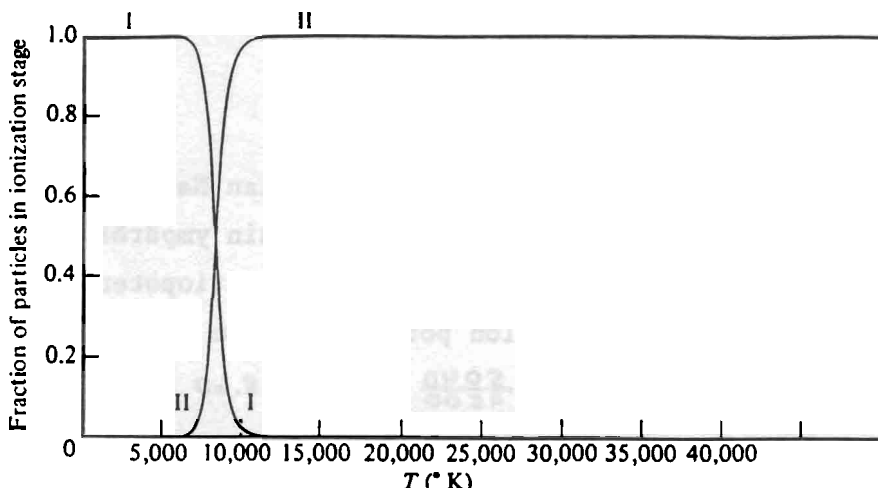
$$(\text{Ca III : } \chi_2 = 51.2 \text{ eV} \Rightarrow 10^{-0.504 \times 51.2} \approx 10^{-26})$$

$$N \approx N_1 + N_2 = 7.4 N_1$$

$$\text{Ca II:n osuus on } \underline{\underline{N_1/N \approx 13 \%}}$$

$$\text{Ca III:n osuus on } \underline{\underline{N_2/N \approx 87 \%}}$$

ESIM. 3 Vedyn sekä heliumin ionisoituminen lämpötilan funktiona,  
kun  $P_e = 10 \text{ dyn/cm}^2$

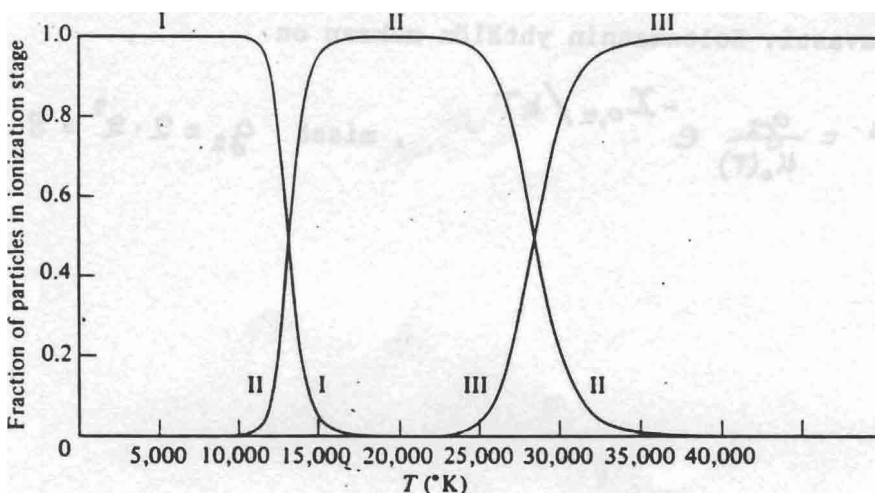


**Fig.** Ionization of Hydrogen. An electron pressure  $P_e = 10 \text{ dynes cm}^{-2}$  is assumed. For this electron pressure, hydrogen is almost completely neutral at temperatures below  $6,000^\circ\text{K}$  and almost completely ionized above  $11,000^\circ\text{K}$ .

**Table** Ionization of Hydrogen ( $P_e = 10 \text{ dyne cm}^{-2}$ ).

$T$	$\frac{N_{II}}{N_I}$	$\frac{N_I}{N_I + N_{II}}$	$\frac{N_{II}}{N_I + N_{II}}$
4,000°K	$2.46 \times 10^{-10}$	1.000	$0.246 \times 10^{-9}$
6,000	$3.50 \times 10^{-4}$	1.000	$0.350 \times 10^{-3}$
8,000	$5.15 \times 10^{-1}$	0.660	0.340
10,000	$4.66 \times 10^{+1}$	0.0210	0.979
12,000	$1.02 \times 10^{+3}$	0.000978	0.999
14,000	$9.82 \times 10^{+3}$	0.000102	1.000
16,000	$5.61 \times 10^{+4}$	$0.178 \times 10^{-4}$	1.000
18,000	$2.25 \times 10^{+5}$	$0.444 \times 10^{-5}$	1.000
20,000	$7.05 \times 10^{+5}$	$0.142 \times 10^{-5}$	1.000

**Fig.** Ionization of Helium. An electron pressure  $P_e = 10 \text{ dynes cm}^{-2}$  is assumed. For this electron pressure, helium is almost completely neutral at temperatures below  $10,000^\circ\text{K}$ , once ionized in the neighborhood of  $20,000^\circ\text{K}$ , and almost entirely twice ionized above  $37,000^\circ\text{K}$ .



### 2.3.8 Ionisaatioyhtälön verifiointi

#### a) Auringonpilkut

$$\begin{array}{l} \text{Auringonpilkussa } T_{\text{spot}} = 4500\text{K} \\ \text{ympäristössä } T_{\text{phot}} = 5740\text{K} \end{array} \quad \left. \right\} \Delta T = 1200\text{K}$$

Havainnot osoittavat, että neutraalien alkuaineittan Na, K, Ca viivat ovat tuntuvasti voimakkaammat auringonpilkuissa kuin ympäröivässä fotosfääriissä. Koska kyseisten alkuaineitten ionisaatiopotentiaalit ovat luokkaa 4-6 eV, on Sahan yhtälön potenssilauseke

$$\text{auringonpilkun tapauksessa } 10^{-\frac{5040}{4500} \cdot 5} = 10^{-5.60}$$

$$\text{otosfäärin tapauksessa } 10^{-\frac{5040}{5740} \cdot 5} = 10^{-4.49}$$

Tätten ionisaatiosuhde  $N_1/N_0$  auringonpilkussa eroaa huomattavasti vastaavasta suhteesta ympäröivässä fotosfääriissä, mikä on sopusoinnussa havaintojen kanssa.

#### b) Spektriluokituksen selittäminen ionisaation ja virityksen avulla

Sahan ja Boltzmannin kaavoja voidaan käyttää lämpötilaindikaattoreina, kun elektronipaine oletetaan tunnetuksi, ~~ja~~ kasteltaessa spektriviivoja, joiden lähtötasona on viritystila (esim. vedyn Balmer-sarjan lähtötason  $n=2$ ) on huomioitava seuraavat vaikutukset:

- 1) Lämpötilan noustessa viritystilan miehitys kasvaa
- 2) Lämpötilan noustessa seuraavan ionisaatioasteen osuus kasvaa, minkä seurauksena em. viritystilan miehitys vähenee.

ESIM. Vedyn Balmer-sarjan viivat:

Viritystilassa  $n=2$  olevien atomien osuus neutraalivedystä saadaan seuraavasti. Boltzmannin yhtälön mukaan on

$$\frac{N_{o,2}}{N_o} = \frac{g_2}{U_o(T)} e^{-\chi_{o,2}/kT}, \text{ missä } g_2 = 2 \cdot 2^2 = 8$$

Sahan yhtälöstä saadaan  $N_1$ :

$$N_1 = \frac{N_0}{P_e} \frac{(2\pi m)^{3/2} (kT)^{5/2}}{\hbar^3} \frac{g_{u_1(T)}}{u_o(T)} e^{-\chi_o/kT}, \text{ missä } \chi_o = 13.6 \text{ eV}$$

Viritystilassa  $n=2$  olevien atomien osuus kaikesta vedystä on siten

$$\frac{N_{0,2}}{N_0 + N_1} = \frac{N_{0,2}}{N_0} \frac{N_0}{N_0 + N_1} = \frac{N_{0,2}}{N_0} \cdot \frac{1}{1 + \frac{N_1}{N_0}}$$

Olettamalla elektronipaineeksi  $P_e = 10 \text{ dyn/cm}^2$  saadaan seuraavat lukusuhteet

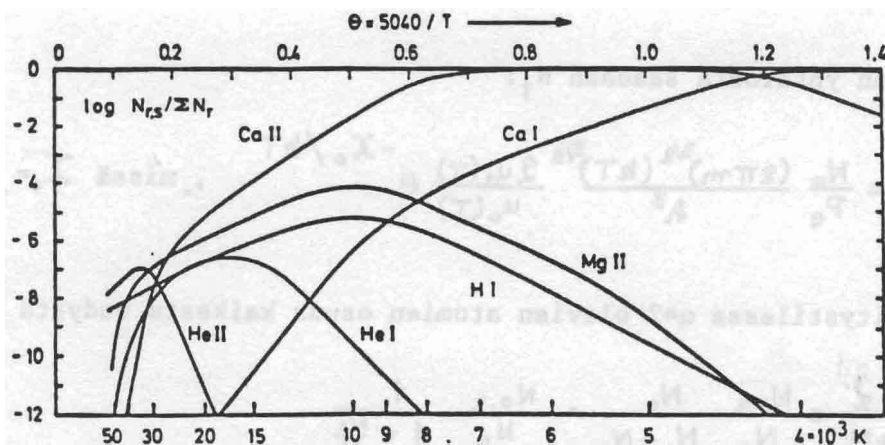
$T \text{ [K]}$	$\frac{N_{0,2}}{N_0}$	$\frac{N_0}{N_0 + N_1}$	$\frac{N_{0,2}}{N_0 + N_1}$
4000	$5.62 \cdot 10^{-13}$	1.000	$5.62 \cdot 10^{-13}$
6000	$1.08 \cdot 10^{-8}$	1.000	$1.08 \cdot 10^{-8}$
8000	$1.50 \cdot 10^{-6}$	0.660	$0.99 \cdot 10^{-6}$
10000	$2.89 \cdot 10^{-5}$	0.021	$0.61 \cdot 10^{-6}$
12000	$2.08 \cdot 10^{-4}$	$0.978 \cdot 10^{-3}$	$0.20 \cdot 10^{-6}$
14000	$8.51 \cdot 10^{-4}$	$1.02 \cdot 10^{-4}$	$8.68 \cdot 10^{-8}$
16000	$2.45 \cdot 10^{-3}$	$1.78 \cdot 10^{-5}$	$4.36 \cdot 10^{-8}$
18000	$5.57 \cdot 10^{-3}$	$4.44 \cdot 10^{-6}$	$2.47 \cdot 10^{-8}$
20000	$1.08 \cdot 10^{-2}$	$1.42 \cdot 10^{-6}$	$1.53 \cdot 10^{-8}$

Vastaavasti voidaan laskemalla osoittaa, että Ca I 4227-viiva on voimakas kylmissä tähdissä spektriluokkaan F0 saakka.

$$T_{\text{eff}}(\text{F0}) = 7350 \text{ K : } \frac{N_1}{N_0} \approx 500$$

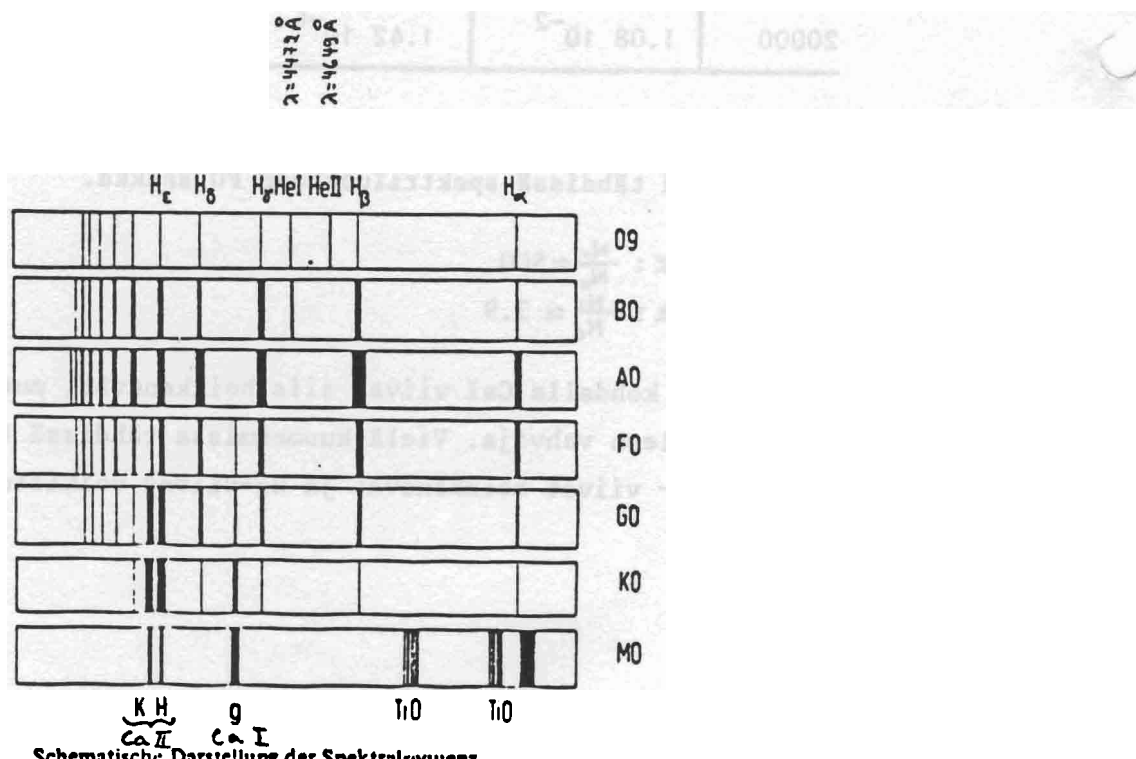
$$T_{\text{eff}}(\text{G0}) = 6050 \text{ K : } \frac{N_1}{N_0} \approx 3.9$$

Spektriluokan F0 kohdalla CaI viivat siis heikkenevät, mutta CaII viivat ovat edelleen vahvoja. Vielä kuumemmissä tähdissä ( $T > 10000 \text{ K}$ ) CaIII ja H- ja K- viivat heikkenevät ja He-viivat voimistuvat.



**Abb.** Thermische Ionisation (17.13) und Anregung (17.6) als Funktion der Temperatur  $T$  bzw.  $\Theta = 5040/T$  für einen Elektronendruck  $P_e = 100 \text{ dyn/cm}^2$  ( $\sim$  Mittelwert für Sternatmosphären). Die Temperaturskala überdeckt den ganzen Bereich von den O-Sternen (links) bis zu den M-Sternen (rechts). Die Sonne (G2) wäre etwa bei  $T = 5800^\circ\text{K}$  einzuordnen. Unsere Kurven veranschaulichen die von M. N. Saha 1920 gegebene Deutung der Harvard-Sequenz der Spektraltypen (Abschn. 15): Zum Beispiel ist Wasserstoff (III) bis  $T \approx 10000^\circ\text{K}$  vorwiegend neutral; die Anregung des 2. Quantenzustandes, von dem aus die Balmerlinien im sichtbaren Spektralgebiet absorbiert wurden, nimmt mit  $T$  zu. Oberhalb  $T = 10000^\circ\text{K}$  wird der Wasserstoff rasch wegionisiert. So versteht man, daß die Wasserstofflinien ihr Intensitätsmaximum bei den A0-Sternen mit  $T \approx 10000^\circ\text{K}$  haben

Spektrum	Ionisationsspannung $\chi_0 \text{ eV}$	Angeregter Zustand und Anregungsspannung $\chi_{r,s} \text{ eV}$
H I	13.60	$n=2$ ; 10.15
He I	24.59	$2^3 \text{P}^0$ ; 20.87 $\lambda(\text{He I}) = 4479 \text{ Å}$
He II	54.42	$n=3$ ; 48.16
Mg I	7.65	—
Mg II	15.03	$3^2 \text{D}$ ; 8.83
Ca I	6.11	$4^1 \text{S}$ ; 0.00 $\lambda(\text{Ca I}) = 4927 \text{ Å}$
Ca II	11.87	$4^2 \text{S}$ ; 0.00



**Abb.** Schematische Darstellung der Spektralsequenz.

c) Luminositeettiefektit

Sahan yhtälön mukaisesti  $N_{i+1}/N_i$  on kääntäen verrannollinen elektroni-  
tiheyteen  $N_e$ . Täten saadaan erilainen luminositeettitulookka tähdille,  
joilla sama pintalämpötila, mutta jotka läpimitaltaan poikkeavat  
huomattavasti toisistaan :

jättiläistähti (tiheys pieni) : pieni  $N_e \Rightarrow$  tehokkaampi ionisaatio:  $\frac{N_{i+1}}{N_i}$  suuri  
kääpiö (suuri tiheys) : suuri  $N_e \Rightarrow N_{i+1}/N_i$  pieni

ESIM. 1  $T_{\text{eff}}$  (◎) = 5750K: kääpiö, Sp G2

$T_{\text{eff}}$  (\*) = 5750K: jättiläinen, Sp F8

<u>ESIM. 2</u>	$T_{\text{eff}}$	$P_e$ [dyn/cm <sup>2</sup> ]	CaI/Ca(total)
M4 kääpiö	3150K	0.5	0.82
M4 jättiläinen	3150K	0.008	0.07

CaI 4227-viiva on hyvä luminositeettiindikaattori (kts. kuvaaa alla)

HUOM. Luminositeettikriteerit ovat yleensä empiirisellä pohjalla, eivätkä  
aina noudata Sahan yhtälöä edes kvalitatiivisesti.

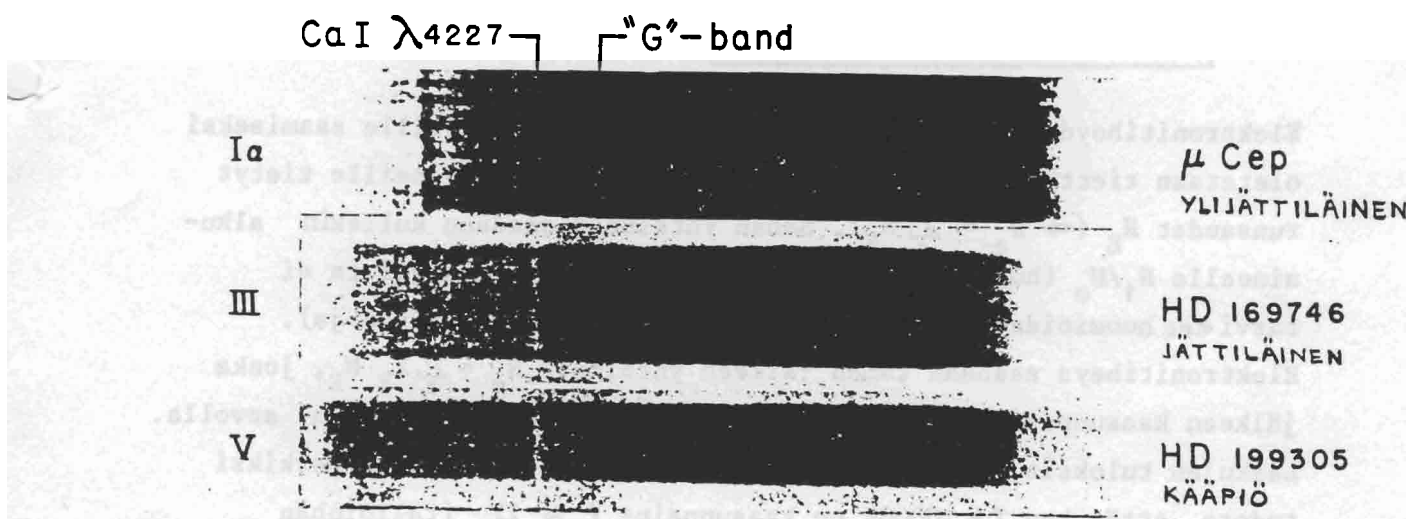


FIG. COMPARISON OF THE Ca I LINE,  $\lambda 4227$ , IN DWARFS, GIANTS, AND SUPERGIANTS OF SPECTRAL CLASS M2

The symbols Ia, III, and V denote the luminosity class of the star in the classification scheme of the Morgan-Keenan-Kellman *Atlas of Stellar Spectra*. The supergiant  $\mu$  Cephei is one of the brightest stars known, HD 169746 is a giant, and HD 199305 is a dwarf. Notice that the Ca I line,  $\lambda 4227$ , the most conspicuous feature in the dwarf spectrum, steadily weakens in stars of increasing luminosity, until in  $\mu$  Cephei it is weaker than the lines on either side. The red edge of the "G-band,"  $\lambda 4308$ , strengthens in the brighter stars. (Courtesy, P. C. Keenan and J. J. Nassau, *Ap. J.* 104, 458, 1946, University of Chicago Press.)

### 2.3.9 Kaasun paineen ja elektronipaineen välinen riippuvuus

Vedyn ionisaatiopotentiaali  $\chi_o(H)$  on 13.6 eV ja "metallien" ionisaatiopotentiaali  $\chi_o(\text{metallit})$  on 4.5-7.0 eV. Kylmämissä tähtiatmosfääreissä ( $T \lesssim 8000\text{K}$ ) tuottavat siten "metallit" pääosan atmosfäärin vapaista elektroneista. Kuumemmissa tähdissä ( $T \gtrsim 10000\text{K}$ ) vety puolestaan vastaa elektronien tuotosta.

Merkitään

$$N_{0,E} = \text{alkuaineen E neutraalien atomien lukumäärä}$$

$$N_{1,E} = \text{kertaalleen ionisoituneiden alkuaineen E atomien lukumäärä}$$

$$N_E = N_{0,E} + N_{1,E} \approx \text{alkuaineen E atomien kokonaismäärä}$$

$$X_E = (N_{1,E}/N_E) = \text{alkuaineen E ionisaatioaste}$$

$$N_a = \sum_E N_E = \text{kaikkien atomien lukumäärä}$$

$$N_e = X_1 \cdot N_1 + X_2 \cdot N_2 + \dots = \sum E X_E \cdot N_E = \text{elektronien kokonaismäärä}$$

$$\text{Elektronipaine } P_e = N_e kT$$

$$\text{Kaasun paine } P_g = N kT = (N_a + N_e) kT$$

$$\Rightarrow \frac{P_g}{P_e} = \frac{N_a + N_e}{N_e} = \frac{1 + N_e/N_a}{N_e/N_a}$$

Elektronitiheyden  $N_e$  ja atömiensä kokonaismäärän  $N_a$  selville saamiseksi oletetaan tietty lämpötila, elektronipaine sekä alkuaineille tietyt runsaudet  $N_E$  ( $\Rightarrow N_a = \sum_E N_E$ ). Sahan yhtälöstä saadaan kullekin alkuaineelle  $N_1/N_0$  (huom. korkeamman kuin 1. asteen ionisaatiota ei tarvitse huomioida, koska nämä tuottavat niukasti elektroneja).

Elektronitiheys saadaan tämän jälkeen yhtälöstä  $N_e = \sum_E X_E \cdot N_E$ , jonka jälkeen kaasupaine voidaan laskea kullekin elektronipaineen arvolla.

Laskujen tuloksia esitetty kuvassa 3-9. Kuvasta voidaan esimerkiksi todeta että, kun  $T \gtrsim 10000\text{K}$  on kaasupaine  $P_g \approx 2P_e$  (tällöinhän  $X_H \approx 1$  ja  $N_e \approx N_a \Rightarrow P_g/P_e = (1 + N_e/N_a)/(N_e/N_a) \approx 2$ ).

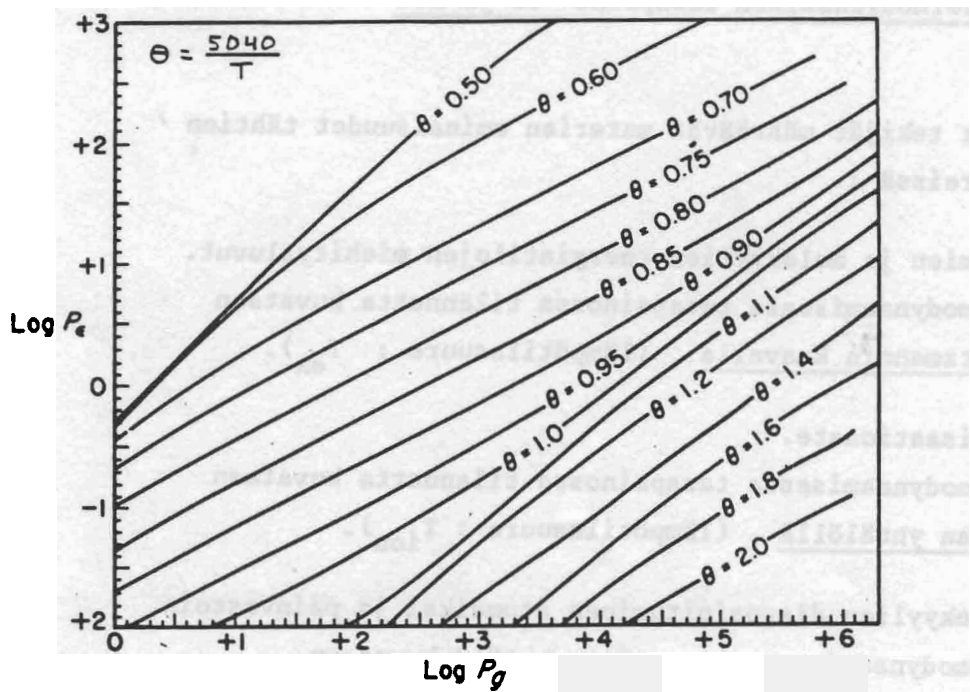


FIG. THE RELATION BETWEEN GAS PRESSURE, ELECTRON PRESSURE, AND TEMPERATURE FOR NORMAL COMPOSITIONS,  $P_e(P_g, T)$   
(Courtesy Anne and Charles Cowley.)

ESIM. Oletetaan, että alkuaine E vastaa yksin elektronien tuotosta.

$$N_E = \frac{g_E}{m_E} = N_I(E) + N_{II}(E) = N_I(E) + N_e$$

Sahan yhtälö antaa suhteen

$$\frac{N_{II}(E)}{N_I(E)} = \underbrace{\frac{N_e}{N_I(E)}}_{\text{ }} = \frac{N_E - N_I(E)}{N_I(E)}$$

$\Rightarrow N_I(E)$  voidaan ratkaista

$$\Rightarrow N_e = N_E - N_I(E)$$

$$\Rightarrow P_e = N_e kT$$

$$\Rightarrow P_g = (N_a + N_e) kT$$

, missä  $N_a = \frac{g}{m} = \frac{g}{A \cdot m_H}$   
 $A$  = kaasuseoksen keskimääräinen molekyylipaino

$m_H$  = vetyatomien massa

### 2.3.10 Termodynäaminen tasapaino TE ja LTE

Seuraavat tekijät määrittelevät materiaan ominaisuudet tähtien atmosfääreissä :

1. Atomien ja molekyylien energiatilojen miehitysluvut.  
Termodynäamisessa tasapainossa tilannetta kuvataan Boltzmannin kaavalla (lämpötilasuure :  $T_{ex}$ ).
2. Ionisaatioaste.  
Termodynäamisessa tasapainossa tilannetta kuvataan Sahan yhtälöllä (lämpötilasuure :  $T_{ion}$ ).
3. Molekyylien dissosioituminen atomeiksi ja päinvastoin.  
Termodynäamisessa tasapainossa tästä kuvataan dissosiaatiokaavalla (lämpötilasuure :  $T_{diss}$ )
4. Atomien ja elektronien nopeusjakautumat.  
Termodynäamisessa tasapainossa tästä kuvataan Maxwellin nopeusjakautumalla (lämpötilasuure :  $T_{kin}$ ).
5. Kaasun säteilyintensiteetin aallonpituuksiriippuvuus.  
Termodynäamisessa tasapainossa tästä kuvataan Planckin säteilylain avulla (lämpötilasuure : mustan kappaleen lämpötila  $T_{bb}$ ).

Termodynäamisessa tasapainotilassa kaikki yllä luetellut ominaisuudet seuraavat yksikäsitteisesti kemiallisesta koostumuksesta, tiheydestä ja lämpötilasta, joka on vakio koko tarkasteltavassa alueessa.

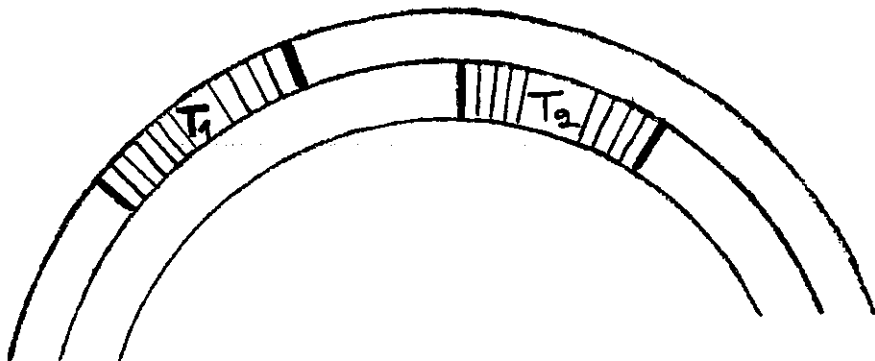
Termodynäamisessa tasapainossa TE (thermal equilibrium) :

$$T_{ex} = T_{ion} = T_{diss} = T_{kin} = T_{bb}$$

Jokaista prosessia vastaa yhtä nopeasti tapahtuva vastakkais-suuntainen prosessi.

Paikallisessa termodynamiassa tasapainossa LTE (local thermodynamic equilibrium) vallitsee TE vain tiettyssä rajoitetussa osa-alueessa.

ESIM. TE pätee vain osassa tiettyä atmosfäärikerrosta :



Termodynamiassa epätasapainossa (non-LTE) edellä mainitut lämpötilat poikkeavat toisistaan myös paikallisesti.

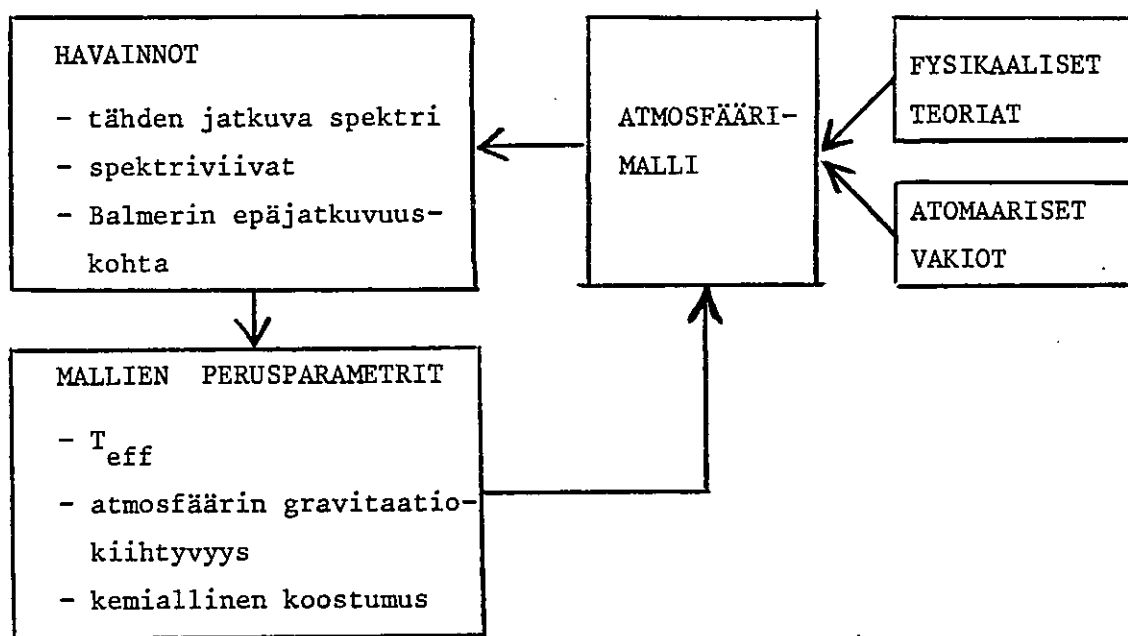
$$T_{\text{ex}} \neq T_{\text{ion}} \neq T_{\text{diss}} \neq T_{\text{kin}} \neq T_{\text{bb}}$$

ESIM. Maserlähteessä  $T_{\text{ex}} = 10^{13}$  K, mutta  $T_{\text{kin}} < 1000$  K.

## 2.4 TÄHTIEN ATMOSFÄÄRIMALLIEN LASKEMINEN

Probleema : Miten lämpötila, paine, tiheys ja geometrinen syvyys  $x$  riippuvat atmosfäärin optisesta syvyydestä  $\tau$  ?

Atmosfäärimallin syntyprosessia kuvaava seuraava kaaviokuva :



Atmosfäärimalli lasketaan iterointiteknikalla. Perusparametreille  $T_{eff}$ ,  $g$  ja kemialliselle koostumukselle otetaan tietyt lähtöarvot. Teoreettisten laskujen tuloksena saadaan ennusteet tähdestä ulostulevan säteilyvuon tiheydelle, Balmerin epäjatkuvuudelle sekä absorptioviivojen intensiteetille ja profileille. Vertaan näitä teoreettisia ennusteita havaintoihin voidaan mallia parantaa

- 1) muuttamalla lähtöparametrien arvoja

(reunaehdot :  $\int_{-\infty}^{\infty} \bar{F}_v(\tau_0) dv = \text{const.}$ , ts. säteilyn kokonaistehon pysyttävä vakiona atmosfäärin eri kerroksissa)

- 2) muuttamalla teoreettisia oletuksia

(esim. poikkeamat LTE:stä sekä tähden rotaation ja konvektiovirtausten huomioiminen).

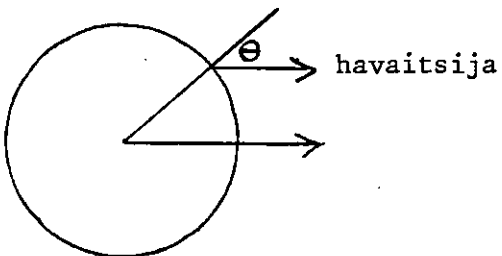
Ensimmäisessä approksimaatiossa oletetaan myös ns. harmaa atmosfääri, jossa keskimääräinen absorptiokerroin  $\bar{k}$  ei riipu aallonpituuudesta. Keskimääräisten absorptiokertoimien määritelmät esitetään luvussa 2.5.4f.

HUOM. Atmosfäärimallit ovat lähtökohtana laskettaessa tähtien teoreettisia spektriviivoja. Kun suureitten  $T$ ,  $P_g$ ,  $P_e$ ,  $S$  ja  $k$ , riippuu atmosfäärin optisesta syvyydestä tunnetaan, voidaan laskea alkuaineen ionisaatioaste sekä viiva-absorptiokerroin atmosfäärin eri syvyyksissä.

Seuraavassa esitetään Auringon sekä varhaisen spektriluokan tähden atmosfäärimallin laskemisen pääperiaatteet.

#### 2.4.1 Lämpötilajakautuman $T(\tau_\lambda)$ empiirinen määritys Auringon atmosfäärisä

Auringon reunatummumisen johdosta saadaan riippuuus  $T = T(\tau)$  suoraan havainnoista.



Säteilynkuljetusyhtälön ratkaisu Eddingtonin approksimaatiossa antoi seuraavat yhteydet (kts. lukua 2.2.6b)

$$I(0, \theta) = \int_0^\infty B_\lambda(\tau_\lambda) e^{-\tau_\lambda \sec \theta} \sec \theta d\tau_\lambda$$

$$\tau_\theta = \cos \theta$$

Auringon kiekon keskeltä havaittu valo tulee siis keskimäärin syvemmistä kerroksista kuin kiekon reunaosista havaittu valo. Reunatummumisesta seuraa, että atmosfäärin lämpötila kasvaa syvemmälle mentäessä.

$$I_\lambda(0, \theta) = \int_0^\infty B_\lambda(\tau_\lambda) e^{-\tau_\lambda \sec \theta} \sec \theta d\tau_\lambda \quad (\text{säteilynkuljetusyhtälön intensiteettilauseke})$$

Kun tämä normitetaan kiekon keskeltä tulevaan intensiteettiin  $I(0,0)$ , saadaan funktio

$$\phi_\lambda(\theta) = \frac{I_\lambda(0, \theta)}{I_\lambda(0, 0)} = \int_0^\infty b_\lambda(\tau_\lambda) e^{-\tau_\lambda \sec \theta} \sec \theta d\tau_\lambda$$

$$\text{missä } b_\lambda = \frac{B_\lambda(\tau_\lambda)}{I_\lambda(0, 0)}$$

Koska Aurinkon pinnan säteily tulee keskimäärin syvyydestä  $\bar{\tau}_\lambda = \cos \theta$ , ei havainnoista saada suoraan tietoa atmosfäärin syvemmistä kerroksista. Tässä rajoitetussa pintakerroksessa ( $\bar{\tau} \leq 2$ ) voidaan olettaa:

$$b_\lambda(\bar{\tau}_\lambda) = A_\lambda + B_\lambda \bar{\tau}_\lambda + C_\lambda E_\lambda(\bar{\tau}_\lambda), \text{ missä } E_\lambda(\bar{\tau}_\lambda) = \int_1^\infty \frac{e^{-\bar{\tau}_\lambda \cdot y}}{y^2} dy$$

Sijoittamalla tämä lausekkeeseen  $\phi_\lambda(\theta)$  ja integroimalla saadaan

$$\phi_\lambda(\cos \theta) = A_\lambda + B_\lambda \cos \theta + C_\lambda \left[ 1 - \cos \theta \cdot \ln \left( 1 + \frac{1}{\cos \theta} \right) \right]$$

Sovittamalla  $\phi_\lambda(\cos \theta)$  havaintoihin saadaan vakiot  $A_\lambda$ ,  $B_\lambda$ ,  $C_\lambda$  ja siten myös  $b_\lambda(\bar{\tau}_\lambda)$ .

Edelleen saadaan Planckin funktio:

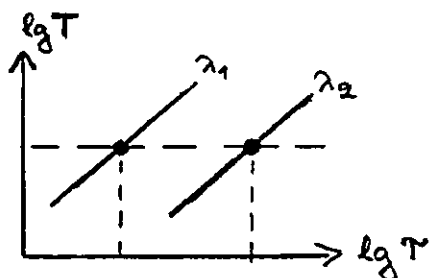
$$\left. \begin{aligned} B_\lambda[T(\bar{\tau}_\lambda)] &= b_\lambda(\bar{\tau}_\lambda) \cdot \underbrace{I_\lambda(0,0)}_{\text{havainnoista}} \\ B_\lambda[T(\bar{\tau}_\lambda)] &= \frac{2 h v^3}{c^3} \frac{1}{e^{hv/RT} - 1} \end{aligned} \right\} \Rightarrow T = T(\bar{\tau}_\lambda)$$

Tämä empiirinen menetelmä antaa tulokseksi:

$$T_0 \approx 4000 \text{ K}$$

$$T(\bar{\tau}=2) \approx 7000 \text{ K}$$

HUOM. Eri aallonpituuksilla on havaittu  $\phi_\lambda$  erilainen ja siten myös  $T(\bar{\tau}_\lambda)$ -käyrät poikkeavat toisistaan:



Kuvion käyrien ja vaakasuoran viivan leikkauuspisteet antavat riippuvuuden

$$\bar{\tau}_\lambda = \tau(\lambda)$$

Koska  $\bar{\tau}$  riippuu aallonpituuudesta, on standardiaallonpituuudeksi valittu  $\lambda_0 = 5000 \text{ \AA}$ . Lisäksi merkitään  $\bar{\tau}_{5000 \text{ \AA}} = \bar{\tau}_0$ .

#### 2.4.2 Auringon fotosfäärimallin laskeminen

##### a) Riippuvuuden $T = T(\bar{\tau})$ laskeminen

Säteilykuljetusyhtälön ratkaisu Eddingtonin approksimaatiossa antoi tulokseksi:

$$\gamma(\tau) = H(2 + 3\tau)$$

LTE:ssä on :

$$\gamma(\tau) = B(T) = \frac{5}{\pi} T^4(\tau)$$

$T_{\text{eff}}$  puolestaan määritellään:

$$F = \int_{-\infty}^{\infty} F_\nu d\nu = \sigma T_{\text{eff}}^4 = 4\pi H$$

$$\Rightarrow T^4(\bar{\tau}) = \frac{1}{2} T_{\text{eff}}^4 \left(1 + \frac{3}{2} \bar{\tau}\right) \quad | \text{ sij. } T_{\text{eff}}$$

$$\Rightarrow T(\bar{\tau}) = 4879 \left(1 + \frac{3}{2} \bar{\tau}\right)^{\frac{1}{4}}$$

Huom. Merkintäsopimus :  $\bar{\tau} = - \int k dx$

Alla olevassa taulukossa on esitetty Auringon fotosfäärimallin antama  $T(\bar{\tau})$  riippuvuus.

Table 9-1  $T(\bar{\tau})$  and  $\theta(\bar{\tau})$ .

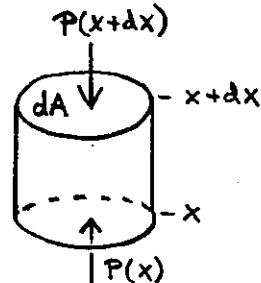
$\bar{\tau}$	$T(^{\circ}\text{K})$	$\theta = \frac{5040}{T}$	$\bar{\tau}$	$T(^{\circ}\text{K})$	$\theta = \frac{5040}{T}$
0.050	4967.9	1.0145	0.55	5670.7	0.8888
0.075	5010.7	1.0058	0.60	5728.1	0.8799
0.100	5052.4	0.9975	0.65	5783.8	0.8714
0.125	5093.1	0.9896	0.70	5838.0	0.8633
0.150	5132.8	0.9819	0.75	5890.6	0.8556
0.175	5171.7	0.9745	0.80	5941.9	0.8482
0.200	5209.6	0.9674	0.85	5991.9	0.8411
0.225	5246.8	0.9606	0.90	6040.7	0.8343
0.250	5283.2	0.9540	0.95	6088.4	0.8278
0.275	5318.9	0.9476	1.00	6134.9	0.8215
0.300	5353.8	0.9414	1.10	6224.9	0.8097
0.325	5388.1	0.9354	1.20	6311.2	0.7986
0.350	5421.7	0.9296	1.30	6394.1	0.7882
0.375	5454.8	0.9240	1.40	6473.8	0.7785
0.400	5487.2	0.9185	1.50	6550.8	0.7694
0.425	5519.1	0.9132	1.60	6625.1	0.7607
0.450	5550.4	0.9080	1.70	6697.0	0.7526
0.475	5581.2	0.9030	1.80	6766.6	0.7448
0.500	5611.5	0.8982	1.90	6834.2	0.7375
			2.00	6899.8	0.7305

b) Riippuvuuden  $P = P_g(\bar{r})$  laskeminen

Auringon fotosfääriissä on säteilypaine merkityksetön, joten kokonais-paine  $P = P_g + P_{rad} \approx P_g$ .

Hydrostaattisessa tasapainossa on

$$\begin{aligned} dP_g dA &= -g dm \\ &= -g s dx dA \\ \Rightarrow dP_g &= -g s dx \end{aligned}$$



Koska monissa tähdissä fotosfäärikerros on varsin ohut, voidaan olettaa, että gravitaatiokiihtyvyys pysyy vakiona tässä kerroksessa.

$$g = \frac{GM}{R^2}, \text{ missä } M = \text{tähden massa} \\ R = \text{tähden säde}$$

Yhtälöparissa

$$\begin{cases} \frac{dP(x)}{dx} = -g s(x) & (\text{hydrostaattinen tasapaino}) \\ P(x) = \frac{k}{m} s(x) T(x) & (\text{ideaalikaasun tilanyhtälö}) \end{cases}$$

on kolme tuntematonta funktiota:  $P(x)$ ,  $s(x)$  ja  $T(x)$ . Koska riippuvuus  $T = T(\bar{r})$  voidaan johtaa säteilynkuljetuksen teoriasta, pyritään seuraavassa myös muut suureet ilmoittamaan optisen syvyyden funktioina.

$$\begin{cases} dP_g = -g s dx \\ d\bar{r} = -\bar{k} s dx \quad (\text{miinus, koska } \bar{r} \text{ ja } x \text{ kasvavat vastakkaisuuntaisesti}) \\ \Rightarrow \frac{dP_g}{d\bar{r}} = \frac{g}{\bar{k}} \quad | \cdot 2P_g d\bar{r} \\ 2P_g dP_g = 2 \frac{g}{\bar{k}} P_g d\bar{r} \quad | \int \\ \Rightarrow P_g^2(\bar{r}) = 2g \int_0^{\bar{r}} \frac{P_g(r)}{\bar{k}(P_g, r)} d\bar{r} = 2g \int \frac{P_g(r)}{\bar{k}(P_g, r)} \frac{d\bar{r}}{dr} dr \end{cases}$$

Tämä integraaliyhälö voidaan ratkaista numeerisesti, kunhan keskimääräinen absorptiokerroin  $\bar{k}$  tunnetaan (kts. luku 2.5.4).

Oletetaan, että pääasiallisesti  $H^-$  ja H aiheuttavat absorptiota Aurinkon atmosfärissä.

Keskimääräinen absorptiokerroin yhtä vetygrammaa kohti  $[cm^2/g]$  lämpötilassa 5700 K on tällöin:

$$\bar{k}_\lambda = \frac{\epsilon_H}{m_H} (1 - x_H(\tau)) [P_e \bar{\alpha}_\lambda(H^-) + \bar{\alpha}_\lambda(H)]$$

missä  $\epsilon_H$  = H-atomien 1km/g vedyn massaosuus yhdessä kaasugrammassa

$m_H$  = vetyatomien massa

$x_H$  = vedyn ionisaatioaste

$P_e$  = elektronipaine

$\bar{\alpha}(H^-)$  =  $H^-$  ionin absorptiokerroin yhtä H-atomia kohden ja 1 dyn/cm<sup>2</sup> elektronipainetta kohden

$\bar{\alpha}(H)$  = vedyn atomaarinen absorptiokerroin

Ensimmäisessä approksimaatiossa voidaan olettaa :

$$\begin{cases} x_H \approx 0 \\ \bar{\alpha}(H) \ll P_e \bar{\alpha}(H^-) \end{cases}$$

$$\Rightarrow \bar{k}_\lambda = \frac{\epsilon_H}{m_H} P_e \bar{\alpha}_\lambda(H^-)$$

$$\Rightarrow \bar{P}_g^2(\bar{r}) = 2g \int_0^{\bar{r}} \frac{m_H P_\lambda d\bar{r}}{\epsilon_H P_e \bar{\alpha}(H^-)}$$

Luvussa 2.3.9 saatiin kaasu- ja elektronipaineen välille seuraava yhteyts:

$$\frac{P_g}{P_e} = \frac{(N_a + N_e) kT}{N_e kT} = \frac{N_a}{N_e} + 1$$

Kun oletetaan, että Aurinkon atmosfärissä metallit ( $Z \geq 3$ ) ovat yhden kerran ionisoituneita

( $\Rightarrow N_e \approx N_{\text{metallit}}$ ), niin

$$\frac{P_g}{P_e} = \frac{N_H + N_{He} + N_{\text{metallit}}}{N_{\text{metallit}}} + 1 = \frac{N_H}{N_{\text{met.}}} + \frac{N_{He}}{N_{\text{met.}}} + 2$$

Koska  $\frac{N_H}{N_{\text{metallit}}} \gg 1$ , voidaan luku 2 jättää yo.

yhtälös sä huomioimatta:

$$\frac{P_g}{P_e} \approx \frac{N_H}{N_{\text{met.}}} \left( 1 + \frac{N_{He}}{N_{\text{met.}}} \frac{N_{\text{met.}}}{N_H} \right) = \frac{N_H}{N_{\text{met.}}} \left( 1 + \frac{N_{He}}{N_H} \right)$$

$$\Rightarrow P_g^2(\bar{\tau}) = \frac{2 g m_H}{\varepsilon_H} \int_0^{\bar{\tau}} \frac{\frac{N_H}{N_{\text{met.}}} (1 + \frac{N_{\text{He}}}{N_H}) P_e}{P_e \bar{\alpha}_g(H^-)} d\tau$$

$$P_g^{(1)}(\bar{\tau}) = \left[ \frac{2 g m_H}{\varepsilon_H} \frac{N_H}{N_{\text{metallit}}} (1 + \frac{N_{\text{He}}}{N_H}) \int_0^{\bar{\tau}} \frac{d\tau}{\bar{\alpha}(H^-)} \right]^{\frac{1}{2}}, \text{ missä } \bar{\alpha}(H^-) = f[T(\bar{\tau})]$$

Numeerisen integroinnin tuloksesta saadaan riippuvuus  $P_g^{(1)} = P_g^{(1)}(\bar{\tau})$  ensimmäisessä approksimaatiossa.

Seuraavaa iterointikierrosta varten lasketaan elektronipaine  $P_e(\bar{\tau})$  käyttäämällä ensimmäisessä approksimaatiossa saatua kaasunpainetta  $P_g^{(1)}(\bar{\tau})$ . Tämä on mahdollista, koska  $P_g = P_g(P_e, T)$  tunnetaan annetulle kemialliselle koostumukselle.

$$\Rightarrow P_g^2(\bar{\tau}) = 2 g \int \frac{P_g^{(1)}}{k(P_g, T)} \frac{dT}{dT} dT$$

Koska riippuvuus  $T = T(\bar{\tau})$  tunnetaan, on myös  $dT/dT$  tunnettu, ja numeerisesti integroimalla saadaan riippuvuus  $P_g^{(2)} = P_g^{(1)}(\bar{\tau})$  toisessa approksimaatiossa. Näin menetellen voidaan iterointia jatkaa, kunnes peräkkäiset iterointikierrokset antavat tietyllä tarkkuudella saman riippuvuuden  $P_g = P_g(\bar{\tau})$ .

Riippuvuuden  $P = P(\bar{\tau})$  numeerinen integrointi on yksityiskohtaisesti esitetty E. Novotny oppikirjassa "Introduction to Stellar Atmospheres and Interiors" (luvut 9.1 ja 9.3-4).

NUMERICAL INTEGRATION OF THE SOLAR ATMOSPHERE

$\theta$	$\tau$	$\bar{\alpha}(H^-) \times 10^{24}$	$\bar{\alpha}(H) \times 10^{24}$	$\log P_g^0$	$\log P_g^1$	$\log P_g$
1.10	0.01	0.1221		3.750	3.744	3.74
1.05	0.04	0.1020		4.142	4.215	4.22
1.00	0.11	0.0838		4.368	4.426	4.44
0.95	0.22	0.0673	0.001	4.556	4.578	4.59
0.90	0.38	0.0547	0.005	4.720	4.710	4.72
0.85	0.68	0.0430	0.021	4.891	4.840	4.84
0.80	1.17	0.0334	0.081	5.048	4.957	4.95
0.75	1.87	0.0250	0.276	5.201	5.048	5.04
0.70	2.94	0.0185	0.977	5.350	5.119	5.10

c) Riippuvuuksien  $\xi(\bar{T})$  ja  $P_e(\bar{T})$  laskeminen

Kun  $T(\bar{T})$  ja  $P(\bar{T})$  tunnetaan saadaan tiheys  $\xi(\bar{T})$  suoraan ideaalikaasun tilan-yhtälöstää:

$$\xi(\bar{T}) = \frac{m}{k} \frac{P(\bar{T})}{T(\bar{T})}$$

Elektronipaineen  $P_e(\bar{T})$  määräämiseksi on laskettava ionisaatioaste jokaiselle alkuaineelle i tietyssä lämpötilassa  $T(\bar{T})$  ja tiheydessä  $\xi(\bar{T})$ .

Sahan ionisaatioyhtälön avulla saadaan elektronitiheys  $N_e(i)$  ja siten  $N_e$

$$\Rightarrow P_e(\bar{T}) = N_e k T$$

Table 9-6 Model Solar Atmosphere.

$T_{eff} = 5,802^{\circ}\text{K}$ ,  $g = 2.741 \times 10^4 \text{ cm sec}^{-2}$ ;  $X = 0.56$ ,  $Y = 0.41$ ,  $Z = 0.03$ .

$r$ (km)	$-x$ ( $^{\circ}\text{K}$ )	$T$ ( $^{\circ}\text{K}$ )	$\theta$	$P \times 10^{-4}$ (dyne $\text{cm}^{-2}$ )	$\rho \times 10^4$ ( $\text{gm cm}^{-3}$ )	$\bar{x}$	$P_e$ (dyne $\text{cm}^{-2}$ )	$(P_e/P) \times 10^4$
0.05	0*	4,968	1.0145	1.54	5.7	0.076	2.5	1.6
0.10	62	5,052	0.9975	2.88	10.4	0.128	4.5	1.6
0.15	91	5,133	0.9819	3.82	13.6	0.161	6.2	1.6
0.20	111	5,210	0.9674	4.61	16.1	0.191	7.7	1.7
0.25	124	5,283	0.9540	5.22	18.0	0.213	9.1	1.7
0.30	134	5,354	0.9414	5.77	19.7	0.236	10	1.8
0.35	144	5,422	0.9296	6.33	21.3	0.258	12	1.9
0.40	153	5,487	0.9185	6.84	22.7	0.280	13	2.0
0.45	160	5,550	0.9080	7.31	24.0	0.301	15	2.0
0.50	167	5,612	0.8982	7.75	25.2	0.322	17	2.2
0.55	172	5,671	0.8888	8.16	26.2	0.345	19	2.3
0.60	178	5,728	0.8799	8.55	27.2	0.368	21	2.4
0.65	183	5,784	0.8714	8.91	28.1	0.391	23	2.6
0.70	187	5,838	0.8633	9.25	28.9	0.418	25	2.7
0.75	191	5,891	0.8556	9.56	29.6	0.445	28	2.9
0.80	194	5,942	0.8482	9.86	30.3	0.471	29	3.0
0.85	198	5,992	0.8411	10.15	30.9	0.498	32	3.1
0.90	201	6,041	0.8343	10.41	31.5	0.526	35	3.3
0.95	204	6,088	0.8278	10.67	32.0	0.552	37	3.5
1.00	207	6,135	0.8215	10.91	32.5	0.577	40	3.7
1.10	212	6,225	0.8097	11.37	33.3	0.636	46	4.1
1.20	216	6,311	0.7986	11.78	34.0	0.700	55	4.7
1.30	220	6,394	0.7882	12.15	34.7	0.771	64	5.2
1.40	224	6,474	0.7785	12.49	35.2	0.855	72	5.8
1.50	227	6,551	0.7694	12.80	35.6	0.950	83	6.5
1.60	230	6,625	0.7607	13.07	36.0	1.060	95	7.2
1.70	232	6,697	0.7526	13.32	36.3	1.177	110	8.2
1.80	234	6,767	0.7448	13.54	36.5	1.298	120	9.1
1.90	236	6,834	0.7375	13.74	36.7	1.423	140	10
2.00	238	6,900	0.7305	13.92	36.8	1.549	160	11

d) Geometrisen syvyyden  $x$  ja optisen syvyyden  $\bar{\tau}$  välinen riippuvuus

Yhtälöparista  $\begin{cases} \frac{dP}{dx} = -g s & \text{(hydrostaattinen tasapaino)} \\ s = \frac{\bar{m}}{k} \frac{P}{T} & \text{(ideaalikaasun tilanyhtälö)} \end{cases}$

saadaan  $\frac{dP}{dx} = -g \frac{\bar{m}}{k} \frac{P}{T}$

$$\Rightarrow \frac{dP}{P} = -\frac{g \bar{m}}{k T} dx$$

$$\Rightarrow dx = -\frac{k T}{g \bar{m}} d(\ln P) \quad | S$$

$$\Rightarrow x(\bar{\tau}) = -\frac{k}{g \bar{m}} \int_0^{\bar{\tau}} T(\tau) d[\ln P_g(\tau)]$$

Täten  $x = x(P_g) \Rightarrow P_g = P_g(x)$   
 $P_g = P_g(\bar{\tau})$   $\Rightarrow x = x(\bar{\tau})$

Yllä olevan lausekkeen  $x(\bar{\tau})$  numeerinen integrointi on esitetty Novotnyn oppikirjassa (luku 9.5).

Optisen syvyyden ollessa suurempi kuin 0.6 voidaan myös käyttää yhtälöä

$$d\bar{\tau} = -\bar{k} s dx \Rightarrow \frac{dx}{d\bar{\tau}} = -\frac{1}{\bar{k} s} \quad \left. \begin{array}{l} s = \frac{\bar{m}}{k_B} \frac{P}{T} \end{array} \right\} \Rightarrow \frac{dx}{d\bar{\tau}} = \frac{k_{\text{Bosm.}}}{\bar{k} \bar{m}} \frac{T}{P}$$

HUOM. Kun  $\bar{\tau} < 0.6$ , ei tästä differentiaaliyhtälöä pidä käyttää, koska sekä  $s$  että  $\bar{k}$  kasvavat voimakkaasti tällä alueella.

e) Auringon fotosfäärimallin tuloksia

- 1) Fotosfäärin paksuus on noin 300 km optisen syvyyden ollessa  $0.01 < \bar{\tau}_{5000\text{\AA}} < 2.5$ . Valoa säteilevä kerros on siten Auringossa erittäin ohut :  $1/2000 R_\oplus$ .
- 2)  $T(\bar{\tau}_{5000}=0.4) \approx 5800 \text{ K}$
- 3)  $P_g(\bar{\tau}_{5000}=0.4) \approx 10^5 \text{ dyn/cm}^2 \approx 0.1 \text{ atm}$  ( $1 \text{ atm} = 1.013 \times 10^5 \text{ N/m}^2 = 1.013 \times 10^6 \text{ dy/cm}$ )
- 4)  $P_e(\bar{\tau}_{5000}=0.4) \approx 10 \text{ dyn/cm}^2 \approx 10^{-5} \text{ atm}$
- 5)  $s(\bar{\tau}_{5000}=0.4) \approx 3 \times 10^{-7} \text{ g/cm}^3 \approx 3 \times 10^{-4} \text{ g/silma}$

Table Model Solar Atmosphere (Main Sequence G2).<sup>a</sup> This is a portion of the Harvard-Smithsonian Reference Atmosphere [O. Gingerich, R. W. Noyes, W. Kalkofen, and Y. Cuny, 1971 (238).]

$b_{\text{eff}} = 0.8720$ ,  $T_{\text{eff}} = 5,780^{\circ}\text{K}$ ,  $\log g = 4.440$ .

H:He:Other elements (by number) = 941:94:1:1

$\tau_{5000}$	$T (^{\circ}\text{K})$	$\log P_g$	$\log P_e$	$P_g$	$P_e$	$\rho$	$\alpha_{5000}$	$H^+/\Sigma H$	$\epsilon_{\text{metals}}/\Sigma \epsilon$ (per cent)	$x (\text{km})$
$10^{-8}$	8,930	-0.8187	-1.3168	1.518 (-1)	4.822 (-2)	1.81 (-13)	0.146	5.11 (-1)	0.2	1,850
$10^{-7}$	8,320	-0.7724	-1.2721	1.689 (-1)	5.345 (-2)	2.16 (-13)	0.146	5.09 (-1)	0.2	1,820
$10^{-6}$	7,360	-0.4245	-1.1054	3.763 (-1)	7.846 (-2)	6.31 (-13)	0.0863	2.89 (-1)	0.3	1,620
$10^{-5}$	5,300	+1.8319	-1.1695	6.790 (+1)	6.769 (-2)	1.99 (-10)	0.00258	9.13 (-4)	16.9	840
$10^{-4}$	4,170	+2.9386	-1.2133	8.682 (+2)	6.119 (-2)	3.24 (-9)	0.00487	2.26 (-7)	99.7	557
$10^{-3}$	4,380	+3.5387	-0.6260	3.457 (+3)	2.366 (-1)	1.23 (-8)	0.0139	4.06 (-7)	99.5	420
$10^{-2}$	4,660	+4.1035	-0.0480	1.269 (+4)	8.953 (-1)	4.25 (-8)	0.0388	1.09 (-6)	98.6	283
0.05012	4,950	+4.4936	+0.3817	3.116 (+4)	2.408 (0)	9.81 (-8)	0.0799	3.43 (-6)	96.0	183
0.10000	5,160	4.6592	0.5966	4.562 (+4)	3.950 (0)	1.38 (-7)	0.110	8.49 (-6)	91.1	138
0.15849	5,330	4.7675	0.7569	5.854 (+4)	5.713 (0)	1.71 (-7)	0.140	1.69 (-5)	84.3	108
0.19953	5,430	4.8201	0.8476	6.608 (+4)	7.041 (0)	1.90 (-7)	0.160	2.47 (-5)	78.9	92.6
0.25119	5,540	4.8710	0.9478	7.430 (+4)	8.868 (0)	2.09 (-7)	0.187	3.68 (-5)	72.0	77.7
0.31623	5,650	4.9197	1.0523	8.311 (+4)	1.128 (+1)	2.29 (-7)	0.221	5.29 (-5)	64.6	63.1
0.39811	5,765	4.9659	1.1635	9.244 (+4)	1.457 (+1)	2.50 (-7)	0.264	7.51 (-5)	56.7	48.9
0.50119	5,890	5.0090	1.2847	1.021 (+5)	1.926 (+1)	2.70 (-7)	0.323	1.07 (-4)	48.4	35.4
0.63096	6,035	5.0492	1.4232	1.120 (+5)	2.650 (+1)	2.89 (-7)	0.407	1.58 (-4)	39.6	22.6
0.79433	6,200	5.0853	1.5782	1.217 (+5)	3.786 (+1)	3.06 (-7)	0.527	2.37 (-4)	31.0	10.8
1.00000	6,390	5.1173	1.7516	1.310 (+5)	5.644 (+1)	3.19 (-7)	0.706	3.65 (-4)	23.2	0.0
1.25892	6,610	5.1446	1.9443	1.395 (+5)	8.796 (+1)	3.29 (-7)	0.978	5.79 (-4)	16.6	-9.6
1.58489	6,860	5.1679	2.1520	1.472 (+5)	1.419 (+2)	3.34 (-7)	1.39	9.40 (-4)	11.6	-18.0
1.99526	7,140	5.1875	2.3701	1.540 (+5)	2.345 (+2)	3.36 (-7)	2.02	1.55 (-3)	7.9	-25.3
2.51189	7,440	5.2036	2.5879	1.598 (+5)	3.872 (+2)	3.34 (-7)	2.94	2.53 (-3)	5.4	-31.6
3.16228	7,750	5.2170	2.7968	1.648 (+5)	6.263 (+2)	3.30 (-7)	4.24	4.04 (-3)	3.8	-37.1
3.98107	8,030	5.2289	2.9731	1.694 (+5)	9.400 (+2)	3.27 (-7)	5.83	5.97 (-3)	2.9	-42.1
5.01187	8,290	5.2395	3.1271	1.736 (+5)	1.340 (+3)	3.24 (-7)	7.76	8.38 (-3)	2.2	-46.8
6.30957	8,520	5.2494	3.2565	1.776 (+5)	1.805 (+3)	3.22 (-7)	9.94	1.11 (-2)	1.8	-51.4
7.94328	8,710	5.2594	3.3595	1.817 (+5)	2.288 (+3)	3.21 (-7)	12.2	1.38 (-2)	1.6	-56.0
10.00000	8,880	5.2693	3.4487	1.859 (+5)	2.810 (+3)	3.21 (-7)	14.6	1.67 (-2)	1.4	-60.8
12.58925	9,050	5.2797	3.5349	1.904 (+5)	3.427 (+3)	3.22 (-7)	17.4	1.99 (-2)	1.2	-65.8
15.84893	9,220	5.2903	3.6183	1.951 (+5)	4.152 (+3)	3.23 (-7)	20.8	2.37 (-2)	1.1	-71.1
19.95262	9,390	5.3012	3.6989	2.001 (+5)	4.999 (+3)	3.24 (-7)	24.7	2.79 (-2)	1.0	-76.7
25.11886	9,560	5.3124	3.7769	2.053 (+5)	5.983 (+3)	3.25 (-7)	29.4	3.28 (-2)	0.9	-82.6

<sup>a</sup> The chromosphere lies above  $\tau_{5000} \sim 10^{-4}$ , the transition region is between  $\tau_{5000} \sim 10^{-4}$  and  $10^{-3}$ , and the photosphere lies below  $\tau_{5000} \sim 10^{-1}$ . The model is convectively unstable for  $\tau_{5000} \leq 1$ , but convection is efficient only below  $\tau_{5000} \sim 2$ .

In Tables 4-1 to 4-4, the optical depth  $\tau_\lambda$  is evaluated either at 5000 Å or at 1.17  $\mu$ . The temperature  $T$  is expressed in  $^{\circ}\text{K}$ ; the total pressure  $P$ , the gas pressure  $P_g$ , and the electron pressure  $P_e$  in dyne  $\text{cm}^{-2}$ ; the density  $\rho$  in  $\text{gm cm}^{-3}$ ; and the absorption coefficient  $\kappa_\lambda$  in  $\text{cm}^2 \text{gm}^{-1}$ . The ratio  $H^+/\Sigma H$  is the fraction (by number) of all hydrogen that is ionized,  $\epsilon_{\text{metals}}/\Sigma \epsilon$  is the fraction of all electrons contributed by metals, and  $F_C/F$  is the fraction of the total flux that is transferred by convection. The zero point of the geometrical depth (or height)  $x$  is arbitrary.

Auringon syvemmissä kerroksissa ( $T > 7000$  K) ionisoituu vety, minkä seurauksena lämpötilagradientti kasvaa varsin suureksi. Tällöin energia ei siirrykään säteilynkuljetuksen vaan konvektion eli massavirtauksen avulla. Konvektioita esiintyy alueissa, joissa opasiteetti on suuri. Auringon konvektiivinen kerros on teoreettisten mallien mukaan välillä  $0.76 R_o < r < 0.9995 R_o$ . Auringon pinnalla näkyvät granulaatiot ovat merkkejä tästä konvektiivisestä kerroksesta.

### 2.4.3 Varhaisen spektriluokan tähden atmosfäärimalli

Auringon reunatummumisilmiöön nojautuvaa empiiristä  $T(\gamma)$  riippuvuuden määritystä ei voida yleensä soveltaa muihin tähtiin. Havaintojen avulla saadaan siten ainoastaan säteilyn kokonaisvuon tiheys sekä tähden spektri selville. Atmosfäärimalleissa huolehditaan siitä, että

- a) tähdestä ulos tuleva säteily vastaa havaittua kokonaisvuontiheyttä
- b) säteilyenergian jatkuvuusyhtälö on voimassa kaikissa atmosfäärikerroksissa.

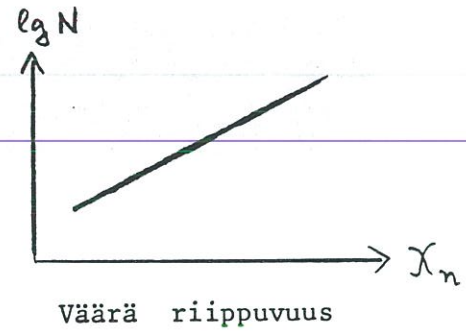
Klassisissa atmosfäärimalleissa oletetaan, että LTE, säteilytasapaino ja hydrostaattinen tasapaino ovat voimassa. Klassinen atmosfäärimalli laskeetaan seuraavien pääperiaatteiden mukaisesti.

#### 1) Perusparametrien määritys

##### a) Efektiivisen lämpötilan alkuarvo

LTE:ssä on  $T_{\text{eff}} = T_{\text{ex}}$ . Väärin valittu  $T_{\text{ex}}$  johtaa väärään atomin viritysenergian  $\chi = E_n - E_m$  ja ko. atomilajin runsauden  $N$  väliseen riippuvuuteen.

Mittaamalla spektriviivojen pinta-alat voidaan metallirunsaus määritää. Optisessa tähtitieteessä spektriviivan pinta-ala ilmoitetaan ns. ekvivalenttileveyden  $W$  avulla (kts. luku 2.5.6e).



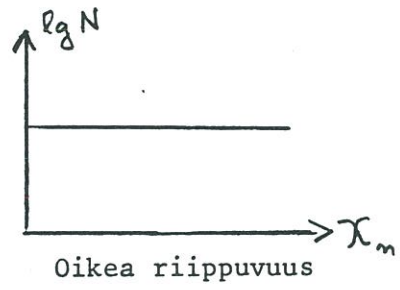
$$W = \text{vakio} \cdot N_n, \text{ missä } N_n = \begin{cases} \text{alemman energiatason populaatio (absorptio)} \\ \text{ylemmän energiatason populaatio (emissio)} \end{cases}$$

Boltzmann : 
$$\frac{N_n}{N} = \frac{\alpha_n}{u(T)} e^{-\chi_n / kT_{\text{ex}}} - 5040 \cdot \chi_n [\text{eV}] / T_{\text{ex}}$$

$$\Rightarrow W = \text{vakio} \cdot N_n e^{-\chi_n / kT_{\text{ex}}} = \text{vakio} \cdot N \cdot 10^{-\chi_n / kT_{\text{ex}}}$$

$$\Rightarrow \lg N = \text{vakio} + \frac{5040}{T_{\text{ex}}} \cdot \chi_n$$

Interpoloimalla kokeiltava eri lämpötiloja (lähtöarvo väri-indeksin avulla) kunnes metallirunsaus  $N$  ei enää riipu absorptioviivan viritysenergiasta. Tämä  $T_{\text{ex}} = T_{\text{eff}}$ .

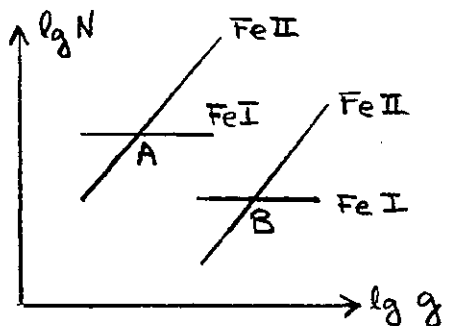


b) Metallirunsauden ja pintagravitaation määritys

Metalli-ionien heikkojen viivojen ekvivalenttileveydet riippuvat pintagravitaatiosta, neutraalien metallien runsaus sen sijaan ei riipu gravitaatiokihiivyydestä. Ionisaatiotasapainossa ovat kovalenttilajin ionirunsaus ja neutraaliatomien runsaus yhtäsuuret.

Esittämällä atmosfäärimallin antamat runsaudet pintagravitaation  $g$  funktiona saadaan oheinen kuva. Kun metallipitoisuudelle ja gravitaatiokihiivyydelle käytetään kaksi eri lähtöarvoa, saadaan vastaavasti kaksi eri leikkauispistettä A ja B ja siten myös kaksi eri pintagravitaation arvoa.

Koska todellisuudessa pintagravitaation on kuitenkin oltava sama kummassakin tapauksessa, on interpoimalla löydettävä sellainen metallipitoisuus  $[M/H]$ , että sekä mallin  $[M/H]$  että sen avulla lasketun metallirunsauden arvot ovat samat (kts. kuva seuraavalla sivulla). Kun oikea metallirunsaus on selvinnyt, saadaan yd. kuvassa leikkauispisteen oikea sijainti ja siten myös oikea pintagravitaatio selville. Tarkempi selvitys löytyy esim. David Grayn kirjasta : 'The Observation and Analysis of Stellar Photospheres' (1976, J.Wiley & Sons, New York).



2) Lämpötilajakautuman ensimmäinen approksimaatio  $T^{(1)}(\gamma)$

Lämpötilajakautuma  $T(\gamma)$  saadaan yhtälöllä

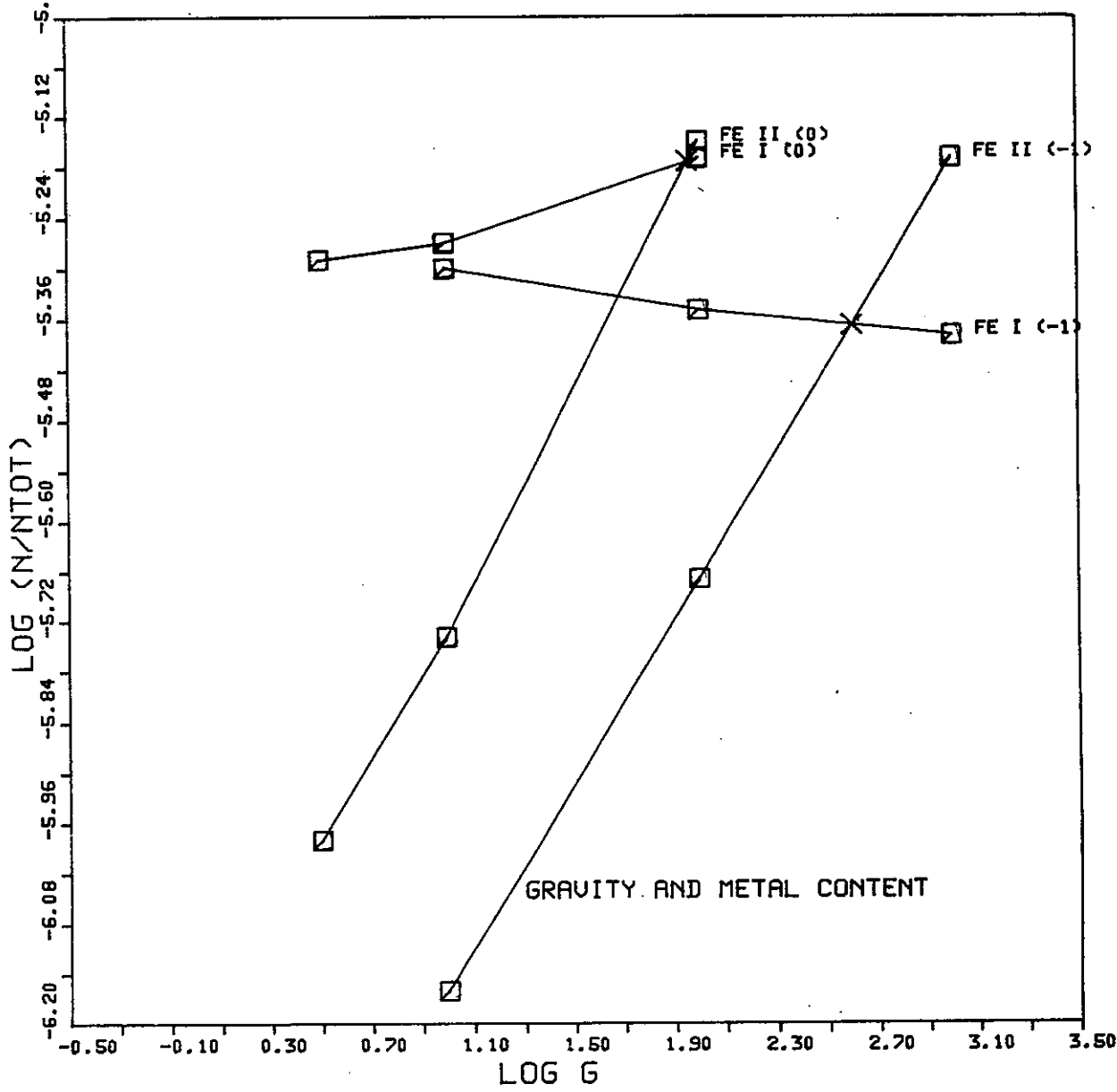
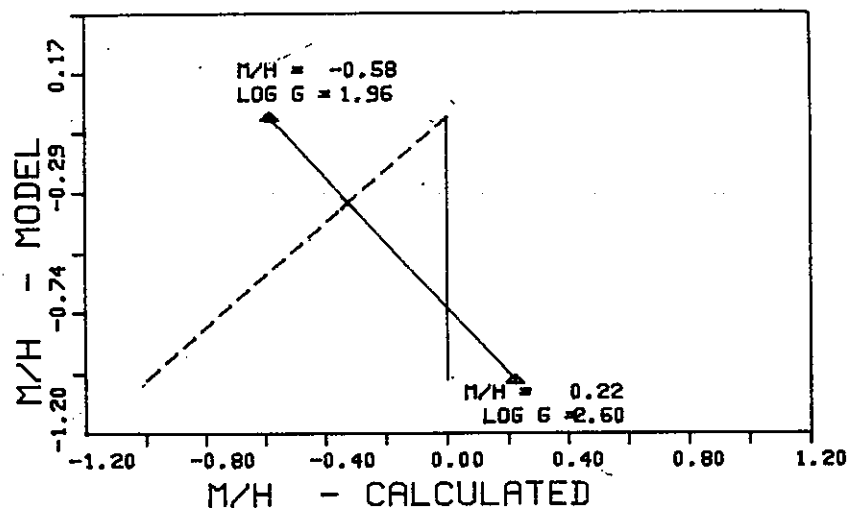
$$T^4(\gamma) = \frac{1}{2} T_{\text{eff}} \left( 1 + \frac{3}{2} \gamma \right)$$

3) Painejakautuma  $P(\gamma)$

Painejakautumaa laskettaessa on huomioitava säteilyn ja materiaan vuorovaikutukset : terminen absorptio ja emissio sekä sironta, joka on tärkeä hyvin kuumissa tähdissä sekä tietyissä ylijättiläisissä. Optinen syvyys on tällöin  $d\gamma_\nu = - (k_\nu + \sigma_\nu) S dx$ . Varhaisen spektraluokan tähdissä on lisäksi huomioitava säteilypaine

# HD37160

LOG G = 2.09  
M/H = -0.32



$$dP_\nu = \frac{g(k_\nu + \sigma)dx}{c} \tilde{\tau}_\nu \quad (\text{kts. luku 2.1.3c})$$

jolloin kokonaispaine on  $P = P_g + P_{\text{rad}}$ .

Hydrostaattisen tasapainon oletuksella

$$dP = dP_g + dP_r = -g s dx + \frac{g dx}{c} \int_0^\infty (k_\nu + \sigma) \tilde{\tau}_\nu d\nu$$

$$\frac{dP}{d\tau} = \frac{dP}{-(k_\nu + \sigma)s dx} = \frac{g}{k_\nu + \sigma} - \frac{1}{c} \frac{1}{k_\nu + \sigma} \int_0^\infty (k_\nu + \sigma) \tilde{\tau}_\nu d\nu$$

Ensimmäisessä approksimaatiossa jätetään säteilypaine ja sironta huomioimatta, jolloin

$$\frac{dP_g}{d\tau_o} = \frac{g}{k_o} \quad k_o = k(\lambda_o, T, P_e), \text{ aallonpituus kiinnitetty}$$

$$k_o = k(\lambda_o, T) P_e$$

Varhaisen spektriluokan tähdelle  $T_{\text{eff}} \approx 25000$  K, joten atmosfäärin vety on täydellisesti ionisoitunut. Tällöin  $P_g \approx 2 P_e$  (kts. s. 126).

$$\Rightarrow g \frac{dP_e}{d\tau} = \frac{g \cdot (P_e)}{k_o (\lambda_o, T(\tau_o)) \cdot P_e}$$

$$\Rightarrow P_e^2 = \int_0^{\tau_o} \frac{g}{k_o (\lambda_o, T)} d\tau$$

Numeerisen integroinnin jälkeen saadaan  $P_e^{(1)}$  ja siten  $P^{(1)} \approx 2 P_e^{(1)}$ .

Toisessa approksimaatiossa huomioidaan sironta, jolloin

$$\frac{dP_g}{d\tau_o} = \frac{g}{k_o + \sigma}$$

$P_g \approx 2 P_e$  saadaan jälleen numeerisella integroinnilla.

#### 4) Pääiterointi : harmaa atmosfääri $\rightarrow$ reaalinen atmosfääri

Kun oletetaan säteilytasapaino, on jokaisella  $\tau$ :n arvolla seuraava reunaehto oltava voimassa

$$\int \tilde{\tau}_\nu(\tau_o) d\nu = \text{const}$$

$\tilde{\tau}_\nu$  on siis laskettava jokaiselle aallonpituuudelle ja eri syvyyskseen  $\tau_o$ .

$$d\tau_\lambda = \frac{k_\lambda + \sigma}{k_o + \sigma} d\tau_o \Rightarrow \tau_\lambda = \int \frac{k_\lambda + \sigma}{k_o + \sigma} d\tau_o$$

$$\left| \begin{array}{l} d\tau = -s(k + \sigma) dx \\ d\tau \propto (k + \sigma) \end{array} \right.$$

$$\Rightarrow T(\tau_\lambda)$$

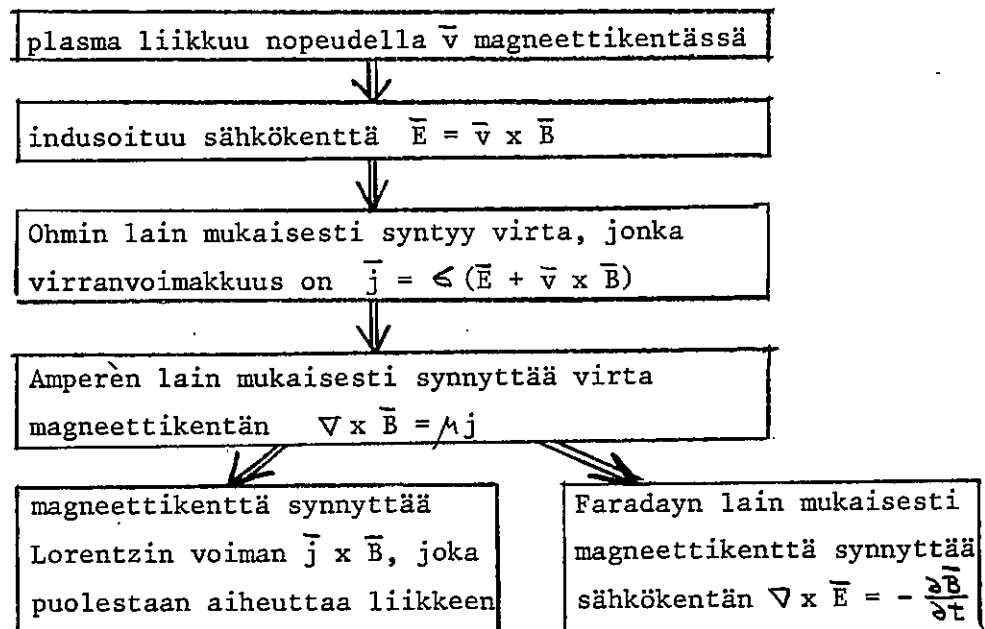
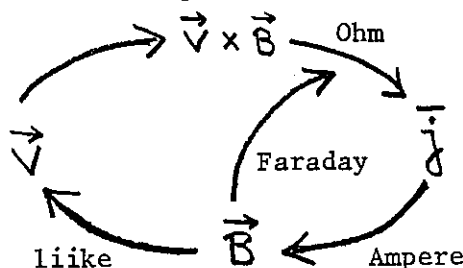
$$\Rightarrow B(\tau_\lambda)$$

$$\Rightarrow \tilde{\tau}_\nu$$

Mikäli mallilaskuissa ehto  $\int \hat{P}_v(\tau) d\tau = \text{const}$  ei päde, on  $T(\tau)$  ja mahdollisesti  $P(\tau)$  korjattava "vuo-iteraatiomenetelmällä", kunnes säteilyn kokonaisvuo pysyy vakiona tietyllä tarkkuudella.

HUOM. Atmosfäärimallia voidaan edelleen tarkentaa spektriviivahavaintojen avulla (kts. luku 2.6).

Klassiset atmosfäärimallit olettavat siis, että LTE, säteilytaspaino ja hydrostaattinen tasapaino ovat voimassa. Kuitenkin ei-radiatiivinen energiankuljetus, magneettikentät ja ei-termiset nopeuskentät indikoivat, että todellinen atmosfääri saattaa huomavastikin poiketa klassisesta atmosfäärimallista. Semiklassisissa malleissa (Mihalas, 1978) pyritään huomioimaan atmosfäärin non-LTE-olo suhteet. Nykyiset UV-havainnot osoittavat kuitenkin, että myös semiklassiset atmosfäärimallit eivät oikein vastaa todellista atmosfääriä. Nykyään pyritään atmosfäärimalliin sisällyttämään myös dynaamisia ja magnetohydrodynaamisia ilmiöitä. Esimerkiksi dynamomallit huomioivat plasman ja magneettikentän väliset vuorovaikutukset (kts. alla olevaa periaatteellista kaaviokuvaaa).



## 2.5 EKSTINKTIOPROESSET ASTROFYSIKAALISISSA KOHTEISSA

### 2.5.1 Yhteenveto ekstinktioprosesseista

#### ABSORPTIO:

Atomi absorboi saapuvan fotonin ja re-emittoi sen myöhemmin toisella taajuudella.



Absorption eri lajit:

1) Viiva-absorptio (bound-bound absorption)

Atomin sidoselektroni siirtyy sidotulta energiatilalta toiselle. Viiva-absorptiokertoimen merkintä säteilynkuljetusyhtälössä:  $k_\nu$

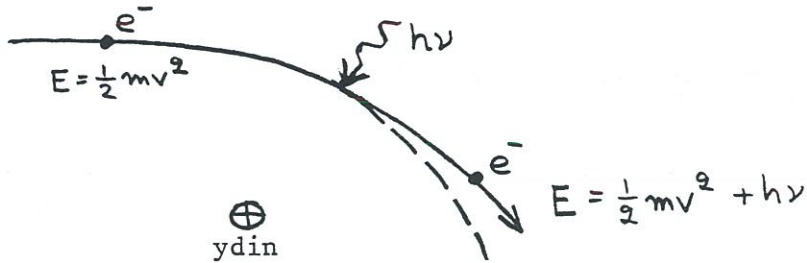
2) Kontinuumiabsorptio

a) bound-free absorptio

Atomin elektroni siirtyy sidotulta energiatilalta vapaaseen energiatilaan (ts. elektroni poistuu atomista) Absorptiokeroimen merkintä:  $k_{\nu}^{bf}$

b) free-free absorptio

Ytimen kentässä liikkuva vapaa elektroni absorboi fotonin



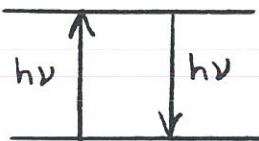
Huom. elektronin oltava ytimen kentässä, sillä täysin vapaa elektroni ei voi absorboida säteilyä.

Absorptiokertoimen merkintä:  $k_{\nu}^{ff}$

3) Molekyylin fotodissosiaatio

SIRONTA :

Koherentissa sironnassa atomi absorboi ja re-emitttoi fotonin samalla taajuudella.



Sironnan ansiosta säteilyn intensiteetti heikkenee alkuperäisessä suunnassa :



Sironnasta johtuvan "absorptiokertoimen" merkintä :  $\sigma_\nu$

Sirottava hiukkanen voi olla

- elektroni
- atomi
- ioni
- molekyyli
- pölyhiukkanen

Sironnan erikoistapauksia :

a) Rayleigh-sironta, kun  $\nu < \nu_0$  ( $\nu_0$  = elektronin resonanssitaajuus)

b) Thomson-sironta, kun  $\nu > \nu_0$  (vapaille elektroneille  $\nu_0 = 0$ )

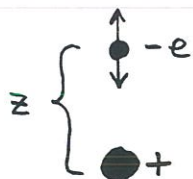
Sekä absorptio että sironta aiheuttavat sen, että säteilyn intensiteetti heikkenee alkuperäisessä suunnassa. Näitä säteilyä heikentäviä prosesseja kutsutaan yhteisesti ekstinktioksi.

EKSTINKTIO = ABSORPTIO + SIRONTA

### 2.5.2 Klassisen dipolin absorptio

#### a) Dipolisäteily

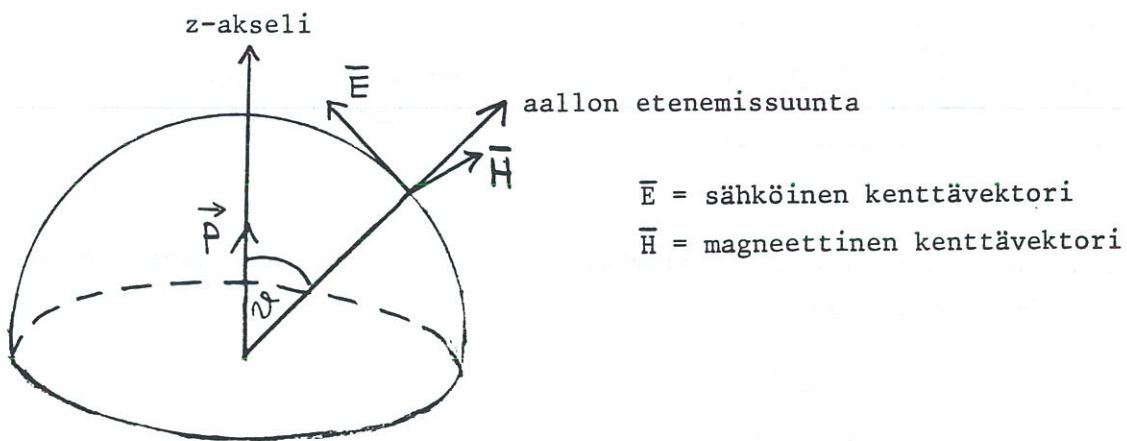
Kun dipolin dipolimomentti  $\vec{p}$  muuttuu (esimerkiksi elektronin etäisyys  $z$  ytimeen muuttuu) lähettilä dipoli ympäristöönsä sähkömagneettista säteilyä.



Syntyvän sähkömagneettisen aallon  $\vec{E}$ - ja  $\vec{H}$ -vektori ovat kohtisuorasti toisiaan vasten sekä aallon etenemissuuntaan nähdent:

$$\text{Kun } r \gg z, \text{ on } E_\vartheta = \frac{\ddot{p}}{c^2} \frac{\sin \vartheta}{r}, \quad E_\varphi = 0$$

$$H_\varphi = - \frac{\ddot{p}}{c^2} \frac{\sin \vartheta}{r}, \quad H_\vartheta = 0$$



Sähkömagneettisen säteilyn energiatihleys  $[\text{erg/cm}^3]$  on

$$u = \frac{1}{8\pi} (\epsilon E^2 + \mu H^2) \quad \mid \text{Tasoalolle} \quad |H| = \sqrt{\frac{\epsilon}{\mu}} |E|$$

$$\Rightarrow \mu H^2 = \epsilon E^2$$

$$\Rightarrow u = \frac{1}{4\pi} \epsilon E^2$$

$\mu$  = tyhjön permeabiliteetti  
 $\epsilon$  = dielektrisyyssvakio

$$\text{Energiatiheyden virtaus} = \frac{dW}{dV} \cdot \underbrace{\frac{ds}{vdt}}_{\text{vdt}} = u \cdot v dt \quad | : dt$$

$$\Rightarrow \frac{\text{teho}}{\text{cm}^2} = \text{tehotiheys} = u \cdot v \underbrace{\frac{v}{n}}_{\frac{c}{n}}$$

$$\tilde{\tau} = u \cdot \frac{c}{n} = \frac{1}{4\pi} \cdot \epsilon E^2 \cdot \frac{c}{\mu \epsilon} = \frac{c}{4\pi} \underbrace{\sqrt{\frac{\epsilon}{\mu}}}_{|\vec{H}|} \cdot |\vec{E}| \cdot |\vec{E}|$$

$$\tilde{\tau} = \frac{c}{4\pi} |\vec{E}| \cdot |\vec{H}|$$

HUOM. Sähköopissa kutsutaan sähkömagneettisen aallon tehon virtausvektoria Poyntingin vektoriksi  $\vec{S}$ :

$$\vec{S} = \frac{c}{4\pi} \vec{E} \times \vec{H}$$

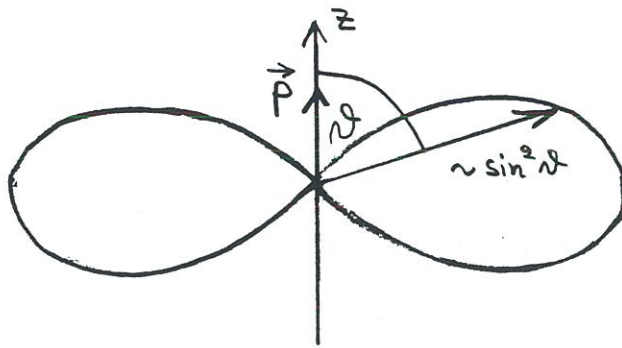
Tyhjössä  $|\vec{E}| = |\vec{H}|$ , joten

$$\tilde{\tau} = \frac{c}{4\pi} E^2 = \frac{c}{4\pi} \frac{P^2}{C^4} \frac{\sin^2 \alpha}{r^2}$$

$$\boxed{\tilde{\tau} = \frac{P^2}{4\pi C^3} \frac{\sin^2 \alpha}{r^2}}$$

HETKELLINEN TEHOTIHEYS  
(tarkastelupisteessä r)

Levossa olevan dipolin säteilykuvio eli tehotiheyden kulmajakauma on  $\sin^2 \alpha$  - muotoinen:



Koska  $E$  muuttuu jaksollisesti nollan ja tietyn maksimiarvon  $E_0$  välillä, muuttuu myös  $\mathcal{F}$  jaksollisesti. Keskimääräinen tehotiheys on siten

$$\langle \mathcal{F} \rangle = \frac{c}{4\pi} \langle E^2 \rangle = \frac{c}{4\pi} E_0^2 \underbrace{\langle \sin^2 \omega t \rangle}_{\frac{1}{2}}$$

$$\boxed{\langle \mathcal{F} \rangle = \frac{c}{8\pi} E_0^2}$$

KESKIMÄÄRÄINEN TEHOTIHEYS

Kun tähtitieteessä puhutaan säteilyvuon tiheydestä tarkoitetaan sillä nimenomaan keskimääräistä tehotiheyttä  $\langle \mathcal{F} \rangle$ .

TEHT. Aurinkovakio eli säteilyvuon tiheys Maan ilmakehän ulkopuolella on  $2 \text{ cal/min} \cdot \text{cm}^2 = 1.39 \cdot 10^6 \text{ erg/s cm}^2$ . Laske sähköisen ja magneettisen kenttävektorin amplitudi.

Tyhjössä  $|\vec{E}| = |\vec{H}|$ , joten keskimääräinen teho/ $\text{cm}^2$  on

$$\langle \mathcal{F} \rangle = \frac{c}{8\pi} E_0^2$$

$$\Rightarrow E_0 = \sqrt{\frac{8\pi}{c} \langle \mathcal{F} \rangle} = \sqrt{\frac{8\pi}{c} \cdot 1.39 \cdot 10^6 \frac{\text{erg}}{\text{s} \cdot \text{cm}^2}}$$

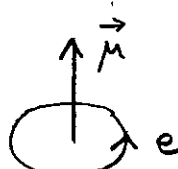
$$\underline{\underline{E_0 = H_0 = 10 \frac{\text{V}}{\text{cm}}}}$$

HUOM. Sähköisen dipolisäteilyn lisäksi on olemassa myös magneettista dipolisäteilyä.

Ympyrätaraa kiertäävän varatun hiukkasen magneettinen dipolimomentti on :

$$\vec{M} = \frac{q}{2m} \vec{L} \quad , \text{ missä } \frac{q}{2m} = \text{ns. gyromagneettinen suhde}$$

$$= \left| \frac{\text{magn. momentti}}{\text{impulssimomentti}} \right|$$



Elektronin spiniin liittyy myös magneettinen momentti, mutta vastaava gyromagneettinen suhde on  $2 \cdot q/2m = q/m$ . Elektronin spinmagneettinen momentti aiheuttaa atomispektreissä hienorakennetta, ytimen magneettinen momentti taas ylihienorakennetta.

ESIM. Kun vety-ytimen spin ja elektronin spin ovat ensin samansuuntaiset ja muuttuvat sitten vastakkaisuuntaisiksi, lähtää atomi magneettista dipolisäteilyä, jonka aallonpietuus  $\lambda = 21 \text{ cm}$ .

### b) Dipolin säteilyteho

$$\text{Säteilyteho } r\text{-säteisen pallon pinnan läpi: } \int \frac{\ddot{p}}{4\pi c^3} \frac{\sin^2 \theta}{r^2} d\omega$$

$$\frac{dW}{dt} = - \frac{1}{4\pi c^3} (e \ddot{z})^2 \iint_0^{2\pi} \frac{\sin^2 \theta}{r^2} r^2 \sin \theta d\theta d\phi$$

värähtelevä dipoli menettää energiaa

$$\frac{dW}{dt} = - \frac{e^2 \ddot{z}^2}{4\pi c^3} \iint_0^{2\pi} \sin^3 \theta d\theta d\phi$$

$2\pi \cdot \frac{4}{3}$

$$\boxed{\frac{dW}{dt} = - \frac{2}{3} \frac{e^2 \ddot{z}^2}{c^3}}$$

DIPOLIN HETKELLINEN TEHO

Klassisen oskillaattorin keskimääräinen säteilyteho:

$$\left\langle \frac{dW}{dt} \right\rangle = - \frac{16\pi^4 \gamma^4}{3c^3} P_0^2 = - \frac{8\pi^2 \gamma^2 e^2}{3mc^3} \cdot W$$

KESKIMÄÄRÄINEN TEHO

missä  $P_0 = ez_0$  = dipolimomentin maksimiarvo

$$W = (1/2)kz_0^2 = (1/2)m\omega^2 z_0^2 = \text{oskillaattorin energia}$$

(Kaavan johto harjoitustehtäväänä)

$$\left\langle \frac{dW}{dt} \right\rangle = - \gamma \cdot W, \text{ missä vaimennuskerroin } \gamma = \frac{8\pi^2 \gamma^2 e^2}{3mc^3} = \frac{0.2223}{\lambda^2} \left[ \frac{1}{s} \right]$$

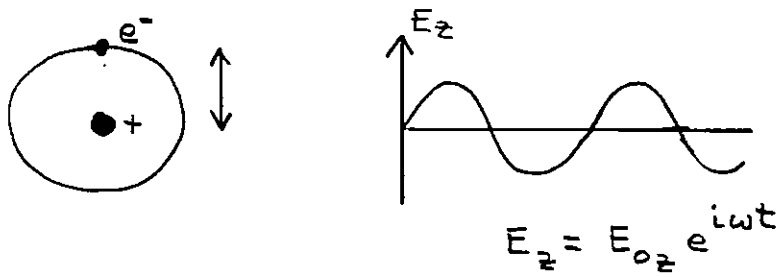
$$\Rightarrow \langle W \rangle = W_0 e^{-\gamma t}$$

HUOM.  $\frac{1}{\gamma} = T = \text{aika, jonka kuluessa väärähtely vaimenee osaan } 1/e$

$$T = \frac{1}{\gamma} = \text{kyseisen väärähtelytilan elinikä}$$

### c) Klassisen oskillaattorin absorptiokerroin

Yksinkertaisin malli säteilevälle atomille :



Valoaallon kohdateessa atomin, pakottaa se elektronin (massa  $m$ ) liikkumaan valoaallon sähkökentän tahdissa.

Väärätelevän varauksen liikeyhtälö:

$$m \ddot{z} = \underbrace{-Kz}_{\text{harmoninen voima}} - \underbrace{g \dot{z}}_{\text{dissipatiivinen voima}} + \underbrace{e E_z}_{\text{pakkovoima}} = e E_{0z} e^{i\omega t}$$

(g=vaimennuskerroin)

$$\ddot{z} = -\frac{K}{m} z - \frac{g}{m} \dot{z} + \frac{e E_{0z}}{m} e^{i\omega t}$$

$\omega_0^2$        $\gamma$

$$\ddot{z} + \gamma \dot{z} + \omega_0^2 z = \frac{e E_{0z}}{m} e^{i\omega t}$$

Ratkaisuyrite :  $z(t) = z_0 e^{i\omega t}$   
 $\dot{z}(t) = i\omega z_0 e^{i\omega t}$   
 $\ddot{z}(t) = -\omega^2 z_0 e^{i\omega t}$

$$\Rightarrow (-\omega^2 + i\omega\gamma + \omega_0^2) z_0 e^{i\omega t} = \frac{e E_{0z}}{m} e^{i\omega t}$$

$$\Rightarrow z_0 = \frac{\frac{e E_{0z}}{m}}{\omega_0^2 - \omega^2 + i\omega\gamma}$$

ELEKTRONIN MAKSTIPOIKKEAMA

$$\Rightarrow z = z_0 e^{i\omega t} = \frac{\frac{e E_{0z}}{m} \cdot e^{i\omega t}}{\omega_0^2 - \omega^2 + i\omega\gamma}$$

HUOM.  $z_0$  on kompleksiluku, joten  $z$  ei ole samassa vaiheessa pakkovoiman kanssa.

Johdetaan seuraavaksi lausekkeet sähköisen dipolin absorptio-kertoimelle  $\kappa$  sekä taiteekertoimelle  $n$ .

Valon nopeus väliaineessa on

$$U = \frac{c}{n}, \text{ missä } n = \text{kompleksinen taitekerroin}$$

$$n^2 = (n - i\kappa)^2 = \epsilon = \text{dielektrisyysvakio}$$

$$(\text{tyhjössä } \epsilon = 1)$$

$$(\text{väliaineessa } \epsilon > 1)$$

Ulkomenen kenttää synnyttää väliaineatomissa dipolimomentin:

$$\left. \begin{aligned} p(t) &= e \cdot z(t) \\ \vec{p} &= \alpha \cdot \vec{E} \end{aligned} \right\} \Rightarrow \alpha = \frac{\vec{p}}{\vec{E}} = \frac{e z(t)}{E} = \frac{e z_0 e^{i\omega t}}{E_0 z e^{i\omega t}} = \frac{e z_0}{E_0 z}$$

$\alpha$  = dielektrinen suskehtivuusaste  
(kuvaaa polarisoituvuutta)

$$\text{Dielektrinen siirtymä : } D = E + 4\pi N p = E + 4\pi N \alpha E = (1 + 4\pi N \alpha) E = \epsilon E$$

missä  $N$  = värähtelevien atomien  $1 \text{ km/cm}^3$

Sijoittamalla  $\alpha$  dielektrisyysvakioon  $\epsilon$  saadaan

$$\epsilon = 1 + 4\pi N \frac{e z_0}{E_0 z} = 1 + \frac{4\pi N e}{E_0 z} \frac{e E_0 z}{m(\omega_0^2 - \omega^2 + i\gamma \frac{\omega}{2\pi})} \quad \left| \begin{array}{l} \epsilon = (n - i\kappa)^2 \\ \omega = 2\pi\nu \\ \omega_0 = 2\pi\nu_0 \end{array} \right.$$

$$(n - i\kappa)^2 = 1 + \frac{4\pi N e^2}{m} \frac{1}{4\pi^2 (\nu_0^2 - \nu^2 + i\gamma \frac{\nu}{2\pi})}$$

$$n - i\kappa = 1 + \frac{N e^2}{2\pi m} \frac{1}{(\nu_0^2 - \nu^2) + i\gamma \frac{\nu}{2\pi}}$$

$$n - i\kappa = 1 + \frac{N e^2}{2\pi m} \frac{(\nu_0^2 - \nu^2) - i\gamma \frac{\nu}{2\pi}}{(\nu_0^2 - \nu^2)^2 + (\gamma \frac{\nu}{2\pi})^2}$$

$$\sqrt{1+a} \approx 1 + \frac{1}{2} a$$

Kun  $a \ll 1$   
lavnennetaan lauseek-  
keella :

$$(\nu_0^2 - \nu^2) - i\gamma \frac{\nu}{2\pi}$$

$$\Rightarrow \begin{cases} n = 1 + \frac{Ne^2}{2\pi m} \frac{\nu_0^2 - \nu^2}{(\nu_0^2 - \nu^2)^2 + (\gamma \frac{\nu}{2\pi})^2} \\ \kappa = \frac{Ne^2}{2\pi m} \frac{\gamma \cdot \frac{\nu}{2\pi}}{(\nu_0^2 - \nu^2)^2 + (\gamma \frac{\nu}{2\pi})^2} \end{cases}$$

Useinmiten ollaan kiinnostuneita absorptiokertoimesta lähellä resonanssitaajuuutta  $\nu_0$ :

$$\nu \approx \nu_0 \Rightarrow \nu - \nu_0 \ll \nu_0$$

$$\nu_0^2 - \nu^2 = \underbrace{(\nu_0 + \nu)(\nu_0 - \nu)}_{\approx 2\nu} \approx 2\nu(\nu_0 - \nu)$$

$$\Rightarrow \kappa = \frac{Ne^2}{2\pi m} \cdot \frac{\frac{\gamma \nu}{2\pi}}{[2\nu(\nu_0 - \nu)]^2 + (\frac{\gamma \nu}{2\pi})^2}$$

$$\boxed{\kappa = \frac{Ne^2}{4\pi m \nu} \frac{\gamma / 4\pi}{(\nu_0 - \nu)^2 + (\gamma / 4\pi)^2}}$$

KLASSISEN OSKILLAATTORIN  
ABSORPTIOKERROIN

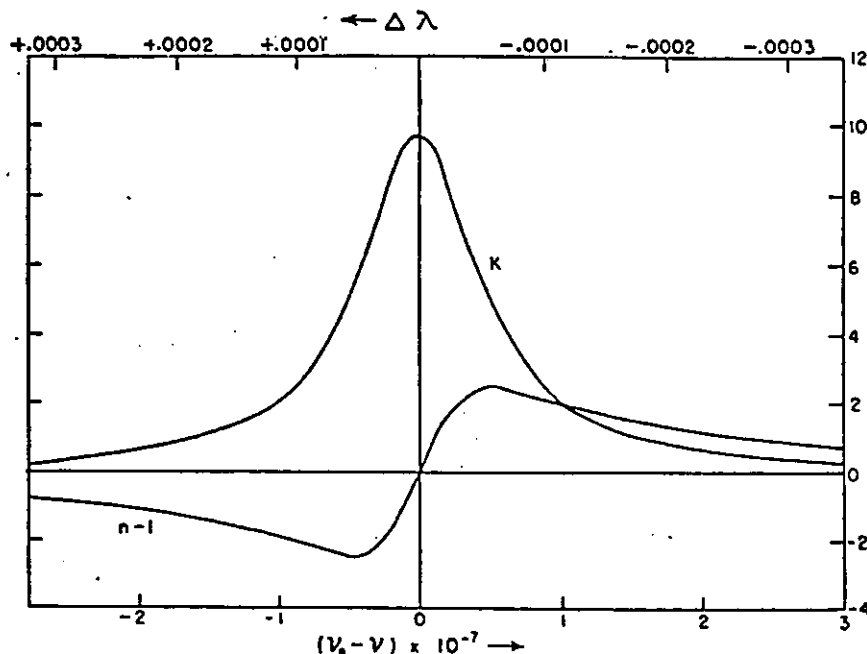
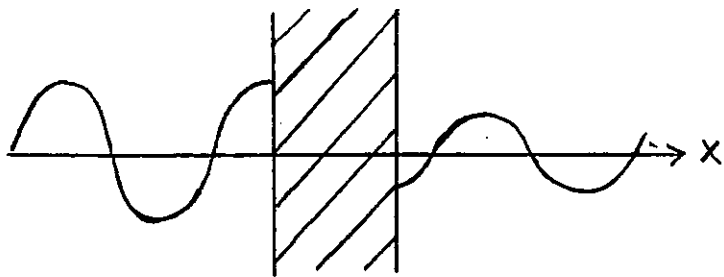


FIG. THE VARIATION OF  $(n - 1)$  AND  $\kappa$  WITH FREQUENCY NEAR RESONANCE

The curves are computed for sodium atoms absorbing at the  $\lambda 5880$  ( $D_1$ ) line. Notice the anomalous behavior of the index of refraction near resonance. The ordinates are arbitrary.

- d) Dipolin absorptiokertoimen  $\kappa$  ja massa-absorptiokertoimen  $\kappa$  välinen yhteys



Väliaineessa on sähkömagneettisen aallon yhtälö

$$E(x,t) = E_0 e^{i 2\pi \nu (t - \frac{x}{v})} \quad \left| \begin{array}{l} v = \frac{c}{n} = \frac{c}{n-i\kappa} \\ \frac{x}{v} = \frac{x}{c} (n-i\kappa) \end{array} \right.$$

$$E(x,t) = \underbrace{E_0 e^{-2\pi\nu\kappa x/c}}_{\text{vaimeneva osa}} \cdot \underbrace{e^{i 2\pi \nu (t - n \frac{x}{c})}}_{\text{jaksollinen osa}}$$

$$\begin{aligned} \text{Intensiteetti } I &\propto \left(\frac{E}{c}\right)^2 \\ I(x) &= I_0 e^{-\frac{4\pi\nu\kappa}{c} \cdot x} \\ I(x) &= I_0 e^{-\kappa_s x} \end{aligned} \quad \Rightarrow \quad \boxed{\kappa_s = \frac{4\pi\nu}{c} \cdot \kappa}$$

Sijoittamalla tähän dipolin absorptiokertoimen lauseke  $\kappa_\nu$  (läheellä  $\nu_0$ ) saadaan

$$\boxed{\kappa_s = \frac{N_0 \nu e^2}{mc} \cdot \frac{\gamma/4\pi}{(\nu - \nu_0)^2 + (\gamma/4\pi)^2} = N_0 \nu \cdot \alpha_\nu}$$

missä  $N_0$  = niitten sidoselktronien  $1\text{km}/\text{cm}^3$ , joiden ominaistaajuus on  $\nu_0$

$\gamma$  = väliaineen vaimennuskerroin

$\alpha_\nu = \frac{e^2}{mc} \frac{\gamma/4\pi}{(\nu - \nu_0)^2 + (\gamma/4\pi)^2} = \text{absorptiokerroin yhdelle värähtelijälle}$

= atomaarinen vaikutusala

$$[\alpha_\nu] = \text{cm}^2$$

HUOM. Massa-absorptiokertoimen kvanttimekaaninen muoto saadaan korvaamalla

$$\gamma \rightarrow T_{\text{rad}}$$

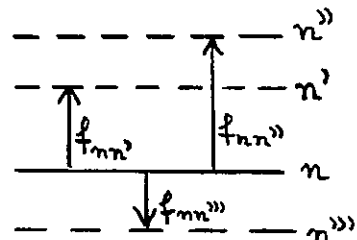
$$N_{\nu} \rightarrow f \cdot N_{\nu}$$

missä oskillaattorivoimakkuus  $f$  ilmoittaa värähtelevien elektro-  
nien efektiivisen lukumäärän/atomi ko. siirtymässä.

Esim. lähtötaso =  $n$

lopputasot esimerkiksi  $n'$ ,  $n''$ ,  $n'''$   
värähtelevien elektronien efektiivinen  
1km/atomi =  $f_{nn'}$  +  $f_{nn''}$  +  $f_{nn'''}$   
(Thomas-Kuhnlin summasääntö)

$$\sum_j f_{ij} = 1$$



### e) Väliaineeseen absorboitunut säteilyteho $P_{\nu}$

Edellisen kohdan mukaan absorptiokerroin/cm<sup>3</sup> on  $k_{\nu} s = N_{\nu} \alpha_{\nu}$ ,

missä  $N_{\nu}$  = värähtelijöiden 1km/cm<sup>3</sup>, jotka absorboituvat taajuudella  $\nu$   
 $\alpha_{\nu}$  = absorptiokerroin yhdelle värähtelijälle

Tilavuusalkioon absorboitunut intensiteetti:

$$dI_{\nu} = s k_{\nu} I_{\nu} dx$$

$$\left| dI_{\nu} = \frac{dP_{\nu}}{dA_{\perp} d\nu dw} \right.$$

$$dP_{\nu} = \underbrace{s k_{\nu} I_{\nu}}_{N_{\nu} \alpha_{\nu}} d\nu dw \underbrace{dA_{\perp} dx}_{dV = 1 \text{ cm}^3}$$

1 cm<sup>3</sup>:iin absorboitunut teho :

$$P_{\nu} = N_{\nu} I_{\nu} \int_0^{4\pi} dw \int_0^{\infty} \alpha_{\nu} d\nu$$

$$P_{\nu} = 4\pi I_{\nu} \cdot N_{\nu} \underbrace{\int_0^{\infty} \alpha_{\nu} d\nu}_{s k}$$

$$P_\nu = 4\pi I_\nu s \bar{R}$$

määritellään keskimääräinen absorptiokerroin  $\bar{R}$ :

$$s \bar{R} = N_0 \int_{-\infty}^{\infty} \alpha_\nu d\nu$$

$$s \bar{R} = \frac{N_0 e^2}{mc} \cdot \pi \cdot \frac{1}{\pi} \underbrace{\int_{-\infty}^{\infty} \frac{\gamma/4\pi}{(\nu-\nu_0)^2 + (\gamma/4\pi)^2} d(\nu-\nu_0)}_{=1}$$

$$\text{sillä } \frac{1}{\pi} \int_{-\infty}^{\infty} \frac{a}{x^2 + a^2} dx = \frac{1}{\pi} \int_{-\infty}^{\infty} \arctan \frac{x}{a} dx = \frac{1}{\pi} \left( \frac{\pi}{2} + \frac{\pi}{2} \right) = 1$$

$$s \bar{R} = N_0 \nu \cdot \frac{\pi e^2}{mc}$$

missä  $\frac{\pi e^2}{mc}$  = efektiivinen vaikutusala

[Kvanttimekaaninen muoto:]

$$s \bar{R} = N_0 \nu \cdot f \cdot \frac{\pi e^2}{mc}$$

Yhteen kuutiosenttimetriin ainetta absorboituu yhdessä sekunnissa säteilyenergiaa:

$$E_\nu = 4\pi I_\nu s \bar{R} \cdot 1s$$

### 2.5.3 Säteilyn sirottuminen klassisesta oskillaattorista

Sähkömagneettisen aallon ( $\lambda > 0.5\text{\AA}$ ) kohdateissa atomin vaikuttaa se atomin elektroniin voimalla  $q\vec{E}$ , jonka seurauksena elektroni alkaa värähdelä saapuvan aallon tähdissä. Atomin dipolimomentin muuttuessa jaksolliesti elektroni lähettää ympäristöönsä säteilyä, jonka taajuus on sama kuin saapuvan aallon taajuus. Klassisessa teoriassa sironnan vaikutusala

$$\sigma = \frac{\text{sironnassa menetetty keskimääräinen säteilyteho}}{\text{saapuvan sm-aallon keskimääräinen teho/cm}^2}$$

verhon) ei riipu atomin elektronirakenteesta. Kvanttimekaaninen tarkastelu puolestaan osoittaa, että sironnan vaikutusala on hyvin erilainen eri siirtymille. Kvanttimekaaninen vaikutusala voidaan esittää muodossa

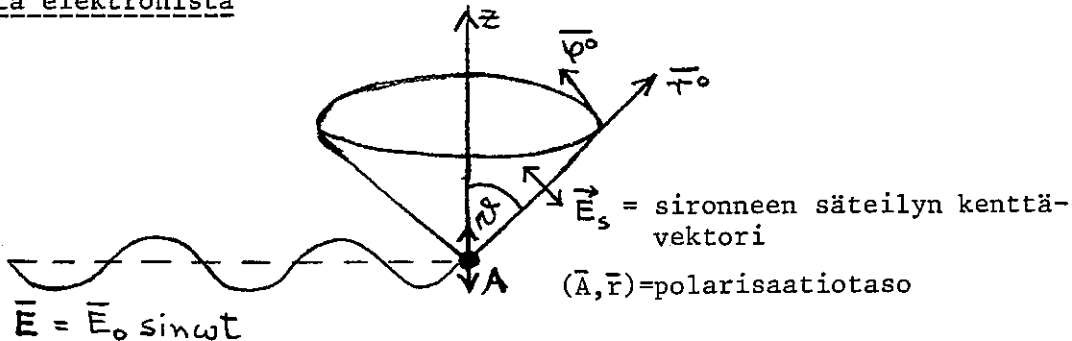
$$\sigma = \sigma_{\text{class}} f_{ij}, \text{ missä } \sigma_{\text{class}} = \text{sironnan klassinen vaikutusala}$$
$$f_{ij} = \text{siirtymän } i \rightarrow j \text{ oskillaattorivoimakkuus}$$

Sironnan ei tarvitse tapahtua systeemin resonanssitaajuudella. Esimerkiksi Aurinkon valon sirottuessa ilmakehän molekyyleistä on valon taajuus huomattavasti pienempi kuin typpi- ja happimolekyylien UV-alueella olevat resonanssitaajuudet  $\nu_0$ . Toisaalta röntgensäteiden sirottuessa atomin ulommista elektroneista tai vapaista elektroneista on saapuvan aallon taajuus  $\nu \gg \nu_0$ . Seuraavassa tarkastelemme lähemmin näitä kahta tärkeää ääritapausta.

#### a) Thomsonin sironta ( $\nu \gg \nu_0$ )

Vapaalle elektronille "resonanssitaajuus"  $\nu_0 = 0$ , joten ehto  $\nu \gg \nu_0$  on voimassa. Thomsonin sironta on merkittävä hyvin kuumien tähtien atmosfääreissä. Myös Aurinkon koronan (ns. K-korona) valo on vapaista elektroneista sironnutta valoa. (Auringon F-koronan valo sen sijaan on interplanetaarisesta pölystä sironnutta valoa.)

1) Lineaariseksi polarisoituneen säteilyn sirottuminen yhdestä vapaasta elektronista



Liikkuvan varauksen kenttä:

$$\bar{E} = -\frac{q}{4\pi} \left[ \frac{\bar{r}^o}{r^2} + \frac{r}{c} \frac{d}{dt} \left( \frac{\bar{r}^o}{r^2} \right) + \frac{1}{c^2} \frac{d^2}{dt^2} \bar{r}^o \right]$$

Suorittamalla derivointi ja huomioimalla ainoastaan asymptoottisesti vallitsevat termit ( $\sim 1/r$ ) saadaan säteilykentän lausekkeeksi

$$\bar{E}_s = -\frac{q}{4\pi c^2} \frac{a_\perp}{r} \bar{r}^o , \text{ missä } a_\perp = \text{sironneen säteilyn etenemissuuntaa vasten kohtisuorasti oleva kiihyyskomponentti.}$$

Oletetaan, että varauksen nopeus  $v \ll c$ , jolloin voima  $q\bar{E} \gg (q/c)\bar{v} \times \bar{H}$ .

Elektronin likeyhtälö on täällöin

$$m\ddot{z} = -e\bar{E} = -eE_0 \sin \omega t \quad | \quad \begin{aligned} z &= A \sin \omega t \\ \ddot{z} &= -A\omega^2 \sin \omega t \end{aligned}$$

$$-A\omega^2 m = -eE_0 \Rightarrow A = \frac{eE_0}{m\omega^2}$$

Sironneen aallon kenttävoimakkuus:

$$E_s = \frac{e}{4\pi c^2} \frac{\ddot{z} \sin \theta}{r} \quad | \quad \text{Sijoitetaan } \ddot{z} \text{ ja } A$$

$$\bar{E}_s = \frac{1}{4\pi} \frac{e^2}{mc^2} \frac{\sin \theta}{r} \underbrace{E_0 \sin \omega t}_{E} \bar{r}^o \quad | \quad \begin{aligned} \text{Elektronin klassinen säde } r_o &\text{ määritellään: } m_e c^2 = \frac{1}{4\pi} \frac{e^2}{r_o} \\ &\Rightarrow r_o = \frac{1}{4\pi} \frac{e^2}{m_e c^2} \end{aligned}$$

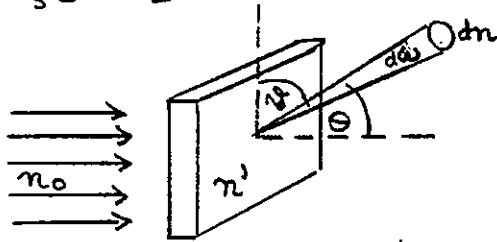
cgs-järjestelmässä:

$$r_o = \frac{e}{m_e c^2}$$

$$\frac{E_s}{E} = \frac{\tau_o}{r} \sin \vartheta$$

$$\Rightarrow \frac{I_s}{I} = \frac{E_s^2}{E^2} = \left(\frac{\tau_o}{r}\right)^2 \sin^2 \vartheta$$

Atomifysiikassa määritellään sironnan differentiaalinen vaikutusala  $\zeta_s$  [cm<sup>2</sup>/sr] seuraavasti.



$n_0$  = saapuvien hiukkasten 1km/s  
 $dn$  = suunnassa  $\Theta$  havaittujen hiukkasten 1km/s  
 $n'$  = kohtiohiukkasten 1km/pinta-ala-yksikkö

$$dn = \zeta_s(\theta, \phi) \cdot n_0 \cdot n' \cdot d\omega$$

Säteilyintensiteetille pätee vastaavasti

$$I_s = \zeta_s(\theta, \phi) \cdot I_0 \cdot n' d\omega , \text{ missä } I_s = \text{kulmaan } \Theta \text{ sironnut intensiteetti}$$

$I_0$  = saapuvan säteilyn intensiteetti

Koska tarkasteluesimerkissä sirottavana hiukkasena on yksi elektroni, on  $n' = 1/dA$

$$\Rightarrow \zeta_s(\theta, \phi) = \frac{I_s dA}{I_0 d\omega} = \frac{I_s dA}{I_0 \frac{dA}{r^2}} = \frac{I_s}{I_0} r^2 \quad \left| \frac{I_s}{I_0} = \left(\frac{\tau_o}{r}\right)^2 \sin^2 \vartheta \right.$$

$$\Rightarrow \zeta_s(\theta, \phi) = \tau_o^2 \sin^2 \vartheta = \left(\frac{e^2}{mc^2}\right)^2 \sin^2 \vartheta$$

Käytettäessä  $\vartheta$ :n asemasta sirontakulmaa  $\Theta = 90^\circ - \vartheta$  on

$$\boxed{\zeta_s(\theta, \phi) = \left(\frac{e^2}{mc^2}\right)^2 \cos^2 \theta}$$

VAPAAN ELEKTRONIN DIFFERENTIAALINEN VAIKUTUSALA LINEAARISESTI POLARISOITUNEELLE SÄTEILYLLE

Nähdään, että vapaan elektronin vaikutusala on riippumaton saapuvan aallon taajuudesta.

Sironnan kokonaisvaikutusala  $\sigma_T$  (total cross section tai lyhyesti vain cross section) saadaan integroimalla yli kaikkien suuntien:

$$\begin{aligned}\sigma_T &= \int \sigma_s d\omega = 2\pi \int_0^\pi \sigma_s \sin\theta d\theta \\ &= 2\pi r_0^2 \int_0^\pi \sin^3 \theta d\theta = \frac{8}{3} \pi r_0^2\end{aligned}$$

$$\boxed{\sigma_T = \frac{8}{3} \pi \left(\frac{e^2}{mc^2}\right)^2 = 6.65 \cdot 10^{-25} \text{ cm}^2}$$

SIRONNAN KOKONAISVAIKUTUSALA  
VAPAALLE ELEKTRONILLE

HUOM.1 Koska  $\sigma_T \sim 1/m^2$ , voidaan todeta, että protonin aiheuttaman sironnan vaikutusala on  $(m_p/m_e)^2 \approx 10^6$  kertaa pienempi kuin vapaan elektronin vaikutusala.

HUOM.2 Atomiin harmoonisesti sidottua elektronia (ominaistaajuus  $\omega_0$ ) voidaan pitää likimääräisesti vapaana, jos elektronin sidosenergia on pieni (esim. kevyet atomit) ja saapuvan säteilyn energia on suuri (esim. pitkääaltoinen röntgensäteily).

Sidotun elektronin liikeyhtälö:

$$m''z = -\underbrace{m\omega_0^2 z}_{\text{sidosta kuvaava harmoninen termi}} - eE_0 \sin \omega t$$

Värähtelevän elektronin amplitudiksi tulee tällöin

$$A = \frac{eE_0}{m(\omega^2 - \omega_0^2)}$$

ja sironnan vaikutusalaksi saadaan

$$\boxed{\sigma = \frac{\sigma(\text{Thomson})}{(1 - \frac{\omega_0^2}{\omega^2})^2}}$$

Atomiin löyhästi sidotun elektronin sironnan vaikutusala riippuu täten saapuvan säteilyn taajuudesta. Todettakoon, että lyhytaaltoisen röntgensäteilyn tapauksessa sironnan vaikutusala pienenee voimakkaasti kvanttifysikalisten ja suhteellisuusteoreettisten efektien takia.

## 2) Sironsta monesta elektronista

Tarkastellaan edelleen yksinkertaisuuden vuoksi lineaariseksi polarisointunutta säteilyä. Tällöin vapaista elektroneista sironneilla aalloilla on vain vaihe-eroja  $\delta_n$ .

$$\begin{aligned}\bar{E}_s &= \sum_0^N \bar{E}_{sn} = \bar{E}_{so} \sum_0^N e^{i\delta_n} \quad \text{missä } E_{so} = \frac{r_0}{r} \sin \vartheta \cdot E_0 \sin \omega t \\ \Rightarrow I_s &= I_{so} \left| \sum_0^N e^{i\delta_n} \right|^2 \\ &= I_{so} \sum_n e^{i\delta_n} \cdot \sum_m e^{-i\delta_m} \\ &= I_{so} \underbrace{\sum_{n=m}^N e^{i(\delta_n - \delta_m)}}_N + \underbrace{\sum_{n \neq m} e^{i(\overbrace{\delta_n - \delta_m})}}_{2 \sum_{n>m} e^{i\delta_{nm}}} \\ &= I_{so} N \left( 1 + \frac{a}{N} \sum_{n>m} e^{i\delta_{nm}} \right)\end{aligned}$$

Aäritapaukset:

- 1<sup>0</sup> Sironsta tapahtuu kaikkiin suuntiin (ns. isotrooppinen sironsta)  
 $\Rightarrow \delta_{nm}$  jakautunut tasaiseesti välillä  $[0, 2\pi]$   
 $\Rightarrow \sum e^{i\delta_{nm}} = 0$   
 $\Rightarrow I_s = N \cdot I_{so}$ , missä  $I_{so}$  = yhden elektronin sirottama säteilyintensiteetti  $I_{el}$ .

$$I_s = N \cdot I_{el}$$

- 2<sup>0</sup> Hiukkasen koko  $a \ll \lambda$  (esim. valoalto)  
 $\Rightarrow$  kaikki  $N$  elektronia värähtelevät tähdissä

$$\Rightarrow \delta_n = 0$$

$$\Rightarrow I_s = I_{so} \left| \sum_0^N e^{i\delta_n} \right|^2 = I_{el} \cdot N^2$$

Yleisessä tapauksessa sironneen säteilyn intensiteetti vaihtelee näiden kahden ääritapauksen välillä:

$$N I_{el} < I_s < N^2 I_{el}$$

HUOM.  $I_s$  riippuu yleisessä tapauksessa sekä aallonpituuudesta että sironkulmasta ( $\Theta$ :n kasvaessa kasvaa aaltojen vaihe-ero  $\delta_n$ ).

### 3) Polarisoitumattoman säteilyn Thomsonin sirononta

Yhdistämällä kaksi lineaarisesti polarisoitunutta aaltoa, jotka ovat kohtisuorasti toisiaan vasten sekä etenemissuuntaan nähdyn, saadaan kaikki polarisaatiotapaukset:

$$\bar{E} = \bar{E}_x + \bar{E}_z \quad , \text{ missä } E_x = E_1 \sin \omega t \quad (\parallel x\text{-akseli})$$

$$E_z = E_2 \sin(\omega t + \delta) \quad (\parallel z\text{-akseli})$$

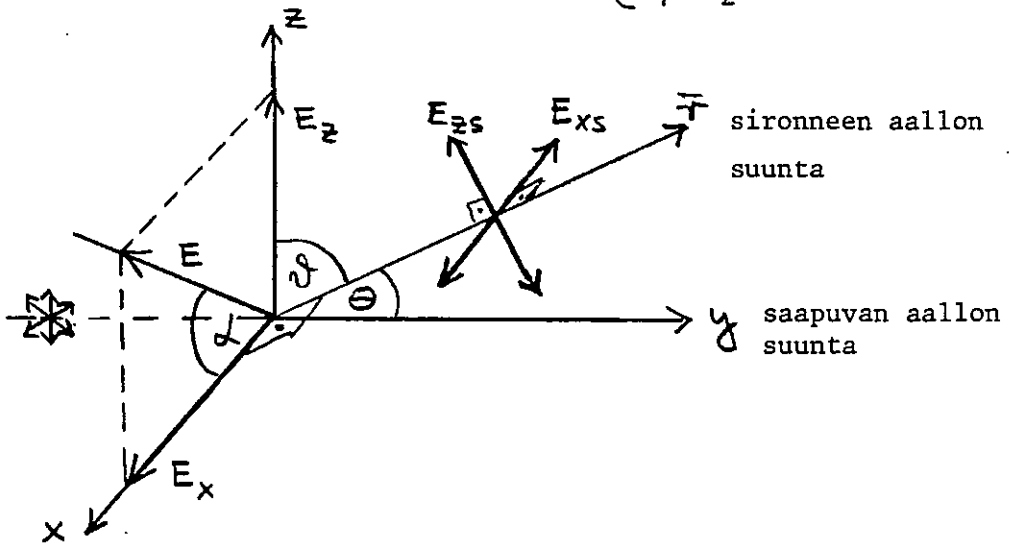
$$\delta = \text{aaltojen välinen vaihe-ero}$$

Lineaariseksi polaroituneessa aallossa  $\delta = n\pi$

Ympyräpolaroituneessa aallossa  $\begin{cases} \delta = (2n+1)\pi/2 \\ E_1 = E_2 \end{cases}$

Elliptisesti polaroituneessa aallossa  $\delta \neq n\pi$

Polarisoitumattomassa aallossa  $\begin{cases} \delta \text{ mielivaltainen} \\ E_1 = E_2 \end{cases}$



Sironneen säteilyn kenttävektorin kohtisuorat komponentit:

$$E_{zs} = E_z \cdot \frac{\tau_0}{\tau} \frac{\sin \delta}{\cos \theta} = \underbrace{(E_0 \sin \omega t \sin \alpha)}_E \frac{\tau_0}{\tau} \cos \theta \quad \parallel z\text{-akseli}$$

$$E_{xs} = E_x \cdot \frac{\tau_0}{\tau} \sin 90^\circ = (E_0 \sin \omega t \cos \alpha) \frac{\tau_0}{\tau} \quad \parallel x\text{-akseli}$$

$$\frac{I_s}{I_0} = \frac{E_{xs}^2 + E_{zs}^2}{E^2} = \left( \frac{\tau_0}{\tau} \right)^2 (\cos^2 \alpha + \sin^2 \alpha \cdot \cos^2 \theta)$$

Huomioimalla, että polarisoitumattomassa aallossa  $\alpha$  on tasaisesti ja- kautunut välille  $[0, 2\pi]$ , on

$$\langle \cos^2 \alpha \rangle = \langle \sin^2 \alpha \rangle = \frac{1}{2}$$

$$\Rightarrow \frac{I_s}{I_0} = \left\langle \frac{I_s}{I_0} \right\rangle = \frac{1}{2} \left( \frac{r_0}{r} \right)^2 (1 + \cos^2 \theta)$$

Luonnollisen valon tapauksessa on sironnan differentiaalinen vaiku- tusala siten

$$\epsilon_s(\theta, \phi) = \left\langle \frac{I_s}{I_0} \right\rangle r^2 = \frac{1}{2} r_0^2 (1 + \cos^2 \theta)$$

$$\epsilon_s(\theta, \phi) = \frac{1}{2} \left( \frac{e^2}{mc^2} \right)^2 (1 + \cos^2 \theta)$$

VAPAA ELEKTRONIN DIFFERENTIAALINEN  
VAIKUTUSALA POLARISOITUMATTOMALLE  
SÄTEILYLLÉ

Kokonaisvaikutusala sen sijaan on sama kuin lineaarisesti polarisoitu- neen säteilyn tapauksessa:

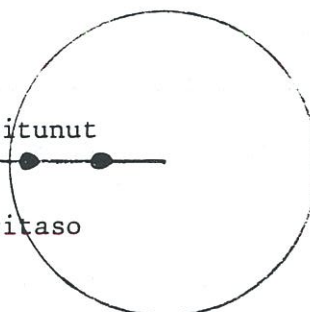
$$\epsilon_T = \int \epsilon_s(\theta, \phi) d\omega = \frac{1}{2} \left( \frac{e^2}{mc^2} \right)^2 \cdot 2\pi \underbrace{\int_0^\pi (1 + \cos^2 \theta) \sin \theta d\theta}_{\overbrace{-\cos \theta + \frac{1}{3} \overbrace{-\cos^3 \theta}^{\pi}}^{\pi}} = \frac{8}{3}$$

$$\epsilon_T = \frac{8}{3} \pi \left( \frac{e^2}{mc^2} \right)^2$$

SIRONNAN  
KOKONAISVAIKUTUSALA

Yhteenveto vapaasta elektronista sironneen säteilyn kulmajakautumas- ta eli sirontafunktiosta:

saapuva säteily  
lineaarisesti polarisoitunut  
polaris.suunta  $\perp$  paperitaso



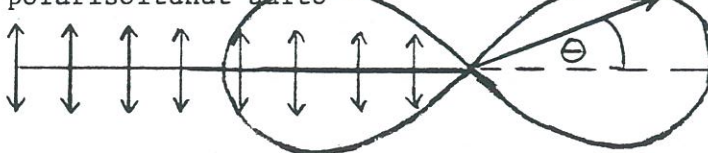
Isotrooppinen sirontafunktio  
(ei  $\theta$ -riippuvuutta)

$$\Rightarrow \vartheta = 90^\circ$$

$$\Rightarrow \theta = 0^\circ$$

$$\Rightarrow \epsilon_s = \left( \frac{e^2}{mc^2} \right)^2 = \text{vakio}$$

lineaarisesti  
polarisoitunut aalto

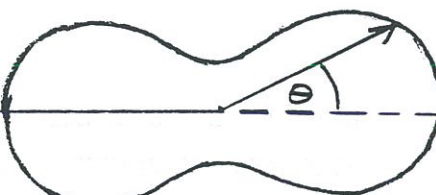


sirontafunktio  
 $\cos^2$  - muotoinen

polaris.suunta || paperitaso



luonnollinen  
eli polarisoitumaton valo



sirontafunktio  
 $1 + \cos^2$  - muotoinen

Vapaat elektronit sirottavat polarisoitumatonta valoa sekä eteen- että taaksepäin.

### b) Rayleighin sironta ( $\nu \ll \nu_0$ )

Rayleigh oli ensimmäinen, joka tutki (v. 1871) valon sirottumista hiukkasia, joiden koko on valon aallonpituuutta huomattavasti pienempi. Rayleighin sirontaa aiheuttavat keveisiin atomeihin ja molekyyleihin sidotut elektronit, joitten ominaistaajuus  $\nu_0$  on UV-alueessa.

Luvussa 2.5.2.d saatiin dipolin absorptiokertoimen  $K$  ja tilavuusabsorptiokertoimen  $\sigma K_y$  välille yhteyts

$$\sigma K_y = \frac{4\pi \nu K}{c}$$

resonanssikohdan ulkopuolella:

$$K = \frac{Ne^2}{2\pi m} \frac{\chi \nu}{2\pi} \frac{1}{(\nu_0^2 - \nu^2)^2 + (\frac{\chi \nu}{2\pi})^2}$$

$$\text{Koska } \nu \ll \nu_0 \Rightarrow |\nu_0 - \nu| \gg \chi \Rightarrow \frac{8\pi^2 \nu^2 e^2}{3mc^3} = \frac{0.9223}{\lambda^2}$$

voidaan nimittäjän viimeinen termi jättää huomioimatta:

$$K = \frac{Ne^2}{4\pi^2 m} \frac{8\pi^2 \nu^3 e^2}{3mc^3} \frac{1}{[\nu^2(\frac{\nu_0^2}{\nu^2} - 1)]^2}$$

voidaan jättää  
huomioimatta, koska  $\nu_0 \gg \nu$

$$\Rightarrow \sigma k_{\nu} = N \cdot \underbrace{\frac{8\pi}{3} \left( \frac{e^2}{mc^2} \right)^2}_{\zeta_T} \left( \frac{\nu}{\nu_0} \right)^4$$

$\zeta_T = \zeta_{el}$  = vapaan elektronin vaikutusala  
(Thomsonin vaikutusala)

$$\boxed{\sigma k_{\nu} = N \cdot \zeta_{el} \cdot \left( \frac{\lambda_0}{\lambda} \right)^4}$$

RAYLEIGHIN SIRONTAKAAVA

(sironnasta johtuva säteilyn heikkeneminen alkuperäisessä suunnassa)

Atomaarinen sironnan vaikutusala saadaan yhteydestä

$$\sigma k_{\nu} = N \cdot \zeta_{at}$$

$$\Rightarrow \boxed{\zeta_{at} = \zeta_{el} \cdot \left( \frac{\lambda_0}{\lambda} \right)^4}$$

RAYLEIGHIN SIRONNAN

ATOMAARINEN VAIKUTUSALA

Nähdään, että Rayleighin sironta riippuu voimakkaasti saapuvan säteilyn aallonpituuudesta. Koska siniselle valolle vaikutusala on noin  $2^4 = 16$  kertaa suurempi kuin punaiselle valolle, sirottuu luonnollisen valon sininen valokomponentti voimakkaammin. Esimerkiksi taivaan sinisyys johtuu juuri auringonvalon Rayleigh-sironnasta ilmakehän molekyyleistä. Rayleighin sirontaa esiintyy myös kylmien tähtien atmosfääreissä.

HUOM.1 Rayleighin sironta on epäisotrooppista. Kulmariippuvuus  $P(\Theta) = 3/4(1+\cos^2\Theta)$  on samanmuotoinen kuin Thomsonin sironnassa.

HUOM.2 Luonnollinen valo polarisoituu voimakkaasti Rayleighin ja Thomsonin sironnassa. Polarisaatioaste on suurimmillaan, kun sironkulma  $\Theta \approx 90^\circ$ .

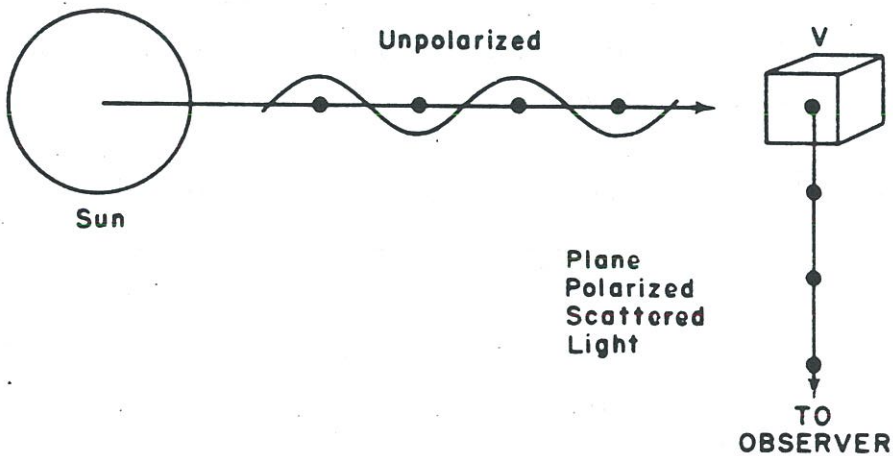


FIG. POLARIZATION OF LIGHT BY THE CORONA

Unpolarized light from the sun, (regarded for the purposes of the present discussion as a point source) hits the volume element  $V$ . Electrons vibrating perpendicular to the plane of the paper scatter light with the electric vector in this plane. Light scattered by those vibrating in the plane of the paper do not reach the observer. Hence photospheric light scattered in  $V$  would be plane-polarized. The light received by an observer is only partially polarized because contributions come from volume elements along the line of sight and because the sun is not a point source. These effects can be handled quantitatively.

c) Valon sirottuminen pölyhiukkasista

Myöhäisen spektriluokan tähdillä on usein pölyvaippa ympärillään, joten näissä tiheissä atmosfääreissä säteily sirottuu pölyhiukkasista. Tämän lisäksi valo sirottuu myös interstellaarisesta sekä interplanetarisesta pölystä.

Johdetaan seuraavassa sironnan vaikutusala pölyhiukkaselle, jonka koko  $a \ll \lambda$ . Hiukkasen elektronit värähtelevät tällöin tähdissä, ja syntyneet dipolit ovat kaikki samanvaiheisia. Lisäksi oletetaan, että molekyylit eivät itse omaa permanenttia dipolia, vaan ulkoinen kenttä indusoib dipolimomentit.

Sironnan vaikutusalan määrittelee yhtälö

$$\zeta = \frac{\text{sironnassa menettetty keskimääräinen säteilyteho}}{\text{saapuvan aallon keskimääräinen teho/cm}^2}$$

Yhden dipolin menettämä keskimääräinen säteilyteho on (kts. luku 2.5.2.b)

$$\left\langle \frac{dW}{dt} \right\rangle = \frac{16\pi^4 v^4}{3c^3} p_0^2, \text{ missä } p_0 = ez_0 = \text{dipolimomentin maksimiarvo}$$

Ratkaisemalla elektronin likeyhtälö

$$m\ddot{z} + Kz = -eE_0 e^{i\omega t} \quad \text{saadaan}$$

$$z = -\frac{eE_0 e^{i\omega t}}{K - m\omega^2} \quad \mid \omega_0 = \sqrt{\frac{K}{m}}$$

$$z = -\frac{eE_0 e^{i\omega t}}{m(\omega_0^2 - \omega^2)}$$

$$\Rightarrow p_0 = \frac{e^2 E_0}{m(\omega_0^2 - \omega^2)} = \frac{e^2 E_0}{4\pi^2 m (v_0^2 - v^2)}$$

Olkoon  $N_0$  hiukkastilavuudessa  $V$  olevien atomien lukumäärä. Tällöin  $N_0 : n$  dipolin menettämä keskimääräinen säteilyteho on

$$\begin{aligned} \left\langle \frac{dW}{dt} \right\rangle &= \frac{16\pi^4 v^4}{3c^3} (N_0 p_0)^2 \\ &= \frac{N_0^2 e^4 v^4 E_0^2}{3m^2 c^3 (v_0^2 - v^2)^2} \end{aligned}$$

Toisaalta sähkömagneettisen aallon tyhjössä mukanaan kuljettama keskimääriinen teho/cm<sup>2</sup> on (kts. luku 2.5.2.a)

$$\langle \tilde{P} \rangle = \frac{c}{4\pi} \langle E^2 \rangle = \frac{c}{4\pi} E_0^2 \underbrace{\langle \sin \omega t \rangle}_{\frac{1}{2\pi}} = \frac{c}{8\pi} E_0^2$$

Sironnan vaikutusala pölyssä on siten

$$\zeta = \frac{\langle \tilde{P} \rangle}{\langle \tilde{E} \rangle} = \frac{8\pi e^4 \nu^4 N_0^2}{3m^2 \zeta^4 (\nu_0^2 - \nu^2)^2}$$

$$\zeta = \frac{8\pi e^4 N_0^2}{3m^2 \lambda^4} \frac{1}{(\nu_0^2 - \nu^2)^2}$$

$$\boxed{\zeta = \frac{24\pi^3}{\lambda^4} \left( \frac{\epsilon - 1}{\epsilon + 2} \right)^2 \cdot V^2}$$

Taajuuslauseke voidaan kytkeä kiinteän aineen dispersiokaavaan:

$$\frac{1}{\nu_0^2 - \nu^2} = \frac{3\pi m}{N\epsilon^2} \frac{\epsilon - 1}{\epsilon + 2}, \text{ missä } N = \frac{N_0}{V}$$

, missä  $V$  = pölyhiukkasen tilavuus

$\lambda$  = säteilyn aallonpituus

$\epsilon = (n - ik)^2$  = dielektrisyyysvakio

Ylikurssia: Kiinteän aineen dispersiokaavan johto:

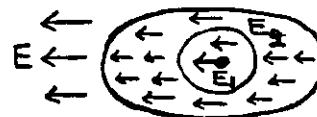
Kun dipolit ovat kaukana toisistaan, on polarisoituminen

$$\bar{P} = \frac{\sum \bar{P}_i}{V} = N\alpha \bar{E}, \text{ missä } \alpha = \text{atomin polarisoituvuus (di- elektrinen susceptibiliteetti)}$$

Kiinteässä aineessa on huomioitava naapuridipolien aiheuttama vuorovaikutus. Sähkökenttä  $\bar{E}$  korvataan tällöin tarkasteleutamin kohdalla vallitsevalla paikallisella kentällä

$$\bar{E}_{loc} = \bar{E} + \bar{E}_1 + \bar{E}_2, \text{ missä}$$

$\bar{E}$  = makroskooppinen kenttä

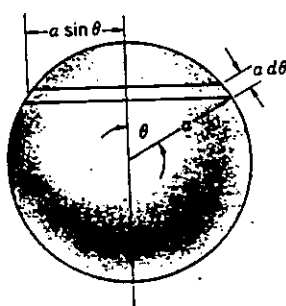


$\bar{E}_1$  = fiktivisen onkalon (jonka keskustassa tarkasteltava atomi) sisäpuolella oleva kenttä, joka riippuu aineen rakenteesta. Kuutio- ja pallosymmetrisessä tapauksessa  $\bar{E}_1 = 0$ .

$\bar{E}_2$  = fiktivisen onkalon ulkopuolella olevien dipolien aiheuttama kenttä. Merkitään  $-P \cos \theta =$  pintavaraustiheys onkalon sisäpuolisella pinnalla. Tämä pintavaraus synnyttää pallon keskipisteessä kentän

$$E_2 = \int_0^\pi \frac{2\pi a \sin \theta}{a^2} \cdot a d\theta \cdot P \cos \theta \cdot \cos \theta = \frac{4\pi}{3} P$$

$\bar{E}$ :n suunt. komponentti



$$\text{Charge on ring} = 2\pi a \sin \theta \cdot a d\theta \cdot P \cos \theta$$

Polarisoitumisen lauseke on täten

$$\bar{P} = N\alpha \bar{E}_{loc} = N\alpha (\bar{E} + \frac{4\pi}{3} \bar{P})$$

$$\Rightarrow \frac{P}{E} = \frac{N\alpha}{1 - \frac{4\pi}{3} N\alpha}$$

Toisaalta:

$$\epsilon = \frac{D}{E} = 1 + 4\pi \frac{P}{E}$$

$$\Rightarrow \frac{P}{E} = \frac{\epsilon - 1}{4\pi}$$

Polaroituvaus  $\alpha$  saadaan yhtälöparista

$$\left. \begin{aligned} P &= \alpha E = \alpha E_0 e^{i\omega t} \\ P &= -e\dot{z} = \frac{e^2 E_0 e^{i\omega t}}{m(\omega_0^2 - \omega^2)} \end{aligned} \right\} \Rightarrow \alpha = \frac{e^2}{m(\omega_0^2 - \omega^2)}$$

$$\frac{\epsilon - 1}{\epsilon + 2} = \frac{4\pi e^2 N}{3m(\omega_0^2 - \omega^2)} \quad | \quad \omega = 2\pi\nu$$

Mikäli kussakin atomissa värähdyssliikkeeseen osallistuu useampi kuin yksi elektroni, on

$$\boxed{\frac{\epsilon - 1}{\epsilon + 2} = \frac{Ne^2}{3\pi m} \sum_i \frac{f_i}{\omega_i^2 - \omega^2}}$$

KIINTEÄN AINEEN  
DISPERSIOKAAVA

missä  $f$  on ns. oskillaattorivoimakkuus.

HUOM. Hiukkasen kokonaispolaroituvaus koostuu seuraavista osatekijöistä:

$$\alpha_{tot} = \alpha_{electronic} + \alpha_{ionic} + \underbrace{\alpha_{orientational}}_{\text{(dipolar)}} \quad \text{kun molekyyllä permanentti dipoli}$$

Optisella alueella vaikuttaa  $\alpha$ :n reaaliosa-arvoon ja siten  $\epsilon$ :n reaaliosan eli taitekertoimen arvoon ( $\epsilon_{optical} = n^2$ ) miltei yksinomaan elektronien polarisoituvaus kuten seuraavasta kuvasta näkyy.

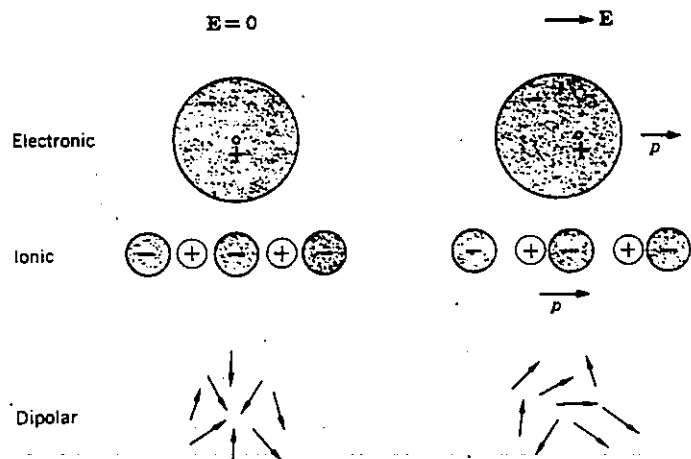


Figure 11 Contributions to the polarizability.

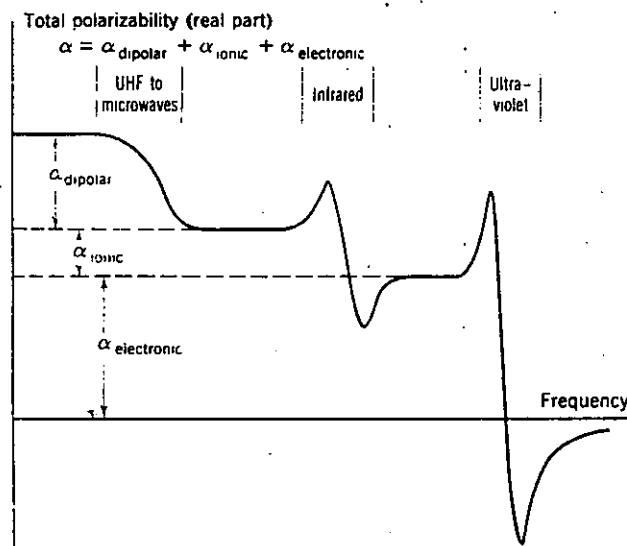


Figure Frequency dependence of the several contributions to the polarizability (schematic).

Huom. Ylikurssijakso päättyy täähän.

Mikäli pölyhiukkanen oletetaan pallomaiseksi (säde  $a$ ), on sironnan vaikutusala

$$\sigma = \frac{24\pi^3}{\lambda^4} \left( \frac{\epsilon-1}{\epsilon+2} \right)^2 \left( \frac{4\pi}{3} a^3 \right)^2$$

$$\sigma = \left[ \frac{8}{3} \times 4 \left( \frac{n^2-1}{n^2+1} \right)^2 \right] \cdot \pi a^2$$

$$\sigma = Q_{\text{sca}} \cdot \sigma_{\text{geom}}$$

, missä  $\sigma_{\text{geom}} = \pi a^2$  = hiukkasen geometrinen poikkipinta-ala

$Q_{\text{sca}} = Q(x, n)$  = sironnan vaikutuskerroin (efficiency factor)

Dielektrisille hiukkasille, joille

$$x \ll 1, \text{ on } Q_{\text{sca}} = \frac{8}{3} \times 4 \left( \frac{n^2-1}{n^2+1} \right)^2$$

HUOM. G. Mie johti v. 1908 sirontateorian pallomaisille hiukkasille ( $0.1 < x < 10$ ) lähtien Maxwellin yhtälöistä. Teoria tulostaa siironneen valon intensiteetin sirontakulman, taitekertoimen ja hiukkasen kokoparametrin  $x = 2\pi a/\lambda$  funktiona.

Kun  $x < 0.1 \Rightarrow$  Mien teoria  $\rightarrow$  Rayleighin sironta

Kun  $x > 10 \Rightarrow$  Mien teoria  $\rightarrow$  geometrinen optiikka  
(Fresnelin kaavat)

Sirkumstellaariselle ja interstellaariselle pölylle  $x \approx 1$ .

Kun  $x < 0.1$  sirottuu yhtä paljon valoa eteen- ja taaksepäin (Rayleighin sironta). Mien sironnassa sen sijaan valoa sirottuu sitä enemmän eteenpäin, mitä suuremmaksi hiukkasen koko kasvaa.

#### 2.5.4 Kontinuumiabsorptio

##### a) Kontinuumiabsorption päätekijät

Kun atomi absorboi säteilykvantin, voi elektronit siirtyä energiatilalta toiselle oheisen kuvan mukaisesti. Spektriviivoja aiheuttavien sidoselektronien siirtymää (bound-bound siirtymää) käsitellään luvussa 2.5.5. Tässä luvussa tarkastellaan kontinuumiabsorptiota: atomin ionisoitumista (bound-free siirtymät) sekä ytimen kentässä liikkuvan vapaan elektronin fotoniansorptiota (free-free siirtymät). Kontinuumiabsorptiokertoimen tunteminen on tärkeätä erityisesti atmosfäärimallilleja muodostettaessa.

HARJ. TEHT. Osoita, että täysin vapaa elektronit ei voi absorboida fotonia.

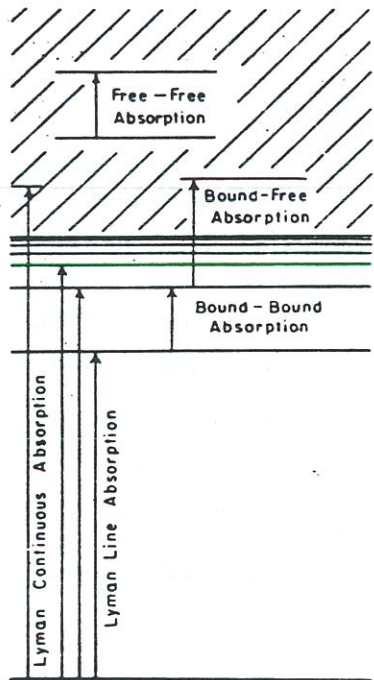
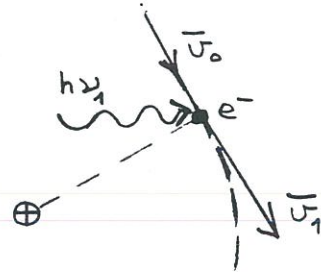


FIG. BOUND-BOUND, BOUND-FREE, AND FREE-FREE TRANSITIONS IN HYDROGEN

### 1) Dipolin free-free absorption ja free-free emission periaate

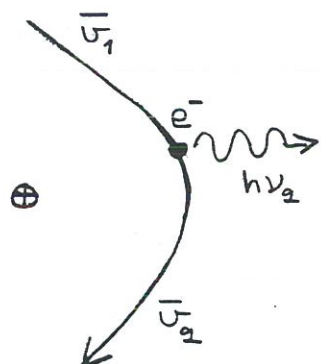
Vapaan elektronin ohittaessa ytimen riittävän läheltä, pystyy elektroni absorboimaan fotonin (kolmen kappaleen probleema), jolloin elektro- nin nopeus kasvaa:

$$\frac{1}{2} m v_0^2 + h\nu_1 = \frac{1}{2} m v_1^2$$



Free-free emissio syntyy, kun esimerkiksi ydin jarruttaa vapaan elektronin liikettä ( $\Rightarrow$  elektronin tekee hyperbeliradallaan jyrkemmän kaarteen ytimen ohi). Tällöin tilapäisesti muodostuneen dipolin dipolimomentti muuttuu, jonka seurauksena elektroni lähetää säteilyä:

$$\frac{1}{2} m v_1^2 = \frac{1}{2} m v_2^2 + h\nu_2$$



Vety ionisoituu 10000 K lämpötilassa, joten free-free emissio ja free-free absorptio ovat tärkeitä kuumissa atmosfääreissä.

Koska ytimen kentässä liikkuvan vapaan elektronin absorboima energia ei ole kvantittunut, voi absorboidun fotonin taajuus olla periaatteessa mikä tahansa. Kyseiset taajuudet muodostavat siten jatkuvan spektrin. Todettakoon kuitenkin, että pienienergisten fotonien free-free absorptio on paljon yleisempää kuin suurienergisten fotonien, minkä johdosta free-free absorption taajuudet keskittyvät spektrin infrapuna-alueelle.

### 2) Atomin ionisoituminen

Mikä tahansa säteilykvantti voi ionisoida atomin, jos sillä on riittävästi energiaa irrottamaan sidoselektroni atomista.

$$E = -\frac{hR_\infty Z^2}{n^2}$$

$$\begin{aligned}\Delta E &= h\nu = h \frac{c}{\lambda} = hc\bar{\nu} \\ &= \underbrace{hcR_\infty}_{R_\nu} \cdot Z^2 \left( \frac{1}{n^2} - \frac{1}{m^2} \right)\end{aligned}$$

missä  $Z$  = ytimen järjestysluku

$$R_\infty = \frac{2\pi^2 me^4}{ch^3} = \text{Rydbergin vakio } [\text{cm}^{-1}]$$

$$R_\nu = \frac{2\pi^2 me^4}{h^3} = \text{Rydbergin vakio } [\text{Hz}]$$

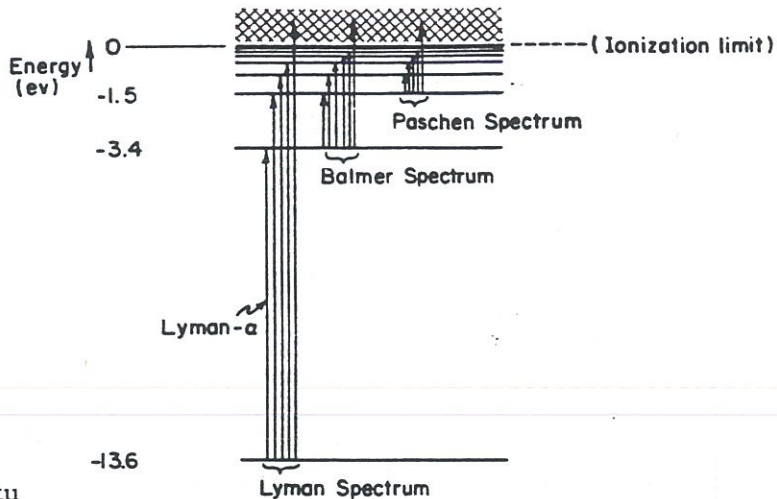


Fig. 1 Energy level diagram of atomic hydrogen.

Kuvasta nähdään, että energiasot lähestyvät toisiaan pääkvanttiluvun  $n$  kasvaessa. Tietyllä fotoniennergialla "viivat sulautuvat yhteen". Esimerkiksi vedyn Lyman sarjan raja on 13.6 eV, mikä vastaa fotonia, jonka  $\lambda = 912 \text{ \AA}$ . Näitä sarjarajoja ergeeettisempiä siirtymä kutsutaan elektronin bound-free siirtymiksi. Esimerkiksi vety ionisoituu eri viritystiloissaan, kun

$$\lambda < \lambda_{LyC} = 912 \text{ \AA} \quad (\text{Lyman sarjan kontinuumiraja}); \quad n = 1 \rightarrow \infty$$

$$\lambda < \lambda_{BalC} = 3647 \text{ \AA} \quad (\text{Balmer sarjan kontinuumiraja}); \quad n = 2 \rightarrow \infty$$

$$\lambda < \lambda_{PasC} = 8206 \text{ \AA} \quad (\text{Paschen sarjan kontinuumiraja}); \quad n = 3 \rightarrow \infty$$

Atomin ionisoituessa määrätyy vapautuneen elektronin liike-energia yhtälöstä

$$h\nu = \underbrace{\frac{1}{2}mv^2}_{W_{kin}} + \underbrace{\frac{hR_\nu Z^2}{n^2}}_{\text{elektronin sidosenergian voittamiseksi tehty työ}} \quad (1)$$

elektronin sidosenergian voittamiseksi tehty työ

Yhtenäisen formalismin vuoksi sovelletaan yhtälöä  $h\nu = hR_\nu Z^2 (1/n^2 - 1/m^2)$  myös bound-free siirtymiin. Vapaan elektronin "energiataso kvanttilukua" merkitään tällöin symbolilla  $iK$  ( $i = \text{imaginääriyksikkö}$ )

$$\Rightarrow h\nu = hR_\nu Z^2 \left( \frac{1}{n^2} + \frac{1}{K^2} \right) \quad (2)$$

Yhdistämällä yhtälöt (1) ja (2) saadaan

$$\frac{1}{2}mv^2 = \frac{hR_\nu Z^2}{K^2} \quad (3)$$

Introdusoimalla kontinuumiin energiataso  $iK$ , voidaan vapaan elektronin liike-energia muodollisesti esittää "sidosenergiana".

HUOM. Eroituksena atomin sidottuihin tiloihin nähdien voi kontinuumin energiatason "järjestysluku"  $K$  olla mikä tahansa positiivinen reaaliluku. Lähetyttäessä kontinuumirajaa kasvaa  $K$  kohti äretöntä. Kontinuumin aalofunktioihin ei tällä kurssilla paneuduta. Todettakoon vain, että kaukana atomista ( $K$  hyvin pieni) aalofunktio muuttuu tavalliseksi palloaalloksi.

Luvussa 2.5.2.e johdettiin atomaarisen kokonaisabsorption lauseke:

$$\int_0^\infty \alpha_\nu d\nu = f \frac{\pi e^2}{mc}$$

Tähän nojautuen voidaan atomaarinen bound-free absorptiokerroin  $\alpha_{bf}$  johtaa seuraavasti:

$$\alpha_\nu d\nu = df \frac{\pi e^2}{mc}, \text{ missä } df = \text{oskillatorivoimakkuus taajuusyksikköä kohden}$$

Tiettyllä välillä  $\Delta\nu$  yhteenlaskettu oskillatorivoimakkuus  $\Delta f$  on jatkuvuuden perusteella oltava sama kontinuumirajan kummallakin puolella:

$$\Delta f = \bar{f} \cdot \Delta n = \bar{f} \cdot \Delta K, \text{ missä } \bar{f} = \text{keskimääräinen oskillatorivoimakkuus kapealla kaistalla } \Delta K (\text{vast. } \Delta n)$$

$$\Rightarrow df = \bar{f} dK$$

Differentioimalla edellä esitettyt yhtälöt (1) ja (3) saadaan

$$-\frac{2hR_\nu Z^2}{K^3} dK = mv d\nu \stackrel{(1)}{=} h d\nu$$

$$\Rightarrow \left| \frac{dK}{d\nu} \right| = \frac{K^3}{2R_\nu Z^2}$$

$$\Rightarrow \alpha_{bf} = \bar{f} \frac{\pi e^2}{mc} \frac{dK}{d\nu}$$

$$\Rightarrow \alpha_{\nu}^{bf} = \bar{f} \frac{\pi e^2}{mc} \frac{K^3}{2R_{\nu} Z^2}$$

ATOMAARINEN BOUND-FREE  
ABSORPTIOKERROIN

b) Vedyn bound-free absorptiokerroin

Kvanttimekaniikan avulla voidaan kullekin alkuaineelle ja kullekin siirtymälle  $n' \rightarrow n$  laskea oskillaattorivoimakkuus  $f_{n'n}$  (kts. liitteen II loppuosaa) Kramer käytti laskuissaan (v. 1923) seuraavaa semiklassista kaavaa vedylle:

$$f_K(n',n) = \frac{2^6}{3\pi\sqrt{3}} \left( \frac{1}{n'^2} - \frac{1}{n^2} \right)^{-3} \frac{1}{n^3 n'^3} \frac{1}{g_{n'}}, \text{ missä } g_{n'} = \text{tilan } n' \text{ statinen paino}$$

Menzelin ja Pekeriksen kvanttimekaaniset tulokset (M.N., 96, 77, 1935) poikkesivat hieman Kramerin tuloksista (vedyn tapauksessa tosin hyvin väähän). Jos merkitään Kramerin oskillaattorivoimakkuutta  $f_k$ :lla, niin kvanttimekaniikan avulla laskettu oskillaattorivoimakkuus on

$$f(n',n) = f_K(n',n) \cdot g(n',n) \text{ missä } g = \text{Gauntin kerroin, joka ilmoittaa semiklassisen kaavan korjauskertoimen.}$$

Koska Gauntin kerroin eri alkuaineille on taulukoitu (Baker & Menzel, Ap.J., 88, 52, 1938), ilmoitetaan tähtitieteessä  $f(n',n)$  Kramerin yksinkertaisella, semiklassisella kaavalla korjattuna Gauntin tekijällä. Etenkin kontiuumiaabsorptioissa on Gauntin korjauskertoimen käyttö miellyttävää.

Bound-free siirtymille  $n \rightarrow iK$ , on äskeisessä oskillaattorivoimakkuuden lausekkeessa tehtävä seuraavat merkintämuutokset:  $n' \rightarrow n$  ja  $n \rightarrow iK$ , jolloin vedyn bound-free oskillaatorivoimakkuudeksi saadaan

$$f_{nk} = \frac{64}{3\pi\sqrt{3}} \frac{1}{2n^2} \left( \frac{1}{n^2} + \frac{1}{K^2} \right)^{-3} \left| \frac{1}{n^3} \frac{1}{K^3} \right| g^{bf}, \text{ missä } g^{bf} = \text{bound-free siirtymän Gauntin kerroin (merkitään usein myös } g_{II})$$

$$\begin{aligned} v &= R_{\nu} Z^2 \left( \frac{1}{n^2} + \frac{1}{K^2} \right) \\ \Rightarrow \left( \frac{1}{n^2} + \frac{1}{K^2} \right)^3 &= \frac{v^3}{R_{\nu}^3 Z^6} \end{aligned}$$

$$\Rightarrow f_{nK} = \frac{32}{3\pi\sqrt{3}} \frac{R_\nu^3 z^6}{n^5 \nu^3} \left| \frac{1}{K^3} \right| g^{bf}$$

VEDYN BOUND-FREE SIIRTYMÄN  
OSKILLAATTORIVOIMAKKUUS

Sijoittamalla tämä a-kohdassa johdettuun kontinuumiabsorptiokertoimen lausekkeeseen saadaan

$$\alpha_\nu^{bf} = \frac{\bar{f}}{f} \frac{\pi e^2}{mc} \frac{K^3}{2R_\nu z^2}$$

sij.  $z = 1$

$$f_{nK} = \frac{32}{3\pi\sqrt{3}} \frac{R_\nu^3}{|K^3|} \frac{g^{bf}}{n^5 \nu^3}$$

$$R_\nu = \frac{2\pi^2 me^4}{h^3}$$

(yksi Rydbergin vakio kirjoitetaan auki)

$$\Rightarrow \alpha_n^{bf}(\nu) = \frac{32}{3\sqrt{3}} \frac{\pi^2 e^6}{c h^3} \frac{R_\nu}{n^5 \nu^3} g^{bf}$$

VEDYN ATOMAARINEN BOUND-FREE  
ABSORPTIOKERROIN

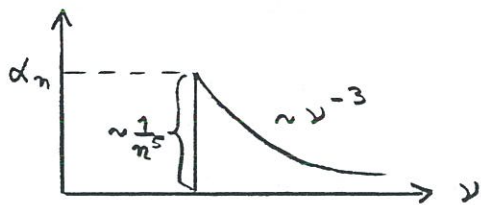
Vedylle Gaunt-kerroin  $g^{bf} \approx 1$ , joten  $\alpha_n^{bf}(\nu) \sim n^{-5} \nu^{-3}$ . Sijoittamalla va-  
kiot (cgs-yksiköissä) saadaan

$$\alpha_n^{bf}(\nu) = 2.81 \cdot 10^{29} \frac{g^{bf}}{n^5 \nu^3} \quad [\text{cm}^2]$$

ESIM. Balmerin kontinuumiabsorptiossa  $n = 2$

$$\lambda = 3647 \text{\AA}, \nu = 8 \cdot 22 \cdot 10^{14} \text{ Hz}$$

$$\Rightarrow \alpha_2^{bf}(\nu) = 1.58 \cdot 10^{-17} g^{bf} \quad [\text{cm}^2]$$



Eri viivasarjojen rajojen välillä kontinuumiabsorptiokerroin alenee kuten  $\nu^{-3}$ , mutta nousee äkisti seuraavan sarjan rajalla. Visuaali-alueella tämä nähdään ns. Balmerin hyppynä aallonpituudella  $\lambda = 3467 \text{\AA}$ .

Vedyn sarjarajojen taajuuksilla  $\nu$  suhtautuu kontinuukiabsorptiokerroin  $\alpha_n$  Lymanin kontinuumiabsorptiokertoimeen  $\alpha_1$  kuten

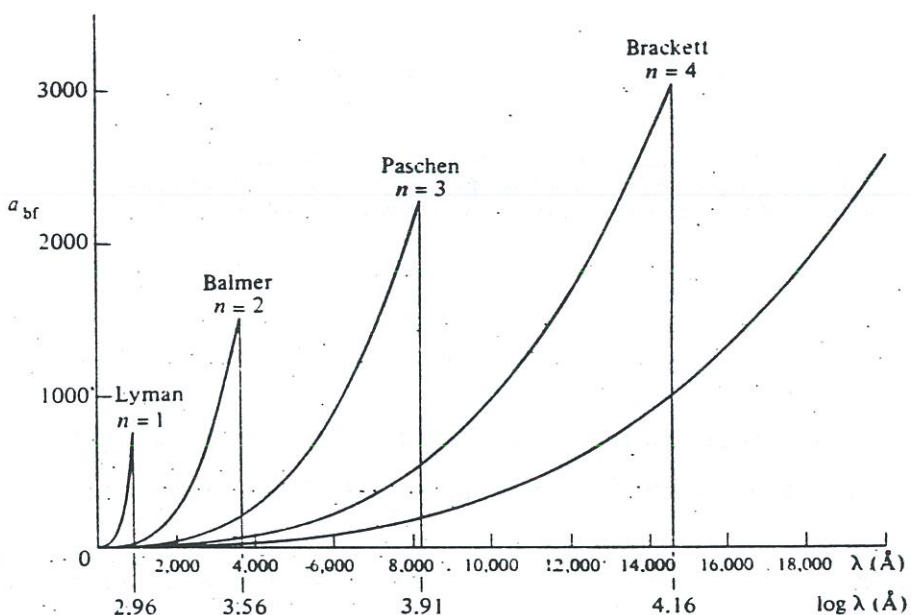
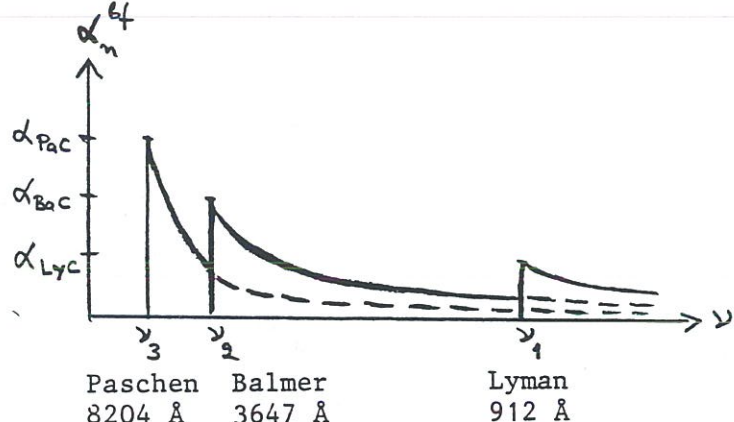
$$\frac{\alpha_n^{bf}(\nu_n)}{\alpha_1^{bf}(\nu_1)} = \frac{\frac{1}{n^5} \frac{1}{\nu_n^3}}{1 \cdot \frac{1}{\nu_1^3}} = \frac{(\nu_1/\nu_n)^3}{n^5}$$

$$= \frac{(n^2)^3}{n^5} = n$$

$$\Rightarrow \alpha_n^{bf}(\nu_n) = n \cdot \alpha_1^{bf}(\nu_1)$$

$$\text{Ionisaatioenergia } E_n = \frac{h R_\nu}{n^2}$$

$$\Rightarrow \frac{h \nu_1}{h \nu_n} = \frac{n^2}{1}$$



*Fig.* The Bound-Free Absorption Coefficient of a Hydrogen-Like Atom. The coefficients of absorption from the first four levels, and part of the coefficient from the fifth level, are illustrated. The units are chosen such that  $a_{bf} = 1$  at  $\lambda = 100 \text{ \AA}$ ,  $n = 1$ ; thus the ordinate is actually eq. (3-13),

$$a_{bf}(\lambda, z', n)/a_{bf}(\lambda = 100 \text{ \AA}, z', n = 1).$$

Kun huomioidaan, että tietyn sarjarajan absorptiokertoimeen on lisättävä alemmillä taajuuksilla esiintyvien sarjarajojen absorptiokertoimien jäännökset ( $\alpha_v \sim v^{-3}$ ) tarkasteltavan taajuuden kohdalla, saadaan seuraava kuva.

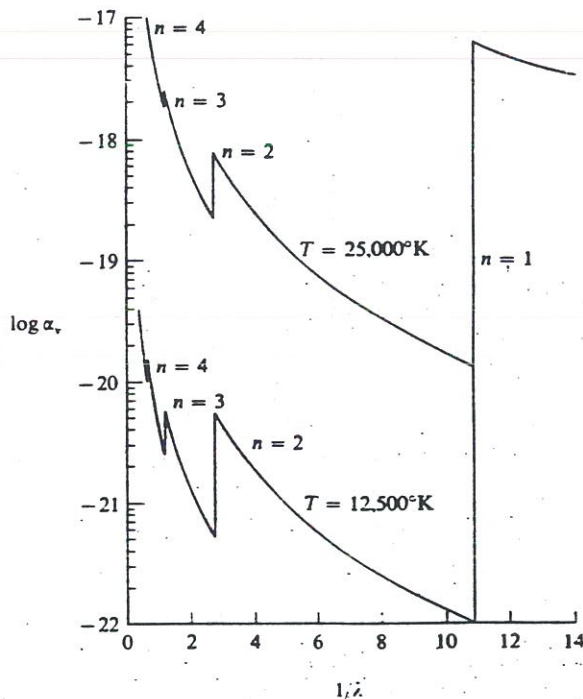


FIG. ... Opacity due to hydrogen at  $T = 12,500^{\circ}\text{K}$  and  $T = 25,000^{\circ}\text{K}$ ; photoionization edges are labeled with quantum number of state from which they arise. Ordinate gives sum of bound-free and free-free opacity in  $\text{cm}^3/\text{atom}$ ; abscissa gives  $1/\lambda$ , where  $\lambda$  is in microns.

Siirryttääessä atomaarisesta absorptiokertoimesta  $\alpha_v^{bf}$  massa-absorptiokertoimeen  $k_v^{bf} [\text{cm}^2/\text{g}]$  saadaan kaavan  $k_v = N_n \alpha_v^{bf}$  perusteella

$$k_n^{bf} = \frac{\sum N_n \alpha_n^{bf}}{S}, \quad \text{missä } N_n = \text{viritystilassa } n \text{ olevien vetyatomioiden } 1\text{km/cm}^3$$

Summaus vain yli niitten  $n$ :n arvojen, joille  $v > v_m$  = kontinuumiraja

$$\begin{aligned} \text{Esim. } 912 \text{ \AA} < \lambda < 3647 \text{ \AA} : \quad & \sum_{n \geq 2} \\ 3647 \text{ \AA} < \lambda < 8200 \text{ \AA} : \quad & \sum_{n \geq 3} \end{aligned}$$

Perustilassa  $n = 1$  olevien vetyatomien kontinuumiabsorptiokerroin/1g on siten

$$k_1^{\text{bf}} = \frac{\sum N_n \alpha_n^{\text{bf}}}{N_1 \cdot m_H}$$

, missä  $N_1$  = perustilassa olevien vetyatomien  $\text{km}^{-3}$

$m_H$  = vetyatomien massa [g]

$$k_1^{\text{bf}} = \frac{1}{m_H} \sum \frac{N_n}{N_1} \alpha_n^{\text{bf}}$$

Boltzmannin yhtälö ilmoittaa eri energiasoil- la olevien atomien suhteelliset määrität:

$$\frac{N_n}{N_1} = \frac{g_n}{g_1} e^{-(\chi_1 - \chi_n)}, \text{ missä } \chi_n = \frac{h\nu_n}{kT_e}$$

$$\frac{N_n}{N_1} = \frac{g_n^2}{g_1} e^{-\chi_1} \cdot e^{\chi_n}$$

$$\Rightarrow k_1^{\text{bf}} = \frac{e^{-\chi_1}}{m_H} \sum n^2 e^{\chi_n} \alpha_n^{\text{bf}} \quad | \quad \text{Sij. } \alpha_n^{\text{bf}} = \frac{32}{3\sqrt{3}} \frac{\pi^2 e^6 R_\nu g}{c h^3} \frac{\alpha_{\text{bf}}}{n^5 \nu^3}$$

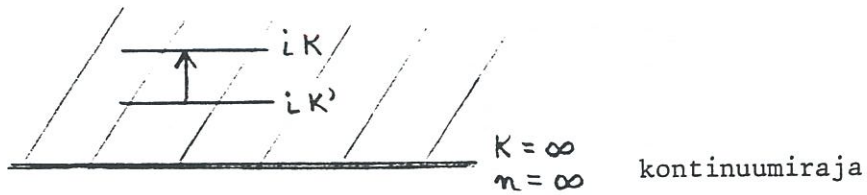
$$\Rightarrow k_1^{\text{bf}} = \frac{32}{3\sqrt{3}} \frac{\pi^2 e^6 R_\nu}{c h^3 m_H} \frac{e^{-\chi_1}}{\nu^3} \sum_n \frac{g_n^2}{n^5} e^{\chi_n} \quad (\nu > \nu_n)$$

PERUSTILASSA OLEVIEN VETYATO- MIEN BOUND-FREE MASSA-ABSORP- TIOKERROIN

### c) Vedyn free-free absorptiokerroin

Hyvin kuumissa tähdissä ulottuu free-free absorptio myös spektrin visuaalialueelle. Tällöin on bound-free massa-absorptiokertoimeen lisättävä free-free kontinuumiabsorption osuus.

Free-free absorptiokerroin yhtä protonia ja sitä ohittavaa (nopeus välissä  $[v, v + dv]$ ) vapaata elektronia kohden saadaan a-kohdassa johdetun atomaaarisen kontinuumiabsorptiokertoimen  $\alpha_{\nu}^{\text{ff}}$  avulla, kunhan sidottu energiatila n korvataan vapaan tilan energiasolla  $iK'$  ja bound-free oskillaattori-voimakkuus korvataan free-free siirtymän oskillaattorivoimakkuudella  $f_{K'K}$ :



$$f_{K'K} = \frac{64}{3\sqrt{3}\pi} \frac{1}{g_{K'}} \frac{1}{\left[-\frac{1}{K'^2} + \frac{1}{K^2}\right]^3} \left| \frac{1}{K'^3} \frac{1}{K^3} \right| g^{ff}$$

$$= \frac{64}{3\sqrt{3}\pi} \frac{1}{g_{K'}} \frac{R_\nu Z^6}{\nu^3} \left| \frac{1}{K'^3} \frac{1}{K^3} \right| g^{ff}$$

$$\nu^{ff} = R_\nu Z^2 \left( \frac{1}{K^2} - \frac{1}{K'^2} \right)$$

$$\Rightarrow \left( \frac{1}{K^2} - \frac{1}{K'^2} \right)^3 = \left( \frac{\nu}{R_\nu Z^2} \right)^3$$

Vapaan elektronin statistinen paino  $g_K$ , saadaan seuraavasti:

$$\text{Faasiavaruuden "alkeiskoppi"} = \underbrace{dp_x dp_y dp_z}_{h} \underbrace{dxdydz}_{h} \quad \begin{array}{l} \text{Heisenbergin epätark-} \\ \text{kuusperiaate:} \\ dp_x dx \approx h \end{array}$$

$$= \underbrace{dp_x}_{h} \underbrace{dx dp_y}_{h} \underbrace{dy dp_z}_{h} dz$$

$$\approx h^3$$

Elektronien maksimilukumäärä

yksikkötilavuudessa ( $dxdydz = 1$ ) =  $2 \times$  faasiavaruuden alkeiskoppien lkm.

$$g_{K'} = 2 \cdot \frac{4\pi p^2 dp}{h^3}$$

↑ jokaiseen alkeiskoppiin mahtuu kaksi elektronia, joilla vastakkaiset spinit

$$= \frac{8\pi}{h^3} p^2 dp$$

$$= \frac{8\pi}{h^3} (mv')^2 m dv'$$

Elektronin liike-energia voidaan lausua kontinuumin "sidosenergiana" (kts. a-koh-ta)

$$\frac{1}{2} mv'^2 = \frac{h R_\nu Z^2}{K'^2} \quad \begin{array}{l} \text{differentioidaan} \\ \Rightarrow |dv'| = \frac{2h R_\nu Z^2}{mv' K'^2} |dK'| \end{array}$$

$$g_{K'} = \frac{16\pi m^2 R_\nu Z^2 v'}{h^2 K'^3} dK'$$

Valitsemalla  $dK' = 1$  ja sijoittamalla vapaan elektronin statistinen paino  $g_K$ , oskillaattorivoimakkuuden lausekkeeseen  $f_{K'K}$  saadaan

$$\alpha_\nu = f_{K'K} \frac{\pi e^2}{mc} \frac{K^3}{2R_\nu Z^2}$$

$$f_{K'K} = \frac{4}{3\pi^2\sqrt{3}} \frac{h^2 R_\nu^2 Z^4}{m^2 v' \nu^3} \frac{g^{ff}}{|K^3|}$$

$$\alpha_\nu = \frac{2}{3\pi\sqrt{3}} \frac{h^2 e^2 R_\nu Z^2}{m^3 c v'} \frac{g^{ff}}{\nu^3}$$

Kontinuumiabsorptiokerroin yhtä protonia ja yhtä vapaata elektronia (nopeus välissä  $[\nu, \nu + d\nu]$ ) kohden on

$$\alpha_K^{ff}(\nu) d\nu = \frac{2}{3\sqrt{3}} \frac{R_\nu Z^2 h^2 e^2}{m^3 \pi c} \frac{g^{ff}}{\nu^3} d\nu$$

VEDYN FREE-FREE ABSORPTIOKERROIN

missä  $g^{ff}$  = free-free siirtymän Gaunt-kerroin ( $\approx 1$ )

(merkitään usein myös  $g_{III}$ )

Relaation  $k_y \propto N_i \alpha_K^{ff}$ , perusteella voidaan free-free absorptiokerroin  $\alpha_K^{ff}$  (yhtä protonia ja yhtä vapaata elektronia kohden) muuttaa massa-absorptiokerroimeksi  $k_y^{ff}$ :

$$\int \delta dk_y^{ff} = N_i [N_e f(v) dv] \cdot \alpha_K^{ff}(v) , \text{ missä } N_i = \text{protonien } 1\text{ km/cm}^3$$

$N_e f(v) dv = \text{elektronien } 1\text{ km/cm}^3$ ,  
joilla nopeus välissä  
[v, v + dv]

Oletetaan Maxwellin nopeusjakautuma,  
jolloin

$$f(v) dv = 4\pi \left( \frac{m}{2\pi kT} \right)^{3/2} v^2 e^{-\frac{mv^2}{2kT}} dv$$

$$\text{Merkitään } \chi_K = \frac{\frac{1}{2}mv^2}{kT_e} = \frac{hv_K}{kT_e}$$

$$\Rightarrow \frac{1}{2}mv^2 = \chi_K kT_e \quad | \text{ differentioidae}$$

$$\Rightarrow v dv = \frac{kT_e}{m} d\chi_K$$

$$f(v) dv = 4\pi \left( \frac{m}{2\pi kT} \right)^{3/2} v \frac{kT_e}{m} e^{-\chi_K} d\chi_K$$

Tulo  $N_i N_e$  saadaan yhdistetyn Boltzmannin ja Sahan yhtälön avulla:

$$N_n = \frac{N_i N_e}{T_e^{3/2}} \left( \frac{h^2}{2\pi m k} \right)^{3/2} n^2 e^{\chi_n}$$

Perustilassa:

$$N_1 = \frac{N_i N_e}{T_e^{3/2}} \left( \frac{h^2}{2\pi m k} \right)^{3/2} e^{\chi_1}$$

$$\Rightarrow N_i N_e = N_1 \left( \frac{2\pi m k T_e}{h^2} \right)^{3/2} e^{-\chi_1}$$

$$\text{missä } \chi_1 = \frac{\frac{1}{2}mv^2}{kT_e} = \frac{1}{kT_e} \frac{hR_v Z^2}{K^2} \stackrel{(K=1)}{=} \frac{hR_v Z^2}{kT_e}$$

Huomioimalla, että perustilassa olevien vetyatomien tiheys  $\xi = N_1 m_H$  sekä sijoittamalla massa-absorptiokertoimen  $dk_y^{ff}$  lausekkeeseen  $\xi$ ,  $N_i N_e$ ,  $f(v) dv$ ,  $\alpha_K^{ff}$  sekä vedyn järjestysluku  $Z = 1$  saadaan

$$dk_y^{ff} = \frac{8}{3\sqrt{3}} \frac{e^2 R_v k T_e}{c h m m_H} \frac{q^{ff}}{v^3} e^{-(\chi_1 + \chi_2)} d\chi_K$$

Koska elektroni voi säteillä taajuudella  $\nu$  riippumatta siitä, mikä sen nopeus on, on  $dk_{\nu}^{ff}$  integroitava yli kaikkien nopeusarvojen:

$$k_{\nu}^{ff} = \int_{r=0}^{\infty} dk_{\nu}^{ff} = \int_{T_k=0}^{\infty} dk_{\nu}^{ff}$$

$$\Rightarrow k_{\nu}^{ff} = \frac{8}{3\sqrt{3}} \frac{e^2 R_{\nu} k T_e q^{ff}}{c h m \cdot m_H} \nu^{3/2} e^{-T_k}$$

VEDYN FREE-FREE MASSA-  
ABSORPTIOKERROIN

Yhdistämällä vetyatomien bound-free sekä free-free absorptiokerroin saadaan kokonaisabsorptiokerroin yhtä vetygrammaa kohden:

$$k_{\nu} = k_{\nu}^{bf} + k_{\nu}^{ff}$$

KOKONAISSABORPTIOKERROIN/1g

Vedyn kokonaisabsorptiokerroin taajuuden funktioina on esitetty seuraavassa kuvassa.

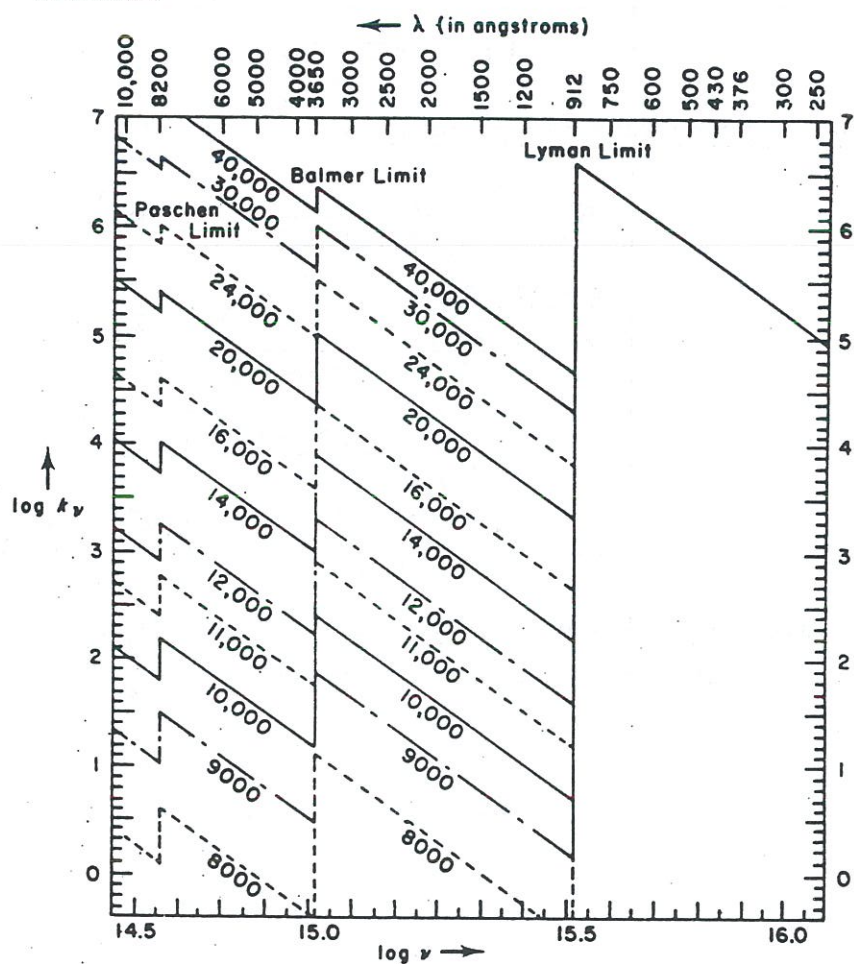


Fig. . . THE ABSORPTION COEFFICIENT OF ATOMIC HYDROGEN

The logarithm of the absorption coefficient of atomic hydrogen (not corrected for negative absorptions), calculated per gram of H atoms in the ground level, is plotted against  $\log \nu$  for various temperatures. The wavelength scale is indicated at the top. Notice in particular how the size of the Balmer discontinuity increases monotonically with decreasing temperature. Were atomic hydrogen the sole source of opacity in stellar atmospheres, the jump in the energy distribution at the limit of the Balmer series could become very large.

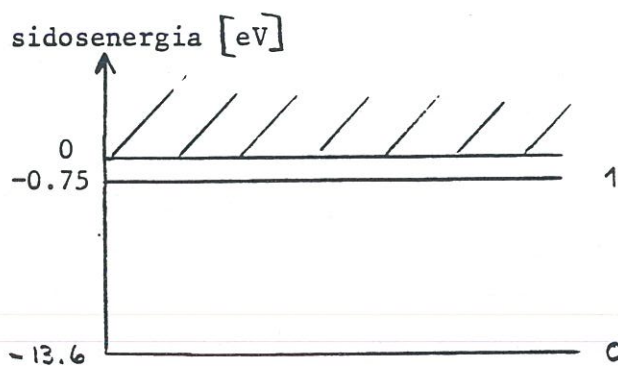
Nähdään, että kontinuumiabsorptiokerroin riippuu voimakkaasti lämpötilasta. Alhaisissa lämpötiloissa lähes kaikki vetyatomit ovat perustilassa. Käytännöllisesti katsoen kontinuumiabsorptiot tapahtuvat tällöin alueella  $\lambda < 912 \text{ \AA}$ . Tästä syystä neutraalit vetyatomit eivät juuri visuaalialueen opasiteettiin. Lämpötilan nostessa kasvaa korkeampien energiatilojen miehitys, jolloin myös visuaaliaallonpituuksilla kontinuumiabsorptio kasvaa. Vasta Aurinkoa vähän kuumemmissa tähdissä vedyn bound-free absorptio tulee tärkeäksi, ja vain kaikkein kuumimmassa tähdissä täytyy huomioida free-free absorptio.

Kuvasta nähdään myös, että Balmerin hypyn suuruus kasvaa lämpötilan aleissa.

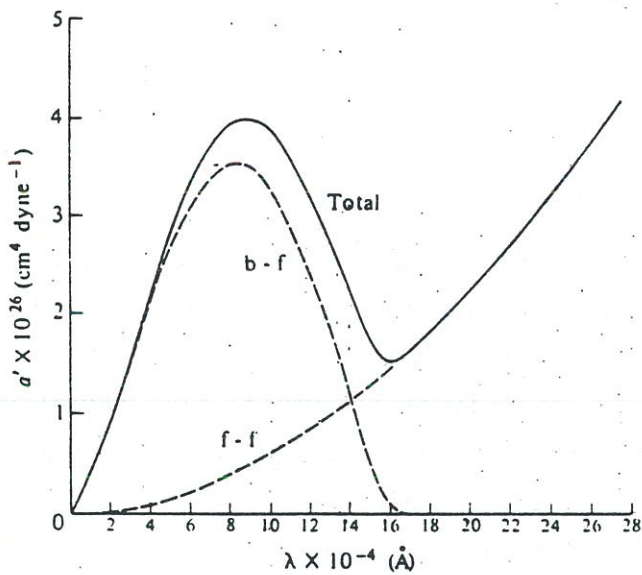
#### d) Negatiivisen vetyionin kontinuumiabsorptio

Vedyn bound-free ja free-free absorptio antaa visuaalialueella riittävän kontinuumiabsorptiolähteen vain kuumilla tähdille ( $T \gtrsim 8000 \text{ K}$ ). Kylmempien tähtien opasiteetin selittäminen metallien avulla ei luonnista, koska tällöin myös metallien absorptiovivojen täytyisi olla havaittuja paljon voimakkaammat. R. Wildt esitti v. 1938, että negatiivisen vetyionin ( $H^-$ ) bound-free ja free-free siirtymät aiheuttavat riittävästi kontinuumiabsorptiota visuaalialueella, kun lämpötila tähden atmosfäärisässä on  $T \leq 7000 \text{ K}$ . (Bethe ja Hylleraas olivat jo v. 1930 kvanttimekaanisilla laskuilla ennustaneet  $H^-$  ionin olemassaolon.)

Koska vedyn yksi elektroni ei täysin peitä ytimen varausta, pystyy ydin sieppaamaan läheltä kulkevan elektronin elektroniverhoonsa.  $H^-$  ionissa on ensimmäisen elektronin perustilan sidosenergia 13.6 eV ja tämän toisen, siepatun elektronin sidosenergia on 0.754 eV. Alhaisen sidosenergian johdosta  $H^-$  ioni ei esiinny kuumien tähtien atmosfääreissä.



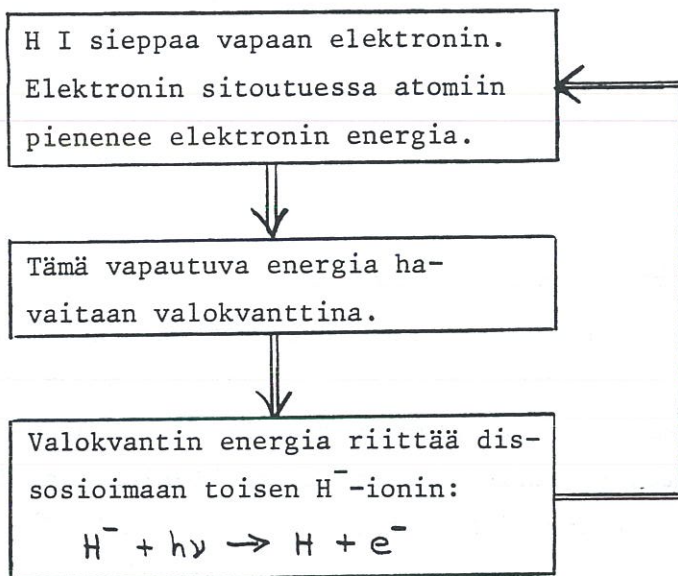
Koska  $H^-$ -ionilla on vain yksi mahdollinen sidottu tila, ei  $H^-$  pysty bound-bound siirtymiin ( $\Rightarrow$  spektriviiva), vaan ainoastaan kontinuumiabsorptioihin.  $H^-$ -ionin kontinuumiabsorptiokertoimen laskeminen on mutkikkaampi kuin neutraalin vedyn tapauksessa. Seuraava kuva esittää laskujen tulokset



*Fig.* The Absorption Coefficient of the Negative Hydrogen Ion at a Temperature of  $6300^\circ\text{K}$  ( $\theta = 0.8$ ) due to Bound-Free and Free-Free Transitions. The quantity plotted is  $10^{26}$  times the absorption coefficient per unit electron pressure and per neutral hydrogen atom in one  $\text{cm}^3$ . Thus the coefficient has the dimensions  $\text{cm}^{-1}$  and is not a mass absorption coefficient. [Adapted from N. A. Doughty and P. A. Fraser, 1966 (211).]

Nähdään, että kontinuumiabsorptio koostuu kahdesta tekijästä: bound-free sekä free-free siirtymistä. Lisäksi havaitaan, että (päinvastoin kuin neutraalin vedyn tapauksessa) bound-free absorptio ei ole maksimissaan heti sarjarajan vieressä, vaan se kasvaa rajalta (0.754 eV vastaa raja-aallonpiirtutta  $\lambda = 16450 \text{ \AA}$ ) lyhyempien aallonpituuksiin päin ja saavuttaa maksimin kun  $\lambda \approx 8500 \text{ \AA}$ .

$H^-$ -ionin matalasta dissosiaatioenergiasta johtuen ovat negatiivisen vety-ionin bound-free ja free-free siirtymät tärkeitä visuaalisessa ja infrapuna-alueessa.  $H^-$ -ionin merkitys ilmenee seuraavasta kaaviokuvasta:



Tämän kiertokulun ansiosta sitoutuu elektroneja jatkuvasti vetyatomeihin tuottaen sitten jatkuvasti uusia valokvantteja. Aurinkon näkyvä valo esimerkiksi on seurausta  $H^-$ -ionin muodostumisesta. (Huom. Aurinkon fotosfäärikerroksen paksuus on vain noin 300 km)

Sahan yhtälön avulla voidaan laskea  $H^-$ -ionin muodostavien vetyatomien suhteellinen määrä tietyn lämpötilassa ja paineessa.

$$\frac{N_{0,1}(H) \cdot P_e}{N(H^-)} = 0.331 \cdot T^{5/2} \frac{2u(H)}{u(H^-)} \cdot 10^{-\frac{5040}{T}} \cdot \chi [eV]$$

$$\Rightarrow \frac{N(H^-)}{N_{0,1}(H)} = 1.2 \times 10^{-8}$$

$T = 6000 K$
$P_e = 10 \text{ dyn/cm}^2$
$u(H) = 1$
$u(H^-) = 1$
$\chi = 0.75 \text{ eV}$

Koska Paschen kontinuumiabsorptioitten ( $n = 3 \rightarrow \infty$ ) alue on  $3647 \text{ \AA} < \lambda < 8204 \text{ \AA}$ , lasketaan viritystilassa  $n = 3$  olevien vetyatomien suhteellinen osuus perustilassa oleviin vetyatomeihin nähdent:

$$\Rightarrow \frac{N_{0,3}}{N_{0,1}} = 6.28 \times 10^{-10}$$

Yhdistämällä nämä molemmat tulokset saadaan

$$\frac{N(H^-)}{N_{o,1}(H)} \cdot \frac{N_{o,3}(H)}{N_{o,1}(H)} = \frac{N(H^-)}{N_{o,3}(H)} = \frac{1.2 \times 10^{-8}}{6.28 \times 10^{-10}} \approx 20$$

Voidaan todeta, että kontinuumiabsorption kannalta  $H^-$  ionti on tärkeämpi kuin neutraali vety.

### e) Muiden alkuaineiden kontinuumiabsorptio

Tietyillä spektrialueilla myös muut alkuaineet voivat aiheuttaa merkittävää kontinuumiabsorptiota. Kuumissa tähdissä ( $T > 16800$  K) on erityisesti helium huomioitava. Kylmien tähtien atmosfääreissä taas erääät metallit (Al, Mg, Si, C ...) aiheuttavat kontinuumiabsorptiota UV-alueella. Todettakoon, että monien metallien kontinuumiabsorptioraja osuu alueelle  $\lambda_{\text{cont}} < 912 \text{ Å}$ , jossa vedyn Lyman-kontinuumiabsorptio dominoi. Seuraavissa kuvissa on esitetty kontinuumiabsorptio aallonpituuuden funktiona.

- a) Aurinkon atmosfäärisä (spektriluokka G2V;  $T = 5700$  K)
- b)  $\tau$  Scorpian atmosfäärisä (spektriluokka B0V;  $T = 28300$  K)

Kuvista nähdään mikä alkaine dominoi kyllakin taajuusalueella.

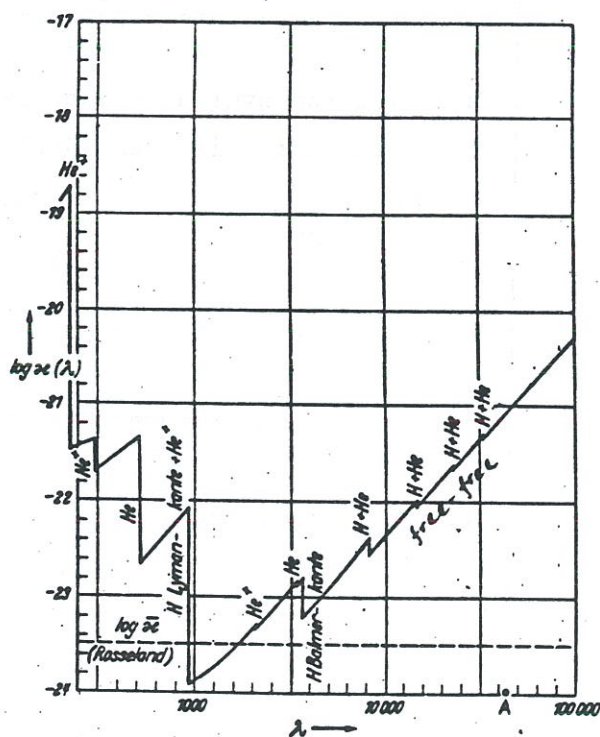
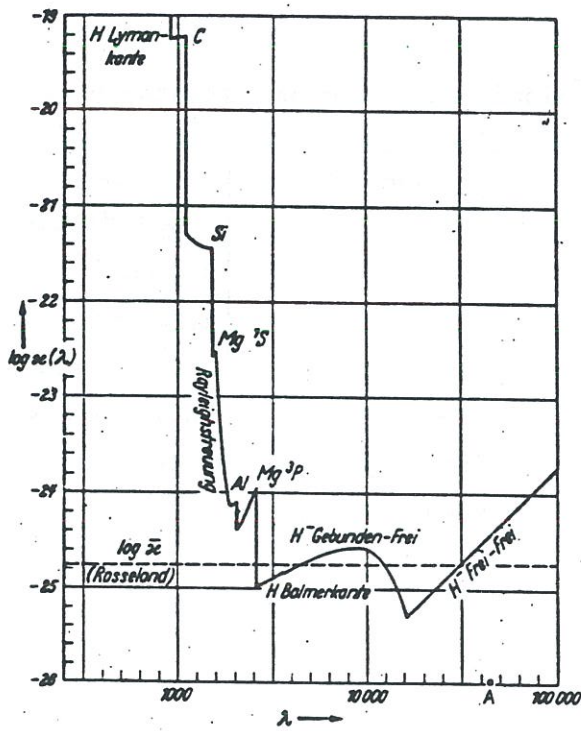
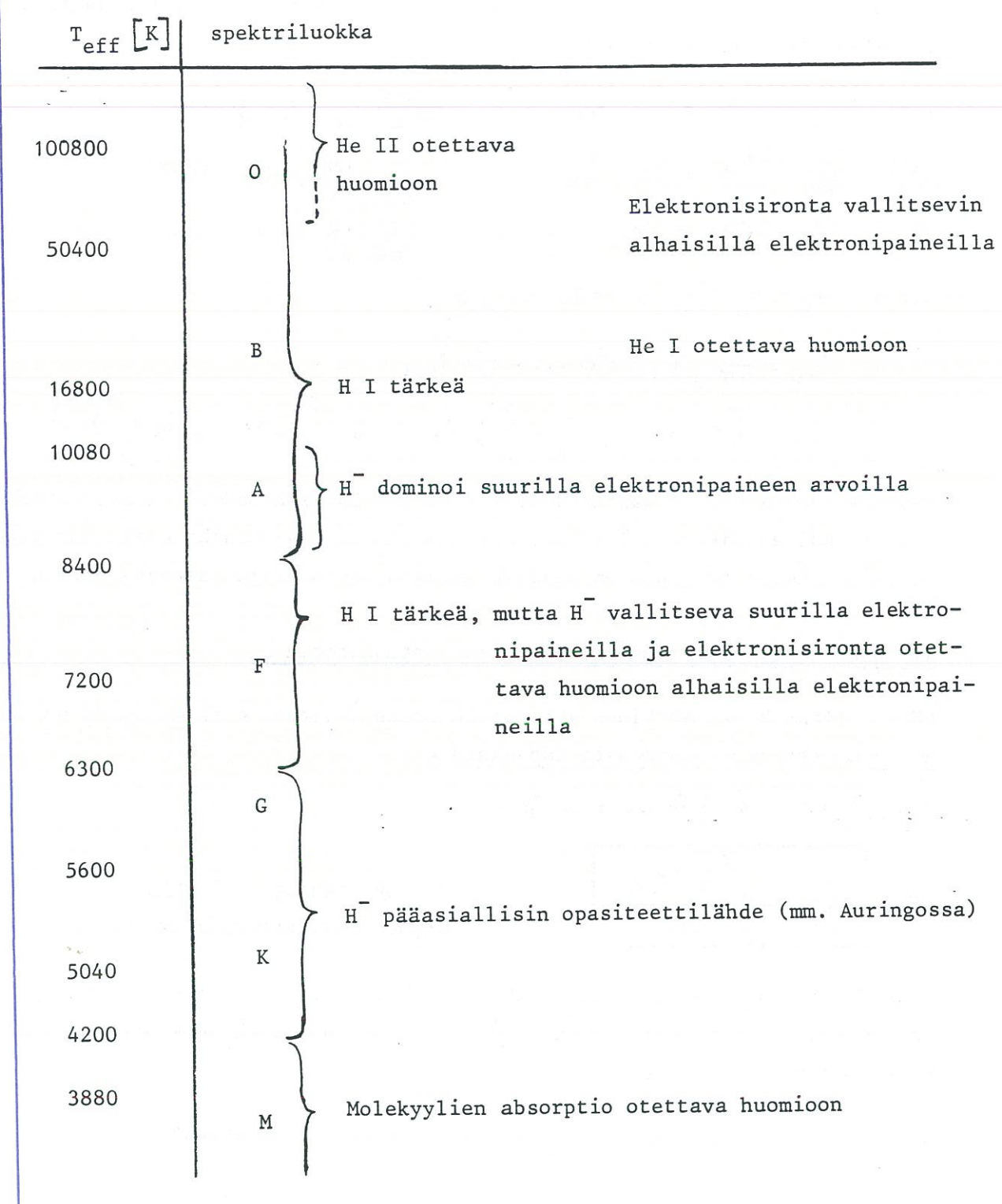


Abb. 1. Kontinuierlicher Absorptionskoeffizient  $x(\lambda)$  in der Atmosphäre der Sonne (G2 V) bei  $\tau_0=0.1$  ( $\tau_0$  entspricht  $\lambda=5000 \text{ Å}$ ), d. h.  $T=5040^\circ\text{K}$  bzw.  $\Theta=1$  und  $P_e=3.2 \text{ dyn} \cdot \text{cm}^{-2}$  bzw.  $P_g=5.8 \cdot 10^4 \text{ dyn} \cdot \text{cm}^{-2}$

Kontinuierlicher Absorptionskoeffizient  $x(\lambda)$  in der Atmosphäre des  $\tau$  Scorpia (B0 V) bei  $\tau \approx 0.1$ , d. h.  $T=28300$  K w.  $\Theta=0.18$  und  $P_e=3.2 \cdot 10^3 \text{ dyn} \cdot \text{cm}^{-2}$  bzw.  $P_g=6.4 \cdot 10^3 \text{ dyn} \cdot \text{cm}^{-2}$

Tähtien spektriluokkien mukaisessa järjestyksessä on alla vielä esitetty, mitkä atomit ja ionit vaikuttavat pääasiallisesti kontinuumiabsorptiokerroimeen visuaalialueella.



### f.) Keskimääräinen absorptiokerroin

Säteilynkuljetusyhtälö pystytään tarkasti ratkaisemaan ns. harmaan atmosfäärin tapauksessa, jossa absorptiokerroin ei riipu taajuudesta. Säteilynkuljetukseen liittyvät yhtälöt harmaassa ja ei-harmaassa (taajuusriippuvaisessa) atmosfäärisä ovat seuraavat:

$$(1a) \frac{-\cos\theta}{Sk_y} \frac{dI_y}{dx} = I_y - S_y$$

$$\frac{-\cos\theta}{Sk} \frac{dI}{dx} = I - J \quad (1b)$$

$$(2a) -\frac{1}{Sk_y} \frac{dH_y}{dx} = J_y - S_y$$

$$-\frac{1}{Sk} \frac{dH}{dx} = 0 \quad (2b)$$

$$(3a) -\frac{1}{Sk_y} \frac{dK_y}{dx} = H_y$$

$$-\frac{1}{Sk} \frac{dK}{dx} = H \quad (3b)$$

$$\text{missä } H_y = \frac{1}{4\pi} \int I_y \cos\theta d\omega = \frac{1}{4\pi} \tilde{F}_y$$

$$K_y = \frac{1}{4\pi} \int I_y \cos^2\theta d\omega = \frac{c}{4\pi} P_{rad}$$

$$I = \int_0^\infty I_y dy, \quad J = \int_0^\infty J_y dy, \quad H = \int_0^\infty H_y dy, \quad K = \int_0^\infty K_y dy$$

Seuraavassa tarkastellaan mahdollisuutta löytää keskimääräinen absorptiokerroin (opasiteettikerroin) siten, että integroitaessa monokromaattinen yhtälö yli kaikkien taajuuskertojen saadaan harmaan atmosfäärin vastaava yhtälö.

#### 1) Chandrasekharin keskimääräinen absorptiokerroin $\bar{k}_F$

Määritellään keskimääräinen absorptiokerroin  $\bar{k}$  siten, että kokonaisvuo on sama harmaassa ja ei-harmaassa tapauksessa:

$$\int_0^\infty k_y \tilde{F}_y dy = \bar{k} \int_0^\infty \tilde{F}_y dy = \bar{k} \tilde{F}$$

$$\Rightarrow \boxed{\bar{k}_F = \frac{\int_0^\infty k_y \tilde{F}_y dy}{\tilde{F}}}$$

CHANDRASEKHARIN KESKIMÄÄRÄINEN ABSORPTIOKERROIN

Käyttämällä tästä keskimääräistä absorptiokerrointa saadaan vastavuus yhtälöiden (3a) ja (3b) välille ( $H_y = \frac{1}{4\pi} \tilde{F}_y$ ). Sen sijaan  $\bar{k}_F$ :n käyttö ei anna vastavuutta yhtälöiden (2a) ja (2b) välille.

Luvussa 2.1.3.c saatiin säteilypaineen gradientin lausekkeeksi :

$$\frac{dP_R}{dx} = \frac{s}{c} \int_0^\infty k_\nu \tilde{F}_\nu d\nu \quad | : s \bar{k}_F$$

$$\frac{dP_R}{dT} = \frac{1}{c} \frac{\int_0^\infty k_\nu \tilde{F}_\nu d\nu}{\frac{1}{\tilde{F}} \int k_\nu \tilde{F}_\nu d\nu} = \frac{\tilde{F}}{c} = \frac{\epsilon T_{\text{eff}}^4}{c}$$

Käytämällä Chandrasekharin keskimääräistä absorptiokerrointa  $\bar{k}_F$  saadaan oikea säteilypaineen gradientti (tärkeä laskettaessa varhaiseen spektriluokkaan kuuluvan tähden malliatmosfääriä).

## 2) Rosselandin keskimääräinen absorptiokerroin $\bar{k}_R$

Äsknen tarkasteltiin yhtälöiden (3a) ja (3b) oikeanpuoleisia lausekkeita. Kun tarkastellaan näiden yhtälöiden vasemmanpuoleisia lausekkeita, saadaan ne vastaamaan toisiaan määrittelemällä keskimääräinen absorptiokerroin siten, että

$$-\frac{1}{s} \int_0^\infty \frac{1}{k_\nu} \frac{dk_\nu}{dx} = \int_0^\infty H_\nu d\nu = H = -\frac{1}{s \bar{k}} \frac{dK}{dx}$$

$$\Rightarrow \frac{1}{\bar{k}} = \frac{\int_0^\infty \frac{1}{k_\nu} \frac{dk_\nu}{dx} d\nu}{\int_0^\infty \frac{dk_\nu}{dx} d\nu}$$

Tämä  $\bar{k}$  on yhtäpitävä Chandrasekharin absorptiokertoimen  $\bar{k}_F$  kanssa. Koska funktiota  $K_\nu$  ei tunneta, oletetaan isotrooppinen säteilykenttä, jolloin  $K_\nu = 1/3 J_\nu$  (kts. luku 2.2.6.b).

$$\Rightarrow \frac{1}{\bar{k}} = \frac{\int_0^\infty \frac{1}{k_\nu} \frac{dJ_\nu}{dx} d\nu}{\int_0^\infty \frac{dJ_\nu}{dx} d\nu} = \frac{\int \frac{1}{k_\nu} \frac{\partial J_\nu}{\partial T} \frac{dT}{dx} d\nu}{\int \frac{\partial J_\nu}{\partial T} \frac{dT}{dx} d\nu} = \frac{\int_0^\infty \frac{1}{k_\nu} \frac{\partial J_\nu}{\partial T} d\nu}{\int_0^\infty \frac{\partial J_\nu}{\partial T} d\nu}$$

Koska edelleen  $J_\nu$  on tuntematon, on tehtävä lisäapproksimaatio: atmosfäärin syvemmissä kerroksissa pätee LTE oletus, jolloin keskimääräinen intensiteetti voidaan korvata Planckin funktiolla:  $J_\nu \rightarrow B_\nu$ ,

$$\Rightarrow \frac{1}{\bar{k}} = \frac{1}{\bar{k}_R} = \frac{\int_0^\infty \frac{1}{k_\nu} \frac{\partial B_\nu(T)}{\partial T} d\nu}{\int_0^\infty \frac{\partial B_\nu(T)}{\partial T} d\nu}$$

ROSSELANDIN KESKIMÄÄRÄINEN ABSORPTIOKERROIN

$$\frac{1}{\bar{k}_R} = \frac{\int \frac{1}{k_\nu} \frac{\partial B_\nu}{\partial T} d\nu}{\frac{dB}{dT}}$$

$$\tilde{F}_{\text{out}} = \pi \int_0^\infty B_\nu d\nu = \epsilon T^4$$

$$\Rightarrow \frac{dB}{dT} = \frac{4}{\pi} \epsilon T^3$$

$$\Rightarrow \frac{1}{\bar{k}_R} = \frac{\pi}{4 \epsilon T^3} \int_0^\infty \frac{1}{k_\nu} \frac{\partial B_\nu(T)}{\partial T} d\nu$$

HUOM.1 Rosselandin käyttämää approksimaatiota kutsutaan myös diffuusioapproksimaatioksi: kun  $\gamma$  suuri, niin  $I_\nu \rightarrow B_\nu$  (ts. LTE voimassa). Koska terminen emissio ja sironta tapahtuvat isotrooppisesti, niin säteilykenttä tulee sitä isotrooppisemmaksi mitä suuremmaksi  $\gamma$  kasvaa. Näillä oletuksilla saadaan tulokseksi, että  $\bar{H}$  on verrannollinen intensiteetin gradienttiin (kts. luku 2.2.6.b)

$$H_\nu = \frac{1}{3} \frac{dB_\nu}{dT_\nu} = -\frac{1}{3} \frac{1}{gk_\nu} \frac{dB_\nu}{dx}$$

$$H_\nu = -\frac{1}{3} \left( \frac{1}{gk_\nu} \frac{dB_\nu}{dx} \right) \frac{dT}{dx}$$

Integroimalla yli taajuuksien saadaan

$$H = -\frac{1}{3g\bar{k}} \frac{dB}{dT} \frac{dT}{dx}$$

Tämä tulos on tarkka, vain mikäli  $\bar{k} = \bar{k}_R$ .

HUOM.2  $\bar{k}_R$  takaa, että saadaan vastaavuus yhtälöiden (3a) ja (3b) välille, mutta ei yhtälöiden (2a) ja (2b) välille.

### 3) Planckin keskimääräinen absorptiokerroin $\bar{k}_p$

Planckin keskimääräinen absorptiokerroin  $\bar{k}_p$  määritellään siten, että terminen kokonaisemissio on sama harmaassa ja ei-harmaassa atmosfäärisä:

$$\int_0^\infty k_\nu B_\nu d\nu = \bar{k} \int_0^\infty B_\nu d\nu = \bar{k} B$$

$$\Rightarrow \bar{k}_p = \frac{\int_0^\infty k_\nu B_\nu(\tau) d\nu}{B(\tau)} = \frac{\pi}{\sigma T^4} \int_0^\infty k_\nu B_\nu d\nu$$

PLANCKIN KESKIMÄÄRÄINEN  
ABSORPTIOKERROIN

Mikäli halutaan saada vastaavuus yhtälöiden (2a) ja (2b) välille, on

$$\begin{aligned} \text{ei-harmaassa atmosfäärisä} & \quad - \frac{\int dH_\nu d\nu}{dx} = S \int_0^\infty k_\nu (\bar{j}_\nu - S_\nu) d\nu \\ \text{harmaassa atmosfäärisä} & \quad - \frac{dH}{dx} = 0 = S \bar{k} (\underbrace{\bar{j} - S}_{=0}) = S \int_0^\infty \bar{k} (\bar{j}_\nu - S_\nu) d\nu \end{aligned}$$

Vastaavuus saadaan siis relatiolla

$$\int_0^\infty (\bar{k}_\nu - \bar{k})(\bar{j}_\nu - S_\nu) d\nu$$

sekä säteilytasapainon oletuksella.

Jos lisäksi oletetaan LTE, niin  $S_y \rightarrow B_y$ , jolloin  $\bar{k} \rightarrow \bar{k}_p$ . Tähden pintakerroksissa vallitsee säteilytasapaino, minkä johdosta opasiteettikerrointa  $\bar{k}_p$  on käytetty tarkasteltaessa tähden ulompiakin atmosfäärikerroksia.

HUOM. Vaikka LTE-oleitus tähden pintakerroksissa ei vastaisikaan todellisuutta, on huomioitava, että ennen suurten tietokoneitten aikakautta absorptiokertoimien  $\bar{k}_p$  ja  $\bar{k}_R$  käyttö oli ainoa tapa saada edes jonkinlainen arvio atmosfääreissä vallitsevista fysikaalisista olosuhteista.

Nähdään, että mikään näistä keskimääräisistä absorptiokertoimista ei anna täydellistä vastaavuutta harmaan ja ei-harmaan, todellisen atmosfäärin välille. Valitsemalla keskimääräinen absorptiokerroin sopivasti voidaan kuitenkin tietyissä rajoissa palauttaa ei-harmaa säteilyn kuljetusprobleema harmaaseen tapaukseen. Näin saadaan ainakin ensimmäiset approksimaatiot atmosfäärimallien iterointiproseduureihin.

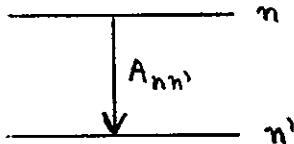
### 2.5.5 Sidoselektronien siirtymätodennäköisyydet

Klassinen säteilyteoria käsittää värähtelevän dipolin lähetämää jatkuvaan emissioita. Kvanttiteoriassa taas säteily syntyy kvantteina elektronin siirtyessä atomin energiatilalta toiselle:  $h\nu = E_n - E_{n'}$ . Kvanttimekaniikan avulla voidaan kullekin siirtymälle laskea elektronin siirtymätodennäköisyyksyn. Näitä siirtymätodennäköisyyksiä merkitään seuraavasti:  $A_{nn}$ , (spontaani emissio),  $B_{nn'}$ , (indusoitu emissio) ja  $B_{n'n}$ , (absorptio). Pieni johdatus siirtymätodennäköisyyksien kvanttimekaanisiin laskuihin on esitetty liitteessä II.

#### a) Elektronisiirtymien Einsteinin todennäköisyyskertoimet

##### 1) Spontaani emissio

Todennäköisyys, että energiatilassa  $n$  oleva atomi siirtyy ajassa  $dt$  alempaan tilaan  $n'$  on



$$\frac{N(n \rightarrow n')}{N_n} = A_{nn'} dt$$

$$N(n \rightarrow n') = N_n \cdot A_{nn'} dt = \text{siirtymien lukumäärä/cm}^3 \text{ ajassa } dt$$

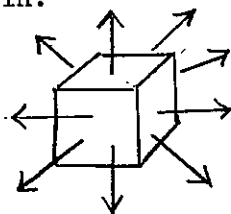
missä  $N_n$  = tilassa  $n$  olevien atomien lukumäärä/ $\text{cm}^3$

$A_{nn'}$  = spontaanin emission todennäköisyyskerroin  
yleensä  $A_{nn'} = 10^8 - 10^9 \text{ 1/s}$

ESIM. Oletetaan, että  $N_n = 10^8 \text{ atomia/cm}^3$   
ja  $A_{nn'} = 10^6 \text{ 1/s}$

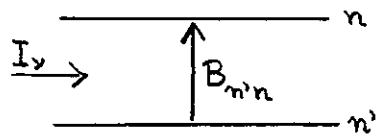
Tällöin  $N(n \rightarrow n') = 10^{14} \text{ siirtymää/cm}^3 \cdot \text{s}$

HUOM. Spontaani siirtymä ei riipu mahdollisesti läsnä olevasta säteilykentästä. Spontaanin emission säteilyä vapautuu isotrooppisesti kaikkiin suuntiin:



## 2) Absorptio

$$\frac{N(n' \rightarrow n)}{N_n} = B_{n'n} I_\nu dt$$



$$N(n' \rightarrow n) = N_{n'} \cdot B_{n'n} I_\nu dt$$

missä  $N_{n'}$  = tilassa  $n'$  olevien atomien lukumäärä/cm<sup>3</sup>

$B_{nn'}$  = absorption todennäköisyyskerroin

$I_\nu$  = saapuvan säteilyn intensiteetti

Saapuvasta säteilystä vain taajuus  $\nu = \frac{E_n - E_{n'}}{h}$  aiheuttaa absorptiota

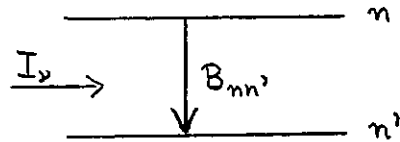
HUOM. Absorptio ssa aallon vaihe säilyy.



## 3) Indusoitu emissio (negatiivinen absorptio)

Saapuvan säteilyn foton

laukaisee elektronin siirtymään  
ylemmältä tilalta alempalle.



$$N(n \rightarrow n') = N_n \cdot B_{nn'} \cdot I_\nu dt$$

HUOM. Indusoitu emissio on epäisotrooppista.

Vahvistunut aalto etenee samaan suuntaan ja samassa vaiheessa kuin saapuva säteily.



Nettoabsorptio saadaan vähentämällä absorptiosta indusoituunen emission osuus :

$$\text{absorptio: } N(n' \rightarrow n) = N_n \cdot B_{n'n} \cdot I_\nu dt \quad \left. \right\} -$$

$$\text{indusoitu emissio: } N(n \rightarrow n') = N_{n'} \cdot B_{nn'} \cdot I_\nu dt \quad \left. \right\}$$

$$\text{nettoabsorptio} = (N_n \cdot B_{n'n} - N_{n'} \cdot B_{nn'}) I_\nu dt$$

HUOM. Yleensä nettoabsorptio  $> 0$ , koska alemman energiatilan miehitys  $N_n$ , on suurempi kuin  $N_{n'}$ . Termodynamiassa epätasapainossa saattaa tilanne olla toisin päin ( $N_n < N_{n'}$ ), jolloin nettoabsorptio tulee negatiiviseksi. Tällöin saapuva intensiteetti vahvistuu huomattavasti (esim. maseroivat lähteet).

#### 4) Spontaani ja indusoitu emissio

Rajoitutaan seuraavassa tilanteisiin, joissa esiintyy vain säteilyn aiheuttamia siirtymiä sekä spontaania emissiota (ts. riittävän harva kaasu, jossa ei tapahdu atomien välisiä törmäyksiä).

Säteilytasapainossa:

$$\underbrace{N_n (A_{nn'} + B_{nn'} I_\nu)}_{\text{siirtymien lkm. alaspäin}} dt = \underbrace{N_{n'} B_{n'n} I_\nu}_{\text{siirtymien lkm. ylöspäin}} dt$$

$$\Rightarrow N_n A_{nn'} = I_\nu (N_n B_{n'n} - B_{nn'} N_{n'}) \quad \left| \quad I_\nu = \frac{2h\nu^3}{c^2} \frac{1}{e^{h\nu/kT} - 1} \quad \right| : N_n$$

$$\Rightarrow \frac{N_n}{N_{n'}} A_{nn'} = \frac{2h\nu^3}{c^2} \frac{1}{e^{h\nu/kT} - 1} (B_{n'n} - B_{nn'} \frac{N_n}{N_{n'}}) \quad \left| \text{Boltzmann: } \frac{N_n}{N_{n'}} = \frac{g_n}{g_{n'}} e^{-\frac{(E_m - E_n)}{kT}} \right.$$

$$\Rightarrow \frac{g_n}{g_{n'}} e^{-h\nu/kT} \cdot A_{nn'} = \frac{2h\nu^3}{c^2} \frac{1}{e^{h\nu/kT} - 1} (B_{n'n} - B_{nn'} \frac{g_n}{g_{n'}} e^{-h\nu/kT}) \quad \left| \cdot e^{h\nu/kT} \right.$$

$$\Rightarrow \underbrace{\frac{g_n}{g_{n'}}}_{\text{vakio}} \cdot A_{nn'} = \underbrace{\frac{2h\nu^3}{c^2} B_{n'n}}_{\text{vakio}} \frac{e^{h\nu/kT} - \frac{g_n}{g_{n'}} \frac{B_{nn'}}{B_{n'n}}}{e^{h\nu/kT} - 1}$$

Jotta atomaariset vakiot  $A_{nn}$ ,  $B_{nn}$ , ja  $B_{n'n}$  olisivat lämpötilasta riippumattomia, on lopussa esiintyvän osamääärän osoittajan oltava yhtäsuuri kuin nimittäjä :

$$\Rightarrow \left\{ \begin{array}{l} \frac{g_n}{g_{n'}} \frac{B_{nn'}}{B_{n'n}} = 1 \\ \frac{g_n}{g_{n'}} \cdot A_{nn'} = \frac{2h\nu^3}{c^2} \cdot B_{n'n} \end{array} \right. \quad \xrightarrow{\qquad B_{n'n} = \frac{g_n}{g_{n'}} \cdot B_{nn} \qquad} \quad A_{nn'} = \frac{2h\nu^3}{c^2} B_{nn'}$$

Einsteinin kertoimet  $A_{nn}$ ,  $B_{nn}$ , ja  $B_{n'n}$  ovat atomaarisia vakioita, jotka voidaan määritellä kullekin siirtymälle kokeellisesti tai teoreettisesti kvanttimekaniikkaa hyväksi käyttäen. Kun yksi Einsteinin kerroin tunnetaan, saadaan muut kertoimet em. kaavoilla.

HUOM. 1 Jotta Planckin säteilylaki  $I = I(T_{ex})$  olisi voimassa, on atomissa tapahduttava indusoitua emissiota (Einstein, 1917).

HUOM. 2 Kun  $h\nu/kT \gg 1$  (Wienin approksimaatioalue), on

$$I_\nu = \frac{2h\nu^3}{c^2} e^{-h\nu/kT} \quad | \cdot B_{nn'}$$

$$B_{nn'} I_\nu = B_{nn'} \underbrace{\frac{2h\nu^3}{c^2} e^{-h\nu/kT}}_{A_{nn'}} \quad \boxed{B_{nn'} I_\nu = A_{nn'} e^{-h\nu/kT} \quad \ll A_{nn'}} \quad \ll 1$$

Ts. spontaanit emissiot dominoivat UV-alueella.

Kun  $h\nu/kT \ll 1$  (Rayleigh-Jeansin approksimaatioalue)

$$I_\nu = \frac{2\nu^2 kT}{c^2} \quad | \cdot B_{nn'}$$

$$B_{nn'} I_\nu = B_{nn'} \frac{2\nu^2 kT}{c^2} \quad | B_{nn'} = \frac{c^2}{2h\nu^3} A_{nn'}$$

$$\boxed{B_{nn'} I_\nu = A_{nn'} \underbrace{\frac{kT}{h\nu}}_{\gg 1} \gg A_{nn'}}$$

Ts. indusoituneet emissiot dominoivat radioalueella

b) Einsteinin kertoimien yhteys viiva-absorptiokertoimeen  $\bar{k}$

Luvun 2.5.2 e-kohdassa todettiin, että yhteen kuutiosenttimetriin absorboituneen säteilytehon määrä on

$$P_s = 4\pi I_s \bar{k} s$$

Kytkemällä tämä kvanttiteoreettiseen tarkasteluun, saadaan yhdessä sekunnissa yhteen kuutiosenttimetriin väliainetta absorboituneen energian määräksi:

$$\begin{aligned} 4\pi I_s \bar{k} s dt &= N(n' \rightarrow n) h\nu_0 \\ &= N_{n'} B_{n'n} I_s dt h\nu_0 \\ \Rightarrow \bar{k} s &= \frac{1}{4\pi} N_{n'} B_{n'n} h\nu_0 \end{aligned}$$

Tarkasteltaessa todellista nettoabsorptioita, on indusoituneen emission osuus poistettava:

$$4\pi I_s \bar{k}' s = (N_{n'} B_{n'n} - N_n B_{nn'}) I_s h\nu_0$$

missä  $\bar{k}'$  = negatiiviset absorptiot huomioiva massa-absorptiokerroin

$$\begin{aligned} N_{n'} &= energiatilan n' miehitysluku \\ N_n &= energiatilan n miehitysluku \end{aligned}$$

$$4\pi I_s \bar{k}' s = N_{n'} B_{n'n} \left(1 - \frac{N_n}{N_{n'}} \frac{B_{nn'}}{B_{n'n}}\right) I_s h\nu_0 \quad \left| \begin{array}{l} \text{Boltzmann: } \frac{N_n}{N_{n'}} = \frac{g_n}{g_{n'}} e^{-h\nu_0/kT} \\ \text{luvussa 2.5.3.a kohdassa 4:} \\ \frac{g_n}{g_{n'}} = \frac{B_{n'n}}{B_{nn'}} \end{array} \right.$$

$$4\pi I_s \bar{k}' s = N_{n'} B_{n'n} \left(1 - e^{-h\nu_0/kT}\right) I_s h\nu_0 \quad \left| \begin{array}{l} 4\pi I_s \bar{k} s = N_n B_{n'n} I_s h\nu_0 \\ \Rightarrow N_{n'} B_{n'n} = \frac{4\pi I_s \bar{k} s}{I_s h\nu_0} \end{array} \right.$$

$$\Rightarrow 4\pi I_\nu \bar{k} s = \frac{4\pi \bar{k} s}{h\nu_0} (1 - e^{-h\nu_0/kT}) I_\nu h\nu_0$$

$$\Rightarrow \boxed{\bar{k} = \bar{k} (1 - e^{-h\nu_0/kT})}$$

Nettoabsorptiota tarkasteltaessa on siis absorboituneesta säteily-energiasta vähennettävä säteilyn synnyttämät indusoituneet emissiot (negatiiviset absorptiot), jolloin massa-absorptiokerrointa  $\bar{k}$  on korjattava yo. sulkutekijällä.

HUOM. Normaalissa absorptiossa  $\frac{h\nu}{kT} > 0 \Rightarrow 0 < 1 - e^{-h\nu/kT} < 1$

Absorptio maseroivassa kohteessa:  $\frac{h\nu}{kT_{ex}} < 0$ , koska  $T_{ex} < 0$   
(muodollinen merkintä)

$$\Rightarrow (1 - e^{-h\nu/kT_{ex}}) < 0$$

$$\Rightarrow \bar{k} < 0$$

### c) Einsteinin kertoimien yhteyks oskillaattorivoimakkuuksiin

Yhdessä sekunnissa absorboituu yhteen kuutiosenttimetriin ainetta säteilyenergiaa

$$E_\nu = 4\pi I_\nu s \bar{k}$$

$$s \bar{k} = f \cdot N_\nu \cdot \frac{\pi e^2}{mc} \quad (\text{kts. luku 2.5.2.e})$$

missä  $f$  = oskillaattorivoimakkuus

$N_\nu$  = atomien  $\text{lkm/cm}^3$ , joilla ominaistaajuus  $\nu_0$

Kytkemällä jälleen klassisen teorian energia-absorptio kvantti-teorian energia-absorption lausekkeeseen saadaan

$$4\pi I_\nu \cdot f N_0 \frac{\pi e^2}{mc} = N_n B_{n'n} I_\nu h\nu$$

Tarkasteltaessa siirtymää  $n' n$ , on  $N_0 = N_n$ , ja  $f = f_{n'n}$

$$\Rightarrow B_{n'n} = \frac{4\pi}{h\nu} \frac{\pi e^2}{mc} f_{n'n}$$

Spontaanin emission todennäköisyyskertoimelle pätee

$$A_{nn} = \frac{2h\nu^3}{c^2} \frac{g_n}{g_{n'}} B_{n'n}$$



Sijoittamalla absorption todennäköisyyskertoimen  $B_{n'n}$  lauseke saadaan

$$A_{nn} = \frac{g_n}{g_{n'}} \frac{8\pi^2 e^2 \nu^2}{mc^3} f_{n'n} = \frac{g_n}{g_{n'}} \cdot 3\gamma \cdot f_{n'n}$$

Huomioimalla, että klassisen säteilijän vaimennuskerroin on

$$\gamma = \frac{8\pi^2 e^2 \nu^2}{3mc^3} = \frac{0.9223}{(\lambda [\text{cm}])^2}$$

voidaan oskillaattorivoimakkuudet  $f$  ilmaista Einsteinin kertoimien avulla :

$$f_{n'n} = \frac{1}{3\gamma} \frac{g_n}{g_{n'}} A_{nn} = 1.5 \times 10^{-8} (\lambda [\mu\text{m}])^2 \cdot \frac{g_n}{g_{n'}} A_{nn}$$

HUOM. Liitteessä II on kvanttimekaaninen "johto" oskillaattori-voimakkuuden lausekkeelle.

d) Säteilyvaimennuksen kvanttimekaaninen lauseke

Mikäli säteilykenttä ei vaikuta, on atomin lähetettämä säteily yksinomaan spontaania emissiota. Ylemmässä energiatilassa n olevien atomien lukumäärä pienenee tällöin seuraavasti.

$$\frac{dN_n}{dt} = - N_n \sum_{n'} A_{nn'},$$
$$\Rightarrow N_n = N_n(0) e^{-\sum_{n'} A_{nn'} t}$$

Vertaamalla tätä klassisen oskillaattorin säteilyenergiaan  $W = W_0 e^{-\chi t}$  saadaan vaimennuskertoimen kvanttimekaaniseksi lausekkeeksi

$$T_n = \sum_{n'} A_{nn'}$$

SÄTEILYVAIMENNUS, KUN SÄTEILYKENTTÄ EI VAIKUTA

Samoin kuin  $1/\chi$  edusti klassisen säteilijän keskimääräistä elinikää, edustaa  $T = 1/T_n$  atomin keskimääräistä elinikää tilassa n.

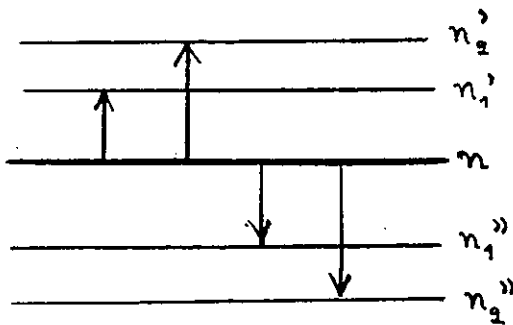
HUOM. Tarkemmat laskut osoittavat, että energiatilojen n ja n' välisessä siirtymässä on säteilyvaimennus

$$T = T_n + T_{n'}$$

Mikäli säteilykenttä vaikuttaa riippuu viritystilan miehitys myös virityksistä korkeampiin energiatiloihin sekä negatiivisesta absorptiosta. Tällöin

$$T_n = \sum_{n''} A_{nn''} + \sum B_{nn'} I(\nu_{nn'}) + \sum_{n''} B_{nn''} I(\nu_{nn''})$$

SÄTEILYVAIMENNUS, KUN SÄTEILYKENTTÄ VAIKUTTAA



Käytämällä hyväksi yhtälöitä  $I = \frac{2h\nu^3}{c^2} \frac{1}{e^{h\nu/kT}-1}$  (Planckin funktio)

$$g_n B_{nn'} = g_{n'} B_{n'n}$$

$$\frac{g_n}{g_{n'}} A_{nn'} = \frac{2h\nu^3}{c^2} B_{n'n}$$

$$\frac{g_n}{g_{n'}} A_{nn'} = \frac{8\pi^2 e^2 \nu^2}{mc^3} f_{n'n}$$

voidaan säteilyvaimennuksen lauseke kirjoittaa muotoon

$$T'_n = \frac{8\pi e^2}{mc} \left[ \sum_{n'} \frac{g_{n'}}{g_n} \frac{f_{n'n}}{\lambda^2} \frac{1}{1-e^{-h\nu/kT}} + \sum_{n''} \frac{f_{nn''}}{\lambda^2} \frac{1}{e^{h\nu/kT}-1} \right]$$

HUOM. Radio- ja infrapuna-alueella, jossa  $h\nu/kT \gg 1$ , on

$$I_\nu = \frac{2kT\nu^2}{c^2} \quad (\text{Rayleigh-Jeans approksimaatio})$$

Jättämällä siirtymät ylemmille energiatasoiille  $n'$  pois tarkastelusta sekä huomioimalla Einsteinin kertoimien välinen yhteyks  $B_{nn''} = \frac{c^2}{2h\nu^3} \cdot A_{nn''}$ , saadaan

$$T_n = \sum_{n''} \left[ A_{nn''} + B_{nn''} \frac{2kT\nu^2}{c^2} \right] = \sum_{n''} A_{nn''} \left[ 1 + \frac{kT}{h\nu} \right]$$

Koska spontaanit emissiot eivät ole tärkeitä tällä aaltoalueella voidaan sulkulausekkeessa oleva 1 jättää huomiotta, jolloin

$$T_n \approx \frac{kT}{h\nu} \sum_{nn'} A_{nn'}$$

SÄTEILYVAIMENNUS RADIOALUEELLA

ESIM. CaII ionin resonanssiviiva K(3933Å) vastaa siirtymää

$4^2S_{\frac{1}{2}} - 4^2P_{3/2}$  (termin yläindeksi =  $2S+1$ , alaindeksi =  $J = L \pm S$ ) Siirtymälle laskettu Einsteinin kerroin  $A = 1.59 \times 10^8$ , jolloin  $f = 1.5 \cdot 10^{-8} (\lambda [\mu m])^2 \frac{g_n}{g_{n'}} A_{nn'} = 0.738$ .

Koska CaII energiatasokaaviossa on  $4^2P$ -tason alapuolella vielä  $3^2D$ -taso, on huomioitava myös nämä siirtymät

siirtymälle  $3^2D_{3/2} - 4^2P_{3/2}$  :  $\lambda = 8498$ ,  $A = 1.4 \times 10^7$

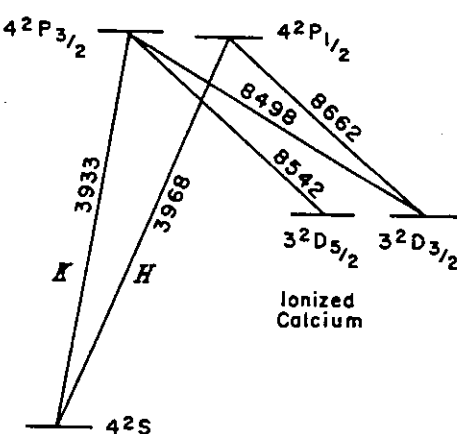
$3^2D_{5/2} - 4^2P_{3/2}$  :  $\lambda = 8542$ ,  $A = 1.2 \times 10^7$   
K-viivan vaimennusvakio on siten

$$T = \sum_{nn'} A_{nn'} = 1.59 \times 10^8 + 0.12 \times 10^8 + 0.014 \times 10^8 = 1.72 \times 10^8 \text{ 1/s}$$

Klassinen vaimennusvakio puolestaan on

$$\gamma = \frac{8\pi^2 e^2 \nu^2}{3mc^3} = \frac{0.2223}{(\lambda [\text{cm}])^2} = 1.45 \times 10^8 \text{ 1/s}$$

Täten  $T = 1.19 \gamma$  tässä esimerkissä.



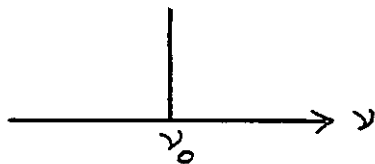
### 2.5.6 Spektriviivaprofiilit

Ideaalitapaus: Elektroni siirtyy kahden tarkasti määritellyn energiatason välillä:

$$\Delta E = h\nu$$

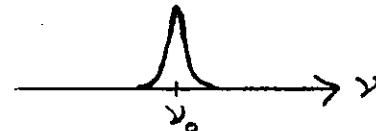
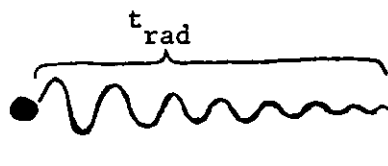
Tässä tapauksessa on äärettömyyteen ulottuvan aaltojonon taajuus täsmälleen  $\nu_0$ , ja absorptiokerroin on muodoltaan

$\delta$ -funktio



Todellisuus: Äärelliset aaltojonot, jotka kestävät ajan  $t$  verran.  
Aaltojen Fourieranalyysi leventää spektriviivaa  $\Leftrightarrow$  atomin energiasojen epätarkkuus.

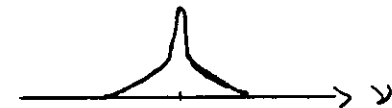
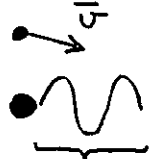
$\Rightarrow$  spektriviivan luonnollinen leveneminen



säteilyvaimennus

Säteilyvaimennuksen aikana häiritsevät myös atomien väliset törmäykset

$\Rightarrow$  törmäysleveneminen



$t_0$ : atomi voi häiriöttömästi säteillä vain ajan  $t_0$

Lisäksi atomit liikkuvat eri nopeuksilla, ja absorboivat säteilyä siten eri taajuuksilla.

$\Rightarrow$  viivan Dopplerin leveneminen eli terminen leveneminen

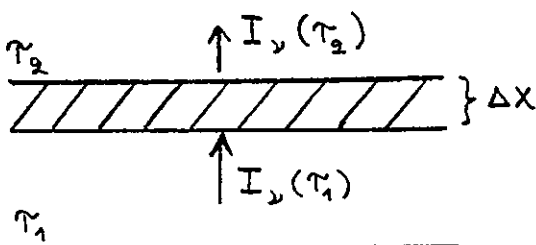
a) Säteilyvaimennuksen aiheuttama viivan luonnollinen leveneminen

Säteilyn kulkiessa  $\Delta x$  paksuisen atmosfäärikerroksen läpi heikentyy intensiteetti :

$$I_{\nu}(\tau_2) = I_{\nu}(\tau_1) e^{-k_{\nu} s \Delta x}, \text{ missä } \tau_1 = \text{alemman atmosfäärikerroksen optinen syvyys}$$

$\tau_2 = \text{ylemmän atmosfäärikerroksen optinen syvyys}$

---



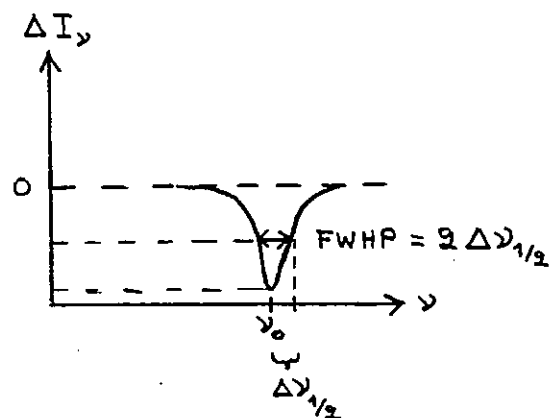
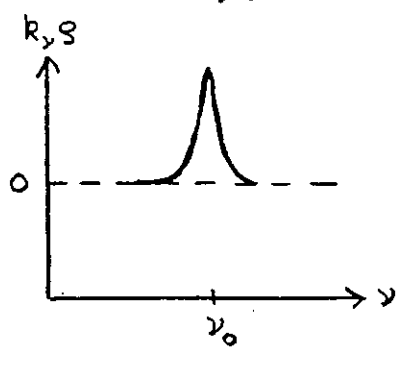
Oletetaan seuraavassa, että tarkastelukerroksella on pieni optinen syvyys, ts.  $\tau_2 - \tau_1 \ll 1$ . Tällöin

$$I_{\nu}(\tau_2) = I_{\nu}(\tau_1) (1 - k_{\nu} s \Delta x)$$

$$\Rightarrow I_{\nu}(\tau_2) - I_{\nu}(\tau_1) = - k_{\nu} s \Delta x$$

$$\Delta I_{\nu} = - \Delta x \cdot \frac{N_{\nu} e^2}{m c} \frac{\delta / 4\pi}{(\nu - \nu_0)^2 + (\delta / 4\pi)^2}$$

Todetaan, että absorboitunut intensiteetti on verrannollinen absorptio-kertoimeen  $k_{\nu} s$ .



Viivan absorptiomaksimi saadaan resonanssitapauksessa, kun säteilyn taajuus on yhtäsuuri kuin värähtelijän ominaistaajuus.

$$\left. \begin{aligned} \Delta I_{\nu_0} &= -\Delta x \frac{N_{e\nu} e^2}{mc} \frac{\gamma/4\pi}{0 + (\gamma/4\pi)^2} \\ \text{Absorptiomaksimin puolivälissä : } \\ \Delta I_{\nu} &= \frac{1}{2} \Delta I_{\nu_0} = -\Delta x \frac{N_{e\nu} e^2}{mc} \frac{\gamma/4\pi}{(\nu-\nu_0)^2 + (\gamma/4\pi)^2} \end{aligned} \right\} \Rightarrow (\nu - \nu_0)_{1/2} = \Delta \nu_{1/2} = \frac{\gamma}{4\pi}$$

$$\Rightarrow \boxed{FWHP = 2 |\Delta \nu_{1/2}| = \frac{\gamma}{2\pi}}$$

LUONNOLLISEN VIIVAPROFIILIN (Lorentz-profiilin) PUOLIARVOLEVEYS

missä FWHP on lyhennys sanoista "full width at half power".

HUOM. 1 Klassisessa teoriassa luonnollinen leveneminen ei riipu siirtymän taajuudesta :

$$FWHP = 2 \Delta \nu_{1/2} = \frac{1}{2\pi} \frac{8\pi^2 e^2 \nu^2}{3mc^3}$$

$$\underline{\underline{2 \Delta \nu_{1/2} = \frac{c}{\nu^2} \cdot 2 \Delta \nu_{1/2} = \frac{4\pi e^2}{3mc^2} = 0.00024 \text{ Å}}}$$

HUOM. 2 Aikaisemmin todettiin, että klassisen oskillaattorin energia pienenee seuraavasti:

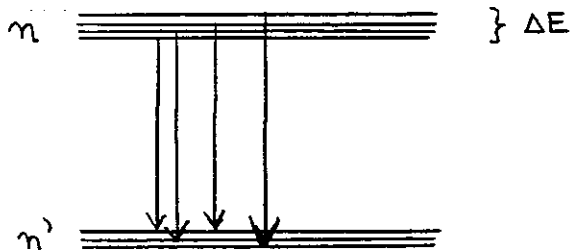
$$W(t) = W_0 e^{-\gamma t}, \text{ missä } \gamma = \frac{8\pi^2 e^2 \nu^2}{3mc^3} = \text{vaimennuskerroin}$$

$$\gamma = \frac{1}{T}, T = \text{värähdyttilan elinikä}$$

Säteilyvaimennuksen aiheuttama puoliarvoleveys ja värähdyttilan elinikä kytkeytyvät siten toisiinsa :

$$\boxed{FWHP = \frac{\gamma}{2\pi} = \frac{1}{2\pi T}}$$

Klassisessa teoriassa viivan leveneminen aiheutuu siitä, että sidottu elektroni voi värähdellä ominaistaajuuden  $\nu_0$  molemmin puolin samalla vaimentuen. Kvanttiteoriassa spektriviivan leveneminen aiheutuu siitä, että energiatasot eivät ole aivan tarkkoja, vaan niissä esiintyy epämäärräisyys  $\Delta E$ , joka liittyy energiatilan elinikään  $\Delta t$ . Heisenbergin epätarkkuusperiaatteen mukaisesti.



Energiatilan elinikä :

$$\Delta E \cdot \Delta t \approx h \quad \Rightarrow \quad \Delta t \approx \frac{h}{\Delta E} \approx \frac{1}{T}$$

Perustilan ikä on pitkä, joten  $\Delta E$  on pieni ja perustilaan liittyvät viivat ovat suhteellisen kapeita. Ylempien lyhytkäisten tilojen välisistä siirtymistä aiheutuvat viivat ovat vastaavasti leveämpää. Mitä todennäköisempi siirtymä on, sitä leveämpi on viiva:

$$\Delta E \sim T = \sum_{m'} A_{mn}$$

b) Atomien lämpöliikkeen aiheuttama spektriviivan leveneminen

Dopplerin periaatteen mukaisesti on hiukkasen nopeuskomponentti näkösäteen suunnassa

$$v_r = c \frac{\Delta\nu}{\nu_0}$$

Atomien lämpöliikkeestä johtuva säteisnopeushajontaa kuvaa parametri  $\Delta\nu_D$ , joka kytkeytyy hiukkasten todennäköisimpään nopeuteen  $\alpha = \sqrt{\frac{9kT}{m}}$ .  $(\Delta\nu_D)$  kuvaa todennäköisimällä nopeudella liikkuvan atomin Dopplerin siirtymää)

$$\alpha = c \frac{\Delta\nu_D}{\nu_0} \Rightarrow \frac{\Delta\nu}{\Delta\nu_D} = \frac{\Delta\nu \cdot c}{\alpha \nu_0} = \frac{v_r}{\alpha}$$

Huomioimalla nopeusväliässä ( $v, v+dv$ ) olevien hiukkasten lukumäärä/cm<sup>3</sup>  
eli Maxwellin nopeusjakautuma näkösäteen suunnassa saadaan

$$dN(v_r) = N \sqrt{\frac{m}{2kT\pi}} e^{-\frac{m}{2kT} \frac{v_r^2}{v_0^2}} dv_r \quad | \quad dv_r = C \frac{dv}{v_0}$$

$$= N \frac{1}{\alpha \sqrt{\pi}} e^{-\left(\frac{v_r}{\alpha}\right)^2} \cdot \frac{C}{v_0} dv \quad | \quad \frac{C}{\alpha v_0} = \frac{1}{v_0}$$

$$= N \frac{1}{\Delta v_0 \sqrt{\pi}} e^{-\left(\frac{\Delta v}{\Delta v_0}\right)^2} dv$$

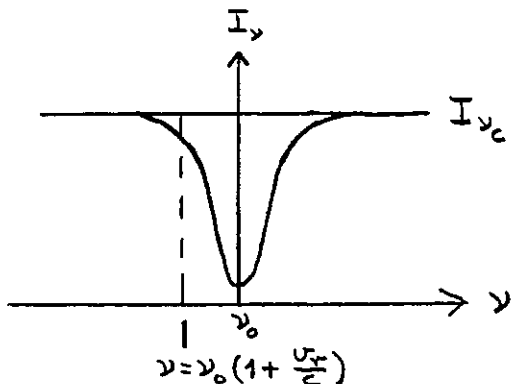
Koska viivan luonnollinen leveys on huomattavasti pienempi kuin lämpöliikkeestä johtuva viivan leveneminen, voidaan olettaa, että jokainen atomi absorboi säteilyä vain yhdellä taajuudella  $\nu = \nu_0 \left(1 + \frac{v_r}{c}\right)$ . Koska säteilyintensiteetin absorptio on verrannollinen taajuudella  $\nu$  absorboivien atomien lukumäärään, on

$$\frac{(I_{\nu_c} - I_{\nu}) dv}{\int (I_{\nu_c} - I_{\nu}) dv} = \frac{dN(v_r)}{N}, \text{ missä } I_{\nu_c} = \text{kontinuumin intensiteetti}$$

viiva

$$\frac{\Delta I_{\nu} dv}{\int \Delta I_{\nu} dv} = \frac{1}{\sqrt{\pi} \Delta v_0} e^{-\left(\frac{\Delta \nu}{\Delta v_0}\right)^2} dv$$

viiva



Koska Maxwellin nopeusjakautuma yhdessä ulottuvuudessa on gaussinen on myös spektriviivan Doppler-profiili gaussinen.

Viivan puoliarvoleveys FWHP =  $2 \Delta v_{1/2}$  saadaan ehdosta

$$\frac{\Delta I(v)}{\Delta I(v_0)} = \frac{e^{-\left(\frac{\Delta v_{1/2}}{\Delta v_D}\right)^2}}{e^{-\infty}} = \frac{1}{2} \quad | \ln$$

$$\Rightarrow -\left(\frac{\Delta v_{1/2}}{\Delta v_D}\right)^2 = \ln 1 - \ln 2$$

$$\Rightarrow (\Delta v_{1/2})^2 = (\Delta v_D)^2 \ln 2 \quad | \Delta v_D = \frac{v_0}{c} \propto = \frac{v_0}{c} \sqrt{\frac{2kT}{m}}$$

$$\Rightarrow \Delta v_{1/2} = \frac{v_0}{c} \sqrt{\frac{2kT}{m} \ln 2}$$

$$FWHP = 2 \Delta v_{1/2} = \frac{2v_0}{c} \sqrt{\frac{2kT}{m} \cdot \ln 2}$$

TERMINEN VIIVAN LEVENEMINEN  
(Doppler-leveneminen)

HUOM. 1 Spektriviivan leveys riippuu absorboivan molekyylin massasta.

Mitä suurempi molekyylin massa, sitä pienempi on molekyylin nopeus ja sitä kapeampi on spektriviiva. Todettakoon, että turbulenttisen liikkeen aiheuttama viivan leveneminen ei riipu molekyylin massasta.

HUOM. 2 Mittaamalla spektriviivan puoliarvoleveys voidaan määrittää yläraja tarkastelukohteen lämpötilalle - yläraja siitä syystä, että mahdollisen turbulenttisen liikkeen läsnäollessa on hiukkasten todennäköinen nopeus

$$\alpha = \sqrt{\frac{2kT}{m} + v_t^2} \quad , \text{ missä } v_t = \text{turbulenttisen liikkeen säteisnopeus}$$

c) Atomien törmäyksistä aiheutuva viivan leveneminen

Lähiatomien häiriöiden vuoksi säteilevän atomin energiasot siirtyväät. Siirtymän määrä riippuu häiritsijän etäisyydestä  $r$ . Alla olevassa kuvassa on kaksi energiasoja esitetty  $r$ :n funktiona. Häiriintymättömässä tilassa tasojen välinen etäisyys vastaa säteilytaajuutta  $\nu_0$ . Häirityssä tilassa sen sijaan taajuus  $\nu \neq \nu_0$ , koska energiasot ovat hieman siirtyneet. Eri atomeilla on häiritsijä eri etäisyydellä  $r$ , joten törmäysvaimennuksen seurauksena spektriviiva levee ja samalla myös siirtyyy pois häiriintymättömän säteilijän keskustaaajudelta  $\nu_0$ .

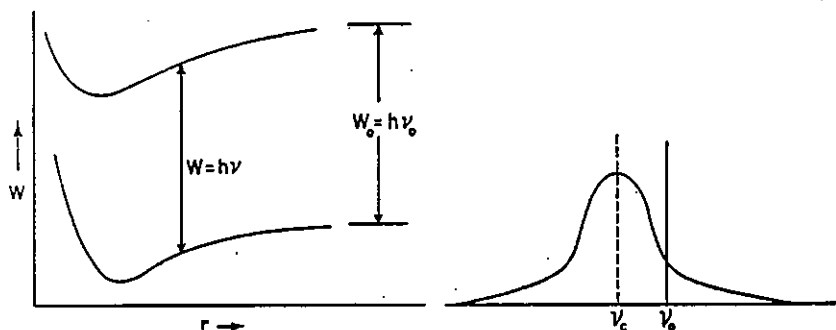


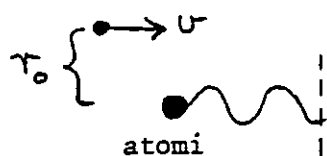
FIG. 11. COLLISIONAL DISPLACEMENT OF A SPECTRAL LINE

The left part of the figure depicts the distortion of the energy levels as a function of the separation  $r$  between the atom and perturber. The undisturbed frequency is  $\nu_0$ . The resultant spectral line (right) not only is broadened because encounters take place at different  $r$  values but is shifted as well.

Törmäysvaimennuksen vakio  $T_{\text{coll}}$  riippuu häiritsevien atomien (tai ionien) tiheydestä  $N_b$ , niiden suhteellisesta nopeudesta  $v$  säteilevän atomin suhteen sekä etäisyydestä  $r_0$ , jolle häiritsijän on vähintään tultava, jotta se aiheuttaisi vaimennusta. Säteilyä vaimentavien törmäysten lukumäärä aikayksikössä on tällöin

$$S = \frac{N_b \cdot dv}{dt}$$

$$S = N_b \cdot \pi r_0^2 \cdot v$$



missä  $\pi r_0^2$  on ns. vaikutusala.

Tavallisesti kirjoitetaan

$$T_0 = \text{const.} \cdot \sigma^{-\frac{1}{n-1}}, \text{ missä } n \text{ riippuu häiritsevän hiukkasen lajista.}$$

Esim.  $n = 2$  (lineaarinen Stark efekti) : elektronien ja ionien aiheuttamat häiriöt vety- ja heliumatomeille

$n = 4$  (kvadraattinen Stark efekti) : Elektronien ja ionien aiheuttamat häiriöt muille alkuaineille

$n = 6$  (Van-der-Waals voima) : neutraalien hiukkasten (esim. H) aiheuttamat häiriöt.

Törmäysvaimennuksen aiheuttama absorptio voidaan laskea tavallisesta absorptiokertoimen  $\kappa_s$  yhtälöstä, kunhan säteilyvaimennusvakion korvaa törmäysvaimennusvakiolla

$$T_{\text{coll}} = \frac{2}{T_0} = 2S$$

missä  $T_0$  = keskimääräinen häiritsevien törmäysten välinen aika  
(ts. atomi voi häiriöttömästi säteillä vain ajan  $T_0$ )

$$T_{\text{coll}} = 2\pi T_0^2 \sigma N_b$$

d) Yhdistetty luonnollinen leveneminen, Doppler leveneminen ja törmäysleveneminen

Johdetaan seuraavassa kokonaisabsorptiokertoimen lauseke atomia ja taajuusyksikköä kohti, jossa huomioitu lämpöliikkeestä johtuva spektrivivan leveneminen, törmäysleveneminen (jolloin  $T_{\text{eff}} = T_{\text{rad}} + T_{\text{coll}}$ ) sekä luonnollinen leveneminen, jossa absorptiokerroin yhtä atomia kohden on

$$\alpha_v = f \cdot \frac{\pi e^2}{mc} \frac{T_{\text{rad}}}{4\pi^2} \frac{1}{(v-v_0)^2 + (T_{\text{rad}}/4\pi)^2}$$

Atomin liikkussa noppudella  $v$  havaittujen suhteeseen on viivan maksimi siirtynyt määrällä  $\Delta\nu = \frac{v}{c} \nu_0$ , joten viivan havaittu taajuus on

$$\nu_{\text{hav}} = \nu_0 - \frac{v}{c} \nu_0 \quad (\text{huom. etäisyyden kasvaessa } \nu_{\text{hav}} \text{ pienenee ja } v \text{ on positiivinen})$$

Yhden atomin absorptiokerroin on tällöin

$$\alpha_\nu = f \frac{\pi e^2}{mc} \frac{T_{\text{eff}}}{4\pi^2} \frac{1}{(\nu - \nu_0 - \frac{v}{c} \nu_0)^2 + (T_{\text{eff}}/4\pi)^2}$$

$$\nu = (\nu_0 + \Delta\nu)$$

Kokonaabisorptiokerroin saadaan kertomalla tämä lauseke niiden atomien lukumäärällä, joiden nopeus on välissä  $(v, v+dv)$  sekä integroimalla yli kaikkien niiden nopeuksien, jotka aiheuttavat emissiota ( tai absorptiota) taajuudella  $\nu$ .

$$k_\nu S = \int_N \alpha_\nu dN \quad , \text{ missä } dN = \text{nopeusväli } (v, v+dv) \text{ olevien atomien lukumäärä}$$

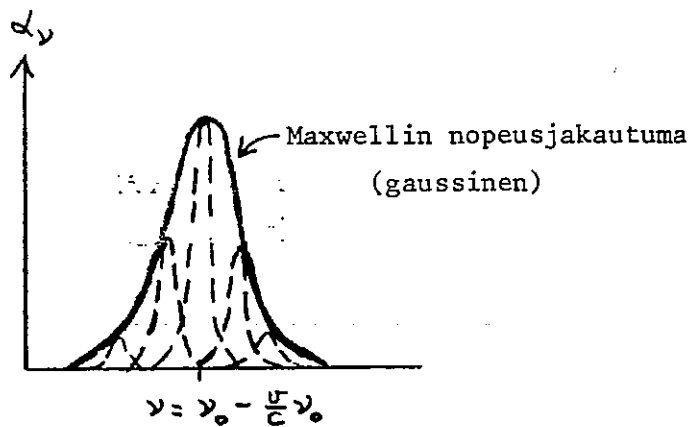
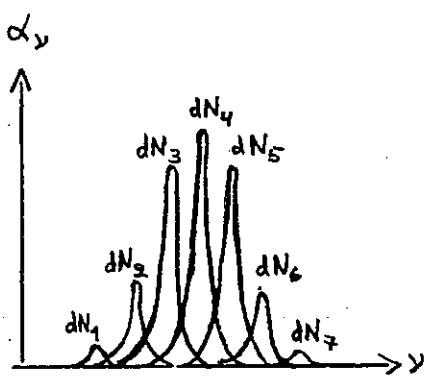
$$dN = N \sqrt{\frac{m}{2\pi kT}} e^{-\frac{mv^2}{2kT}} dv$$

$$k_\nu S = \int_N \alpha_\nu \cdot N \sqrt{\frac{m}{2\pi kT}} e^{-\frac{mv^2}{2kT}} dv$$

Sijoittamalla  $\alpha_\nu$  saadaan

$$k_\nu S = N \cdot f \frac{\pi e^2}{mc} \frac{T_{\text{eff}}}{4\pi^2} \int_{-\infty}^{\infty} \frac{\sqrt{\frac{m}{2\pi kT}} \cdot e^{-\frac{mv^2}{2kT}}}{(\nu - \nu_0 - \frac{v}{c} \nu_0)^2 + (T_{\text{eff}}/4\pi)^2} dv$$

Viivaprofiilin muodon määrää yh. integraalilauseke, jossa "summataan" yli yksittäisten Lorentz-profiilien. Lorentz-profiilien "verhokäyrän" muoto riippuu siitä, kuinka paljon atomeja on "painoina" kullekin Lorentz-viivalle.



Doppler-liikkeestä johtuen on viivan maksimi siirtynyt määrällä  $\Delta v = \frac{v}{c} v_0$

Jotta  $\alpha_v$  voitaisiin esittää muodollisesti hieman yksinkertaisemalla lausekkeella, tehdään seuraavat muokkaukset.

$$\alpha_v = f \cdot \frac{\pi e^2}{mc} \frac{T_{\text{eff}}}{4\pi^2} \frac{1}{\sqrt{\pi}} \int_{-\infty}^{\infty} \frac{e^{-\frac{mv^2}{2kT}} \cdot \sqrt{\frac{m}{2kT}} dv}{(v-v_0 - \frac{v}{c}v_0)^2 + (T_{\text{eff}}/4\pi)^2}$$

Merk.  $y = \sqrt{\frac{m}{2kT}} v$   
 $dy = \sqrt{\frac{m}{2kT}} dv$

$$\alpha_v = f \frac{\pi e^2}{mc} \frac{T_{\text{eff}}}{4\pi^2} \frac{1}{\sqrt{\pi}} \int_{-\infty}^{\infty} \frac{e^{-y^2} dy}{(v-v_0 - \frac{v}{c}v_0)^2 + (T_{\text{eff}}/4\pi)^2}$$

lavennetaan  $\frac{\Delta v_D^2}{\Delta v_D^2} : 11ä$   
 $\Delta v_D = \frac{v_0}{c} \sqrt{\frac{2kT}{m}}$

(kuvaaa Dopplerin levenemistä)

$$\alpha_v = \frac{f}{\Delta v_D} \frac{\pi e^2}{mc} \frac{T_{\text{eff}}}{4\pi \Delta v_D} \frac{1}{\pi \sqrt{\pi}} \int_{-\infty}^{\infty} \frac{e^{-y^2} dy}{[(v-v_0) - \frac{v}{c}v_0]^2 + (\frac{T_{\text{eff}}}{4\pi \Delta v_D})^2}$$

$$\frac{v}{c} v_0 = \Delta v$$

$$\alpha_v = \frac{f}{\Delta v_D} \frac{\pi e^2}{mc} \frac{T_{\text{eff}}}{4\pi \Delta v_D} \frac{1}{\pi \sqrt{\pi}} \int_{-\infty}^{\infty} \frac{e^{-y^2} dy}{(\frac{v-v_0}{\Delta v_D} - \frac{\Delta v}{\Delta v_D})^2 + (\frac{T_{\text{eff}}}{4\pi \Delta v_D})^2}$$

Merkitään  $\alpha_0 = \frac{f}{\Delta v_D} \frac{\pi e^2}{mc}$

$$a = \frac{T_{\text{eff}}}{4\pi \Delta v_D}$$

$$u = \frac{v-v_0}{\Delta v_D}$$

$$\frac{\Delta v}{\Delta v_D} = \frac{v_0 \frac{v}{c}}{\frac{v_0}{c} \sqrt{\frac{2kT}{m}}} = \sqrt{\frac{2kT}{m}} = y$$

$$\Rightarrow \alpha_y = \alpha_0 \frac{a}{\pi} \frac{1}{\sqrt{\pi}} \int_{-\infty}^{\infty} \frac{e^{-y^2}}{(u-y)^2 + a^2} du = \alpha_0 \cdot H(a, u)$$

VIIVAPROFIILIN  
YLEINEN MUOTO

HUOM. Vakiopaineessa ja lämpötilassa  $a = \text{vakio}$ , ja integrointi suoritetaan muuttujan  $y$  yli. Käytännön laskuja varten voidaan y.o. kokonaisabsorption lauseke kirjoittaa sarjakehitelmän muotoon:

$$\frac{\alpha_y}{\alpha_0} = H_0(u) + a \cdot H_1(u) + a^2 H_2(u) + \dots$$

missä funktiot  $H_0, H_1, \dots$  arvot on taulukoitu  $u$ :n funktiona.

Teoreettiset laskut osoittavat, että säteilyvaimennuksesta aiheutuva viivaprofiili (kuvan katkoviiva) eroaa säteily- ja törmäysvaimennuksen viivaprofiilista (kuvan yhtenäinen viiva).

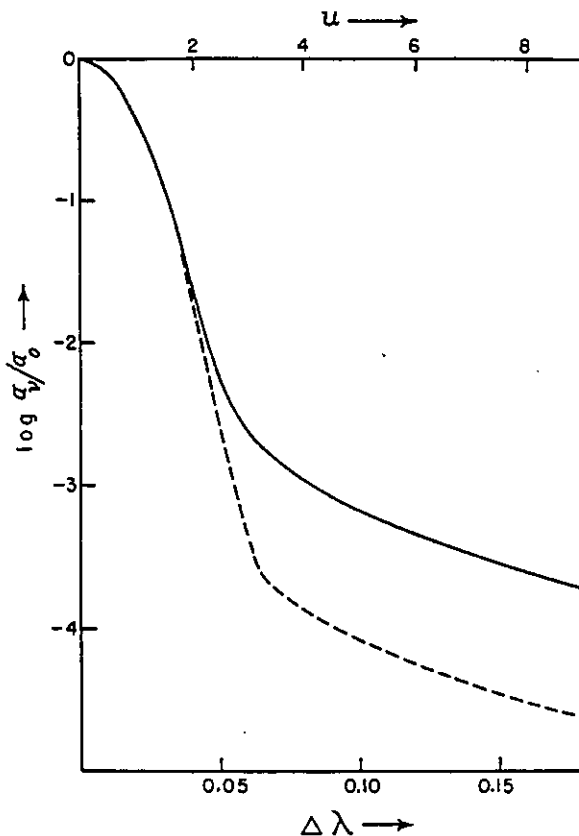


FIG. 1 THE LINE ABSORPTION COEFFICIENT FOR Ca II  $\lambda 3933$

We plot  $\log \alpha_y / \alpha_0$  against  $u$  and  $\Delta\lambda$  as abscissa for  $T = 5700^\circ\text{K}$ . The solid curve applies to combined radiation and collisional broadening at a gas pressure of  $7.2 \times 10^4$  dynes; the dotted curve applies for radiation damping alone.

Lämpöliikkeestä aiheutuva viivaprofiili käyttäätyy kuten  $e^{-\frac{m}{2kT} \frac{v^2}{c^2}}$ , jolloin FWHM  $\propto \sqrt{T}$ . Täten viiva levenee lämpötilan kasnotessa.

Säteilyvaimennuksen aiheuttaman absorptiokertoimen lausekkeesta

$$\alpha_v = f \cdot \frac{\pi e^2}{mc} \frac{T_{rad}}{4\pi^2} \frac{1}{(v-v_0)^2 + (T_{rad}/4\pi)^2}$$

nähdään, että alueella  $|v - v_0| \gg \frac{T_{rad}}{4\pi}$  (eli kun ollaan reilusti Lorentzprofiilin puoliarvoleveyden ulkopuolella) spektriviivan voimakkuus heikkenee kuten  $(v - v_0)^{-2}$ .

Törmäysvaimennus taas synnyttää spektriviivalle voimakkaat "siivet", jotka ovat paljon merkittävämmät kuin säteilyvaimennuksen aiheuttamat siivet.

Todettakoon, että törmäysleveneminen on verrannollinen tarkastelukohteessa vallitsevaan paineesseen.

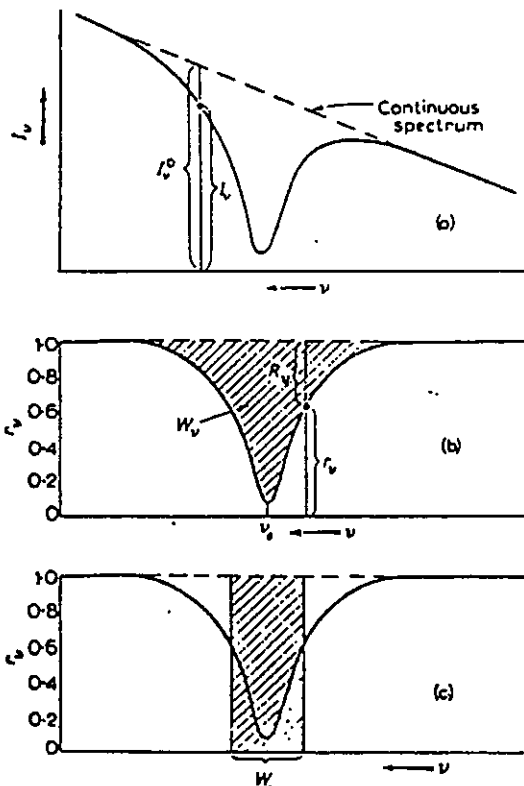
#### e) Spektriviivojen voimakkuudet ja kasvukäyrä

Spektriviivojen voimakkuus ilmaistaan viivojen ekvivalentti leveyden  $W_v$  avulla.

$$1 \cdot W_v = \boxed{W_v = \int \frac{I_o - I_v}{I_o} dv} \quad \text{EKVIVALENTTI LEVEYS}$$

suora-kaiteen alla missä  $I_o$  = kontinuumin intensiteetti  $I_v$  = viivan intensiteetti

Mikäli approksimoidaan, että kaikilla viivoilla on samanlainen profiili, voidaan spektriviivan pinta-ala kytkeä ekvivalentti leveyden käsitteseen. Oheinen kuva esittää, miten ekvivalentti leveys mitataan.



Ensin mormeerataan intensiteetti niin, että se tulee kontinuumi-spektrissä yksikön suuruiseksi. Sitten mitataan spektriviivan intensiteetin ja kontinuumin väliin jäävän alueen pinta-ala. Lopuksi piirretään suorakaide, jonka korkeus on = 1 ja ala sama kuin yllä mainittu pinta-ala. Näin syntyneen suorakaiteen leveys on spektriviivan ekvivalentti leveys  $W_\nu$ .

Jos absorboivan kerroksen optinen syvyys on pieni, on

$$I = I_0 e^{-\sigma k \Delta x} \approx I_0 (1 - \sigma k \Delta x) = I_0 (1 - N \alpha_\nu \Delta x)$$

Tällöin

$$W_\nu = \int \frac{I_0 - I_\nu}{I_0} d\nu = \int N \alpha_\nu \Delta x d\nu$$

Integrointi suoritettu luvussa 2.5.2.e, joten tuloksena saadaan

$$W_\nu = \Delta x \frac{\pi e^2}{mc} f N$$

EKVIVALENTTI LEVEYS  
(kun  $\gamma \ll 1$ )

missä  $N$  = atomien ( tai ionien) lukumäärä tietyssä viritystilassa,  
joka on ko. siirtymän lähtötaso  
 $\Delta x$  = atmosfäärikerroksen paksuus

Kun ekvivalenttileveys  $W_\nu$  esitetään  $fN$ :n funktiona saadaan ns.  
kasvukäyrä, joka pienillä  $\gamma$ :n arvoilla on lineaarinen funktio (kuva b)

Kuva (a) esittää viivaprofiilin teoreettista muotoa (absorptioviiivan puolikas), kun  $N$ :n arvo kasvaa kertoimella  $10^5$ . Nähdään, että absorptioviiiva syvenee ja levenee absorboivien atomien lukumäärän kasvaessa. Pienillä  $N$ :n arvoilla kuvan absorptioviiivan puolikas on Doppler-profiilin mukainen (tällöin kasvukäyrä  $\propto fN$ ). Kun  $\gamma \ll 1$  ei enää ole voimassa, hidastuu viivan kasvu  $N$ :n kasvusta huolimatta. Kasvukäyrään syntyy tällöin tasainen osa.  $N$ :n edelleen kasvaessa alkaa

viivaprofiiliin syntyä voimakkaat, törmäysvaimennuksesta aiheutuvat siivet, jotka lopulta määräväät viivan koko muodon. Tällöin kasvukäyrä  $\propto \sqrt{fNT_{\text{eff}}}$  joten eri vaimennusvakion  $a = \frac{T_{\text{eff}}}{4\pi\Delta\lambda^2}$  arvoilla saadaan tällä alueella toisistaan poikkeavia kasvukäyriä.

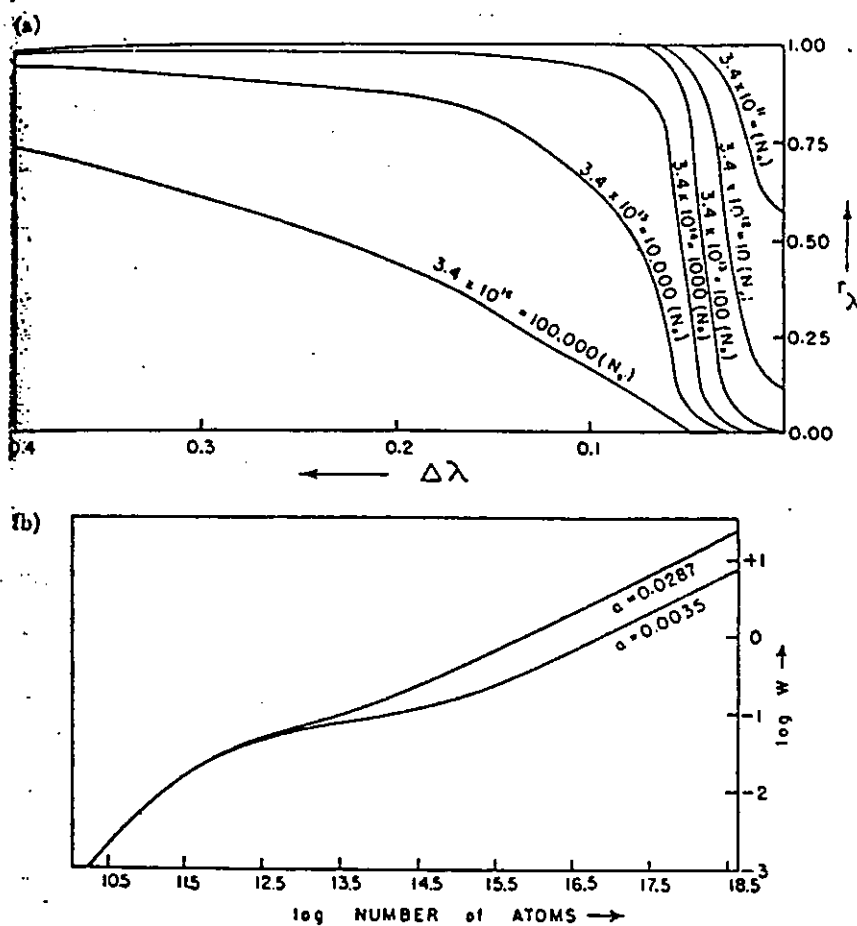


FIG. THE CURVE OF GROWTH FOR  $\lambda 3933$

(a) Theoretical profiles calculated for the Schuster-Schwarzschild model and pure radiation damping show how the shape of the line changes as the number of absorbing atoms increases. The number  $N_0 = 3.4 \times 10^{11}$  is so chosen that the optical depth at the center of the line for  $N_0$  atoms,  $X_0$ , will be 1.  $N$  denotes the number of atoms above the photosphere.

(b) From the integration of the profiles of Fig. 8-7a we obtain  $\log W$  which we plot against  $\log N$ , the number of atoms above the photosphere. Curves are given for  $a = 0.0035$  and  $0.0287$  (see Eqs. 7-68 and 7-72).

HUOM. Kasvukäyrää voidaan käyttää alkuaineiden runsauksien karkeaan määritykseen. Menetelmässä oletetaan tietyt  $P_g$ ,  $P_e$  ja  $T$  arvot. Lisäksi oletetaan, että kaikilla viivoilla on samanmuotoinen viivaprofiili, jonka jälkeen teoreettinen kasvukäyrä voidaan laskea. Kun  $f$  ja  $W$  tunnetaan, saadaan kasvukäyrän avulla  $N$ .

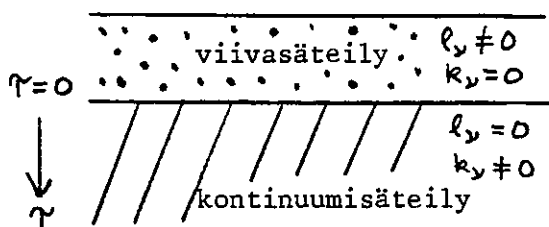
Käytännössä mitataan sellaisten absorptioviivojen ekvivalenttileveydet, joiden suhteelliset  $f$ -arvot tunnetaan. Esimerkiksi tietyn alkuaineen multiplettiiviavat ovat käteviä, koska niillä on sama lähtötaso energiasokaaviossa (siis sama  $N$ ), mutta eri ekvivalenttileveydet ja oskillaattorivoimakkuudet. Vertailemalla empiiristä relatiota  $f \rightarrow W$  teoreettiseen kasvukäyrään  $fN \rightarrow W$  saadaan atomien runsaus  $N$ .

Käyrien vertailu tapahtuu siten, että empiiristä käyrää siirretään vaakasuunnassa, kunnes tiettyyn viritysenergian  $X$  arvoon kuuluvat pisteet sijoittuvat parhaiten teoreettiselle kasvukäyrälle (kts. Allerin luku 8.8)

#### f) Teoreettisen spektriviivaprofiilin laskeminen

Absorptioviivojen muodostumiselle tähtien atmosfääreissä on kaksi yksinkertaista mallia.

##### 1) Schuster-Schwarzschildin malli



Viiva-absorptio syntyy harvemmassa pintakerroksessa

Jatkuva spektri muodostuu fotosfääriissä

##### 2) Milne-Eddingtonin malli:

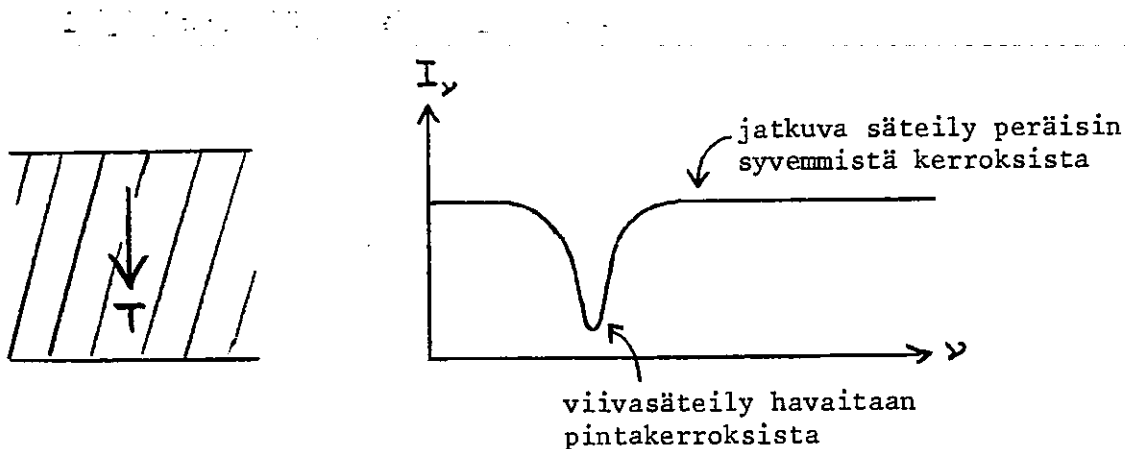
$$\frac{\text{viiva-absorptiokerroin}}{\text{kontinuumiabsorptiokerroin}} = \frac{\ell_v}{k_v} = \text{vakio optisen syvyyden funktio}$$

$\Rightarrow$  absorptioviivoja muodostuu atmosfäärin kaikissa kerroksissa

Absorptioviivan kohdalla on suurempi kokonaisabsorptiokerroin  $k_\nu + \ell_\nu$

$\Rightarrow$  viivasäteilyä havaitaan vain pintakerroksista.

Koska tähden pintakerroksissa lämpötila on pienempi, on myös viivasäteilyn intesiteetti pienempi  $\Rightarrow$  intensiteettikäyrän absorptioviiva



Kontinuumisäteilyn kokonaisabsorptiokerroin on pienempi kuin spektriviivan kohdalla ( $\ell_\nu$ , poissa kuvioista), minkä johdosta nähdään syvempiin kerroksiin, jossa suurempi säteilyintensiteetti (T suurempi).

HUOM. Milne-Eddingtonin malli on fysikaalisesti oikeaoppisempi malli.

Hyvin monelle absorptioviivalle on Milne-Eddingtonin malli erittäin hyvä approksimaatio.

Teoreettinen viavaprofiili saadaan ratkaisemalla säteilykuljetusyhtälö. Yksinkertainen ratkaisu säteilykuljetusyhtälölle saadaan Milne-Eddingtonin mallin oletuksella  $\ell_\nu/k_\nu = \text{vakio}$

Säteilykuljetusyhtälö :

$$\cos \theta \frac{dI_\nu}{d\tau_\nu} = I_\nu - S_\nu \quad | \quad d\tau_\nu = (k_\nu + \ell_\nu) S dx$$

$$\cos \theta \frac{dI_\nu}{S dx} = (k_\nu + \ell_\nu) [I_\nu - S_\nu]$$

Absorboituneista kvanteista osa  $\varepsilon$  absorboituu todellisesti ja osa  $1 - \varepsilon$  sirottuu eli re-emittoituu samalla taajuudella, jolloin intensiteetti  $I_\nu$ , alkuperäisessä suunnassa pienenee suhteessa kontinuumiin (kontinuumissa ei sirontaa).

Huomioimalla sironta viivassa, voidaan viivan lähdefunktio esittää muodossa

$$S_\nu = \varepsilon l_\nu B_\nu + (1 - \varepsilon) l_\nu \bar{J}_\nu$$

$$\Rightarrow \cos \theta \frac{dI_\nu}{dx} = \underbrace{k_\nu I_\nu - k_\nu B_\nu}_{\text{kontinuumin osuus}} + \underbrace{l_\nu I_\nu - [\varepsilon l_\nu B_\nu + (1 - \varepsilon) l_\nu \bar{J}_\nu]}_{\text{viivan osuus}}$$

Tälle Eddingtonin säteilynkuljetusyhtälölle saadaan muodollisesti toinen esitystapa merkitsemällä

$$dt = (k + l) dx = k(1 + \eta) dx, \text{ missä } \eta = \frac{l}{k}$$

$$L = \frac{1 + \varepsilon \eta}{1 + \eta} = \frac{k + \varepsilon l}{k + l}$$

$$\Rightarrow \cos \theta \frac{dI_\nu}{dt} = I_\nu - \underbrace{L \cdot B_\nu(\tau) - (1 - L) \bar{J}_\nu}_{\text{lähdefunktio } S_\nu}$$

Olettamalla, että  $\eta = \frac{l}{k} = \text{vakio}$  optisen syvyyden funktiona

$$\Rightarrow \varepsilon = \text{vakio}$$

$$\Rightarrow L = \text{vakio}$$

$\Rightarrow$  Säteilynkuljetusyhtälölle saadaan yksinkertainen ratkaisu  $I_\nu(0, \Theta)$  eli viivaprofiili

(kts. ratkaisuesimerkkiä Allerin oppikirjassa s. 349-351)

Teoreettisen viivaprofiilin tarkka laskeminen (Feinanalyse) sisältää seuraavat vaiheet:

- Oletetaan  $T_{eff}$ , g sekä atmosfäärin kemiallinen koostumus (tai oletataan näille kasvukäyrän avulla tehdyn Grobanalyysin antamat arvot), jonka jälkeen lasketaan maliatmosfäärin  $T(\tau_o)$ ,  $P_e(\tau_o)$ ,  $P_g(\tau_o)$  ja  $R(\tau_o)$

missä  $\tau_o$  = optinen syvyys tietyllä aallonpituuudella (esim  $\lambda = 5000\text{\AA}$ )

- Kun  $T$  ja  $P_e$  tunnetaan voidaan laskea  $k_\lambda$ , jonka jälkeen selviää  $\tau_\lambda$  ja  $\tau_o$  välinen riippuvuus:

$$\left. \begin{array}{l} \tau_\lambda = \int_0^\infty k_\lambda dx \\ \tau_o = \int_0^\infty k_o dx \end{array} \right\} \Rightarrow \tau_\lambda = f(\tau_o)$$

$$3. \left. \begin{array}{l} P_e(\tau) \\ T(\tau) \end{array} \right\} \xrightarrow[\text{Saha}]{\text{Boltzmann}} \frac{N_r}{N_{tot}}$$

missä  $N_r$  = atomien 1km., jotka voivat aiheuttaa ko. absorptioiivan

- Oletetaan ko. alkuaineelle tietty runsaus  $N_{tot}$
- Oletetaan viivaprofiilin muoto (lähinnä oletetaan vaimennuskertoimen  $a = \frac{T_{eff}}{4\pi\Delta\lambda_D}$  arvo) sekä lasketaan absorptiokerroin viivan keskellä (kts. merkinnät luvusta 2.5.4.d)
- Kun viivaprofiili  $\alpha_\lambda/d_o$  ja  $N_r \alpha_o$  tunnetaan, saadaan viivaabsorptiokerroin laskettua:

$$l_\nu = N_r \alpha_o \left( \frac{\alpha_\lambda}{\alpha_o} \right)$$

7. Tämän jälkeen lasketaan  $\eta_\lambda = \frac{\ell_\lambda}{k_\lambda}$   
ja  $d\ell_\lambda = (1 + \eta_\lambda) dT_\lambda$

8. Valitaan absorption ja sironnan suhteellinen osuus ko. viivassa

9. Ratkaistaan säteilynkuljetusyhtälö ko. spektriviivalle

Vertaamalla teoreettista viivaprofiilia havaintoihin voidaan interpoloimalla löytää malli, joka parhaiten vastaa havaittua absorptioviivaa.

HUOM. 1 Yleensä lasketaan iso joukko malliatmosfäärejä erilaisilla parametreilla. Täten havaitun spektriviivan interpoloiminen teoreettisiin käyriin on melko mütkatonta.

HUOM. 2  $T(T)$ ,  $P(T)$  ja kemiallinen koostumus kytkeytyvät toisiinsa. Kytkentään päästään käsitteeksi kasvukäyrään perustuvalla ns. Grobanalyysillä.

HUOM. 3 Jokainen tähti käsiteltävä yksilöllisesti, mitään "yleistä reseptiä" ei ole.

HUOM. 4 Tarkemmissa Feinanalyyseissä on huomioitava poikkeamat termodynaamisesta tasapainosta.

Hvaintojen kanssa yhteensovivia teoreettisia viivaprofiileja käytetään atmosfäärin kemiallisen koostumuksen määritykseen. Erityisesti tehdään Feinanalyysejä eri spektriluokkien tyypillisille tähdille. (kts. alla olevaa taulukkoa). Hyviä tuloksia on saatu aikaisen spektriluokan tähdille (aurinkoon saakka). Sen sijaan myöhäisen spektriluokan tähdet ovat vielä problemaattisia (molekyylit, konvektiovyöhykkeet ....)

Beispiele

	$\tau$ Sco BO V	$\alpha$ Lyr AO V	Sonne G2 V	$\epsilon$ Vir GBIII	$\alpha$ Cyg A2Ia	Population II (1) (2)	Ap (3)	Am (4)
1 H	10.5	10.5	10.5	10.5	10.5	10.5	10.5	10.5
2 He	9.5	9.9	9.3					
6 C	6.6	.	7.1	7.0	6.6	4.8	6.0	6.7
7 N	6.8	7.2	6.4		7.8			
8 O	7.2	7.7	7.4		7.7			
10 Ne	7.1		6.5			6.4		
11 Na		5.4	4.8	5.1		2.2	3.5	
12 Mg	6.0	5.9	6.0	6.0	6.4	3.7	5.1	5.5
13 Al	4.7	4.2	4.9	5.0	5.3	2.3	3.4	5.1
14 Si	6.1	6.1	6.1	6.2	6.5	3.8	4.8	6.1
16 S	5.7		5.7	5.8				5.9
20 Ca		4.6	4.9	5.0	5.2	2.5	3.6	5.4
21 Sc		1.6	1.5	1.4	1.8	-0.2	0.2	2.2
22 Ti		2.8	3.1	3.1	3.5	0.8	2.3	3.7
23 V		2.5	2.6	2.6	2.8		0.7	3.3
24 Cr		4.4	4.4	4.4	4.7	2.0	3.2	6.0
25 Mn		2.6	3.9	4.0		1.9	2.2	5.3
26 Fe	5.8	5.8	5.1	5.1	5.1	3.6	4.5	6.0
27 Co			3.1	3.1	3.3	0.8	1.9	3.1
28 Ni			4.9	4.9		2.3	3.2	4.9
38 Sr		0.6	1.4	1.1	1.9	-0.9	0.2	3.9
39 Y			0.1	0.0			-0.5	0.3
40 Zr			1.2	0.5			-0.5	2.4
56 Ba			0.1	0.0			-0.6	0.9

Tabelle: Chemische Zusammensetzung für

- drei Hauptreihensterne } der Population I (s.IX,3.5)  
 - ein Riese, ein Überriese } der Population II (s.IX,3.5)

- (1) Unterzwerge (Schnellläufer) }  
 - HD 140 283 } Population II (s.IX,3.5)  
 - (2) Horizontal-Ast-Stern }  
 - (Schnellläufer) HD 161817 }

- (3) Mittel aus 21 Ap-Sternen der Gruppe Sr-Cr-Eu  
 - (4) Mittel aus 16 Am-Sternen (s.IV,9.2)

Angegeben ist  $\log N$  bezogen auf  $\log H = 10.5$  (dies entspricht etwa der sonst häufig verwendeten Normierung auf  $\log Si = 6.00$ )

Fig. . . Comparison of the Flux Distributions Emitted by a Model Atmosphere at  $T_{eff} = 30,000^{\circ}\text{K}$  and a Black Body at  $T = 30,000^{\circ}\text{K}$ . The model atmosphere is also represented in Fig. 4-2. Since  $F_v$  has been divided by  $\pi$ , it is dimensionally equivalent to an intensity and is therefore compared directly with the Planck function  $B_v(T)$ .

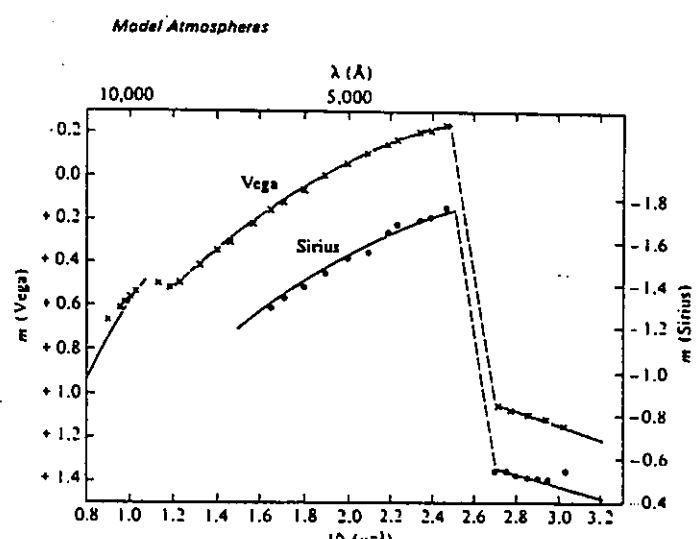
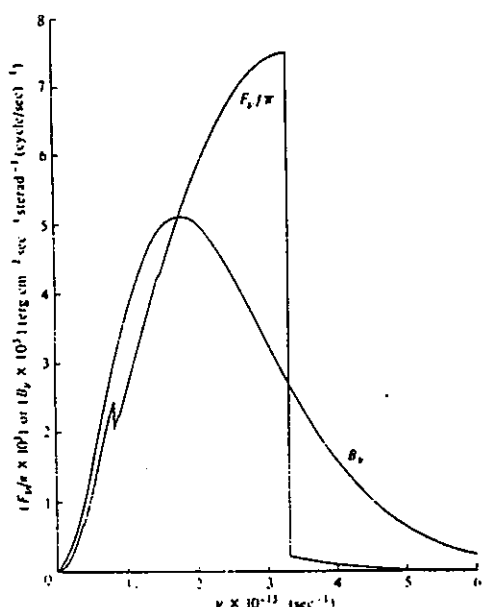


Fig. Comparison of the Observed Spectral Distributions of Vega ( $\alpha$  Lyrae) and Sirius ( $\alpha$  Canis Majoris) with Those of Theoretical Models. The ordinate is apparent magnitude. Crosses represent the observations of Vega and dots the observations of Sirius. Solid lines show the distributions for the corresponding model atmospheres. The details of the theoretical distributions in the region of the closely spaced lines near the Balmer limit (3646 Å or  $2.74 \mu^{-1}$ ) are not shown, and dashed lines simply connect the curves on either side of the discontinuity. [Adapted from R. Schild, D. M. Peterson, and J. B. Oke, 1971 (199a).]

L I I T E    I

KAHDEN KAPPALEEN PROBLEEMA

(Newton: Philosophiae Naturalis Principia Mathematica 1687)

Newtonin selvittäessä Keplerin planeettoja koskevia liikelakeja löysi hän massojen välisen vetovoiman sekä periaatteen, jolla kappaleen liikerata voidaan ennustaa, kun kappaleen ja sen ympäristön väliset vuorovaikutukset (voimat) tunnetaan.

Newtonin lait

I Kappale, johon ei vaikuta ulkoisia voimia (tai ulkoinen voimaresultanti = 0), säilyttää liiketilansa: levossa oleva kappale pysyy levossa ja liikkuvia kappaleita jatkaa tasaista, suoraviivaista liikettä.

II Kappaleeseen vaikuttava ulkoinen voima on verrannollinen kappaleen aikayksikössä tapahtuneeseen liikemäärän muutokseen. Verrannollisuus- kertoimen arvoksi valittu 1.

$$\bar{F} = \frac{\dot{P}}{dt} = m \ddot{r}$$

Massan pysyessä vakiona on  $\bar{F} = m \ddot{r}$ .

III Jos kappale A vaikuttaa kappaleeseen B voimalla  $\bar{F}$ , niin B vaikuttaa A:han voimalla  $-\bar{F}$ .

Huom.

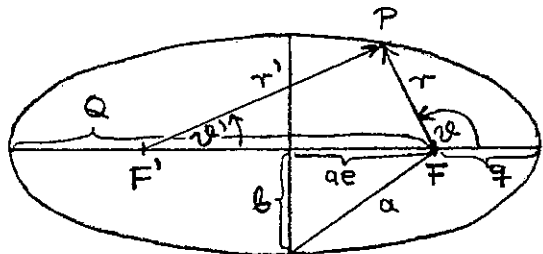
1. Newtonin lait pätevät vain inertialkoordinaatistossa eli levossa tai tasaisessa liikkeessä olevassa koordinaatistossa.
  2. Newtonin laeista seuraa dynamiikan peruslain yleistys: ulkoinen kokonaisvoima määräää mekaanisen systeemin painopisteen kiihtyvyyden siten, että
- $$\sum \bar{F} = \frac{d}{dt} (M \dot{\bar{R}}_{pp}) , \text{ missä } M = \text{systeemin kokonaismassa.}$$

### Keplerin lait

- I Planeettojen radat ovat ellipsejä, joiden toisessa polttopisteessä on Aurinko. (1609)
- II Auringosta planeettaan piirretty paikkavektori pyyhkii yhtä pitkissä ajanjaksoissa yhtä suuret pinta-alat. Tämä laki voidaan ilmaista myös muodossa: planeetan pintanopeus on vakio. (1609)
- III Planeettojen kiertoaikojen neliöt suhtautuvat kuten niiden ratojen isoakselien kuutiot. (1619)

### Ellipsin yhtälö

Kertauksena ellipsin yhtälö napakoordinaatistossa:



Määritelmä:

$$r + r' = \text{vakio} = 2a$$

$F, F'$  = polttopisteet

$r, r'$  = paikkavektorit

$e$  = eksentrisyys

$a$  = isoakseli

$b$  = pieniakseli

$$= \sqrt{a^2 - a^2 e^2} = a \sqrt{1 - e^2}$$

$q$  = perisentrumin etäisyys

$Q = (1+e)a$  = aposentrumin etäisyys

$\vartheta$  = todellinen anomalia

$$\text{Kuviosta: } 2ae = r' \cos \vartheta' - \underbrace{r \cos \vartheta}_{\text{kuviossa negatiivinen}}$$

$$\Rightarrow \begin{aligned} r \cos \vartheta - r' \cos \vartheta' &= -2ae \\ r \sin \vartheta &= r' \sin \vartheta' \end{aligned} \quad \left. \begin{array}{l} |^2 \\ |^2 \end{array} \right\} +$$

$$r^2 + 4ae r \cos \vartheta + 4a^2 e^2 = r'^2$$

Sijoitetaan täähän ellipsin määritelmästä  $r' = 2a - r$

$$\Rightarrow r^2 + 4ae r \cos \vartheta + 4a^2 e^2 = (2a - r)^2$$

$$\Rightarrow r = \frac{a(1 - e^2)}{1 + e \cos \vartheta}$$

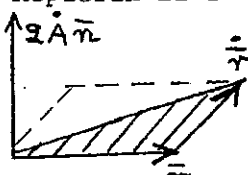
Tämä on samalla yleinen kartioleikkauksen yhtälö. Kyseessä on

- hyperbeli, jos  $e > 1$
- parabeli, jos  $e = 1$
- ellipsi, jos  $0 < e < 1$
- ympyrä, jos  $e = 0$

### Keskeisvoima

Keplerin ja Newtonin II laeista seuraa, että tähteä kiertävään planeettaan vaikuttaa keskeisvoima.

Keplerin II laki



$$\Rightarrow \text{pintanopeus } \dot{\text{A}} = \text{vakio}$$

$$\Leftrightarrow \dot{\bar{r}} \times \ddot{\bar{r}} = 2\dot{\text{A}}\bar{n}, \text{ missä } \bar{r} = \text{planeetan paikkavektori}, \bar{n} = \text{yksikkövektori } \perp \bar{r} \text{ ja } \dot{\bar{r}}$$

$$\Leftrightarrow \frac{d}{dt}(2\dot{\text{A}}\bar{n}) = 0$$

$$\frac{d}{dt}(\bar{r} \times \dot{\bar{r}}) = \bar{r} \times \ddot{\bar{r}} + \dot{\bar{r}} \times \dot{\bar{r}} = 0$$

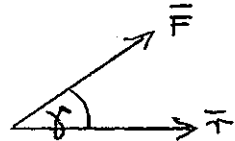
$$\Rightarrow \bar{r} \times \ddot{\bar{r}} = 0 \quad | \cdot m$$

$$\bar{r} \times m\ddot{\bar{r}} = 0$$

Newtonin II laki

$$\Rightarrow \bar{r} \times \bar{F} = 0$$

$$\Leftrightarrow r \cdot F \cdot \sin \gamma = 0$$



Koska  $|\bar{r}| \neq 0$  ja  $|\bar{F}| \neq 0$ , seuraa ylläolevasta, että  $\gamma = 0$  eli  $\bar{F} \parallel \bar{r}$  eli  $\bar{F}$  on keskeisvoima.

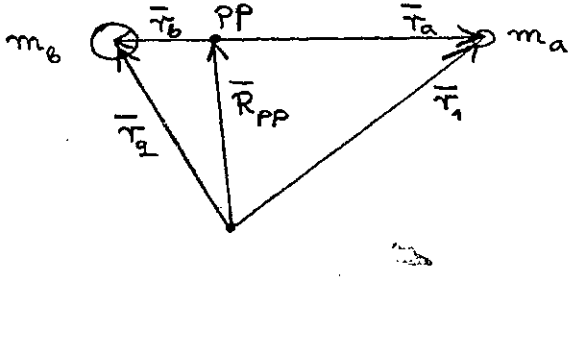
Kääntäen voidaan osoittaa, että keskeisvoimakentässä pätee Keplerin II laki (harjoitustehtävä)

### Kahden kappaleen probleema

Newtonin yleinen massojen välinen vetovoimalaki on

$$\bar{F} = -G \frac{m_a m_b}{r^3} \bar{r}, \quad |F| = G \frac{m_a m_b}{r^2}$$

Koska Newtonin lait pätevät ainoastaan inertialkoordinaatistossa, tarkastellaan seuraavassa kappaleiden a ja b liikettä painopistekoordinaatistossa.



Massakeskipisteen yleisen määritelmän mukaan

$$m_a \bar{r}_1 + m_b \bar{r}_2 = (m_a + m_b) \bar{R}_{pp}$$

Valitsemalla painopiste systeemin origoksi on

$$m_a \bar{r}_a + m_b \bar{r}_b = 0$$

$$\Rightarrow \bar{r}_b = -\frac{m_a}{m_b} \bar{r}_a$$

Kappaleiden välinen etäisyys on täten

$$\ddot{r} = \ddot{r}_a - \ddot{r}_b = \left(1 + \frac{m_a}{m_b}\right) \ddot{r}_a$$

Dynamiikan peruslaki kappaleelle a on siten

$$m_a \ddot{r}_a = -G \frac{m_a m_b}{r^3} \ddot{r}$$

$$\ddot{r}_a = -G \frac{m_b}{r^3} \ddot{r} = -G \frac{m_b}{r^3} \left(1 + \frac{m_a}{m_b}\right) \ddot{r}_a$$

$$\Rightarrow \boxed{\ddot{r}_a = -G \frac{M}{r^3} \ddot{r}_a}, \quad \text{missä } M = m_a + m_b$$

Vastaavasti:

$$\boxed{\ddot{r}_b = -G \frac{M}{r^3} \ddot{r}_b}$$

$$\Rightarrow \boxed{\ddot{r} = \ddot{r}_a - \ddot{r}_b = -G \frac{M}{r^3} \ddot{r}}$$

Kappaleiden kiihtyvyys toistensa suhteeseen riippuu yksinomaan kappaleitten kokonaismassasta sekä kappaleiden välisestä etäisyydestä.

Kertomalla edellinen yhtälö puolittain lausekkeella

$$\lambda = \left(\frac{1}{m_a} + \frac{1}{m_b}\right)^{-1} = \frac{m_a m_b}{M} = \text{redusoitu massa}$$

saadaan

$$\boxed{\lambda \ddot{r} = -G \frac{M}{r^3} \ddot{r} = -G \frac{m_a m_b}{r^3} \ddot{r}}$$

Painopistekoordinaatistossa on  $\bar{F}(m_a, m_b, r) = \bar{F}(M, \mu, r)$  eli kappaleen a rata kappaleen b ympäri on sama kuin  $\mu$ -massaisen kappaleen rata levossa tai tasaisessa liikkeessä olevan massan M ( $M = m_a + m_b$ ) ympäri. Sama pätee kappaleen b rataan kappaleen a ympäri. Käytännön kannalta tämä on kätevä tulos, koska paikkavektorin r aikariippuvuus voidaan suoraan havaita.

Toisin sanoen: kahden kappaleen probleema on saatu palautetuksi yhden kappaleen probleemaksi. Tämä on oleellinen ja ei-triviaalinen tulos, koska Newtonin liikelait pätevät vain inertiaalikoordinaatistossa.

#### Keplerin lait Newtonin laeista johdettuna

Edellä osoitettiin, että gravitaatiokentässä on kappaleitten kiihtyvyys toistensa suhteeseen

$$\ddot{\bar{r}} = - \frac{GM}{r^3} \bar{r}, \text{ missä } M = \text{molempien kappaleiden kokonaismassa}$$

Sijoittamalla tähän  $\bar{r}$  ja  $\dot{\bar{r}}$ , jotka napakoordinaatistossa (yksikkövektorit  $\bar{e}_r$  ja  $\bar{e}_\theta$ ) esitettyinä ovat:

$$\bar{r} = r \bar{e}_r$$

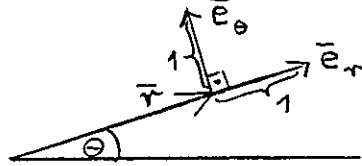
$$\dot{\bar{r}} = \dot{r} \bar{e}_r + r \dot{\bar{e}}_r$$

$$= \dot{r} \bar{e}_r + r \dot{\theta} \bar{e}_\theta$$

$$\ddot{\bar{r}} = \ddot{r} \bar{e}_r + \dot{r} \dot{\bar{e}}_r + \dot{r} \dot{\theta} \bar{e}_\theta + r \ddot{\bar{e}}_\theta + r \dot{\theta} \dot{\bar{e}}_\theta \\ = (\ddot{r} - r \dot{\theta}^2) \bar{e}_r + (2\dot{r} \dot{\theta} + r \ddot{\theta}) \bar{e}_\theta$$

saadaan

$$\left\{ \begin{array}{l} \ddot{r} - r \dot{\theta}^2 = - \frac{GM}{r^2} \quad (\text{radiaalikomponentti}) \\ 2\dot{r} \dot{\theta} + r \ddot{\theta} = 0 \quad (\text{tangentiaalikomponentti}) \end{array} \right.$$



$$\Delta \bar{e}_r(t+\Delta t) \quad \Delta \bar{e}_r = |\bar{e}_r| \cdot \Delta \theta \cdot \bar{e}_\theta \\ \bar{e}_r(t)$$

$$\Rightarrow \dot{\bar{e}}_r = \dot{\theta} \bar{e}_\theta$$

Vastaavasti:

$$\Delta \bar{e}_\theta(t+\Delta t) \quad \Delta \bar{e}_\theta = |\bar{e}_\theta| \cdot \Delta \theta \cdot (-\bar{e}_r) \\ \bar{e}_\theta(t) \\ \Rightarrow \dot{\bar{e}}_\theta = -\dot{\theta} \bar{e}_r$$

Tangentiaalikomponentti:

$$2\dot{r}\dot{\theta} + r\ddot{\theta} = 0 \quad | \cdot r$$

$$2r\dot{r}\dot{\theta} + r^2\ddot{\theta} = 0$$

$$\Leftrightarrow \frac{d}{dt}(r^2\dot{\theta}) = 0 \quad | \int$$

$$r^2\dot{\theta} = \text{vakio} = h$$

$$2 \cdot \frac{dA}{dt} = h = \text{vakio}$$

KEPLER II

Huomautettakoon, että tuloksesta  $r^2\dot{\theta} = \text{vakio}$  ei vielä seuraa, että  $\frac{L}{m} = \text{vakio}$ ; liikemäärämomentissa on nimittäin paikkavektori lausuttava painopisteensuhteen (ts. olisi käytettävä etäisyyksiä  $r_a$  ja  $r_b$  eikä suuretta  $r$ )

Radiaalikomponentti:  $\ddot{r} - r\dot{\theta}^2 = -\frac{GM}{r^2} \quad | \text{ sij. } \dot{\theta} = \frac{h}{r^2}$

$$\ddot{r} - \frac{h^2}{r^3} = -\frac{GM}{r^2}$$

suorittamalla muuttujanvaihto  $y = \frac{1}{r}$

$$\Rightarrow \begin{cases} r = \frac{1}{y} \\ \dot{r} = -\frac{1}{y^2}\frac{dy}{dt} = -\frac{1}{y^2}\dot{\theta}\frac{dy}{d\theta} = -h\frac{dy}{d\theta} \\ \text{Huom. } \frac{d}{dt} = \dot{\theta}\frac{d}{d\theta} \\ \ddot{r} = -h\frac{d}{dt}\left(\frac{dy}{d\theta}\right) = -h\dot{\theta}\frac{d^2y}{d\theta^2} \end{cases}$$

saadaan  $-h^2y^2\frac{d^2y}{d\theta^2} - h^2y^3 = -GMy^2 \quad | : (-h^2y^2)$

$$\Rightarrow \frac{d^2y}{d\theta^2} + y = \frac{MG}{h^2}$$

Ratkaisu  $y = B \cos(\theta - \Theta_0) + \frac{MG}{h^2}$  toteuttaa differentiaaliyhtälön

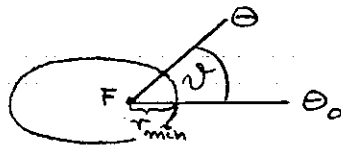
$$\Rightarrow r = \frac{1}{\gamma} = \frac{1}{\frac{MG}{h^2} + B \cos(\theta - \theta_0)} = \frac{1}{\frac{MG}{h^2} [1 + \frac{Bh^2}{MG} \cos(\theta - \theta_0)]}$$

$$r = \frac{\frac{h^2}{MG}}{1 + \frac{Bh^2}{MG} \cos(\theta - \theta_0)}$$

$$\Rightarrow r = \boxed{\frac{p}{1 + e \cos \theta}} \quad \text{KEPLER I}$$

Merkkitääni:  $e = \frac{Bh^2}{MG}$   
 $p = \frac{h^2}{MG} = a(1 - e^2)$

$$\theta - \theta_0 = \vartheta$$



Vakio B voidaan lausua kokonaisenergian ja pintanopeuden avulla:

Kun  $\theta = \theta_0$  }  $\stackrel{\text{K I}}{\Rightarrow} B = \frac{1}{r_{\min}} - \frac{MG}{h^2}$

Kokonaisenergia yksikkömassaa kohti on  $E = \frac{v^2}{2} - \frac{GM}{r}$

Täten tarkastelukohdassa  $r_{\min}$  on :  $E = \frac{v^2}{2} - \frac{GM}{r_{\min}}$

$$E = \frac{h^2}{2r_{\min}^2} - \frac{GM}{r_{\min}}$$

Perisentrumissa  $\vec{v} \perp \vec{r}_{\min}$

$$\Rightarrow v = r_{\min} \dot{\theta} \quad (\text{tangentiaalinopeus})$$

$$\Rightarrow \frac{v^2}{2} = \frac{(r_{\min} \dot{\theta})^2}{2} = \frac{h^2}{2r_{\min}^2}$$

$$\Rightarrow \left(\frac{1}{r_{\min}}\right)^2 - \frac{2GM}{h^2} \left(\frac{1}{r_{\min}}\right) - \frac{2E}{h^2} = 0$$

$$\Rightarrow \frac{1}{r_{\min}} = \frac{MG}{h^2} \pm \sqrt{\frac{M^2 G^2}{h^4} + \frac{2E}{h^2}}$$

Sijoittamalla tämä B:n lausekkeeseen saadaan

$$B = \frac{1}{r_{\min}} - \frac{MG}{h^2}$$

$$B = \frac{MG}{h^2} (+) \sqrt{\frac{M^2 G^2}{h^4} + \frac{2E}{h^2}} - \frac{MG}{h^2}$$

$$B = \boxed{\sqrt{\frac{M^2 G^2}{h^4} + \frac{2E}{h^2}}}$$

Huom. valittava plusmerkki  
jotta kohdassa  $r = r_{\min}$   
B on suurimmillaan

Keplerin III laki saadaan Keplerin II lain avulla:

$$h = 2 \frac{dA}{dt} = \text{vakio}$$

$$h = 2 \frac{A}{P}, \text{ missä } P = \text{planeetan kiertoaika}$$

$$h = 2 \cdot \frac{\pi a b}{P} = 2 \cdot \frac{\pi a^2 \sqrt{1-e^2}}{P}$$

$$\Rightarrow P = \frac{2\pi a^2 \sqrt{1-e^2}}{h}$$

$$P = \frac{2\pi a^2 \sqrt{1-e^2}}{\sqrt{MGa} \sqrt{1-e^2}}$$

$$\text{KI} \Rightarrow P = \frac{h^2}{MG} = a(1-e^2)$$

$$h = \sqrt{MGa(1-e^2)}$$

$$P^2 = \frac{4\pi^2}{MG} a^3$$

KEPLER III

Johdetaan vielä lopuksi kätevä yhtälö kappaleen ratanopeuden, paikkavektorin ja rataellipsin isoakselin väille.

Perisentrumissa ( $r = r_{\min}$ ) on

$$E = \frac{v^2}{2} - \frac{GM}{r_{\min}} = \frac{h^2}{2r_{\min}^2} - \frac{GM}{r_{\min}}$$

$$r_{\min} = \frac{a(1-e^2)}{1+e \cos \theta} = \frac{a(1-e^2)}{1+e}$$

$$= \frac{h^2}{MG(1+e)}$$

$$= \frac{h^2 M^2 G^2 (1+e)^2}{2 h^4} - \frac{M^2 G^2 (1+e)}{h^2}$$

$$= \frac{M^2 G^2 (1+e) [1+e-2]}{2 h^2}$$

$$= \frac{M^2 G^2 (e^2 - 1)}{2 h^2}$$

$$= \frac{MG (e^2 - 1)}{2 a (1-e^2)}$$

$$\text{sij. } h^2 = MGa(1-e^2)$$

$$\frac{v^2}{2} - \frac{GM}{r_{\min}} = - \frac{MG}{2a}$$

$$\Rightarrow v^2 = MG \left( \frac{2}{r} - \frac{1}{a} \right)$$

L I I T E II

JOHDATUS ELEKTRONIEN SIIRTYMÄTODENNÄKÖISYYKSIEN  
KVANTTIMEKAANISIIN LASKUIIHIN

Elektronin siirtymätodennäköisyys voidaan seuraavilla lähtöoletuksilla:

- 1) Klassinen atomi ja klassinen sähkömagneettinen kenttä

Elektroni kuvataan vaimenevana harmonisena väärähtelijänä. Teoria tuostaa absorptiokertoimelle oikean dimension, mutta kvanttimekaanisen arvo voi heittää useita kertaluokkia.

- 2) Kvanttimekaaninen atomi ja klassinen sm-kenttä

Laskut antavat oikean tuloksen todennäköisyyskertoimelle  $B_{ij}$  (absorptio) ja  $B_{ji}$  (indusoitu emissio). Sen sijaan  $A_{ji}$  (spontaani emissio) ei lainkaan esiinny tässä esityksessä.

- 3) Kvanttimekaaninen atomi ja kvantittunut sm-kenttä

Laskut antavat oikeat arvot kaikille elektronien siirtymätodennäköisyyksille  $A_{ij}$ ,  $B_{ij}$  ja  $B_{ji}$ .

Seuraavassa lasketaan johdatuksenomaisesti absorption todennäköisyyskerroin  $B_{ij}$  tarkastelemalla kvanttimekaanista atomia klassisessa sm-kentässä. Einsteinin todennäköisyyskertoimet  $A_{ji}$  (spontaani emissio) ja  $B_{ji}$  (indusoitu emissio) saadaan  $B_{ij}$ :n avulla seuraavilla relaatioilla:

$$A_{ji} = \frac{2h\nu^3}{c^2} B_{ji}$$

$$g_i B_{ij} = g_j B_{ji}, \text{ missä } g_i = \text{energiatilan } i \text{ statistinen paino}$$

Kvanttimekaniikassa kuvataan atomia aaltofunktioilla  $\Psi(\bar{r}_1, \bar{r}_2, \dots, \bar{r}_N, t)$ , missä  $\bar{r}_i$  on atomin sidoselektronin paikkavektori. Atomin mielivaltainen tila hetkellä  $t = 0$  voidaan esittää ominaisfunktioitten  $\varphi_n$  sarjakehitelänä:

$$\Psi = \sum_n a_n \varphi_n$$

Ominaisfunktioihin  $\varphi_n$  liittyy fysikaalinen suure A siten, että kun  $\Psi = \varphi_n$  niin suureella A on arvo  $a_n$ . Koska  $|\Psi|^2$  esittää todennäköisyyystiheyttä, ja ominaisfunktiot  $\varphi_n$  ovat ortogonaalisia ( $\int \varphi_i^* \varphi_j d^n x \equiv (\varphi_i^* | \varphi_j) = \delta_{ij}$ ), on

$$\boxed{\int |\Psi|^2 d^n x = |a_n|^2} = \text{arvon } a_n \text{ todennäköisyyys tilassa } \Psi$$

Ajasta riippuvat ilmiöt kuvataan tilafunktioilla

$$\Psi(\bar{r}, t) = \underbrace{\Psi(\bar{r}, 0)}_{\text{alkutila}} \cdot \underbrace{K(\bar{r}, \bar{r}, t)}_{\text{propagaattori}} d^3 \bar{r},$$

alkutila propagaattori = todennäköisyysamplitudi sille tapahtumalle, että hiukkanen on aluksi tilassa  $\bar{r}'$  ja ajan  $t$  kuluttua tilassa  $\bar{r}$ .

Schrödingerin yhtälö on propagaattorin toinen esitysmuoto:

$$\hat{H} \Psi = \hat{E} \Psi, \text{ missä } \hat{H} = - \frac{\hbar^2}{2m} \nabla^2 + V(\bar{r}) = \text{Hamiltonin operaattori}$$

$$\hat{E} = - \frac{\hbar}{c} \frac{\partial}{\partial t}$$

Ajasta riippuvissa ilmiöissä  $\Psi = \sum_n a_n(t) \varphi_n(t)$  ja  $|a_n(t)|^2 = \text{arvon } a_n \text{ todennäköisyyys tilassa } \Psi$ . Häiriintymättömässä tilassa atomin tilafunktion kertoimet  $a_n$  eivät riipu ajasta. Jos sen sijaan atomia häiritään jollain potentiaallilla  $V$ , muuttuvat kertoimet  $a_n$  yleensä ajan mukana. Tämä voidaan tulkita siten, että atomi siirtyy tilalta toiselle. Esimerkiksi ulkoinen sähkökenttä häiritsee atomia. Ensimmäisessä approksimaatiossa voidaan ulkoinen kenttä kuvata lausekkeella  $\bar{E} = E_0 \cos \omega t \bar{i}$ , jolloin elektrokinen potentiaali tässä kentässä on

$$V = \sum_{i=1}^N \underbrace{e \bar{E}}_F \cdot \bar{r}_i = E_0 \cos \omega t \bar{i} \cdot \bar{p} , \text{ missä } \bar{p} = e \sum_{i=1}^N \bar{r}_i = \text{dipolimomentti}$$

Schrödingerin yhtälö:

$$(-\frac{\hbar^2}{2m} \nabla^2 + V) \Psi = i\hbar \frac{\partial \Psi}{\partial t}$$

$$\Psi = \sum_n a_n(t) \Psi_n(t)$$

$$\frac{\partial \Psi}{\partial t} = \sum \dot{a}_n \Psi_n + \sum a_n \frac{\partial \Psi}{\partial t}$$

$$-\frac{\hbar^2}{2m} \nabla^2 \sum a_n \Psi_n + V \sum a_n \Psi_n = i\hbar \sum \dot{a}_n \Psi_n + i\hbar \sum a_n \frac{\partial \Psi}{\partial t}$$

Yhtälön ääritermit ovat yhtäsuuret, koska Schrödingerin yhtälö ilman häiriöpotentiaalia on

$$-\frac{\hbar^2}{2m} \nabla^2 \Psi = i\hbar \frac{\partial \Psi}{\partial t}$$

Ratkaisuyritteellä  $\Psi = u(r) \cdot v(t)$  voidaan muuttujat separoida, joten ne eivät riipu toisistaan.

$\Rightarrow$  yhtälön kumpikin puoli on vakio = E

$\Rightarrow$  ratkaisu:  $\Psi(t) = \Psi(0) e^{-i \frac{E}{\hbar} t}$

$$\Rightarrow i\hbar \sum_n \dot{a}_n \Psi_n(t) = \sum a_n(t) V \Psi_n(t)$$

Käyttämällä hyväksi ominaisfunktioitten ortogonalisuutta voidaan tietty  $a_m$  erottaa yo. sarjasta. Yhtälö kerrotaan tämän vuoksi puolitain funktiolla  $\Psi_m^*$  ja integroidaan kaikkien koordinaattialkioitten yli.

$$\Rightarrow i\hbar \sum_n \dot{a}_n e^{i \frac{E_m - E_n}{\hbar} t} (\underbrace{\Psi_m^* | \Psi_n}_{S_{mn}}) = \sum_n a_n e^{i \frac{E_m - E_n}{\hbar} t} (\Psi_m^* | V | \Psi_n)$$

$$S_{mn} = 1, \text{ kun } m=n$$

$$\Rightarrow \dot{a}_m(t) = \frac{1}{i\hbar} \sum_n a_n(t) e^{i \frac{E_m - E_n}{\hbar} t} (\Psi_m^* | V | \Psi_n)$$

Merkitään :

$$\omega_{mn} = \frac{E_m - E_n}{\hbar}$$

$$V_{mn} = (\Psi_m^* | V | \Psi_n) = E_0 \cos \omega t \bar{i} (\Psi_m^* | \bar{p} | \Psi_n)$$

$$= E_0 \cos \omega t \bar{i} \cdot \bar{p}_{mn} \quad | \cos \omega t = \frac{1}{2} (e^{i\omega t} + e^{-i\omega t})$$

$$= \frac{E_0}{2} \bar{i} \cdot \bar{p}_{mn} (e^{i\omega t} + e^{-i\omega t})$$

dipolimomentin matriisielementit

$$\Rightarrow \dot{a}_m(t) = \frac{E_0}{2i\hbar} \sum a_m(t) \bar{i} \cdot \bar{p}_{mn} e^{i\omega_{mn}} (e^{i\omega t} + e^{-i\omega t})$$

Oletukset:

Kun  $t = 0$ , niin  $a_k(0) = 1$

$a_n(0) = 0$ ,  $n \neq k$

eli atomi on alkuperäisessä tilassaan  $k$

Kun  $t < T$ , niin  $a_k(t) \approx 1$

eli aikaintervalli niin lyhyt, ettei tilan populaatio ehdi juuri muuttua

$\Rightarrow$  yhtälön summa voidaan korvata yhdellä termillä

$$\dot{a}_m(t) = \frac{E_0}{2i\hbar} \bar{i} \cdot \bar{p}_{mk} e^{i\omega_{mk}t} (e^{i\omega t} + e^{-i\omega t}) \quad | \int \dots dt$$

$$a_m(t) = \frac{E_0}{2i\hbar} \bar{i} \cdot \bar{p}_{mk} \left[ \frac{e^{i(\omega_{mk}-\omega)t} - 1}{\omega_{mk} - \omega} + \frac{e^{i(\omega_{mk}+\omega)t} - 1}{\omega_{mk} + \omega} \right]$$

Absorptiossa  $E_m > E_k$ , jolloin  $\omega_{mk} > 0$ . Koska absorptio on suurimmillaan, kun  $\omega \approx \omega_{mk}$ , voidaan sulkulausekkeen toinen termi jättää huomiotta. Merkitsemällä  $x = \omega - \omega_{mk}$  saadaan siirtymän todennäköisyyskertoimiksi

$$|a_m(t)|^2 = \frac{E_0^2 |\bar{i} \cdot \bar{p}_{mk}|^2}{4\hbar^2} \frac{4 \sin^2 \frac{xt}{2}}{x^2} \quad | \text{säteilytiheys } u = \frac{1}{c} \int I d\omega = \frac{4\pi}{c} J$$

Toisaalta, koska  $\theta = 0^\circ$ , on  $\hat{\mathbf{r}} = \int I \cos \theta d\omega = 1$

$$\Rightarrow u = \frac{\langle \hat{\mathbf{r}} \rangle}{c} = \frac{E_0^2}{8\pi} = \frac{4\pi}{c} J$$

$$\Rightarrow E_0^2 = \frac{32\pi^2 J}{c}$$

$$|a_m(t)|^2 = \frac{8\pi^2 J |\bar{i} \cdot \bar{p}_{mk}|^2}{c \hbar^2} \frac{4 \sin^2 \frac{xt}{2}}{x^2} \quad | \int_{-x}^x \dots dx \text{ integroidaan yli absorptioviivan taajuuskaistan.}$$

Jos  $xt \gg 1$ , niin integroimisrajat voidaan muodollisesti ulottaa äärettömyyteen.

(Huom. tyypillisesti  $\omega \sim 10^{15}$  1/s ja elektronisiirtymän kesto  $t \sim 10^{-8}$  1/s)

$$\Rightarrow |a_m(t)|^2 = \frac{8\pi^2}{c\hbar^2} \int_{-\infty}^{\infty} |\vec{l} \cdot \vec{p}_{mk}|^2 \cdot g_t \underbrace{\int_{-\infty}^{\infty} \frac{\sin^2(\frac{x}{2}) d(\frac{x}{2})}{(\frac{x}{2})^2}}_{\pi}$$

$$\begin{aligned} \int d\nu &= \int \omega d\omega \\ \int d\nu &= 2\pi \int \omega \end{aligned}$$

$$\Rightarrow |a_m(t)|^2 = \frac{8\pi^2}{c\hbar^2} \int_{-\infty}^{\infty} |\vec{l} \cdot \vec{p}_{mk}|^2 \cdot t$$

Elektronin siirtymisnopeuden (transition rate)  $R_{mk}$  määritelmä:

$R_{mk} = \frac{\text{todennäköisyys, että siirtymä on tapahtunut}}{\text{aikayksikkö}}$

$$R_{mk} = \frac{|a_m(t)|^2}{t} = \frac{8\pi^2}{c\hbar^2} \int_{-\infty}^{\infty} |\vec{l} \cdot \vec{p}_{mk}|^2$$

Einstein esitti v. 1917 siirtymisnopeuden absorptiossa muodossa

$N_i(\nu) R_{ij} \frac{d\nu}{4\pi} = N_i(\nu) B_{ij} I_{\nu} \frac{d\nu}{4\pi}$ , missä  $N_i(\nu)$  = niitten energiatilassa i olevien atomien  $1\text{km/cm}^3$ , jotka absorboivat säteilyä taajuusvälinä  $(\nu, \nu + d\nu)$

$N_i$  = energiatilassa i olevien atomien kokonaislukumäärä/ $\text{cm}^3$

$B_{ij}$  = Einsteinin kerroin (atomaar. vakio)

Naapuriatomien häiritsevän vaikutuksen johdosta ja atomin ylemmän energiatilan äärellisen eliniän vuoksi spektriviiva ei ole terävä, vaan se leviää yli tietyn taajuusvälin. Absorptioviihan profiili  $\Psi_{\nu}$  on normalisoitu siten, että

$$\int_0^{\infty} \Psi_{\nu} d\nu = 1$$

Koska  $N_i(\nu) = N_i \Psi_{\nu}$ , on Einsteinin yhtälön perusteella

$$R_{mk} = B_{mk} \int_0^{\infty} I_{\nu} \Psi_{\nu} d\nu = B_{mk} \int_0^{\infty} \underbrace{\Psi_{\nu} d\nu}_{=1}$$

Olet.  $J_{\nu}$  = vakio  
yli viivan

$$\Rightarrow \boxed{B_{mk} = \frac{R_{mk}}{\int_0^{\infty} \Psi_{\nu} d\nu}} = \frac{8\pi^2}{c\hbar^2} |\vec{l} \cdot \vec{p}_{mk}|^2$$

Tarkasteltaessa suurta atomijoukkoa, on

$$\begin{aligned} |\vec{l} \cdot \vec{p}_{mk}|^2 &= P_{mk} \frac{2}{3} \cos^2 \theta \\ &= \frac{1}{3} P_{mk}^2 \end{aligned}$$

$$\Rightarrow B_{mk} = \frac{8\pi^2}{3c\hbar^2} \frac{P_{mk}^2}{3}$$

$$B_{mk} = \frac{32\pi^4 e^2 r_{mk}^2}{3c h^2}$$

EINSTEININ TODENNÄKÖISYYSKERROIN  
ABSORPTIOSSA

$$\text{missä } r_{mk}^2 = \left( m \left| \sum_{i=1}^N \bar{\tau}_i \right| k \right)^2$$

Indusoituneen emission tapauksessa

$g_i B_{ij} = g_j B_{ji}$ , missä  $B_{ij}$  = absorption Einsteinin kerroin  
 $B_{ji}$  = indusoituneen emission Einsteinin kerroin  
 $g_i$  = energiatilan i statistinen paino

$$B_{ji} = \frac{g_i}{g_j} B_{ij}$$

$$B_{ji} = \frac{g_i}{g_j} \frac{32\pi^4 (e r_{ij})^2}{3c h^2}$$

EINSTEININ TODENNÄKÖISYYSKERROIN  
INDUSOITUNEESSA EMISSIONSSA

Spontaanin emission tapauksessa

$$A_{ji} = \frac{2h\nu^3}{c^2} B_{ji}$$

$$A_{ji} = \frac{g_i}{g_j} \frac{64\pi^4 \nu^3 (e r_{ij})^2}{3h c^3}$$

EINSTEININ TODENNÄKÖISYYSKERROIN  
SPONTAAANISSA EMISSIONSSA

HUOM.1 Oletetaan yksinkertaisuuden vuoksi, että atomin energiasot eivät ole degeneroituneita, jolloin  $g_i = g_j = 1$ . Spontaaneja siirtymiä tarkasteltaessa on tällöin atomin emitttoima säteilytaho

$$P_{ji} = A_{ji} h\nu_{ji} = \frac{64\pi^4 e^2 \nu^4}{3c^3} r_{ij}^2 = \frac{e^2 \omega^4 (2r_{ij})^2}{3c^3}$$

Tämä vastaa klassisen oskillaattorin keskimääräistä säteilythoa, kun dipolin varausten suurin etäisyys on  $2r_{ij}$ .

HUOM. 2 Elektronisiirtymien Einsteinin kertoimien avulla päästään siirtymän oskillaattorivoimakkuuteen seuraavasti.

Kun huomioidaan energiatilojen degeneroituminen (jakautuminen), on atomin säteilytaho spontaanissa emissiossa (siirtymä  $j \rightarrow i$ ) :

$$P_{ji} = g_j A_{ji} h\nu_{ji} = \frac{64\pi^4 \nu^4}{3c^3} \sum_{ij} p_{ij}^2$$

summa otettu yli alempaan ja ylemmän energiatason degeneroituneitten tilojen

$$\Rightarrow g_j A_{ji} = \frac{64\pi^4 \nu^3}{3h^2 c^3} \sum_{ij} p_{ij}^2 \quad \left. \right\} \Rightarrow B_{ji} = \frac{32\pi^4}{3h^2 c} \sum_{ij} p_{ij}^2$$

$$\text{Toisaalta: } g_j A_{ji} = \frac{g_i h\nu^3}{c^2} B_{ji} g_j$$

Absorption todennäköisyykskerroin degeneraation tapauksessa on täten

$$B_{ij} = \frac{g_i}{g_j} B_{ji} = \frac{32\pi^4}{3h^2 c} \frac{\sum p_{ij}^2}{g_i}$$

Luvussa 2.5.2e todettiin, että  $1 \text{ cm}^{-3}$ :iin väliainetta absorboituu säteilythoa

$$P_\nu = 4\pi I_\nu \epsilon \bar{k}, \text{ missä } \epsilon \bar{k} = N_\nu \frac{\pi e^2}{mc} \cdot f$$

$f = \text{oskillaattorivoimakkuus}$

$$\Rightarrow N_\nu \frac{\pi e^2}{mc} f_{ij} = N_\nu \cdot \frac{1}{4\pi} B_{ij} h\nu \quad | \text{ Sij. } B_{ij} = \frac{32\pi^4}{3h^2 c} \frac{\sum p_{ij}^2}{g_i}$$

$$\Rightarrow f_{ij} = \frac{8\pi^2 m \nu}{3h c^2} \frac{\sum p_{ij}^2}{g_i}$$

SIIRTYMÄN  $ij$   
OSKILLAATTORIVOIMAKKUUS

Päätasojen  $n'$  ja  $n$  välinen kokonaisoskillaattorivoimakkuus voidaan ilmoittaa degeneroituneitten tilojen oskillaattorivoimakkuuksien summana seuraavasti:

$$f(n', n) = \frac{1}{g_n} \sum_{\ell'} g_{n'\ell'} f(n', \ell'; n, \ell)$$

$$f(n', n) = \frac{\sum_{\ell'} g_{n'\ell'} f(n', \ell'; n, \ell)}{\sum_{\ell'} g_{n'\ell'}}$$